

Ein und Ausgabe:  
 Farbmetrisches Drucker-Reflektiv-System ORS20\_95a

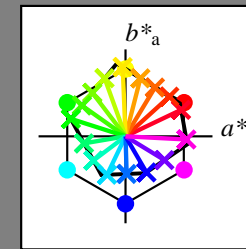
Daten für jede Farbe:  
 $lab^*_{tch^*}$  und  $lab^*_{icu^*}$

Elementar-Buntpontext:  
 $u^* = 16$  Bunttöne  $r00j, r25j, \dots, b75r$

Kontrastreduzierungsfaktor:  
 $c_R = 0.96$

ORS20\_95a; adaptierte CIELAB-Daten

	$L^*=L^*_a$	$a^*_a$	$b^*_a$	$C^*_{ab,a}$	$h^*_{ab,a}$
r00j	48.88	63.91	30.45	70.79	25
r25j	55.85	50.36	45.65	67.97	42
r50j	65.45	33.86	56.12	65.54	59
r75j	75.19	17.13	66.73	68.89	76
j00g	87.03	-3.21	79.64	79.7	92
j25g	80.72	-24.03	66.82	71.01	110
j50g	70.64	-38.01	49.96	62.78	127
j75g	61.93	-50.08	35.41	61.34	145
g00b	52.8	-62.76	20.12	65.91	162
g25b	55.7	-47.65	-8.05	48.34	190
g50b	57.82	-36.91	-27.79	46.22	217
g75b	55.5	-21.19	-44.16	49.0	244
b00r	41.6	1.31	-43.27	43.3	272
b25r	29.0	24.11	-41.46	47.97	300
b50r	38.04	44.73	-27.29	52.41	329
b75r	49.48	70.07	-3.61	70.16	357



%Umfang

$u^*_{rel} = 83$

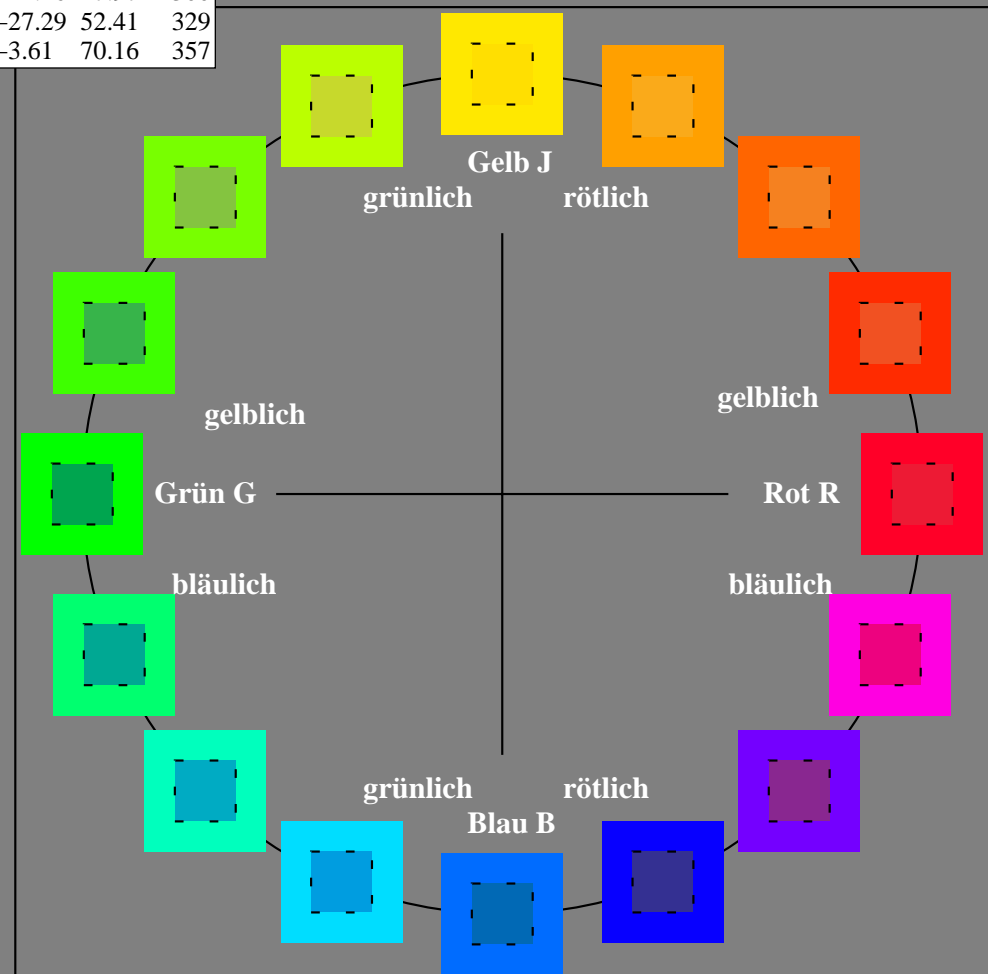
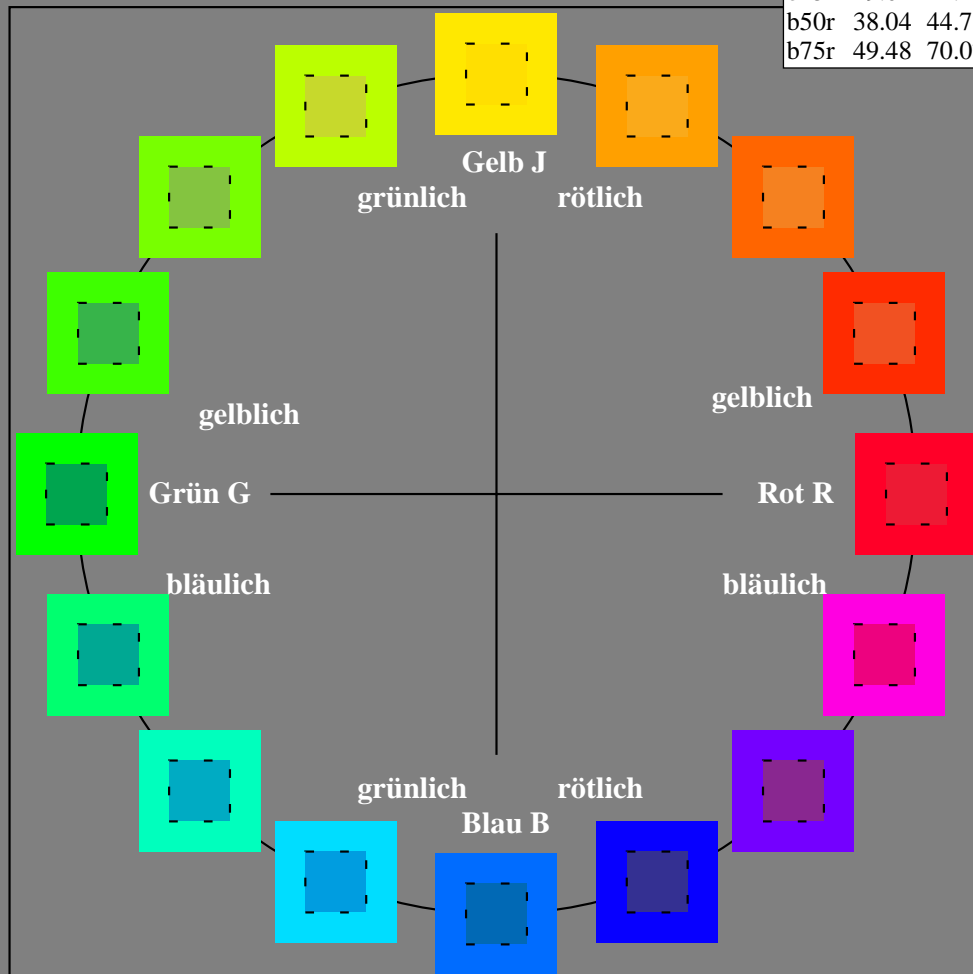
%Regularität

$g^*_{H,rel} = 72$

$g^*_{C,rel} = 57$

ORS20\_95a; adaptierte CIELAB-Daten

	$L^*=L^*_a$	$a^*_a$	$b^*_a$	$C^*_{ab,a}$	$h^*_{ab,a}$
O <sub>Ma</sub>	48.75	62.56	37.91	73.15	31
Y <sub>Ma</sub>	90.92	-9.88	83.88	84.46	97
L <sub>Ma</sub>	52.69	-62.9	19.95	66.0	162
C <sub>Ma</sub>	59.61	-27.85	-44.43	52.45	238
V <sub>Ma</sub>	28.39	22.72	-42.42	48.13	298
M <sub>Ma</sub>	49.58	71.08	-9.19	71.67	353
N <sub>Ma</sub>	20.0	0.0	0.0	0.0	0
W <sub>Ma</sub>	95.0	0.0	0.0	0.0	0
R <sub>CIE</sub>	39.92	58.74	27.99	65.07	25
J <sub>CIE</sub>	81.26	-2.88	71.56	71.62	92
G <sub>CIE</sub>	52.23	-42.41	13.6	44.55	162
B <sub>CIE</sub>	30.57	1.41	-46.46	46.49	272



Ein und Ausgabe: Farbmetrisches Drucker-Reflektiv-System ORS20\_95a für relativen CIELAB-Bunton  $h^* = lab^*h^* = h_{ab}/360 = 25/360 = 0.071$

Daten für jede Farbe:

$lab^*tch^*$  und  $lab^*icu^*$

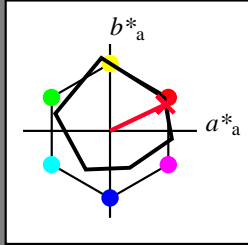
Elementar-Buntontext:

$u^* = r00j$

Kontrastreduzierungsfaktor:

$c_R = 0.96$

Dreiecks-Helligkeit  $t^*$



ORS20\_95a; adaptierte CIELAB-Daten

	$L^*=L^*_a$	$a^*_a$	$b^*_a$	$C^*_{ab,a}$	$h^*_{ab,a}$
O <sub>Ma</sub>	48.75	62.56	37.91	73.15	31
Y <sub>Ma</sub>	90.92	-9.88	83.88	84.46	97
L <sub>Ma</sub>	52.69	-62.9	19.95	66.0	162
C <sub>Ma</sub>	59.61	-27.85	-44.43	52.45	238
V <sub>Ma</sub>	28.39	22.72	-42.42	48.13	298
M <sub>Ma</sub>	49.58	71.08	-9.19	71.67	353
N <sub>Ma</sub>	20.0	0.0	0.0	0.0	0
W <sub>Ma</sub>	95.0	0.0	0.0	0.0	0
R <sub>CIE</sub>	39.92	58.74	27.99	65.07	25
J <sub>CIE</sub>	81.26	-2.88	71.56	71.62	92
G <sub>CIE</sub>	52.23	-42.41	13.6	44.55	162
B <sub>CIE</sub>	30.57	1.41	-46.46	46.49	272

Daten für Maximalfarbe (Ma):

$LAB^*LAB^*_{Ma}$ : 49 64 30

$LAB^*LCH^*_{Ma}$ : 49 71 25

$lab^*rgb^*_{Ma}$ : 1.0 0.0 0.0

$lab^*olv^*_{Ma}$ : 1.0 0.0 0.16

Dreiecks-Helligkeit  $t^*$

%Umfang

$u^*_{rel} = 83$

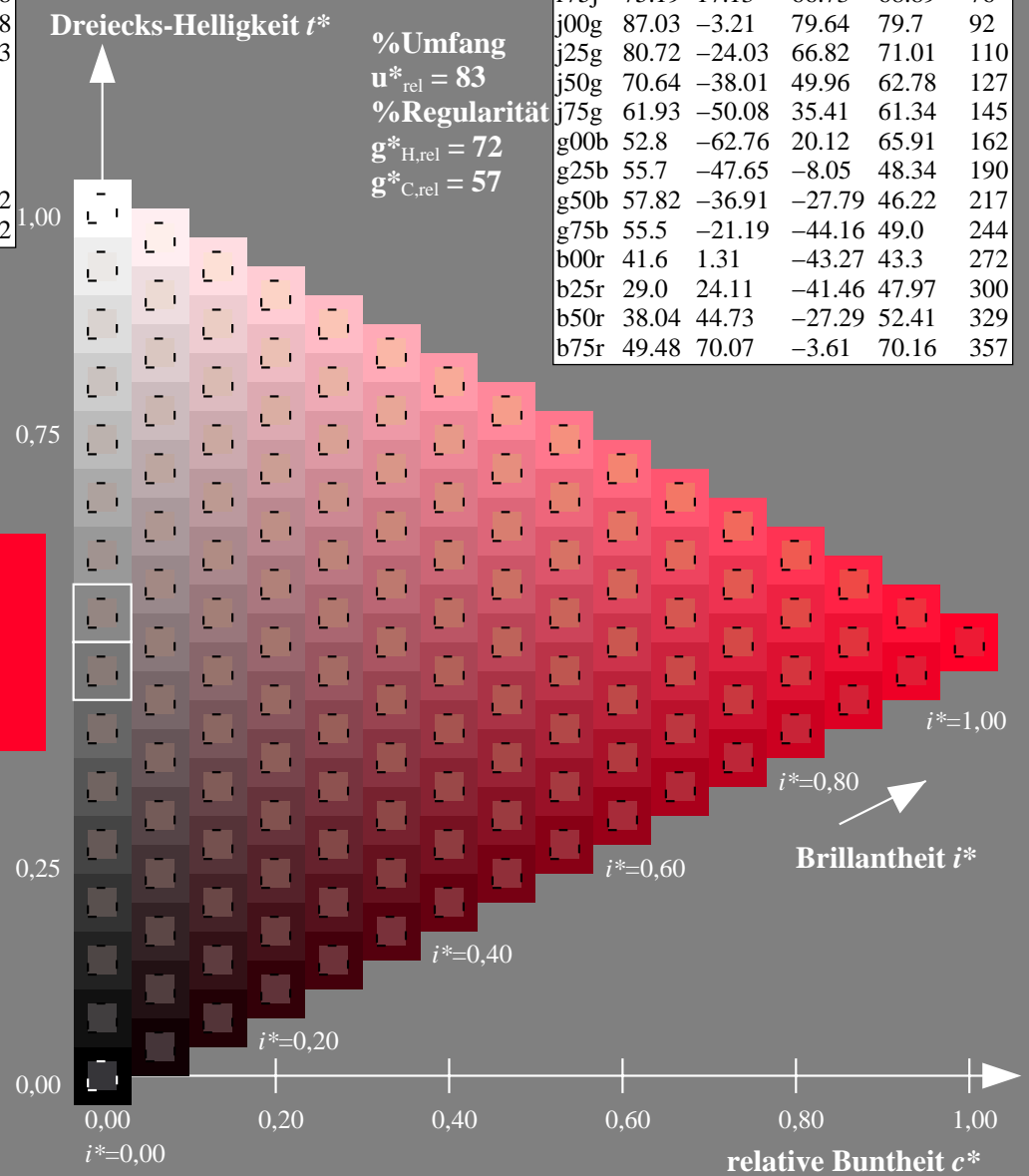
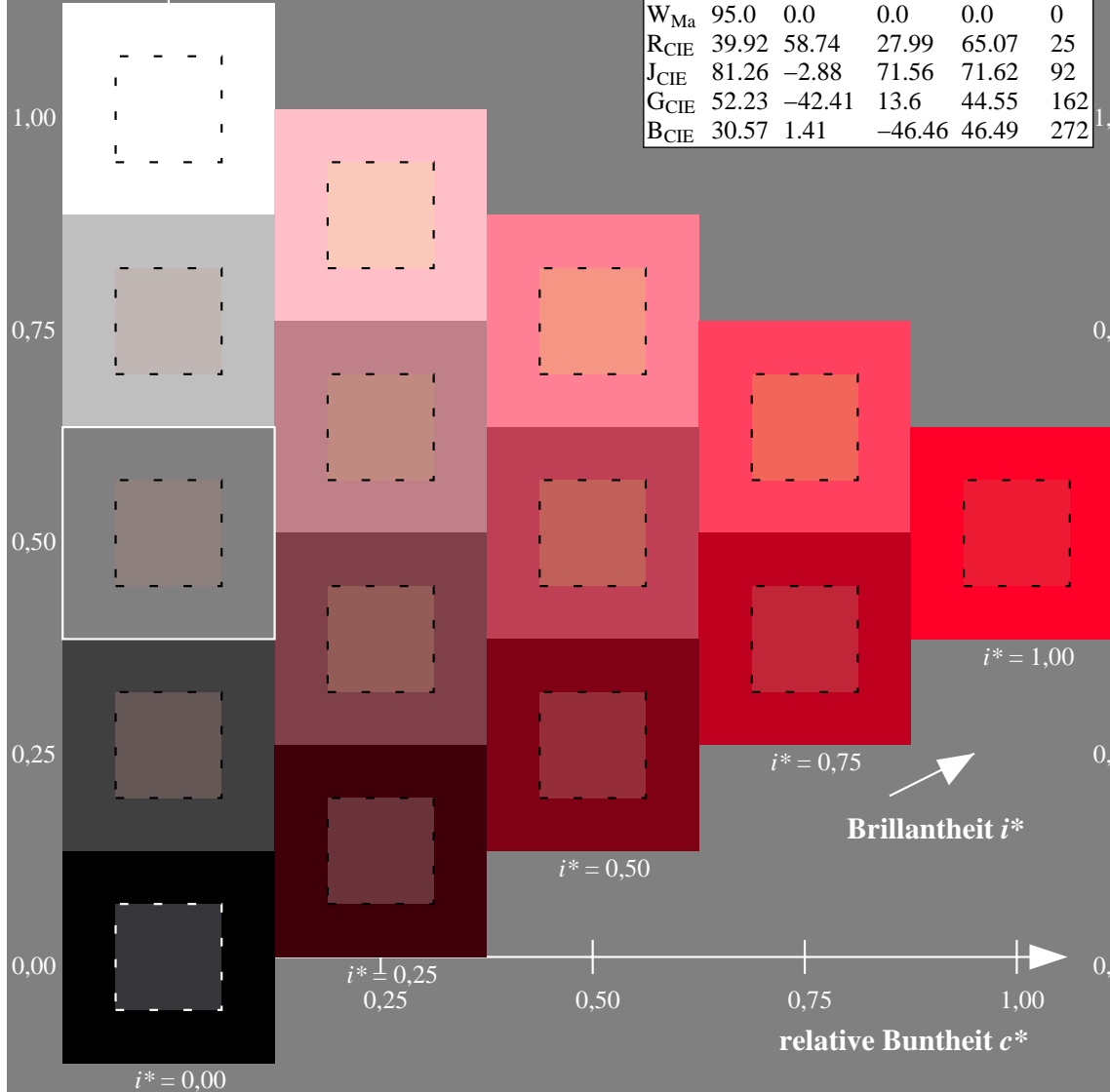
%Regularität

$g^*_{H,rel} = 72$

$g^*_{C,rel} = 57$

ORS20\_95a; adaptierte CIELAB-Daten

	$L^*=L^*_a$	$a^*_a$	$b^*_a$	$C^*_{ab,a}$	$h^*_{ab,a}$
r00j	48.88	63.91	30.45	70.79	25
r25j	55.85	50.36	45.65	67.97	42
r50j	65.45	33.86	56.12	65.54	59
r75j	75.19	17.13	66.73	68.89	76
j00g	87.03	-3.21	79.64	79.7	92
j25g	80.72	-24.03	66.82	71.01	110
j50g	70.64	-38.01	49.96	62.78	127
j75g	61.93	-50.08	35.41	61.34	145
g00b	52.8	-62.76	20.12	65.91	162
g25b	55.7	-47.65	-8.05	48.34	190
g50b	57.82	-36.91	-27.79	46.22	217
g75b	55.5	-21.19	-44.16	49.0	244
b00r	41.6	1.31	-43.27	43.3	272
b25r	29.0	24.11	-41.46	47.97	300
b50r	38.04	44.73	-27.29	52.41	329
b75r	49.48	70.07	-3.61	70.16	357



Ein und Ausgabe: Farbmetrisches Drucker-Reflektiv-System ORS20\_95a für relativen CIELAB-Bunton  $h^* = lab^*h^* = h_{ab}/360 = 42/360 = 0.117$

Daten für jede Farbe:

$lab^*tch^*$  und  $lab^*icu^*$

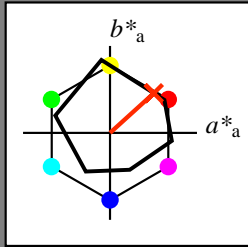
Elementar-Buntontext:

$u^* = r25j$

Kontrastreduzierungsfaktor:

$c_R = 0.96$

Dreiecks-Helligkeit  $t^*$



ORS20\_95a; adaptierte CIELAB-Daten

	$L^*=L^*_a$	$a^*_a$	$b^*_a$	$C^*_{ab,a}$	$h^*_{ab,a}$
O <sub>Ma</sub>	48.75	62.56	37.91	73.15	31
Y <sub>Ma</sub>	90.92	-9.88	83.88	84.46	97
L <sub>Ma</sub>	52.69	-62.9	19.95	66.0	162
C <sub>Ma</sub>	59.61	-27.85	-44.43	52.45	238
V <sub>Ma</sub>	28.39	22.72	-42.42	48.13	298
M <sub>Ma</sub>	49.58	71.08	-9.19	71.67	353
N <sub>Ma</sub>	20.0	0.0	0.0	0.0	0
W <sub>Ma</sub>	95.0	0.0	0.0	0.0	0
R <sub>CIE</sub>	39.92	58.74	27.99	65.07	25
J <sub>CIE</sub>	81.26	-2.88	71.56	71.62	92
G <sub>CIE</sub>	52.23	-42.41	13.6	44.55	162
B <sub>CIE</sub>	30.57	1.41	-46.46	46.49	272

Daten für Maximalfarbe (Ma):

$LAB^*LAB^*_{Ma}: 56\ 50\ 46$

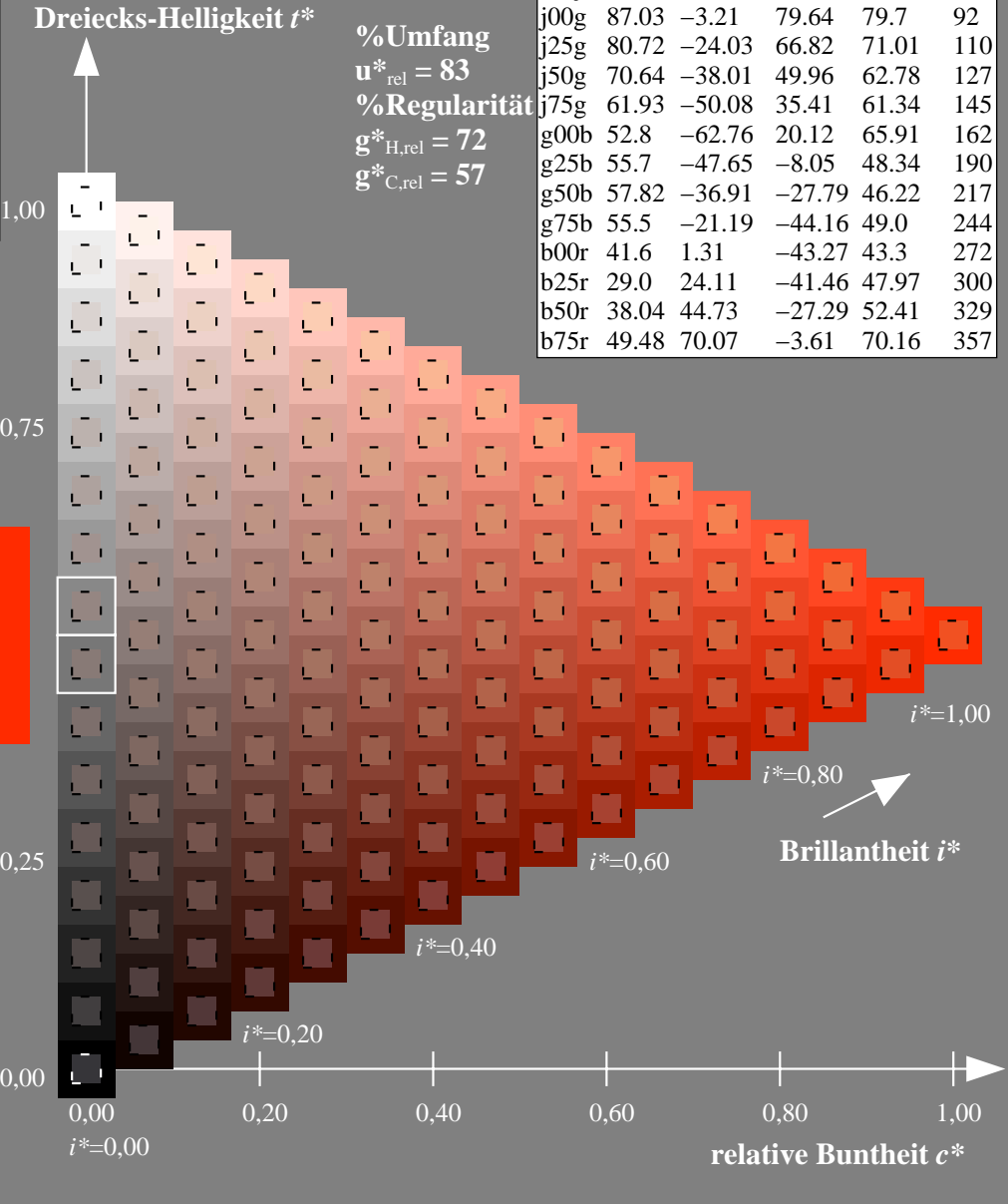
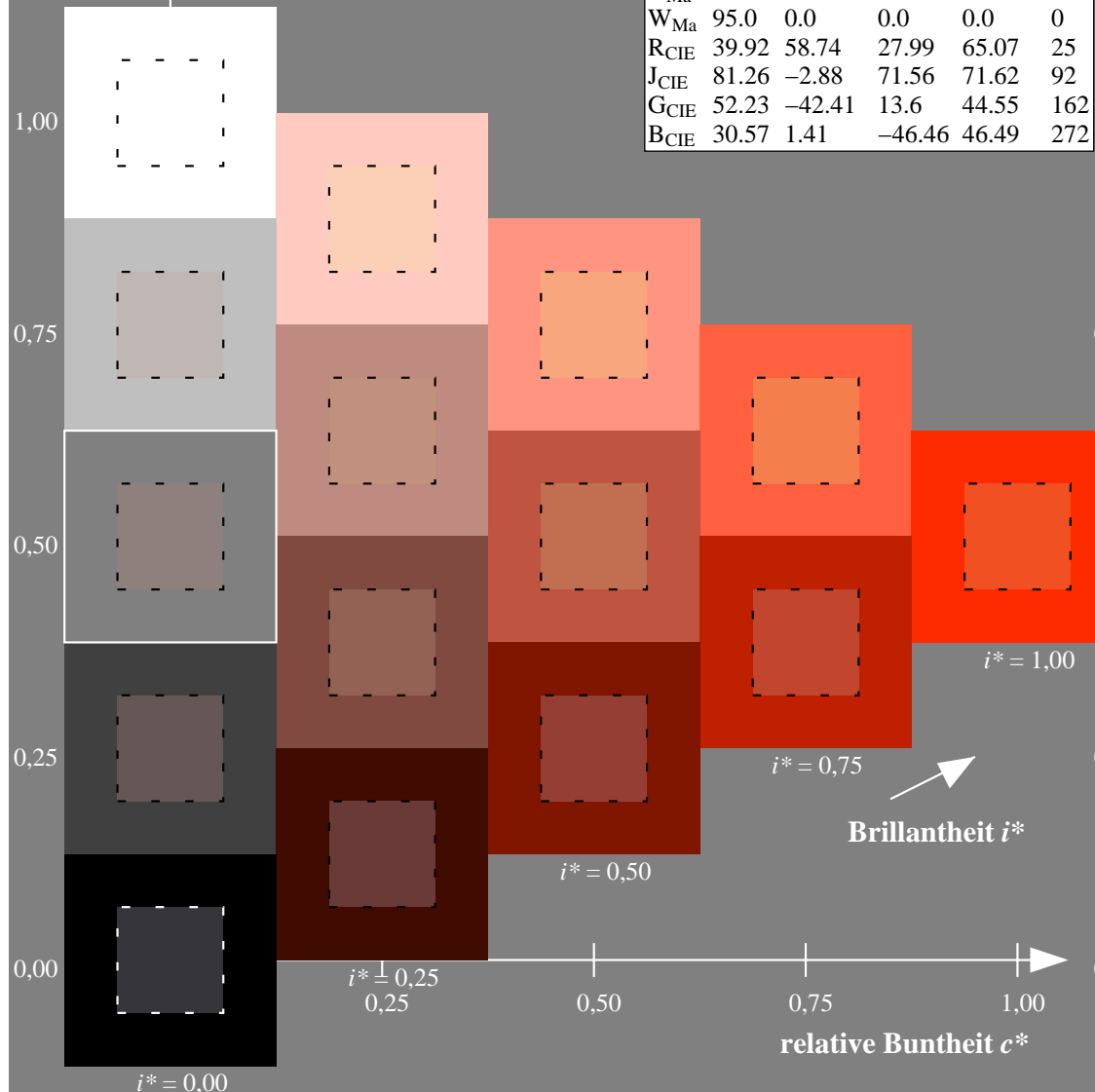
$LAB^*LCH^*_{Ma}: 56\ 68\ 42$

$lab^*rgb^*_{Ma}: 1.0\ 0.25\ 0.0$

$lab^*olv^*_{Ma}: 1.0\ 0.17\ 0.0$

ORS20\_95a; adaptierte CIELAB-Daten

	$L^*=L^*_a$	$a^*_a$	$b^*_a$	$C^*_{ab,a}$	$h^*_{ab,a}$
r00j	48.88	63.91	30.45	70.79	25
r25j	55.85	50.36	45.65	67.97	42
r50j	65.45	33.86	56.12	65.54	59
r75j	75.19	17.13	66.73	68.89	76
j00g	87.03	-3.21	79.64	79.7	92
j25g	80.72	-24.03	66.82	71.01	110
j50g	70.64	-38.01	49.96	62.78	127
j75g	61.93	-50.08	35.41	61.34	145
g00b	52.8	-62.76	20.12	65.91	162
g25b	55.7	-47.65	-8.05	48.34	190
g50b	57.82	-36.91	-27.79	46.22	217
g75b	55.5	-21.19	-44.16	49.0	244
b00r	41.6	1.31	-43.27	43.3	272
b25r	29.0	24.11	-41.46	47.97	300
b50r	38.04	44.73	-27.29	52.41	329
b75r	49.48	70.07	-3.61	70.16	357



%Umfang  
 $u^*_{rel} = 83$   
 %Regularität  
 $g^*_{H,rel} = 72$   
 $g^*_{C,rel} = 57$

Ein und Ausgabe: Farbmetrisches Drucker-Reflektiv-System ORS20\_95a für relativen CIELAB-Bunton  $h^* = lab^*h^* = h_{ab}/360 = 59/360 = 0.164$

Daten für jede Farbe:

$lab^*tch^*$  und  $lab^*icu^*$

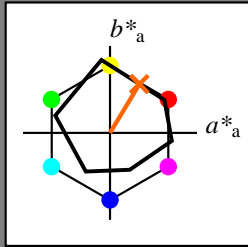
Elementar-Buntontext:

$u^* = r50j$

Kontrastreduzierungsfaktor:

$c_R = 0.96$

Dreiecks-Helligkeit  $t^*$



**ORS20\_95a; adaptierte CIELAB-Daten**

	$L^*=L^*_a$	$a^*_a$	$b^*_a$	$C^*_{ab,a}$	$h^*_{ab,a}$
$O_{Ma}$	48.75	62.56	37.91	73.15	31
$Y_{Ma}$	90.92	-9.88	83.88	84.46	97
$L_{Ma}$	52.69	-62.9	19.95	66.0	162
$C_{Ma}$	59.61	-27.85	-44.43	52.45	238
$V_{Ma}$	28.39	22.72	-42.42	48.13	298
$M_{Ma}$	49.58	71.08	-9.19	71.67	353
$N_{Ma}$	20.0	0.0	0.0	0.0	0
$W_{Ma}$	95.0	0.0	0.0	0.0	0
$R_{CIE}$	39.92	58.74	27.99	65.07	25
$J_{CIE}$	81.26	-2.88	71.56	71.62	92
$G_{CIE}$	52.23	-42.41	13.6	44.55	162
$B_{CIE}$	30.57	1.41	-46.46	46.49	272

Daten für Maximalfarbe (Ma):

$LAB^*LAB^*_{Ma}$ : 65 34 56

$LAB^*LCH^*_{Ma}$ : 65 66 59

$lab^*rgb^*_{Ma}$ : 1.0 0.5 0.0

$lab^*olv^*_{Ma}$ : 1.0 0.4 0.0

Dreiecks-Helligkeit  $t^*$

%Umfang

$u^*_{rel} = 83$

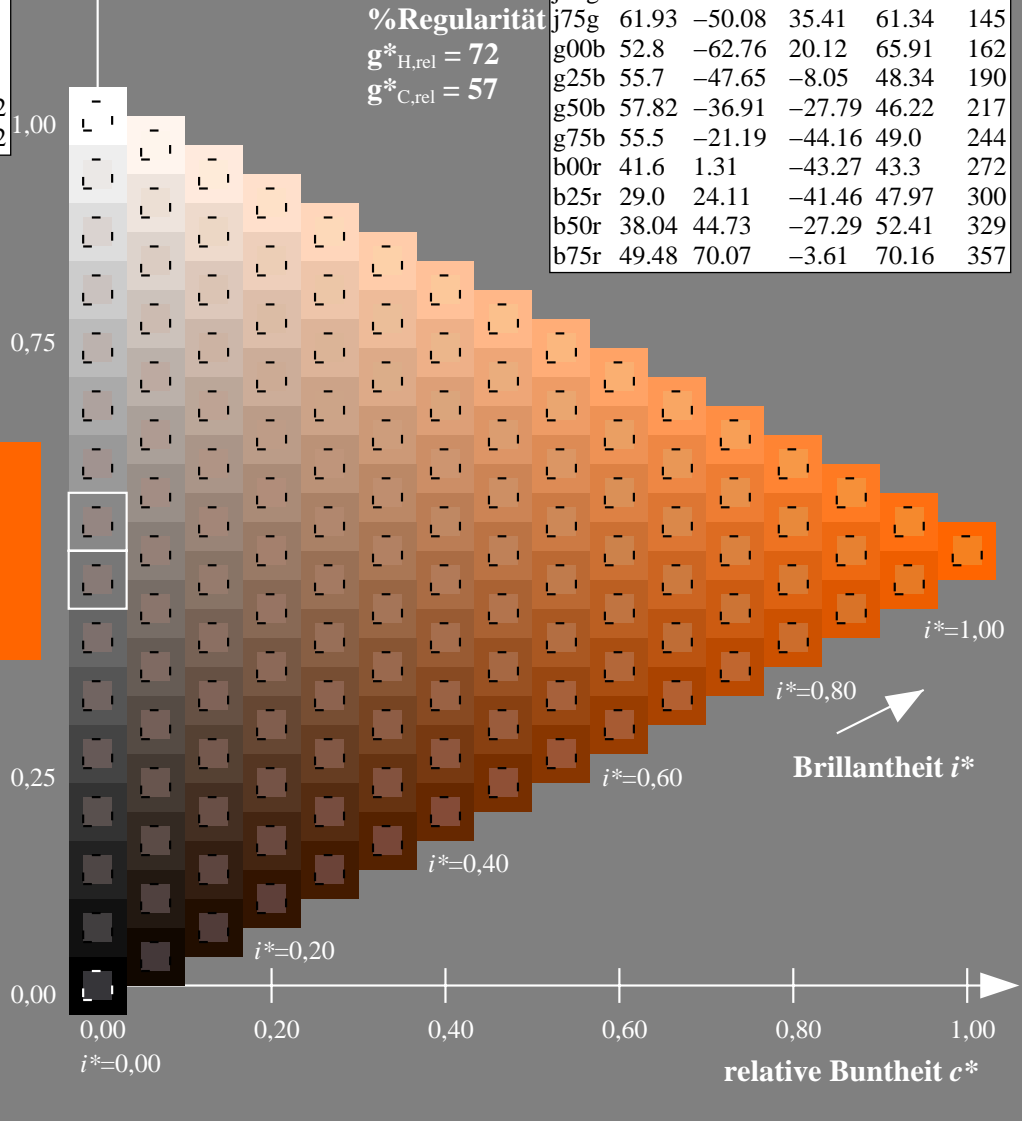
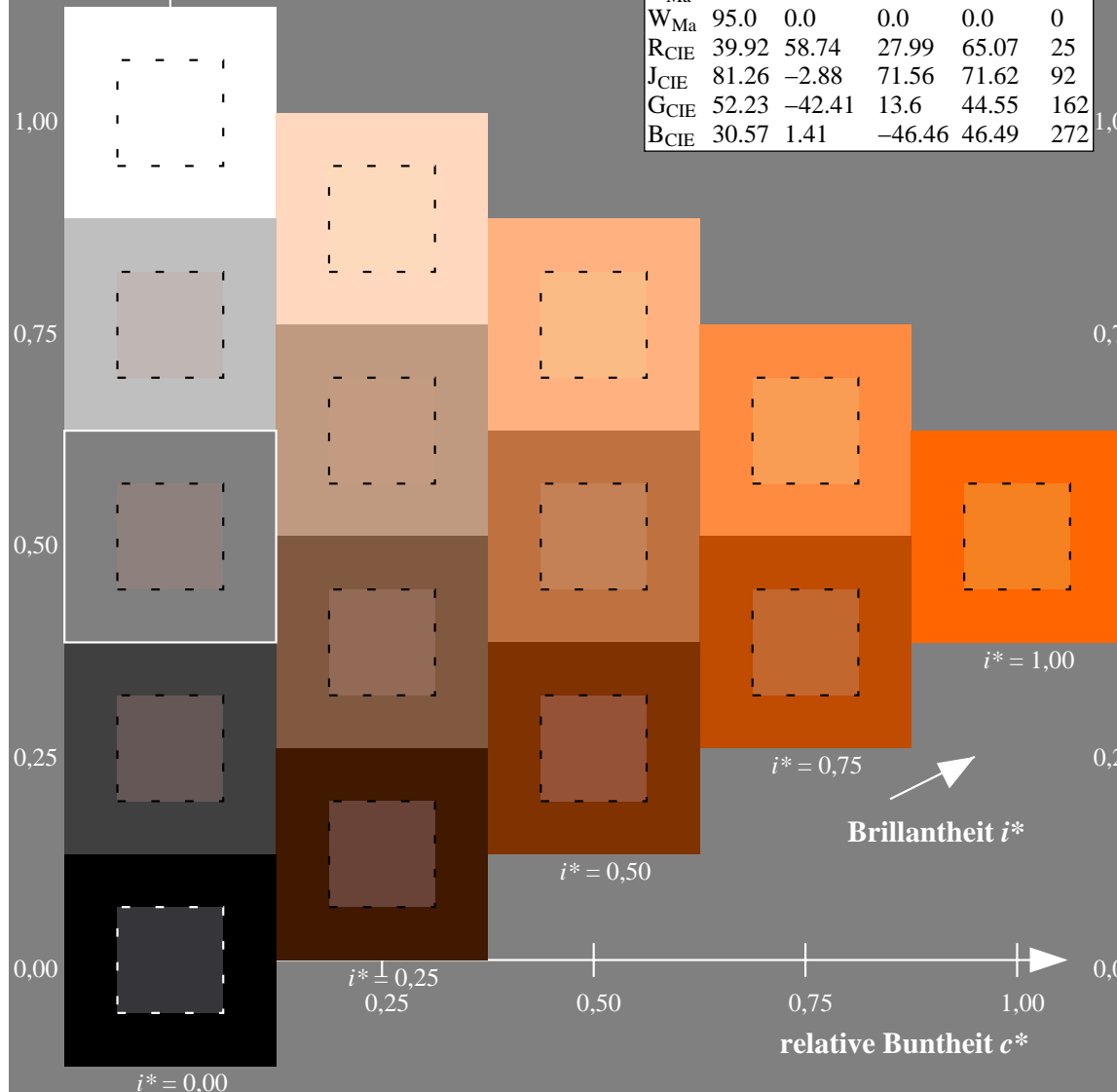
%Regularität

$g^*_{H,rel} = 72$

$g^*_{C,rel} = 57$

**ORS20\_95a; adaptierte CIELAB-Daten**

	$L^*=L^*_a$	$a^*_a$	$b^*_a$	$C^*_{ab,a}$	$h^*_{ab,a}$
r00j	48.88	63.91	30.45	70.79	25
r25j	55.85	50.36	45.65	67.97	42
r50j	65.45	33.86	56.12	65.54	59
r75j	75.19	17.13	66.73	68.89	76
j00g	87.03	-3.21	79.64	79.7	92
j25g	80.72	-24.03	66.82	71.01	110
j50g	70.64	-38.01	49.96	62.78	127
j75g	61.93	-50.08	35.41	61.34	145
g00b	52.8	-62.76	20.12	65.91	162
g25b	55.7	-47.65	-8.05	48.34	190
g50b	57.82	-36.91	-27.79	46.22	217
g75b	55.5	-21.19	-44.16	49.0	244
b00r	41.6	1.31	-43.27	43.3	272
b25r	29.0	24.11	-41.46	47.97	300
b50r	38.04	44.73	-27.29	52.41	329
b75r	49.48	70.07	-3.61	70.16	357



Ein und Ausgabe: Farbmétrisches Drucker-Reflektiv-System ORS20\_95a für relativen CIELAB-Bunton  $h^* = lab^*h^* = h_{ab}/360 = 76/360 = 0.21$

Daten für jede Farbe:

$lab^*tch^*$  und  $lab^*icu^*$

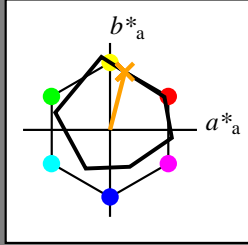
Elementar-Buntontext:

$u^* = r75j$

Kontrastreduzierungsfaktor:

$c_R = 0.96$

Dreiecks-Helligkeit  $t^*$



ORS20\_95a; adaptierte CIELAB-Daten

	$L^*=L^*_a$	$a^*_a$	$b^*_a$	$C^*_{ab,a}$	$h^*_{ab,a}$
$O_{Ma}$	48.75	62.56	37.91	73.15	31
$Y_{Ma}$	90.92	-9.88	83.88	84.46	97
$L_{Ma}$	52.69	-62.9	19.95	66.0	162
$C_{Ma}$	59.61	-27.85	-44.43	52.45	238
$V_{Ma}$	28.39	22.72	-42.42	48.13	298
$M_{Ma}$	49.58	71.08	-9.19	71.67	353
$N_{Ma}$	20.0	0.0	0.0	0.0	0
$W_{Ma}$	95.0	0.0	0.0	0.0	0
$R_{CIE}$	39.92	58.74	27.99	65.07	25
$J_{CIE}$	81.26	-2.88	71.56	71.62	92
$G_{CIE}$	52.23	-42.41	13.6	44.55	162
$B_{CIE}$	30.57	1.41	-46.46	46.49	272

Daten für Maximalfarbe (Ma):

$LAB^*LAB^*_{Ma}: 75\ 17\ 67$

$LAB^*LCH^*_{Ma}: 75\ 69\ 76$

$lab^*rgb^*_{Ma}: 1.0\ 0.75\ 0.0$

$lab^*olv^*_{Ma}: 1.0\ 0.63\ 0.0$

Dreiecks-Helligkeit  $t^*$

%Umfang

$u^*_{rel} = 83$

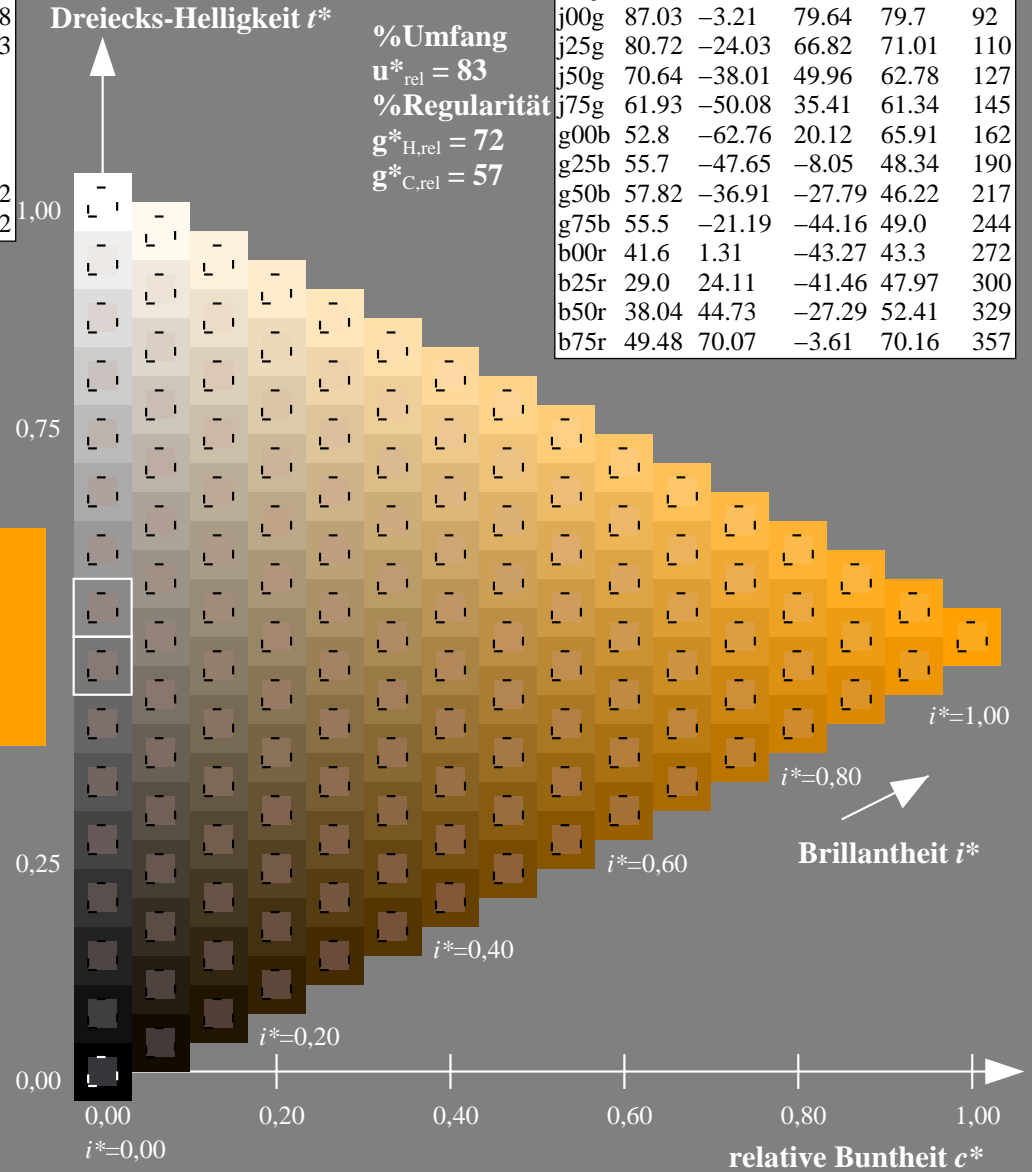
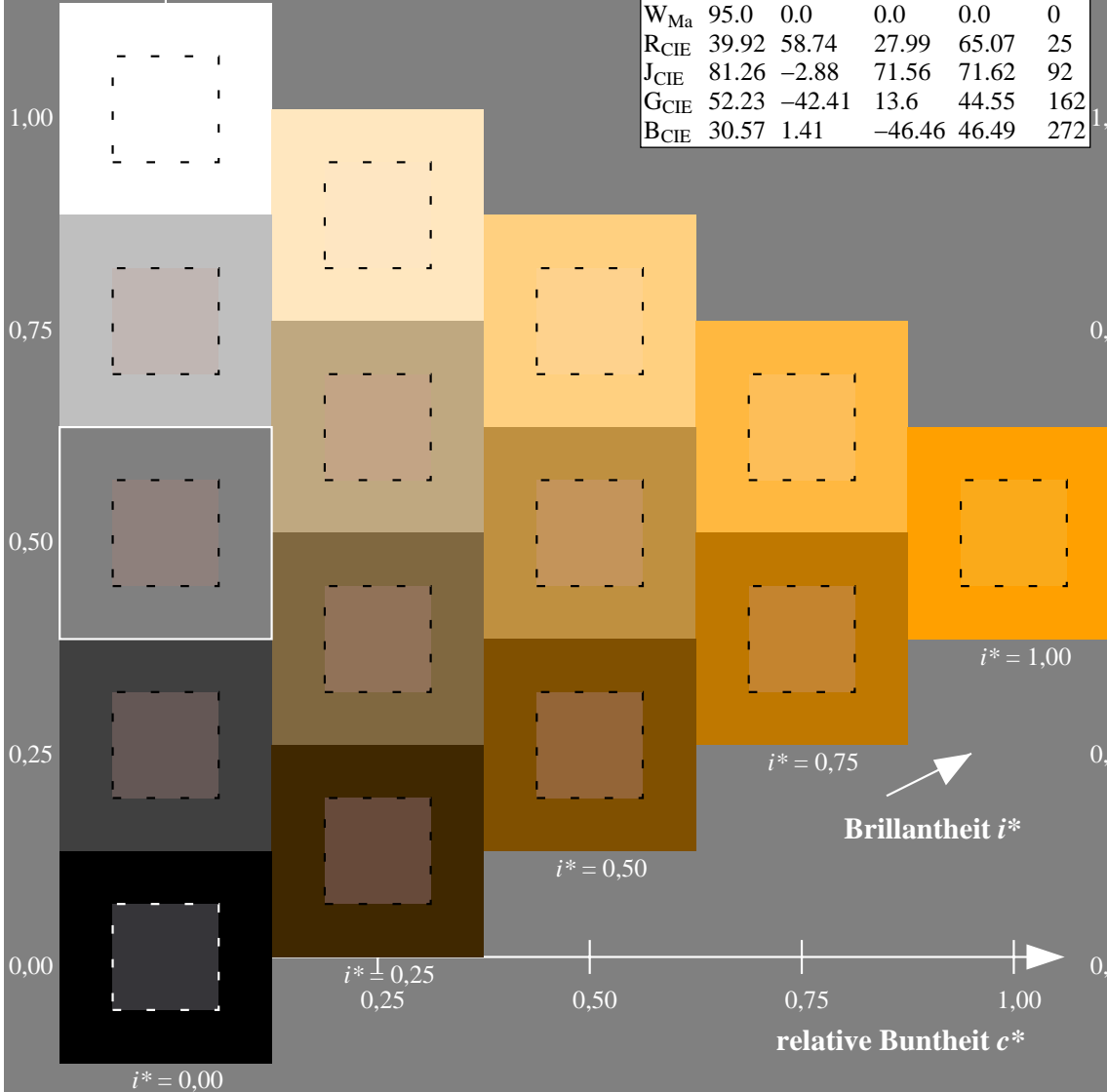
%Regularität

$g^*_{H,rel} = 72$

$g^*_{C,rel} = 57$

ORS20\_95a; adaptierte CIELAB-Daten

	$L^*=L^*_a$	$a^*_a$	$b^*_a$	$C^*_{ab,a}$	$h^*_{ab,a}$
r00j	48.88	63.91	30.45	70.79	25
r25j	55.85	50.36	45.65	67.97	42
r50j	65.45	33.86	56.12	65.54	59
r75j	75.19	17.13	66.73	68.89	76
j00g	87.03	-3.21	79.64	79.7	92
j25g	80.72	-24.03	66.82	71.01	110
j50g	70.64	-38.01	49.96	62.78	127
j75g	61.93	-50.08	35.41	61.34	145
g00b	52.8	-62.76	20.12	65.91	162
g25b	55.7	-47.65	-8.05	48.34	190
g50b	57.82	-36.91	-27.79	46.22	217
g75b	55.5	-21.19	-44.16	49.0	244
b00r	41.6	1.31	-43.27	43.3	272
b25r	29.0	24.11	-41.46	47.97	300
b50r	38.04	44.73	-27.29	52.41	329
b75r	49.48	70.07	-3.61	70.16	357



Ein und Ausgabe: Farbmetrisches Drucker-Reflektiv-System ORS20\_95a für relativen CIELAB-Bunton  $h^* = lab^*h^* = h_{ab}/360 = 92/360 = 0.256$

Daten für jede Farbe:

$lab^*ch^*$  und  $lab^*icu^*$

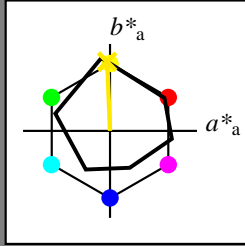
Elementar-Buntontext:

$u^* = j00g$

Kontrastreduzierungsfaktor:

$c_R = 0.96$

Dreiecks-Helligkeit  $t^*$



ORS20\_95a; adaptierte CIELAB-Daten

	$L^*=L^*_a$	$a^*_a$	$b^*_a$	$C^*_{ab,a}$	$h^*_{ab,a}$
$O_{Ma}$	48.75	62.56	37.91	73.15	31
$Y_{Ma}$	90.92	-9.88	83.88	84.46	97
$L_{Ma}$	52.69	-62.9	19.95	66.0	162
$C_{Ma}$	59.61	-27.85	-44.43	52.45	238
$V_{Ma}$	28.39	22.72	-42.42	48.13	298
$M_{Ma}$	49.58	71.08	-9.19	71.67	353
$N_{Ma}$	20.0	0.0	0.0	0.0	0
$W_{Ma}$	95.0	0.0	0.0	0.0	0
$R_{CIE}$	39.92	58.74	27.99	65.07	25
$J_{CIE}$	81.26	-2.88	71.56	71.62	92
$G_{CIE}$	52.23	-42.41	13.6	44.55	162
$B_{CIE}$	30.57	1.41	-46.46	46.49	272

Daten für Maximalfarbe (Ma):

$LAB^*LAB^*_{Ma}$ : 87 -2 80

$LAB^*LCH^*_{Ma}$ : 87 80 92

$lab^*rgb^*_{Ma}$ : 1.0 1.0 0.0

$lab^*olv^*_{Ma}$ : 1.0 0.91 0.0

Dreiecks-Helligkeit  $t^*$

%Umfang

$u^*_{rel} = 83$

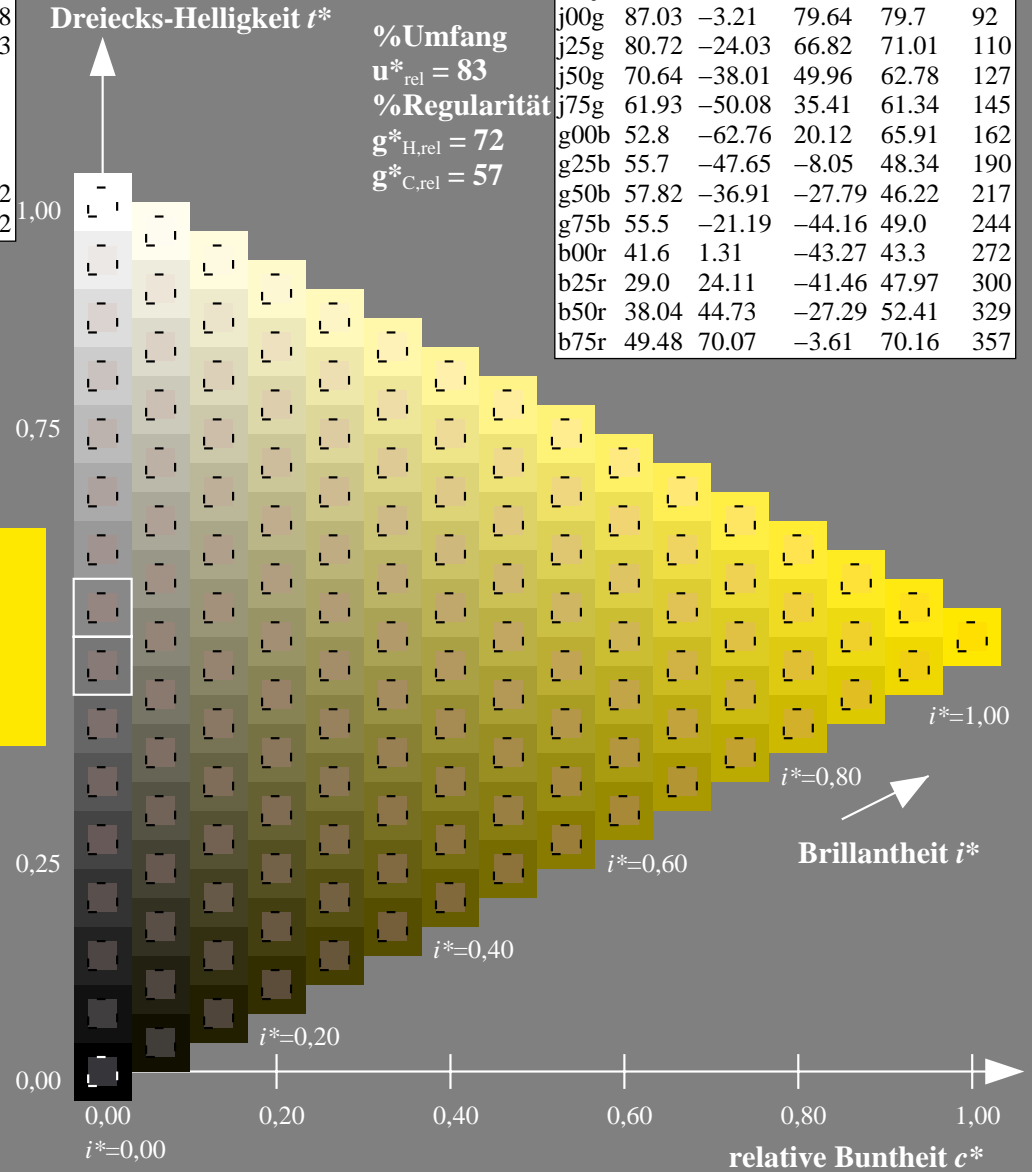
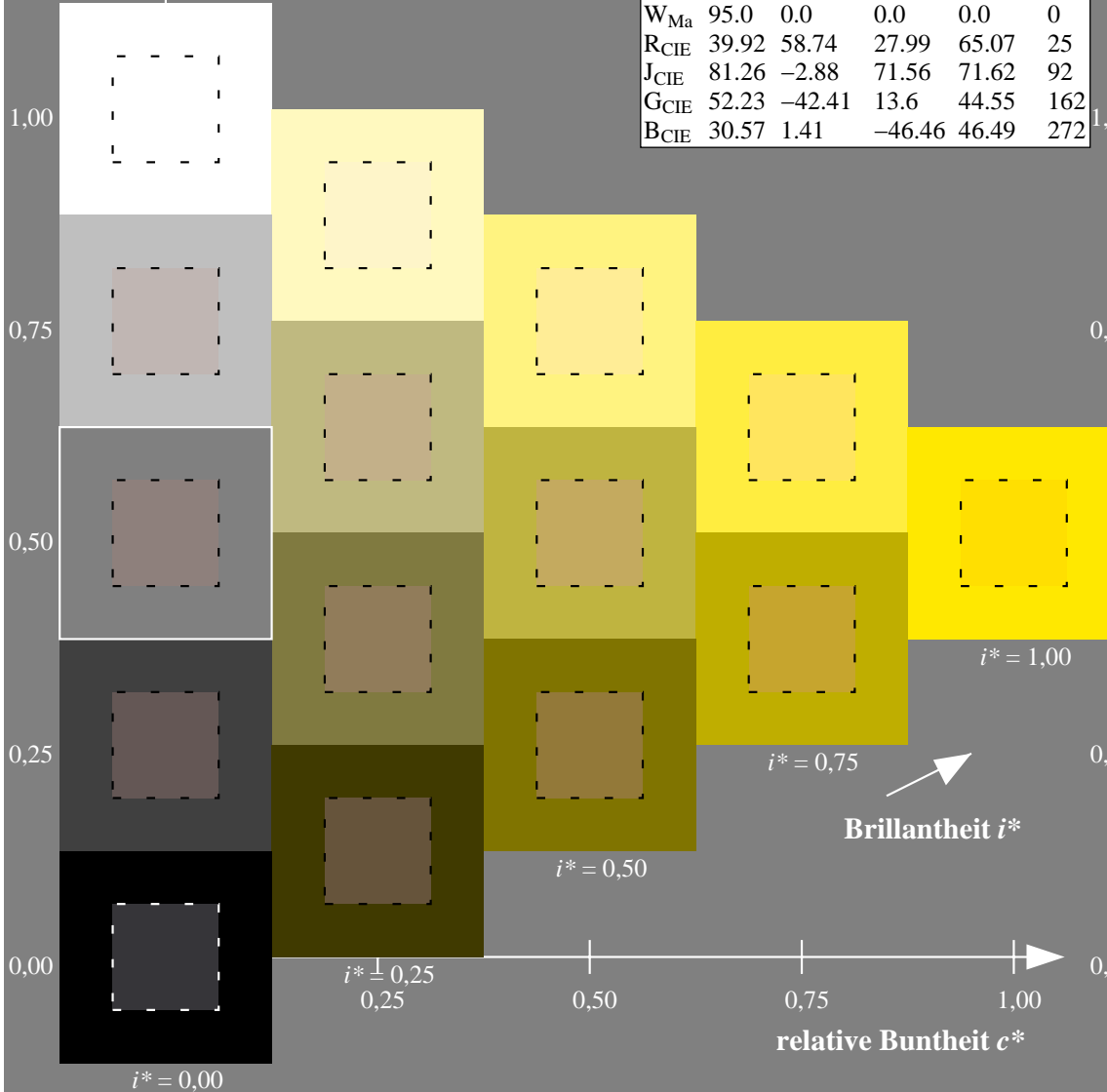
%Regularität

$g^*_{H,rel} = 72$

$g^*_{C,rel} = 57$

ORS20\_95a; adaptierte CIELAB-Daten

	$L^*=L^*_a$	$a^*_a$	$b^*_a$	$C^*_{ab,a}$	$h^*_{ab,a}$
r00j	48.88	63.91	30.45	70.79	25
r25j	55.85	50.36	45.65	67.97	42
r50j	65.45	33.86	56.12	65.54	59
r75j	75.19	17.13	66.73	68.89	76
j00g	87.03	-3.21	79.64	79.7	92
j25g	80.72	-24.03	66.82	71.01	110
j50g	70.64	-38.01	49.96	62.78	127
j75g	61.93	-50.08	35.41	61.34	145
g00b	52.8	-62.76	20.12	65.91	162
g25b	55.7	-47.65	-8.05	48.34	190
g50b	57.82	-36.91	-27.79	46.22	217
g75b	55.5	-21.19	-44.16	49.0	244
b00r	41.6	1.31	-43.27	43.3	272
b25r	29.0	24.11	-41.46	47.97	300
b50r	38.04	44.73	-27.29	52.41	329
b75r	49.48	70.07	-3.61	70.16	357



Ein und Ausgabe: Farbmetrisches Drucker-Reflektiv-System ORS20\_95a für relativen CIELAB-Bunton  $h^* = lab^*h^* = h_{ab}/360 = 110/360 = 0.305$

Daten für jede Farbe:

$lab^*ch^*$  und  $lab^*icu^*$

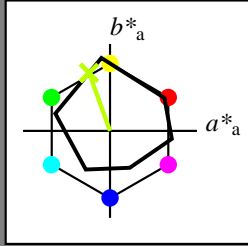
Elementar-Buntontext:

$u^* = j25g$

Kontrastreduzierungsfaktor:

$c_R = 0.96$

Dreiecks-Helligkeit  $t^*$



ORS20\_95a; adaptierte CIELAB-Daten

	$L^*=L^*_a$	$a^*_a$	$b^*_a$	$C^*_{ab,a}$	$h^*_{ab,a}$
$O_{Ma}$	48.75	62.56	37.91	73.15	31
$Y_{Ma}$	90.92	-9.88	83.88	84.46	97
$L_{Ma}$	52.69	-62.9	19.95	66.0	162
$C_{Ma}$	59.61	-27.85	-44.43	52.45	238
$V_{Ma}$	28.39	22.72	-42.42	48.13	298
$M_{Ma}$	49.58	71.08	-9.19	71.67	353
$N_{Ma}$	20.0	0.0	0.0	0.0	0
$W_{Ma}$	95.0	0.0	0.0	0.0	0
$R_{CIE}$	39.92	58.74	27.99	65.07	25
$J_{CIE}$	81.26	-2.88	71.56	71.62	92
$G_{CIE}$	52.23	-42.41	13.6	44.55	162
$B_{CIE}$	30.57	1.41	-46.46	46.49	272

Daten für Maximalfarbe (Ma):

$LAB^*LAB^*_{Ma}$ : 81 -23 67

$LAB^*LCH^*_{Ma}$ : 81 71 110

$lab^*rgb^*_{Ma}$ : 0.75 1.0 0.0

$lab^*olv^*_{Ma}$ : 0.73 1.0 0.0

Dreiecks-Helligkeit  $t^*$

%Umfang

$u^*_{rel} = 83$

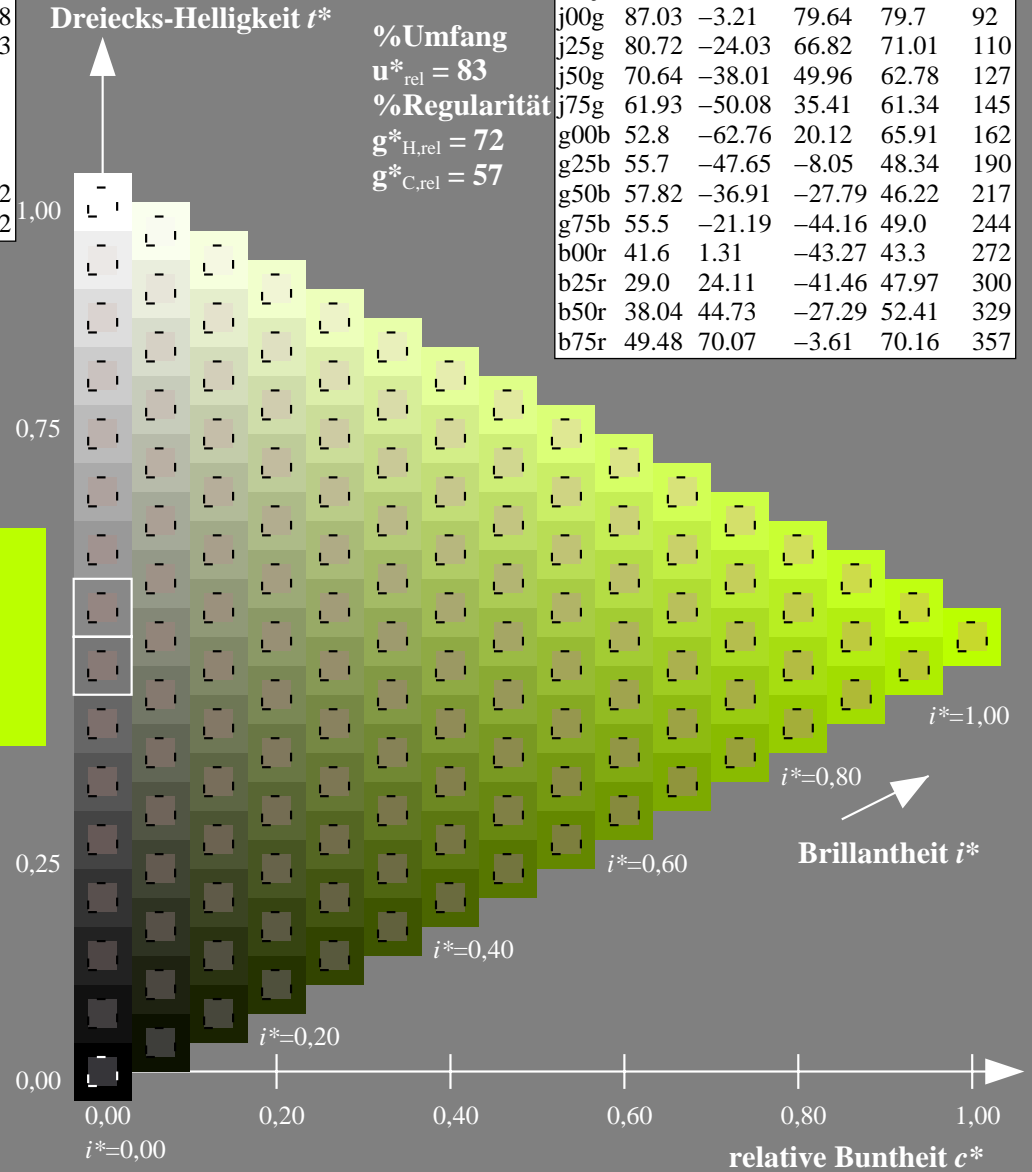
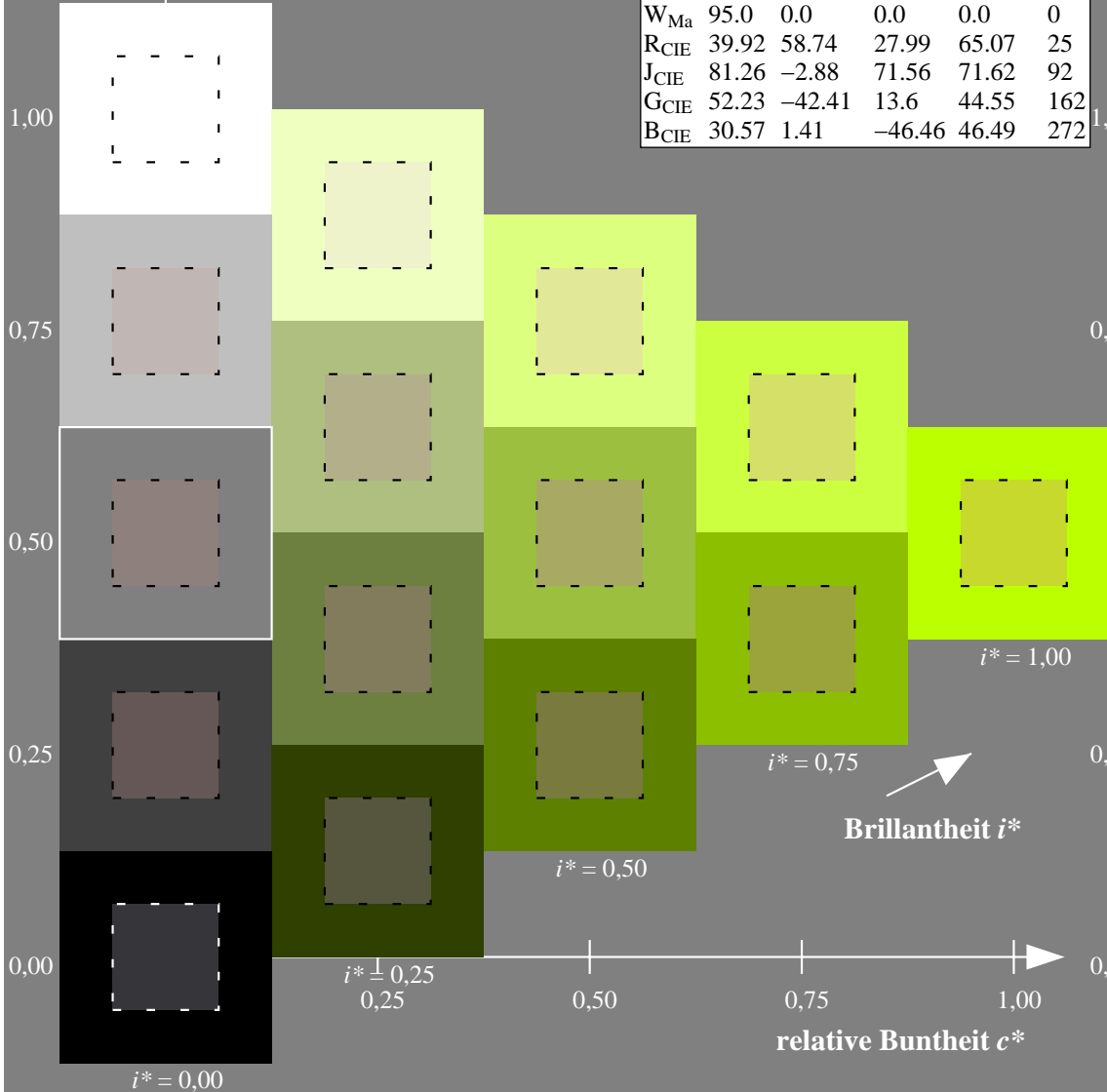
%Regularität

$g^*_{H,rel} = 72$

$g^*_{C,rel} = 57$

ORS20\_95a; adaptierte CIELAB-Daten

	$L^*=L^*_a$	$a^*_a$	$b^*_a$	$C^*_{ab,a}$	$h^*_{ab,a}$
r00j	48.88	63.91	30.45	70.79	25
r25j	55.85	50.36	45.65	67.97	42
r50j	65.45	33.86	56.12	65.54	59
r75j	75.19	17.13	66.73	68.89	76
j00g	87.03	-3.21	79.64	79.7	92
j25g	80.72	-24.03	66.82	71.01	110
j50g	70.64	-38.01	49.96	62.78	127
j75g	61.93	-50.08	35.41	61.34	145
g00b	52.8	-62.76	20.12	65.91	162
g25b	55.7	-47.65	-8.05	48.34	190
g50b	57.82	-36.91	-27.79	46.22	217
g75b	55.5	-21.19	-44.16	49.0	244
b00r	41.6	1.31	-43.27	43.3	272
b25r	29.0	24.11	-41.46	47.97	300
b50r	38.04	44.73	-27.29	52.41	329
b75r	49.48	70.07	-3.61	70.16	357



Ein und Ausgabe: Farbmetrisches Drucker-Reflektiv-System ORS20\_95a für relativen CIELAB-Bunton  $h^* = lab^*h^* = h_{ab}/360 = 127/360 = 0.354$

Daten für jede Farbe:

$lab^*tch^*$  und  $lab^*icu^*$

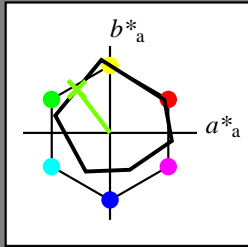
Elementar-Buntontext:

$u^* = j50g$

Kontrastreduzierungsfaktor:

$c_R = 0.96$

Dreiecks-Helligkeit  $t^*$



**ORS20\_95a; adaptierte CIELAB-Daten**

	$L^*=L^*_a$	$a^*_a$	$b^*_a$	$C^*_{ab,a}$	$h^*_{ab,a}$
$O_{Ma}$	48.75	62.56	37.91	73.15	31
$Y_{Ma}$	90.92	-9.88	83.88	84.46	97
$L_{Ma}$	52.69	-62.9	19.95	66.0	162
$C_{Ma}$	59.61	-27.85	-44.43	52.45	238
$V_{Ma}$	28.39	22.72	-42.42	48.13	298
$M_{Ma}$	49.58	71.08	-9.19	71.67	353
$N_{Ma}$	20.0	0.0	0.0	0.0	0
$W_{Ma}$	95.0	0.0	0.0	0.0	0
$R_{CIE}$	39.92	58.74	27.99	65.07	25
$J_{CIE}$	81.26	-2.88	71.56	71.62	92
$G_{CIE}$	52.23	-42.41	13.6	44.55	162
$B_{CIE}$	30.57	1.41	-46.46	46.49	272

Daten für Maximalfarbe (Ma):

$LAB^*LAB^*_{Ma}$ : 71 -37 50

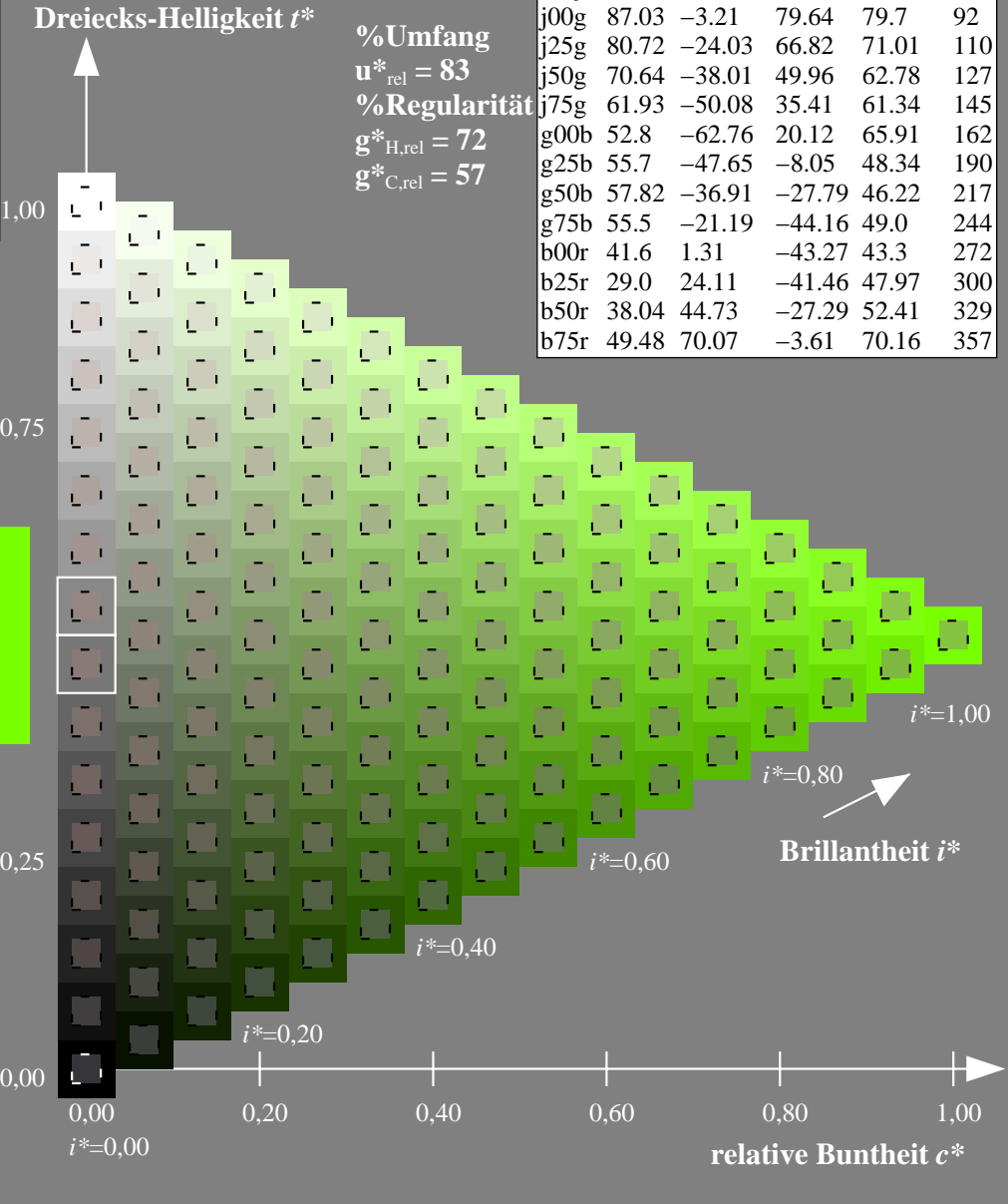
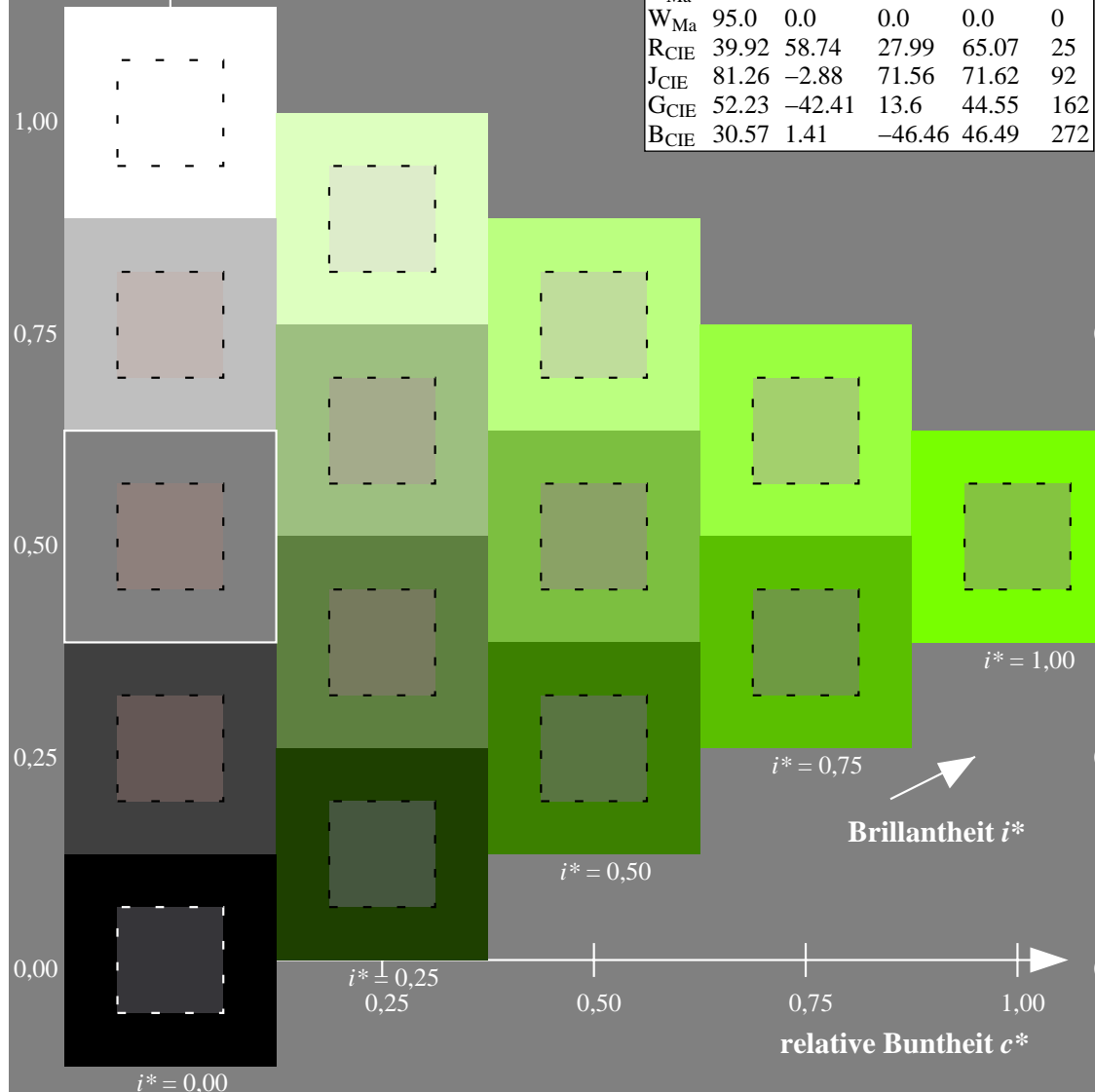
$LAB^*LCH^*_{Ma}$ : 71 63 127

$lab^*rgb^*_{Ma}$ : 0.5 1.0 0.0

$lab^*olv^*_{Ma}$ : 0.47 1.0 0.0

**ORS20\_95a; adaptierte CIELAB-Daten**

	$L^*=L^*_a$	$a^*_a$	$b^*_a$	$C^*_{ab,a}$	$h^*_{ab,a}$
r00j	48.88	63.91	30.45	70.79	25
r25j	55.85	50.36	45.65	67.97	42
r50j	65.45	33.86	56.12	65.54	59
r75j	75.19	17.13	66.73	68.89	76
j00g	87.03	-3.21	79.64	79.7	92
j25g	80.72	-24.03	66.82	71.01	110
j50g	70.64	-38.01	49.96	62.78	127
j75g	61.93	-50.08	35.41	61.34	145
g00b	52.8	-62.76	20.12	65.91	162
g25b	55.7	-47.65	-8.05	48.34	190
g50b	57.82	-36.91	-27.79	46.22	217
g75b	55.5	-21.19	-44.16	49.0	244
b00r	41.6	1.31	-43.27	43.3	272
b25r	29.0	24.11	-41.46	47.97	300
b50r	38.04	44.73	-27.29	52.41	329
b75r	49.48	70.07	-3.61	70.16	357





Ein und Ausgabe: Farbmétrisches Drucker-Reflektiv-System ORS20\_95a für relativen CIELAB-Bunton  $h^* = lab^*h^* = h_{ab}/360 = 145/360 = 0.402$

Daten für jede Farbe:

$lab^*tch^*$  und  $lab^*icu^*$

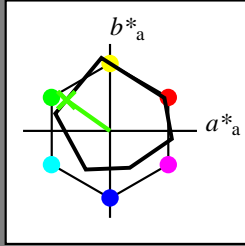
Elementar-Buntontext:

$u^* = j75g$

Kontrastreduzierungsfaktor:

$c_R = 0.96$

Dreiecks-Helligkeit  $t^*$



ORS20\_95a; adaptierte CIELAB-Daten

	$L^*=L^*_a$	$a^*_a$	$b^*_a$	$C^*_{ab,a}$	$h^*_{ab,a}$
$O_{Ma}$	48.75	62.56	37.91	73.15	31
$Y_{Ma}$	90.92	-9.88	83.88	84.46	97
$L_{Ma}$	52.69	-62.9	19.95	66.0	162
$C_{Ma}$	59.61	-27.85	-44.43	52.45	238
$V_{Ma}$	28.39	22.72	-42.42	48.13	298
$M_{Ma}$	49.58	71.08	-9.19	71.67	353
$N_{Ma}$	20.0	0.0	0.0	0.0	0
$W_{Ma}$	95.0	0.0	0.0	0.0	0
$R_{CIE}$	39.92	58.74	27.99	65.07	25
$J_{CIE}$	81.26	-2.88	71.56	71.62	92
$G_{CIE}$	52.23	-42.41	13.6	44.55	162
$B_{CIE}$	30.57	1.41	-46.46	46.49	272

Daten für Maximalfarbe (Ma):

$LAB^*LAB^*_{Ma}$ : 62 -49 35

$LAB^*LCH^*_{Ma}$ : 62 61 145

$lab^*rgb^*_{Ma}$ : 0.25 1.0 0.0

$lab^*olv^*_{Ma}$ : 0.24 1.0 0.0

Dreiecks-Helligkeit  $t^*$

%Umfang

$u^*_{rel} = 83$

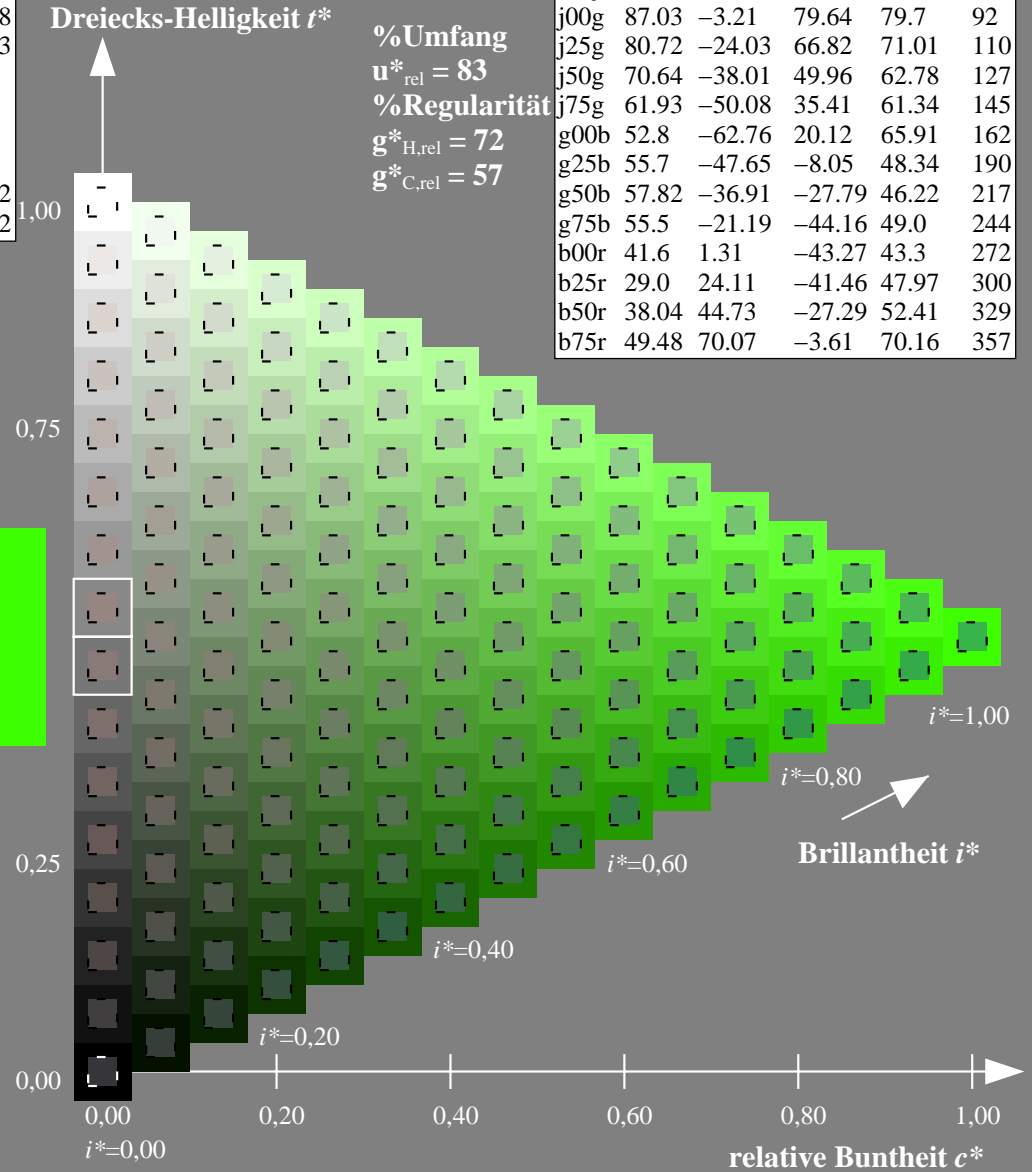
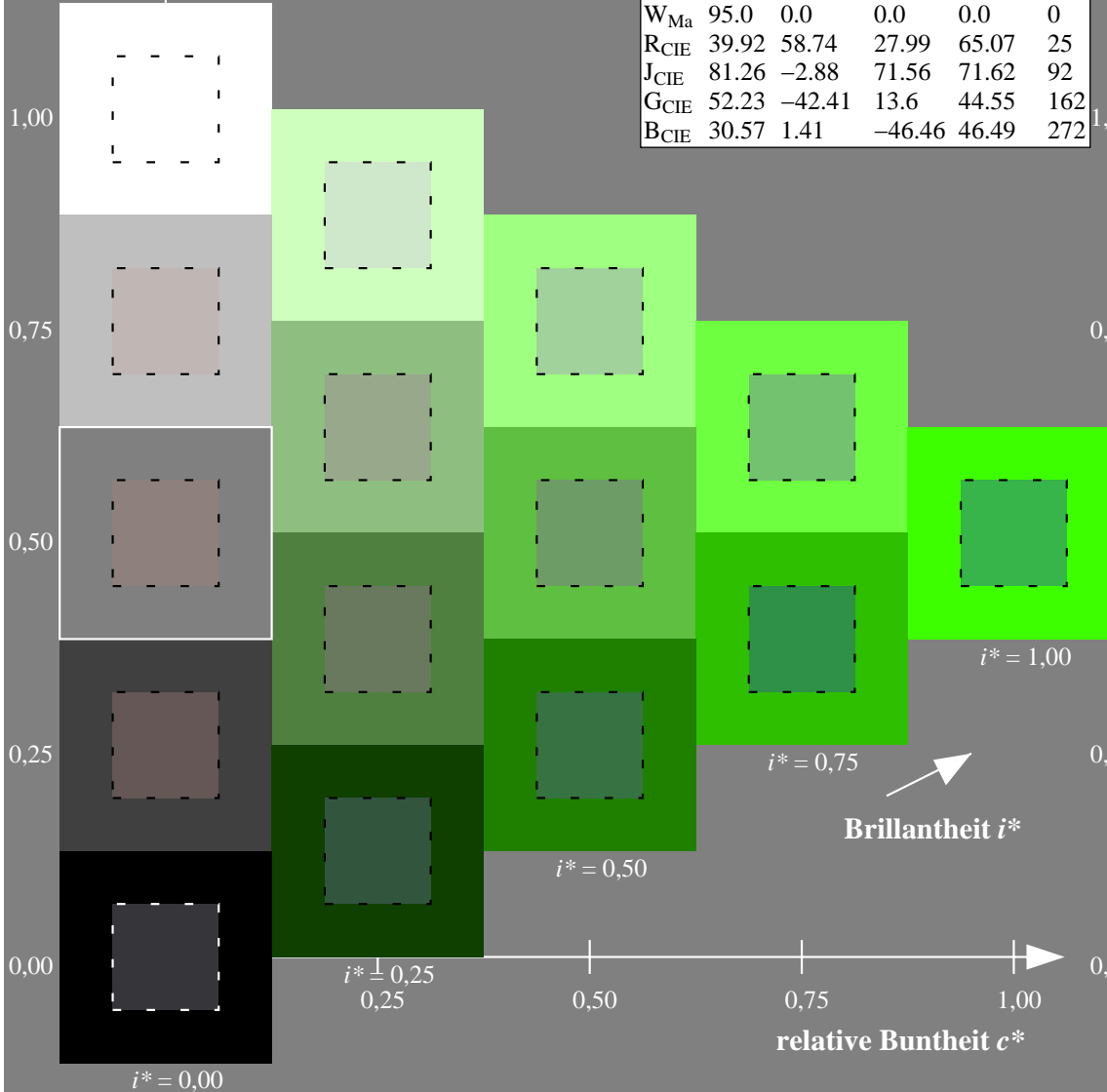
%Regularität

$g^*_{H,rel} = 72$

$g^*_{C,rel} = 57$

ORS20\_95a; adaptierte CIELAB-Daten

	$L^*=L^*_a$	$a^*_a$	$b^*_a$	$C^*_{ab,a}$	$h^*_{ab,a}$
r00j	48.88	63.91	30.45	70.79	25
r25j	55.85	50.36	45.65	67.97	42
r50j	65.45	33.86	56.12	65.54	59
r75j	75.19	17.13	66.73	68.89	76
j00g	87.03	-3.21	79.64	79.7	92
j25g	80.72	-24.03	66.82	71.01	110
j50g	70.64	-38.01	49.96	62.78	127
j75g	61.93	-50.08	35.41	61.34	145
g00b	52.8	-62.76	20.12	65.91	162
g25b	55.7	-47.65	-8.05	48.34	190
g50b	57.82	-36.91	-27.79	46.22	217
g75b	55.5	-21.19	-44.16	49.0	244
b00r	41.6	1.31	-43.27	43.3	272
b25r	29.0	24.11	-41.46	47.97	300
b50r	38.04	44.73	-27.29	52.41	329
b75r	49.48	70.07	-3.61	70.16	357



Ein und Ausgabe: Farbmetrisches Drucker-Reflektiv-System ORS20\_95a für relativen CIELAB-Bunton  $h^* = lab^*h^* = h_{ab}/360 = 162/360 = 0.451$

Daten für jede Farbe:

$lab^*tch^*$  und  $lab^*icu^*$

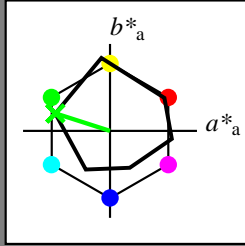
Elementar-Buntontext:

$u^* = g00b$

Kontrastreduzierungsfaktor:

$c_R = 0.96$

Dreiecks-Helligkeit  $t^*$



ORS20\_95a; adaptierte CIELAB-Daten

	$L^*=L^*_a$	$a^*_a$	$b^*_a$	$C^*_{ab,a}$	$h^*_{ab,a}$
$O_{Ma}$	48.75	62.56	37.91	73.15	31
$Y_{Ma}$	90.92	-9.88	83.88	84.46	97
$L_{Ma}$	52.69	-62.9	19.95	66.0	162
$C_{Ma}$	59.61	-27.85	-44.43	52.45	238
$V_{Ma}$	28.39	22.72	-42.42	48.13	298
$M_{Ma}$	49.58	71.08	-9.19	71.67	353
$N_{Ma}$	20.0	0.0	0.0	0.0	0
$W_{Ma}$	95.0	0.0	0.0	0.0	0
$R_{CIE}$	39.92	58.74	27.99	65.07	25
$J_{CIE}$	81.26	-2.88	71.56	71.62	92
$G_{CIE}$	52.23	-42.41	13.6	44.55	162
$B_{CIE}$	30.57	1.41	-46.46	46.49	272

Daten für Maximalfarbe (Ma):

$LAB^*LAB^*_{Ma}$ : 53 -62 20

$LAB^*LCH^*_{Ma}$ : 53 66 162

$lab^*rgb^*_{Ma}$ : 0.0 1.0 0.0

$lab^*olv^*_{Ma}$ : 0.0 1.0 0.0

Dreiecks-Helligkeit  $t^*$

%Umfang

$u^*_{rel} = 83$

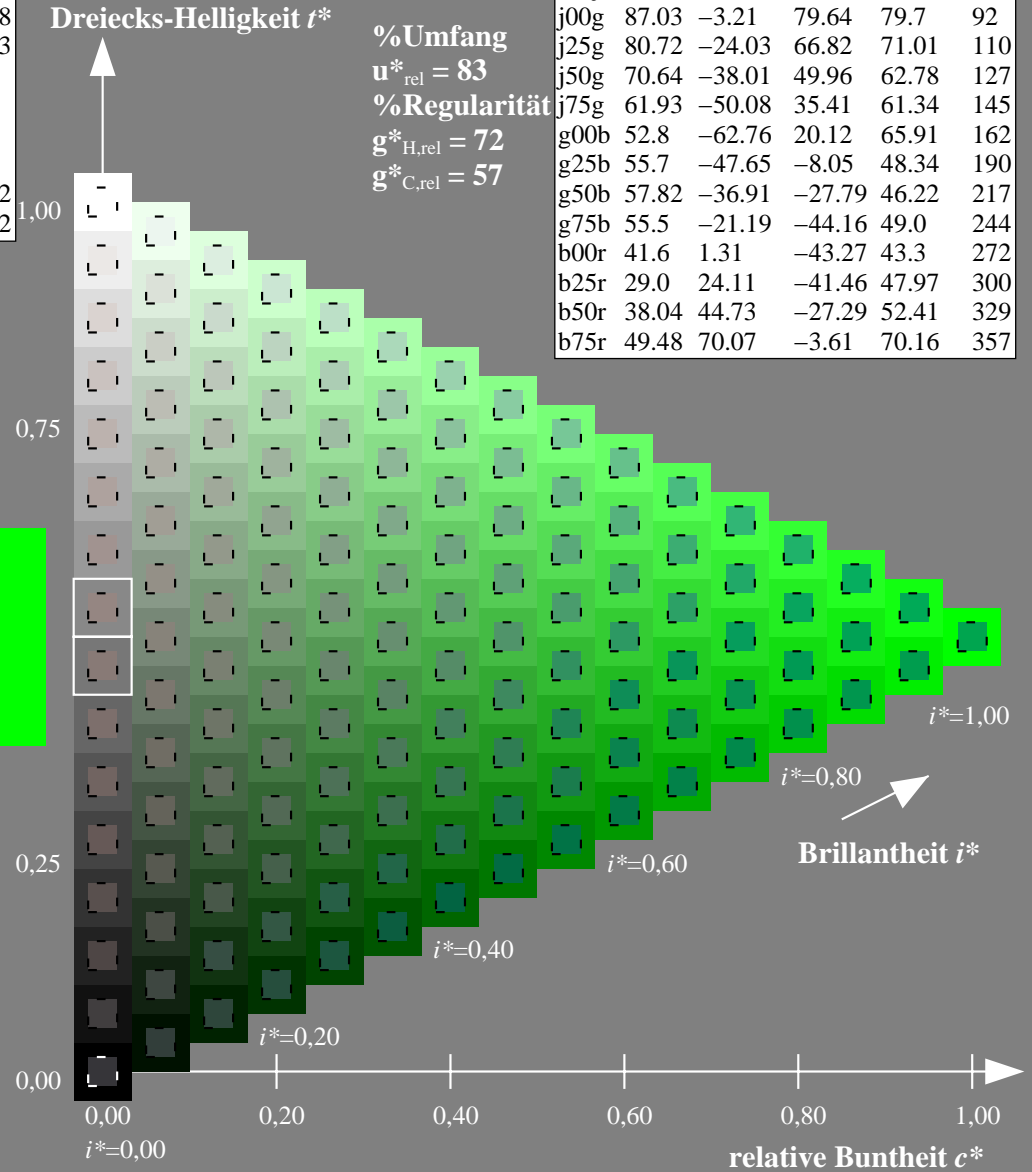
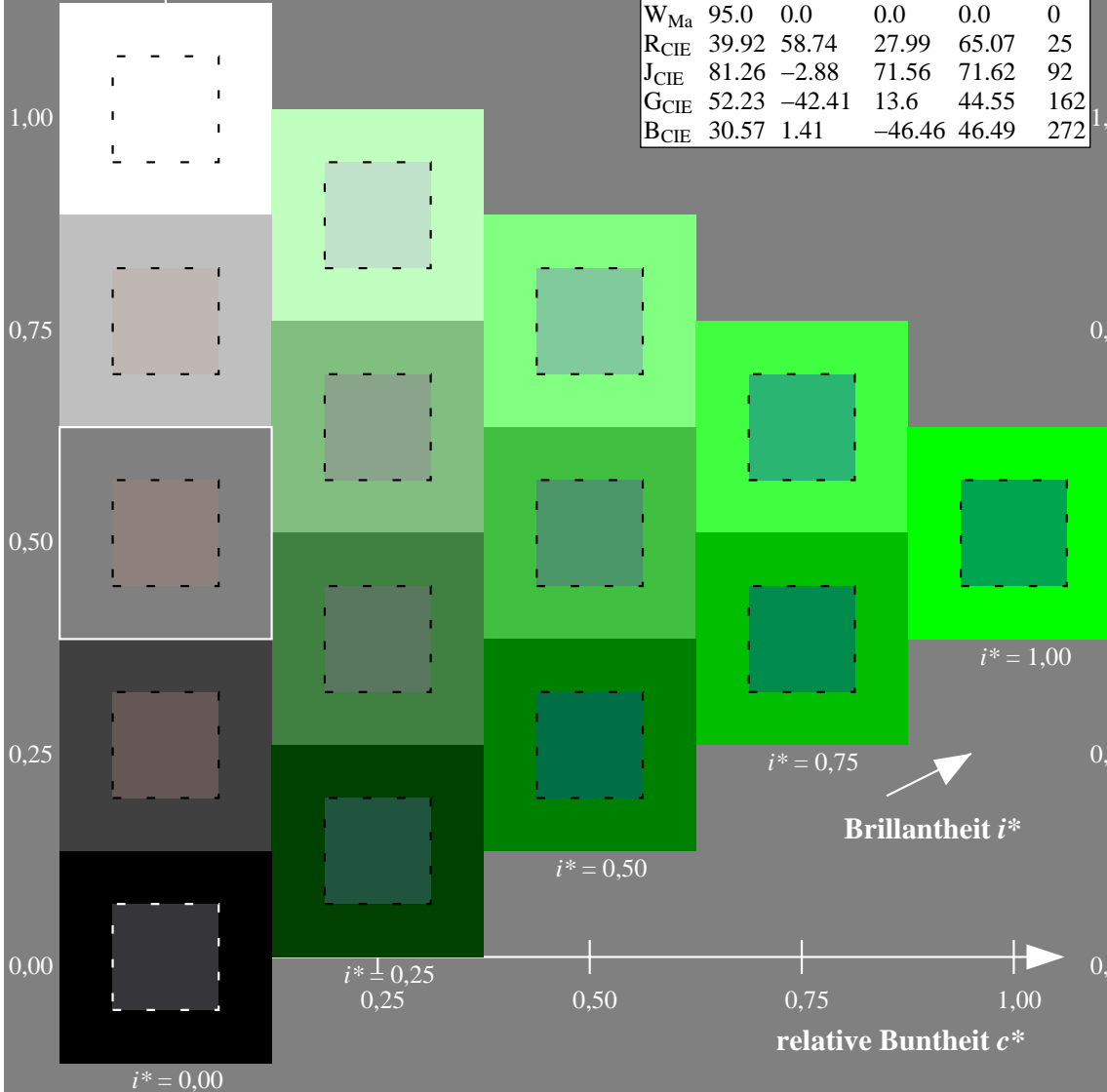
%Regularität

$g^*_{H,rel} = 72$

$g^*_{C,rel} = 57$

ORS20\_95a; adaptierte CIELAB-Daten

	$L^*=L^*_a$	$a^*_a$	$b^*_a$	$C^*_{ab,a}$	$h^*_{ab,a}$
r00j	48.88	63.91	30.45	70.79	25
r25j	55.85	50.36	45.65	67.97	42
r50j	65.45	33.86	56.12	65.54	59
r75j	75.19	17.13	66.73	68.89	76
j00g	87.03	-3.21	79.64	79.7	92
j25g	80.72	-24.03	66.82	71.01	110
j50g	70.64	-38.01	49.96	62.78	127
j75g	61.93	-50.08	35.41	61.34	145
g00b	52.8	-62.76	20.12	65.91	162
g25b	55.7	-47.65	-8.05	48.34	190
g50b	57.82	-36.91	-27.79	46.22	217
g75b	55.5	-21.19	-44.16	49.0	244
b00r	41.6	1.31	-43.27	43.3	272
b25r	29.0	24.11	-41.46	47.97	300
b50r	38.04	44.73	-27.29	52.41	329
b75r	49.48	70.07	-3.61	70.16	357



Ein und Ausgabe: Farbmétrisches Drucker-Reflektiv-System ORS20\_95a für relativen CIELAB-Bunton  $h^* = lab^*h^* = h_{ab}/360 = 190/360 = 0.527$

Daten für jede Farbe:

$lab^*tch^*$  und  $lab^*icu^*$

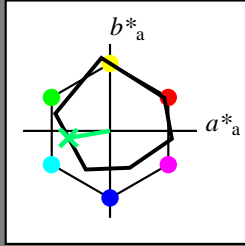
Elementar-Buntontext:

$u^* = g25b$

Kontrastreduzierungsfaktor:

$c_R = 0.96$

Dreiecks-Helligkeit  $t^*$



ORS20\_95a; adaptierte CIELAB-Daten

	$L^*=L^*_a$	$a^*_a$	$b^*_a$	$C^*_{ab,a}$	$h^*_{ab,a}$
O <sub>Ma</sub>	48.75	62.56	37.91	73.15	31
Y <sub>Ma</sub>	90.92	-9.88	83.88	84.46	97
L <sub>Ma</sub>	52.69	-62.9	19.95	66.0	162
C <sub>Ma</sub>	59.61	-27.85	-44.43	52.45	238
V <sub>Ma</sub>	28.39	22.72	-42.42	48.13	298
M <sub>Ma</sub>	49.58	71.08	-9.19	71.67	353
N <sub>Ma</sub>	20.0	0.0	0.0	0.0	0
W <sub>Ma</sub>	95.0	0.0	0.0	0.0	0
R <sub>CIE</sub>	39.92	58.74	27.99	65.07	25
J <sub>CIE</sub>	81.26	-2.88	71.56	71.62	92
G <sub>CIE</sub>	52.23	-42.41	13.6	44.55	162
B <sub>CIE</sub>	30.57	1.41	-46.46	46.49	272

Daten für Maximalfarbe (Ma):

$LAB^*LAB^*_{Ma}$ : 56 -47 -7

$LAB^*LCH^*_{Ma}$ : 56 48 190

$lab^*rgb^*_{Ma}$ : 0.0 1.0 0.5

$lab^*olv^*_{Ma}$ : 0.0 1.0 0.44

Dreiecks-Helligkeit  $t^*$

%Umfang

$u^*_{rel} = 83$

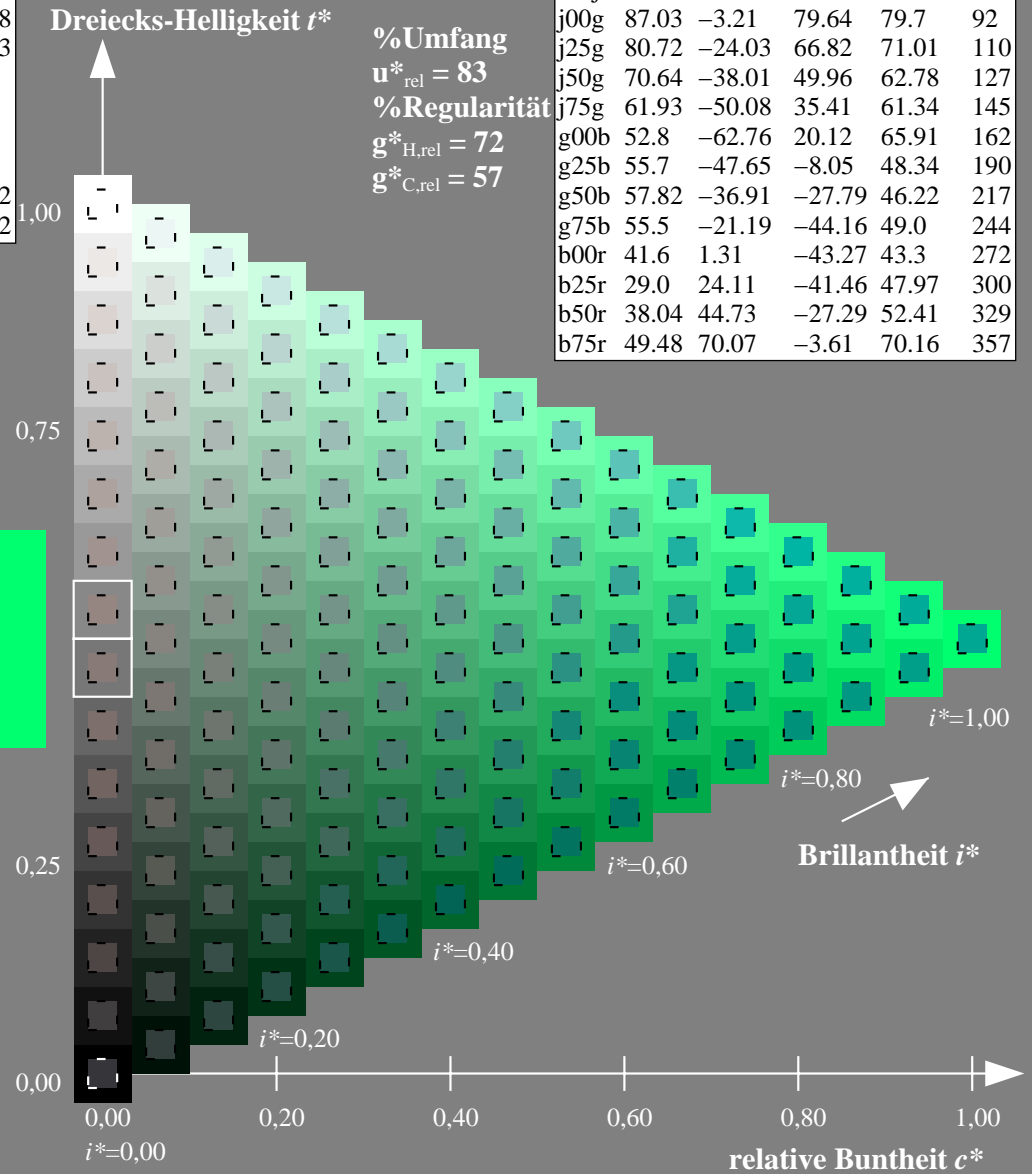
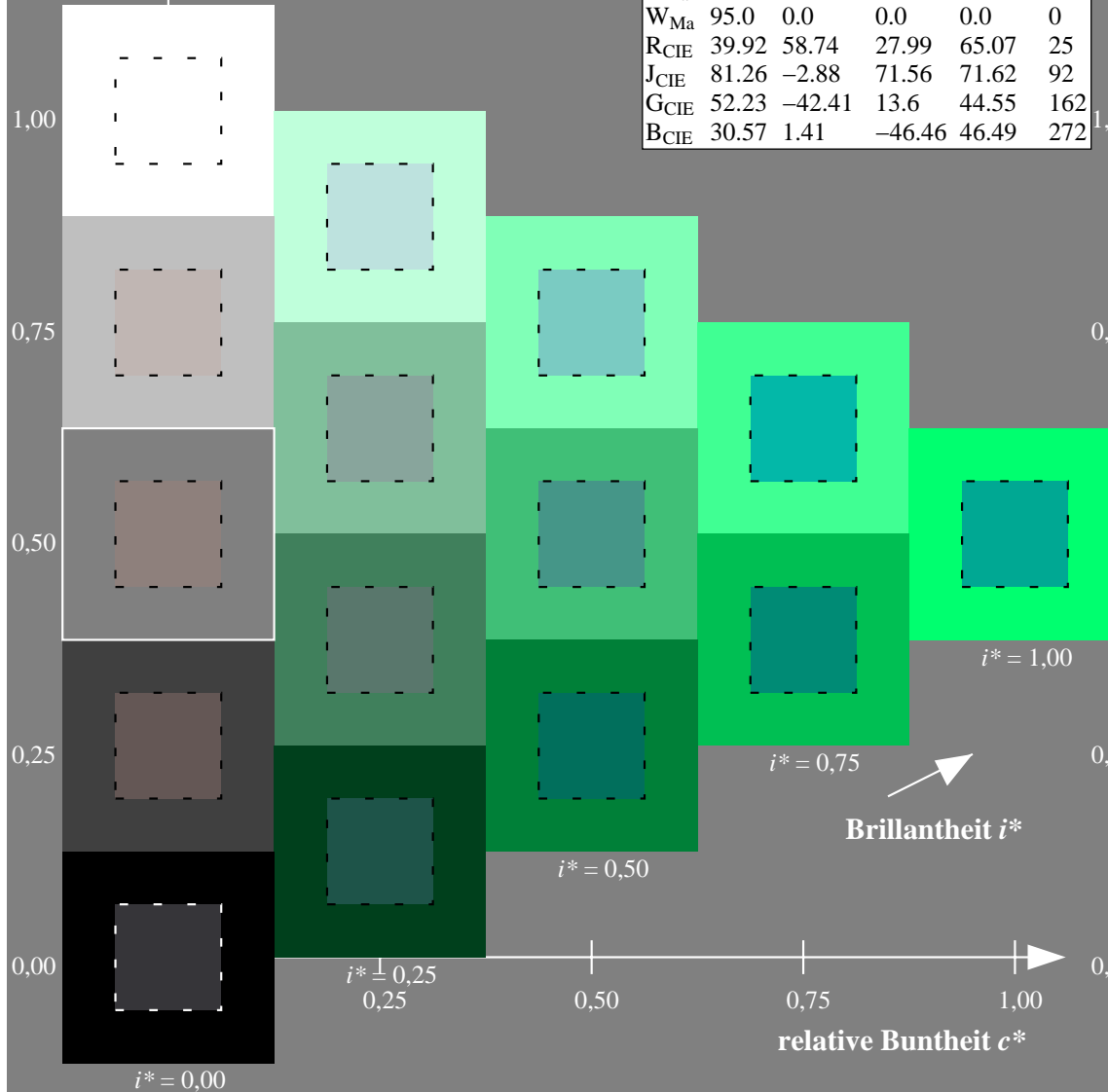
%Regularität

$g^*_{H,rel} = 72$

$g^*_{C,rel} = 57$

ORS20\_95a; adaptierte CIELAB-Daten

	$L^*=L^*_a$	$a^*_a$	$b^*_a$	$C^*_{ab,a}$	$h^*_{ab,a}$
r00j	48.88	63.91	30.45	70.79	25
r25j	55.85	50.36	45.65	67.97	42
r50j	65.45	33.86	56.12	65.54	59
r75j	75.19	17.13	66.73	68.89	76
j00g	87.03	-3.21	79.64	79.7	92
j25g	80.72	-24.03	66.82	71.01	110
j50g	70.64	-38.01	49.96	62.78	127
j75g	61.93	-50.08	35.41	61.34	145
g00b	52.8	-62.76	20.12	65.91	162
g25b	55.7	-47.65	-8.05	48.34	190
g50b	57.82	-36.91	-27.79	46.22	217
g75b	55.5	-21.19	-44.16	49.0	244
b00r	41.6	1.31	-43.27	43.3	272
b25r	29.0	24.11	-41.46	47.97	300
b50r	38.04	44.73	-27.29	52.41	329
b75r	49.48	70.07	-3.61	70.16	357



Ein und Ausgabe: Farbmatisches Drucker-Reflektiv-System ORS20\_95a für relativen CIELAB-Bunton  $h^* = lab^*h^* = h_{ab}/360 = 217/360 = 0.603$

Daten für jede Farbe:

$lab^*tch^*$  und  $lab^*icu^*$

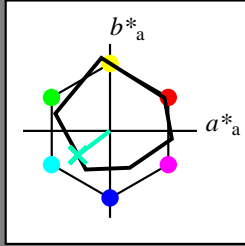
Elementar-Buntontext:

$u^* = g50b$

Kontrastreduzierungsfaktor:

$c_R = 0.96$

Dreiecks-Helligkeit  $t^*$



ORS20\_95a; adaptierte CIELAB-Daten

	$L^*=L^*_a$	$a^*_a$	$b^*_a$	$C^*_{ab,a}$	$h^*_{ab,a}$
O <sub>Ma</sub>	48.75	62.56	37.91	73.15	31
Y <sub>Ma</sub>	90.92	-9.88	83.88	84.46	97
L <sub>Ma</sub>	52.69	-62.9	19.95	66.0	162
C <sub>Ma</sub>	59.61	-27.85	-44.43	52.45	238
V <sub>Ma</sub>	28.39	22.72	-42.42	48.13	298
M <sub>Ma</sub>	49.58	71.08	-9.19	71.67	353
N <sub>Ma</sub>	20.0	0.0	0.0	0.0	0
W <sub>Ma</sub>	95.0	0.0	0.0	0.0	0
R <sub>CIE</sub>	39.92	58.74	27.99	65.07	25
J <sub>CIE</sub>	81.26	-2.88	71.56	71.62	92
G <sub>CIE</sub>	52.23	-42.41	13.6	44.55	162
B <sub>CIE</sub>	30.57	1.41	-46.46	46.49	272

Daten für Maximalfarbe (Ma):

$LAB^*LAB^*_{Ma}$ : 58 -36 -27

$LAB^*LCH^*_{Ma}$ : 58 46 217

$lab^*rgb^*_{Ma}$ : 0.0 1.0 1.0

$lab^*olv^*_{Ma}$ : 0.0 1.0 0.74

Dreiecks-Helligkeit  $t^*$

%Umfang

$u^*_{rel} = 83$

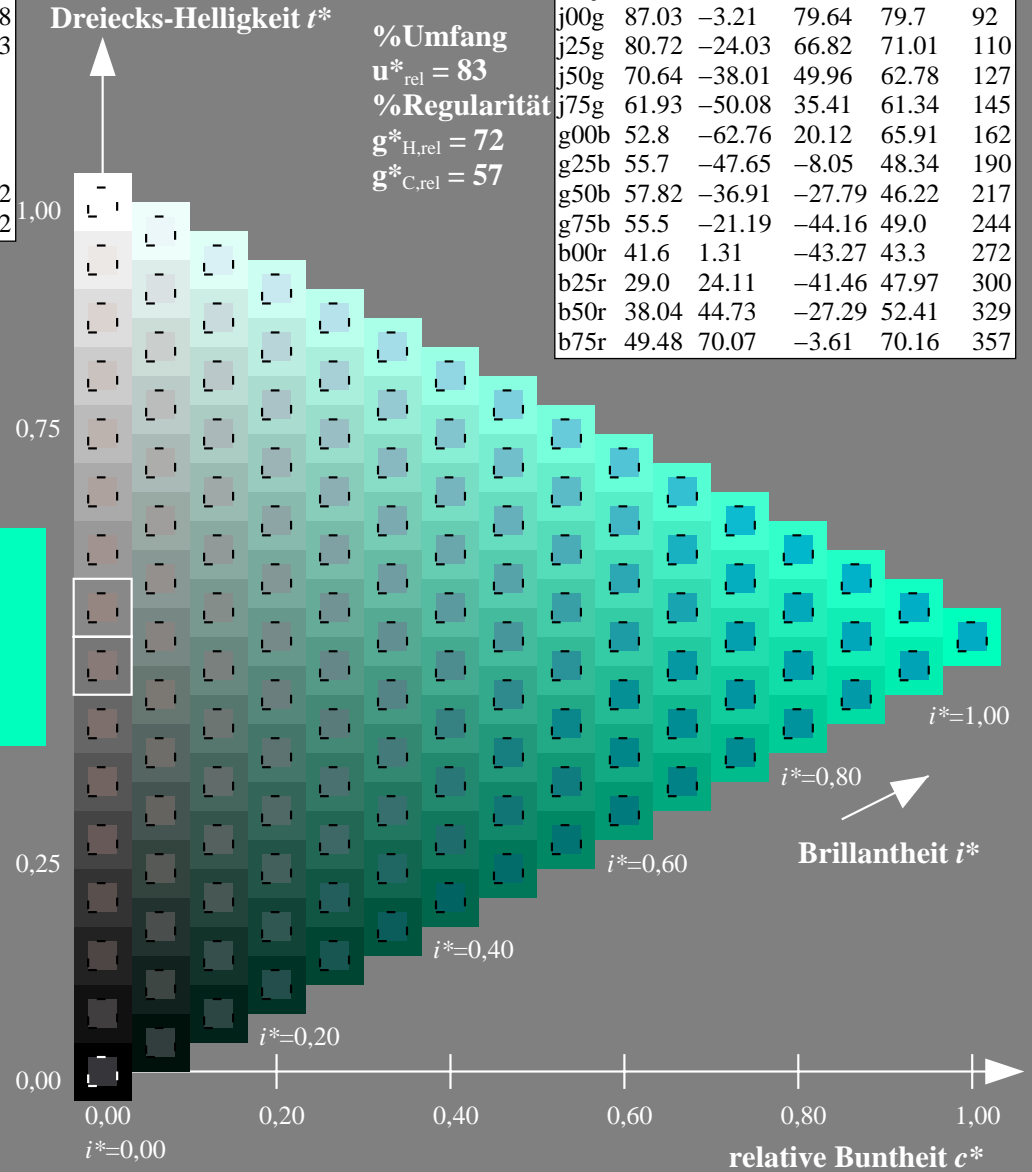
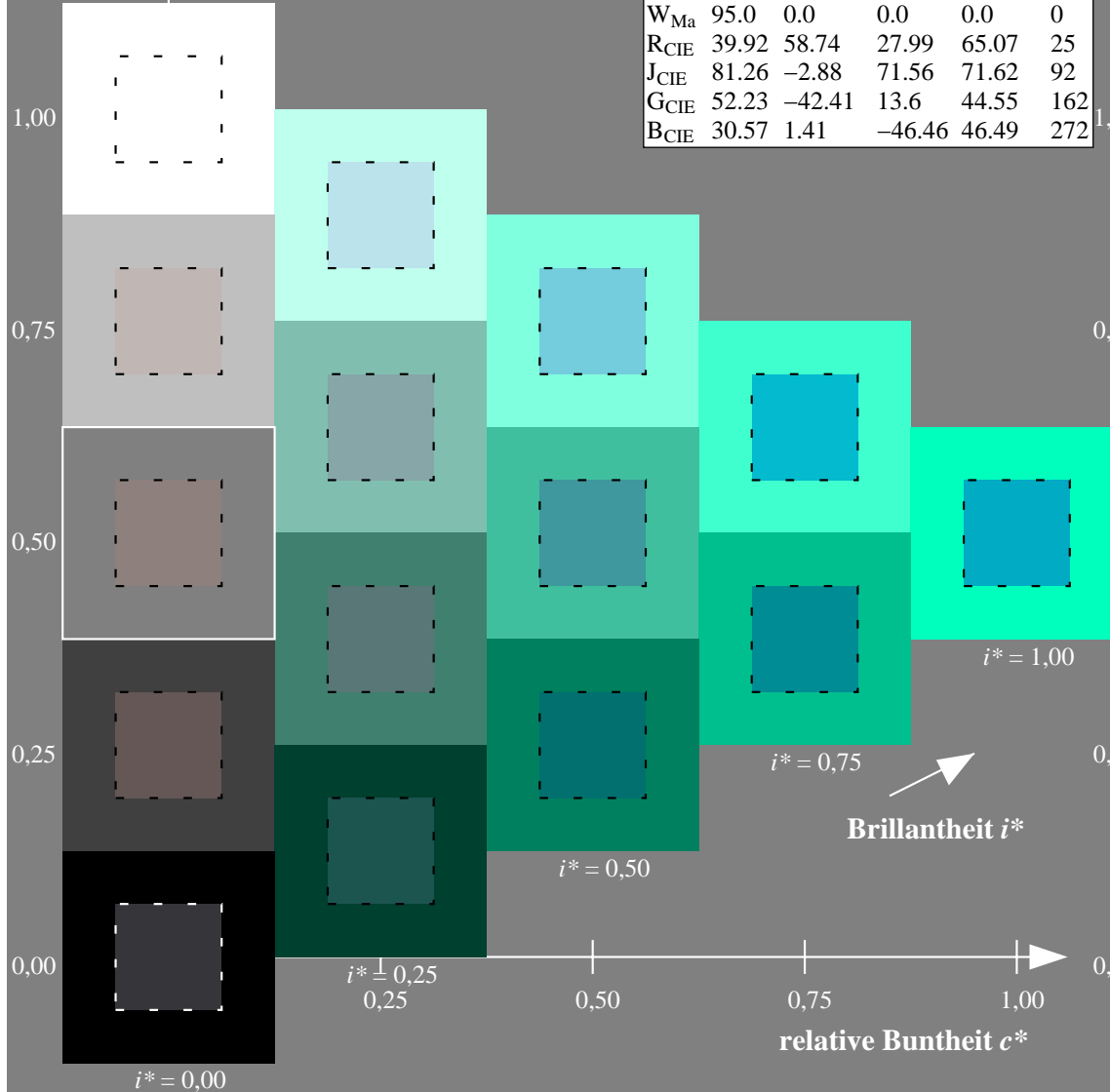
%Regularität

$g^*_{H,rel} = 72$

$g^*_{C,rel} = 57$

ORS20\_95a; adaptierte CIELAB-Daten

	$L^*=L^*_a$	$a^*_a$	$b^*_a$	$C^*_{ab,a}$	$h^*_{ab,a}$
r00j	48.88	63.91	30.45	70.79	25
r25j	55.85	50.36	45.65	67.97	42
r50j	65.45	33.86	56.12	65.54	59
r75j	75.19	17.13	66.73	68.89	76
j00g	87.03	-3.21	79.64	79.7	92
j25g	80.72	-24.03	66.82	71.01	110
j50g	70.64	-38.01	49.96	62.78	127
j75g	61.93	-50.08	35.41	61.34	145
g00b	52.8	-62.76	20.12	65.91	162
g25b	55.7	-47.65	-8.05	48.34	190
g50b	57.82	-36.91	-27.79	46.22	217
g75b	55.5	-21.19	-44.16	49.0	244
b00r	41.6	1.31	-43.27	43.3	272
b25r	29.0	24.11	-41.46	47.97	300
b50r	38.04	44.73	-27.29	52.41	329
b75r	49.48	70.07	-3.61	70.16	357



Ein und Ausgabe: Farbmétrisches Drucker-Reflektiv-System ORS20\_95a für relativen CIELAB-Bunton  $h^* = lab^*h^* = h_{ab}/360 = 244/360 = 0.679$

Daten für jede Farbe:

$lab^*ch^*$  und  $lab^*icu^*$

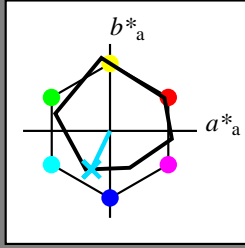
Elementar-Buntontext:

$u^* = g75b$

Kontrastreduzierungsfaktor:

$c_R = 0.96$

Dreiecks-Helligkeit  $t^*$



ORS20\_95a; adaptierte CIELAB-Daten

	$L^*=L^*_a$	$a^*_a$	$b^*_a$	$C^*_{ab,a}$	$h^*_{ab,a}$
O <sub>Ma</sub>	48.75	62.56	37.91	73.15	31
Y <sub>Ma</sub>	90.92	-9.88	83.88	84.46	97
L <sub>Ma</sub>	52.69	-62.9	19.95	66.0	162
C <sub>Ma</sub>	59.61	-27.85	-44.43	52.45	238
V <sub>Ma</sub>	28.39	22.72	-42.42	48.13	298
M <sub>Ma</sub>	49.58	71.08	-9.19	71.67	353
N <sub>Ma</sub>	20.0	0.0	0.0	0.0	0
W <sub>Ma</sub>	95.0	0.0	0.0	0.0	0
R <sub>CIE</sub>	39.92	58.74	27.99	65.07	25
J <sub>CIE</sub>	81.26	-2.88	71.56	71.62	92
G <sub>CIE</sub>	52.23	-42.41	13.6	44.55	162
B <sub>CIE</sub>	30.57	1.41	-46.46	46.49	272

Daten für Maximalfarbe (Ma):

$LAB^*LAB^*_{Ma}$ : 55 -20 -43

$LAB^*LCH^*_{Ma}$ : 55 49 244

$lab^*rgb^*_{Ma}$ : 0.0 0.5 1.0

$lab^*olv^*_{Ma}$ : 0.0 0.87 1.0

Dreiecks-Helligkeit  $t^*$

%Umfang

$u^*_{rel} = 83$

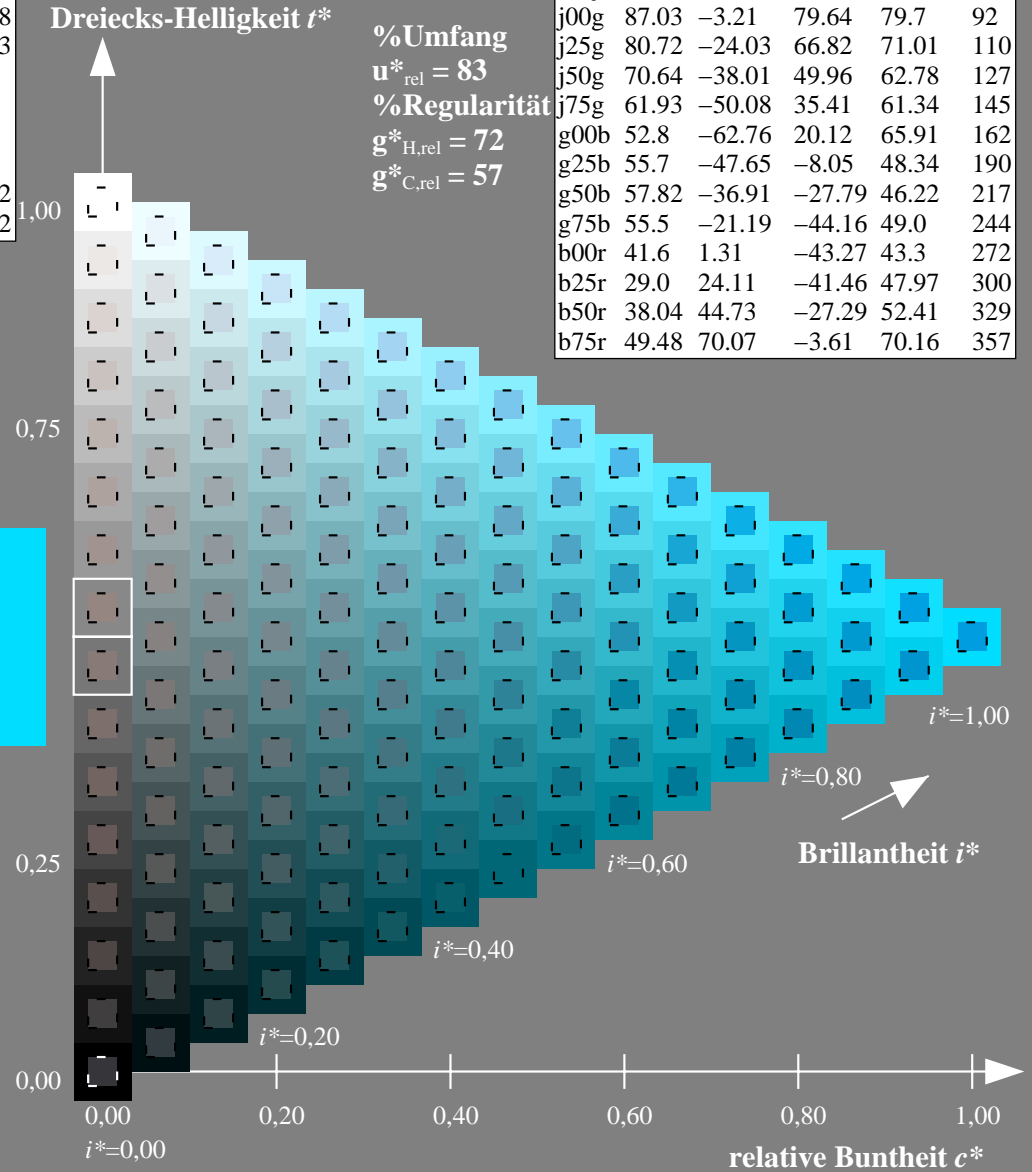
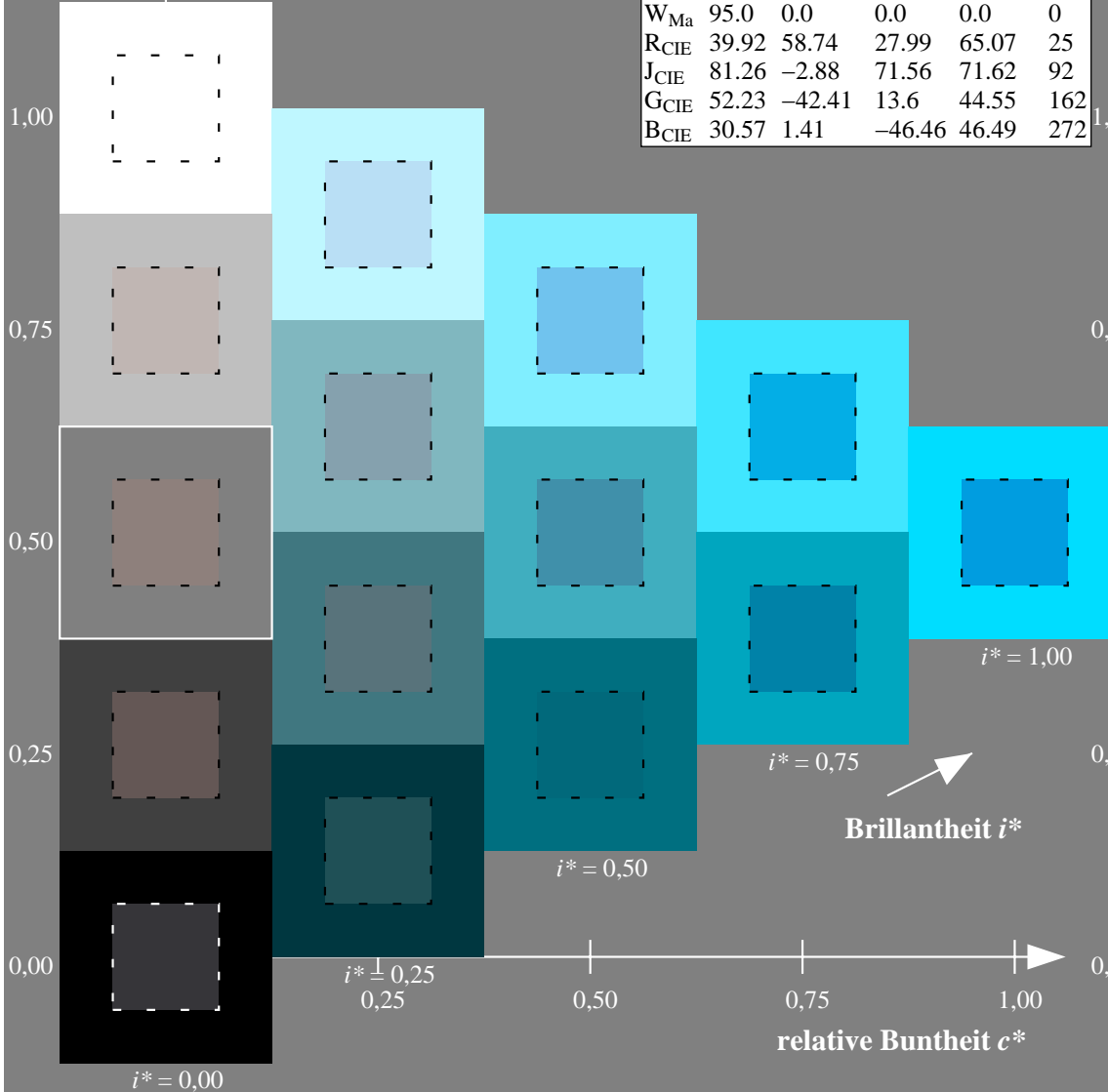
%Regularität

$g^*_{H,rel} = 72$

$g^*_{C,rel} = 57$

ORS20\_95a; adaptierte CIELAB-Daten

	$L^*=L^*_a$	$a^*_a$	$b^*_a$	$C^*_{ab,a}$	$h^*_{ab,a}$
r00j	48.88	63.91	30.45	70.79	25
r25j	55.85	50.36	45.65	67.97	42
r50j	65.45	33.86	56.12	65.54	59
r75j	75.19	17.13	66.73	68.89	76
j00g	87.03	-3.21	79.64	79.7	92
j25g	80.72	-24.03	66.82	71.01	110
j50g	70.64	-38.01	49.96	62.78	127
j75g	61.93	-50.08	35.41	61.34	145
g00b	52.8	-62.76	20.12	65.91	162
g25b	55.7	-47.65	-8.05	48.34	190
g50b	57.82	-36.91	-27.79	46.22	217
g75b	55.5	-21.19	-44.16	49.0	244
b00r	41.6	1.31	-43.27	43.3	272
b25r	29.0	24.11	-41.46	47.97	300
b50r	38.04	44.73	-27.29	52.41	329
b75r	49.48	70.07	-3.61	70.16	357



Ein und Ausgabe: Farbmatisches Drucker-Reflektiv-System ORS20\_95a für relativen CIELAB-Bunton  $h^* = lab^*h^* = h_{ab}/360 = 272/360 = 0.755$

Daten für jede Farbe:

$lab^*ch^*$  und  $lab^*icu^*$

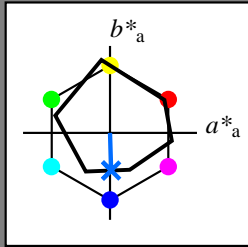
Elementar-Buntontext:

$u^* = b00r$

Kontrastreduzierungsfaktor:

$c_R = 0.96$

Dreiecks-Helligkeit  $t^*$



**ORS20\_95a; adaptierte CIELAB-Daten**

	$L^*=L^*_a$	$a^*_a$	$b^*_a$	$C^*_{ab,a}$	$h^*_{ab,a}$
O <sub>Ma</sub>	48.75	62.56	37.91	73.15	31
Y <sub>Ma</sub>	90.92	-9.88	83.88	84.46	97
L <sub>Ma</sub>	52.69	-62.9	19.95	66.0	162
C <sub>Ma</sub>	59.61	-27.85	-44.43	52.45	238
V <sub>Ma</sub>	28.39	22.72	-42.42	48.13	298
M <sub>Ma</sub>	49.58	71.08	-9.19	71.67	353
N <sub>Ma</sub>	20.0	0.0	0.0	0.0	0
W <sub>Ma</sub>	95.0	0.0	0.0	0.0	0
R <sub>CIE</sub>	39.92	58.74	27.99	65.07	25
J <sub>CIE</sub>	81.26	-2.88	71.56	71.62	92
G <sub>CIE</sub>	52.23	-42.41	13.6	44.55	162
B <sub>CIE</sub>	30.57	1.41	-46.46	46.49	272

Daten für Maximalfarbe (Ma):

$LAB^*LAB^*_{Ma}$ : 42 1 -42

$LAB^*LCH^*_{Ma}$ : 42 43 272

$lab^*rgb^*_{Ma}$ : 0.0 0.0 1.0

$lab^*olv^*_{Ma}$ : 0.0 0.42 1.0

Dreiecks-Helligkeit  $t^*$

%Umfang

$u^*_{rel} = 83$

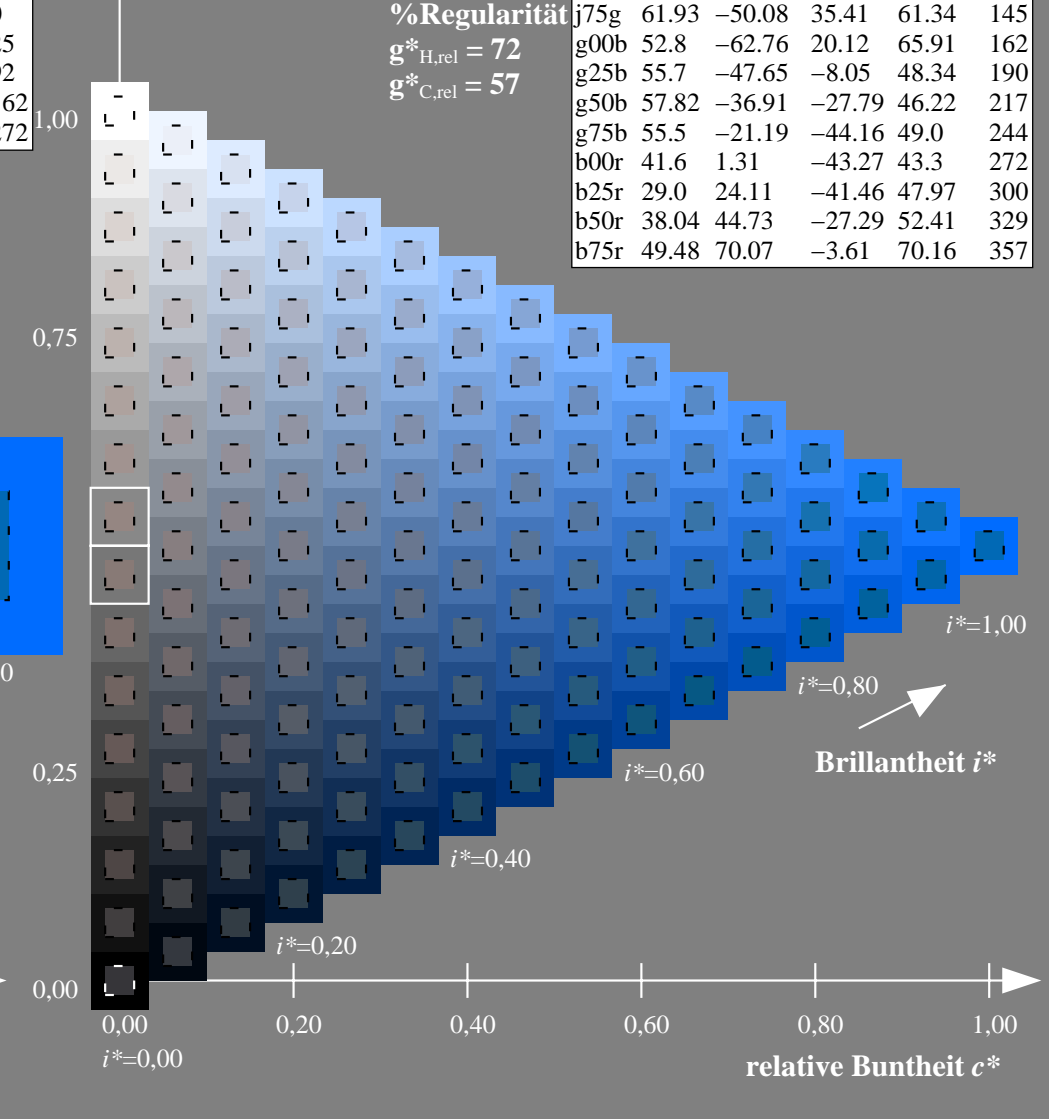
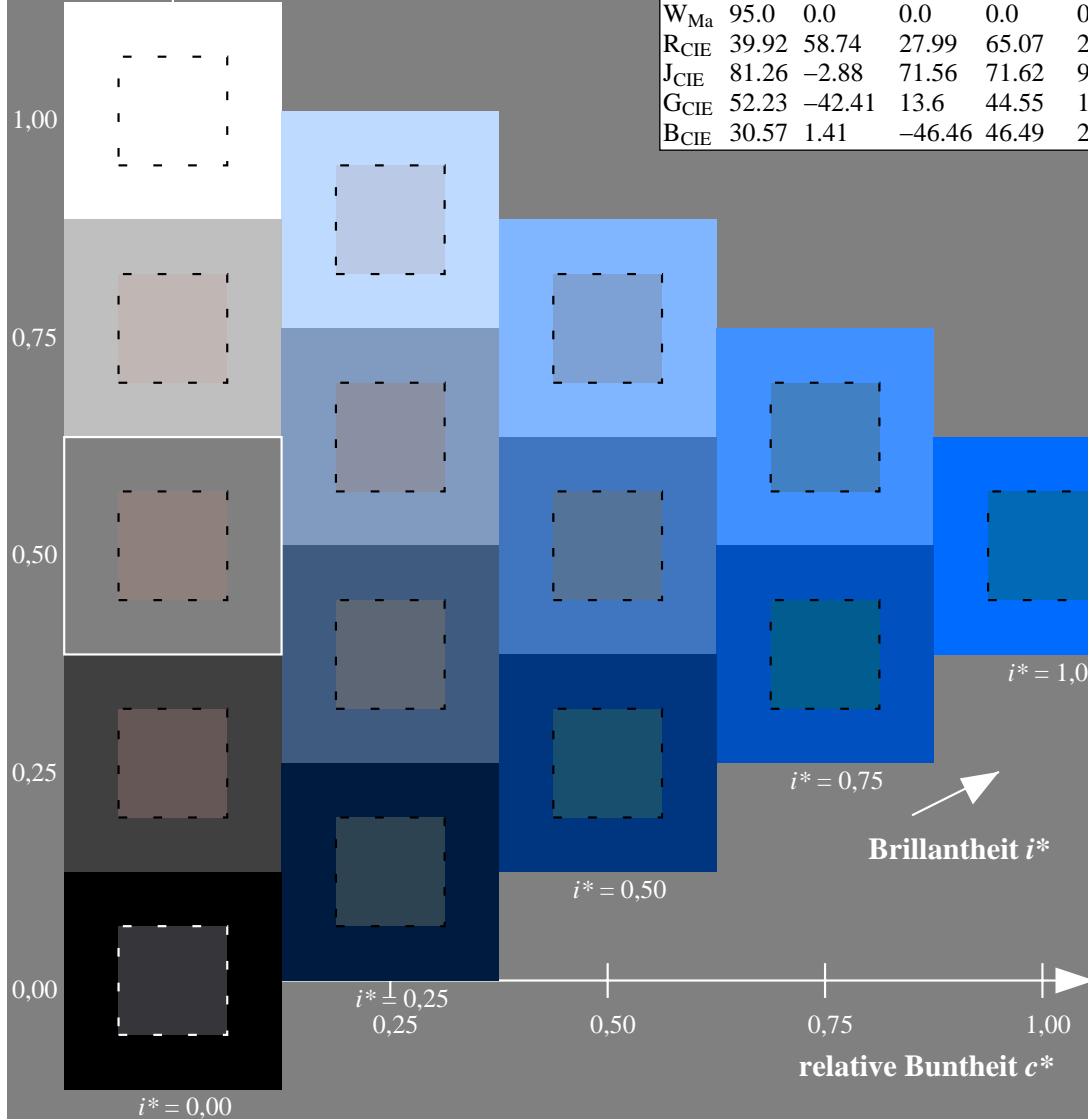
%Regularität

$g^*_{H,rel} = 72$

$g^*_{C,rel} = 57$

**ORS20\_95a; adaptierte CIELAB-Daten**

	$L^*=L^*_a$	$a^*_a$	$b^*_a$	$C^*_{ab,a}$	$h^*_{ab,a}$
r00j	48.88	63.91	30.45	70.79	25
r25j	55.85	50.36	45.65	67.97	42
r50j	65.45	33.86	56.12	65.54	59
r75j	75.19	17.13	66.73	68.89	76
j00g	87.03	-3.21	79.64	79.7	92
j25g	80.72	-24.03	66.82	71.01	110
j50g	70.64	-38.01	49.96	62.78	127
j75g	61.93	-50.08	35.41	61.34	145
g00b	52.8	-62.76	20.12	65.91	162
g25b	55.7	-47.65	-8.05	48.34	190
g50b	57.82	-36.91	-27.79	46.22	217
g75b	55.5	-21.19	-44.16	49.0	244
b00r	41.6	1.31	-43.27	43.3	272
b25r	29.0	24.11	-41.46	47.97	300
b50r	38.04	44.73	-27.29	52.41	329
b75r	49.48	70.07	-3.61	70.16	357



Ein und Ausgabe: Farbmetrisches Drucker-Reflektiv-System ORS20\_95a für relativen CIELAB-Bunton  $h^* = lab^*h^* = h_{ab}/360 = 300/360 = 0.834$

Daten für jede Farbe:

$lab^*tch^*$  und  $lab^*icu^*$

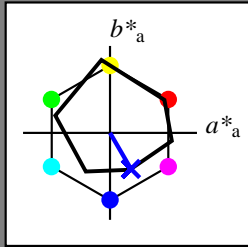
Elementar-Buntontext:

$u^* = b25r$

Kontrastreduzierungsfaktor:

$c_R = 0.96$

Dreiecks-Helligkeit  $t^*$



**ORS20\_95a; adaptierte CIELAB-Daten**

	$L^*=L^*_a$	$a^*_a$	$b^*_a$	$C^*_{ab,a}$	$h^*_{ab,a}$
O <sub>Ma</sub>	48.75	62.56	37.91	73.15	31
Y <sub>Ma</sub>	90.92	-9.88	83.88	84.46	97
L <sub>Ma</sub>	52.69	-62.9	19.95	66.0	162
C <sub>Ma</sub>	59.61	-27.85	-44.43	52.45	238
V <sub>Ma</sub>	28.39	22.72	-42.42	48.13	298
M <sub>Ma</sub>	49.58	71.08	-9.19	71.67	353
N <sub>Ma</sub>	20.0	0.0	0.0	0.0	0
W <sub>Ma</sub>	95.0	0.0	0.0	0.0	0
R <sub>CIE</sub>	39.92	58.74	27.99	65.07	25
J <sub>CIE</sub>	81.26	-2.88	71.56	71.62	92
G <sub>CIE</sub>	52.23	-42.41	13.6	44.55	162
B <sub>CIE</sub>	30.57	1.41	-46.46	46.49	272

Daten für Maximalfarbe (Ma):

$LAB^*LAB^*_{Ma}$ : 29 24 -40

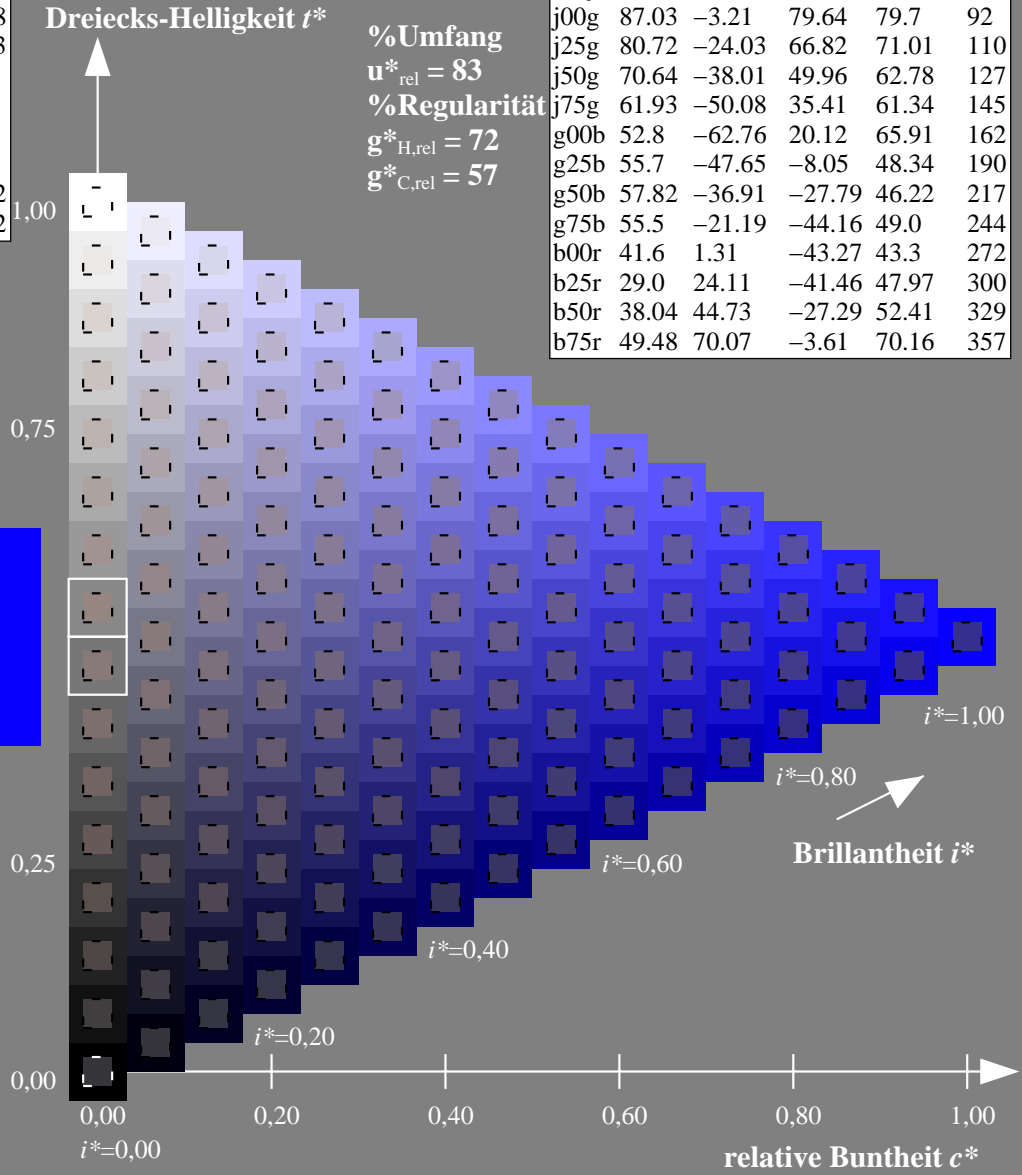
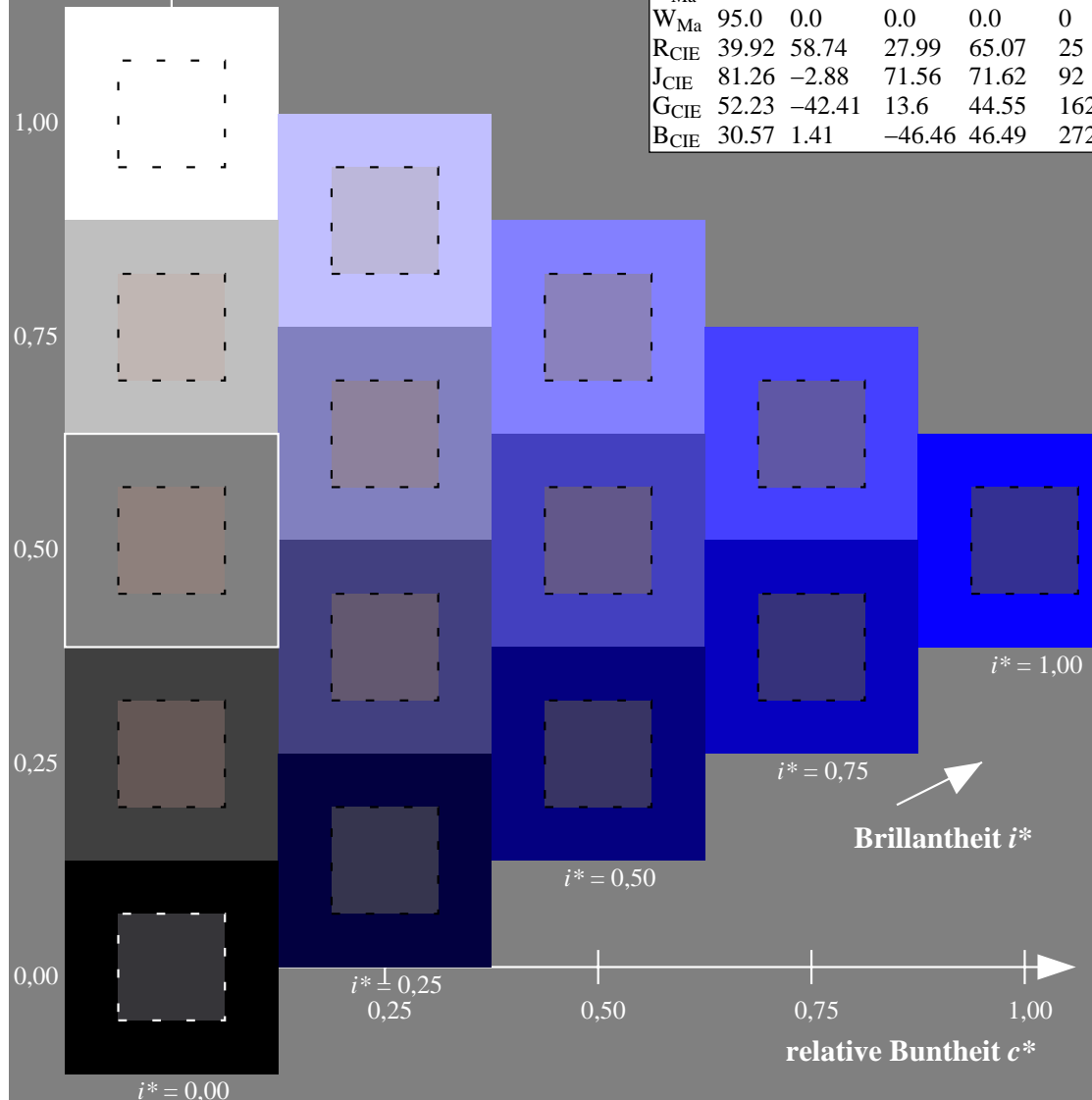
$LAB^*LCH^*_{Ma}$ : 29 48 300

$lab^*rgb^*_{Ma}$ : 0.5 0.0 1.0

$lab^*olv^*_{Ma}$ : 0.03 0.0 1.0

**ORS20\_95a; adaptierte CIELAB-Daten**

	$L^*=L^*_a$	$a^*_a$	$b^*_a$	$C^*_{ab,a}$	$h^*_{ab,a}$
r00j	48.88	63.91	30.45	70.79	25
r25j	55.85	50.36	45.65	67.97	42
r50j	65.45	33.86	56.12	65.54	59
r75j	75.19	17.13	66.73	68.89	76
j00g	87.03	-3.21	79.64	79.7	92
j25g	80.72	-24.03	66.82	71.01	110
j50g	70.64	-38.01	49.96	62.78	127
j75g	61.93	-50.08	35.41	61.34	145
g00b	52.8	-62.76	20.12	65.91	162
g25b	55.7	-47.65	-8.05	48.34	190
g50b	57.82	-36.91	-27.79	46.22	217
g75b	55.5	-21.19	-44.16	49.0	244
b00r	41.6	1.31	-43.27	43.3	272
b25r	29.0	24.11	-41.46	47.97	300
b50r	38.04	44.73	-27.29	52.41	329
b75r	49.48	70.07	-3.61	70.16	357



Ein und Ausgabe: Farbmatisches Drucker-Reflektiv-System ORS20\_95a für relativen CIELAB-Bunton  $h^* = lab^*h^* = h_{ab}/360 = 329/360 = 0.913$

Daten für jede Farbe:

$lab^*ch^*$  und  $lab^*icu^*$

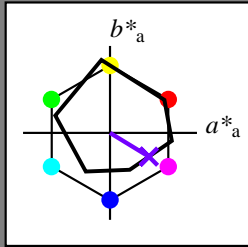
Elementar-Buntontext:

$u^* = b50r$

Kontrastreduzierungsfaktor:

$c_R = 0.96$

Dreiecks-Helligkeit  $t^*$



ORS20\_95a; adaptierte CIELAB-Daten

	$L^*=L^*_a$	$a^*_a$	$b^*_a$	$C^*_{ab,a}$	$h^*_{ab,a}$
O <sub>Ma</sub>	48.75	62.56	37.91	73.15	31
Y <sub>Ma</sub>	90.92	-9.88	83.88	84.46	97
L <sub>Ma</sub>	52.69	-62.9	19.95	66.0	162
C <sub>Ma</sub>	59.61	-27.85	-44.43	52.45	238
V <sub>Ma</sub>	28.39	22.72	-42.42	48.13	298
M <sub>Ma</sub>	49.58	71.08	-9.19	71.67	353
N <sub>Ma</sub>	20.0	0.0	0.0	0.0	0
W <sub>Ma</sub>	95.0	0.0	0.0	0.0	0
R <sub>CIE</sub>	39.92	58.74	27.99	65.07	25
J <sub>CIE</sub>	81.26	-2.88	71.56	71.62	92
G <sub>CIE</sub>	52.23	-42.41	13.6	44.55	162
B <sub>CIE</sub>	30.57	1.41	-46.46	46.49	272

Daten für Maximalfarbe (Ma):

$LAB^*LAB^*_{Ma}$ : 38 45 -26

$LAB^*LCH^*_{Ma}$ : 38 52 329

$lab^*rgb^*_{Ma}$ : 1.0 0.0 1.0

$lab^*olv^*_{Ma}$ : 0.46 0.0 1.0

Dreiecks-Helligkeit  $t^*$

%Umfang

$u^*_{rel} = 83$

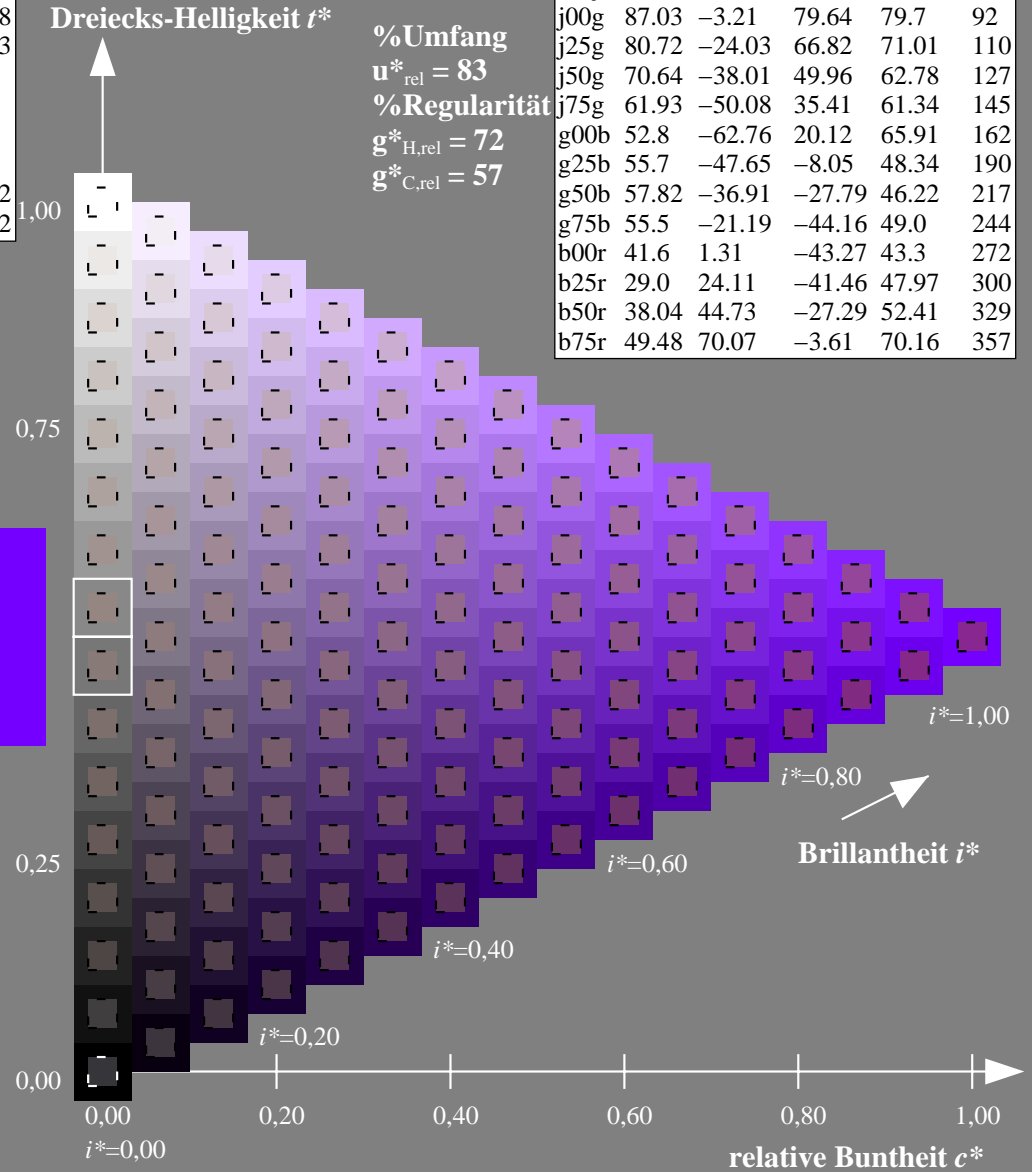
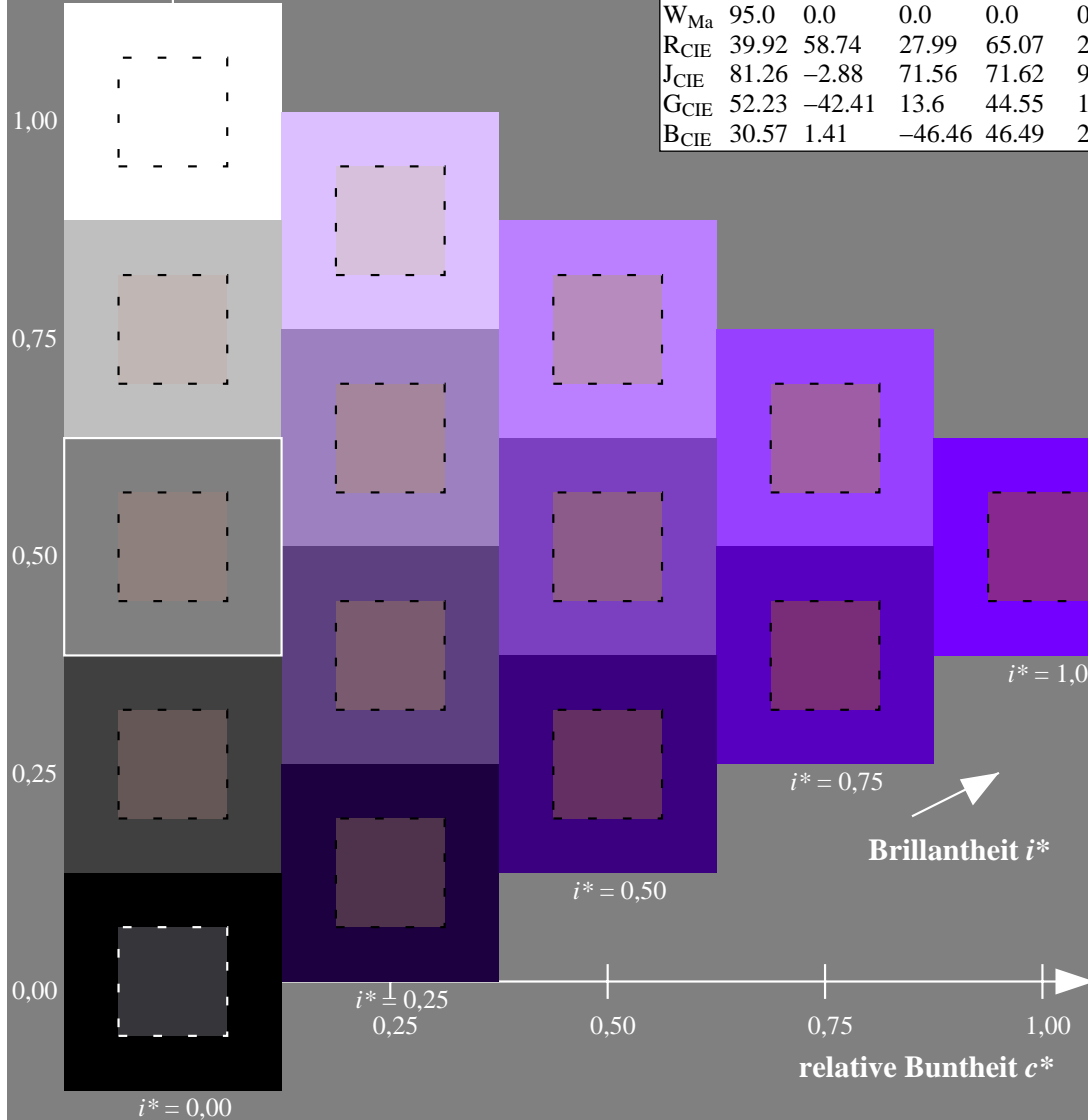
%Regularität

$g^*_{H,rel} = 72$

$g^*_{C,rel} = 57$

ORS20\_95a; adaptierte CIELAB-Daten

	$L^*=L^*_a$	$a^*_a$	$b^*_a$	$C^*_{ab,a}$	$h^*_{ab,a}$
r00j	48.88	63.91	30.45	70.79	25
r25j	55.85	50.36	45.65	67.97	42
r50j	65.45	33.86	56.12	65.54	59
r75j	75.19	17.13	66.73	68.89	76
j00g	87.03	-3.21	79.64	79.7	92
j25g	80.72	-24.03	66.82	71.01	110
j50g	70.64	-38.01	49.96	62.78	127
j75g	61.93	-50.08	35.41	61.34	145
g00b	52.8	-62.76	20.12	65.91	162
g25b	55.7	-47.65	-8.05	48.34	190
g50b	57.82	-36.91	-27.79	46.22	217
g75b	55.5	-21.19	-44.16	49.0	244
b00r	41.6	1.31	-43.27	43.3	272
b25r	29.0	24.11	-41.46	47.97	300
b50r	38.04	44.73	-27.29	52.41	329
b75r	49.48	70.07	-3.61	70.16	357





Ein und Ausgabe: Farbmetrisches Drucker-Reflektiv-System ORS20\_95a für relativen CIELAB-Bunton  $h^* = lab^*h^* = h_{ab}/360 = 357/360 = 0.992$

Daten für jede Farbe:

$lab^*ch^*$  und  $lab^*icu^*$

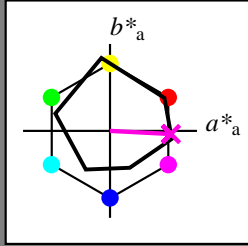
Elementar-Buntontext:

$u^* = b75r$

Kontrastreduzierungsfaktor:

$c_R = 0.96$

Dreiecks-Helligkeit  $t^*$



ORS20\_95a; adaptierte CIELAB-Daten

	$L^*=L^*_a$	$a^*_a$	$b^*_a$	$C^*_{ab,a}$	$h^*_{ab,a}$
$O_{Ma}$	48.75	62.56	37.91	73.15	31
$Y_{Ma}$	90.92	-9.88	83.88	84.46	97
$L_{Ma}$	52.69	-62.9	19.95	66.0	162
$C_{Ma}$	59.61	-27.85	-44.43	52.45	238
$V_{Ma}$	28.39	22.72	-42.42	48.13	298
$M_{Ma}$	49.58	71.08	-9.19	71.67	353
$N_{Ma}$	20.0	0.0	0.0	0.0	0
$W_{Ma}$	95.0	0.0	0.0	0.0	0
$R_{CIE}$	39.92	58.74	27.99	65.07	25
$J_{CIE}$	81.26	-2.88	71.56	71.62	92
$G_{CIE}$	52.23	-42.41	13.6	44.55	162
$B_{CIE}$	30.57	1.41	-46.46	46.49	272

Daten für Maximalfarbe (Ma):

$LAB^*LAB^*_{Ma}$ : 49 70 -3

$LAB^*LCH^*_{Ma}$ : 49 70 357

$lab^*rgb^*_{Ma}$ : 1.0 0.0 0.5

$lab^*olv^*_{Ma}$ : 1.0 0.0 0.88

Dreiecks-Helligkeit  $t^*$

%Umfang

$u^*_{rel} = 83$

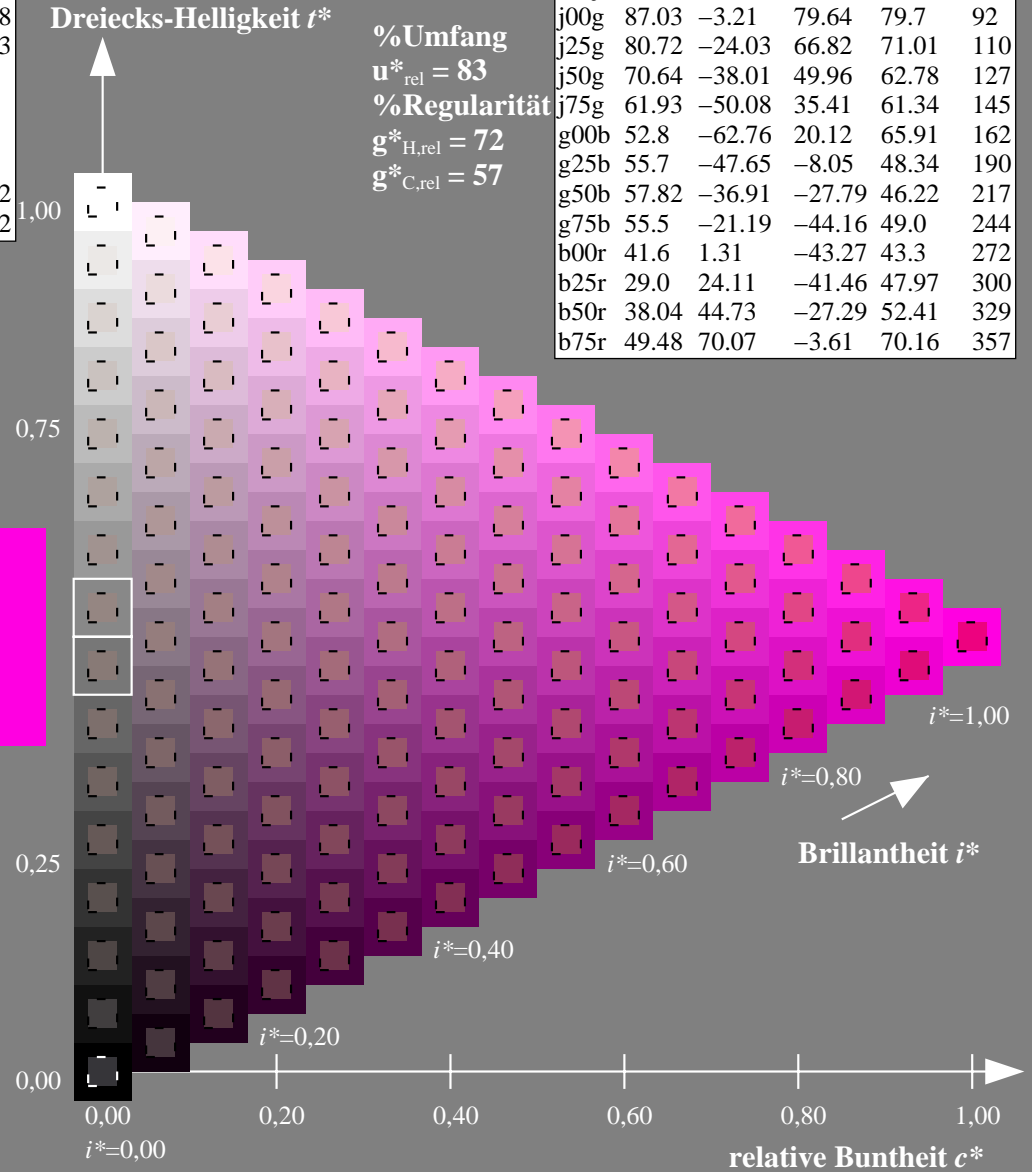
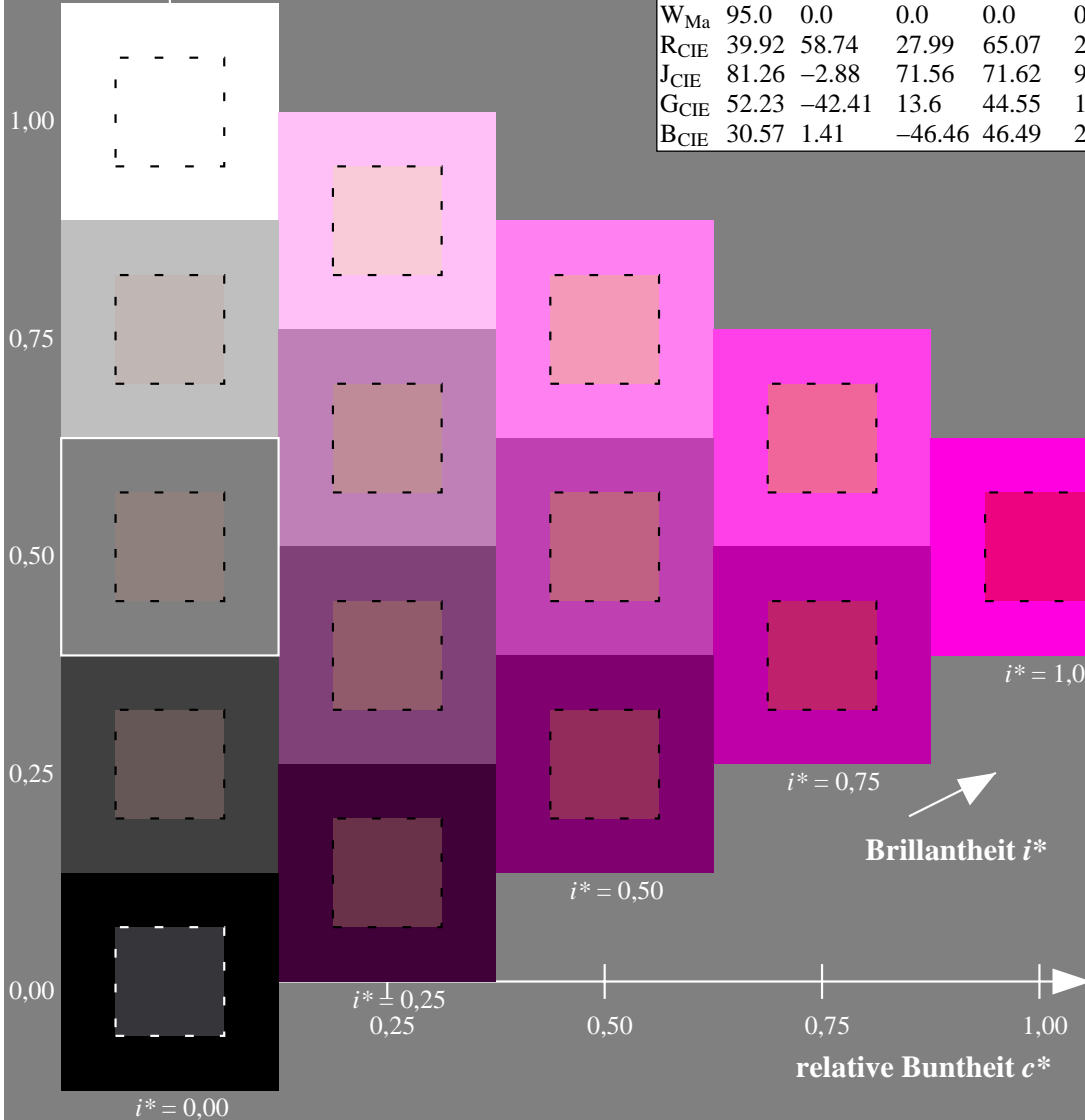
%Regularität

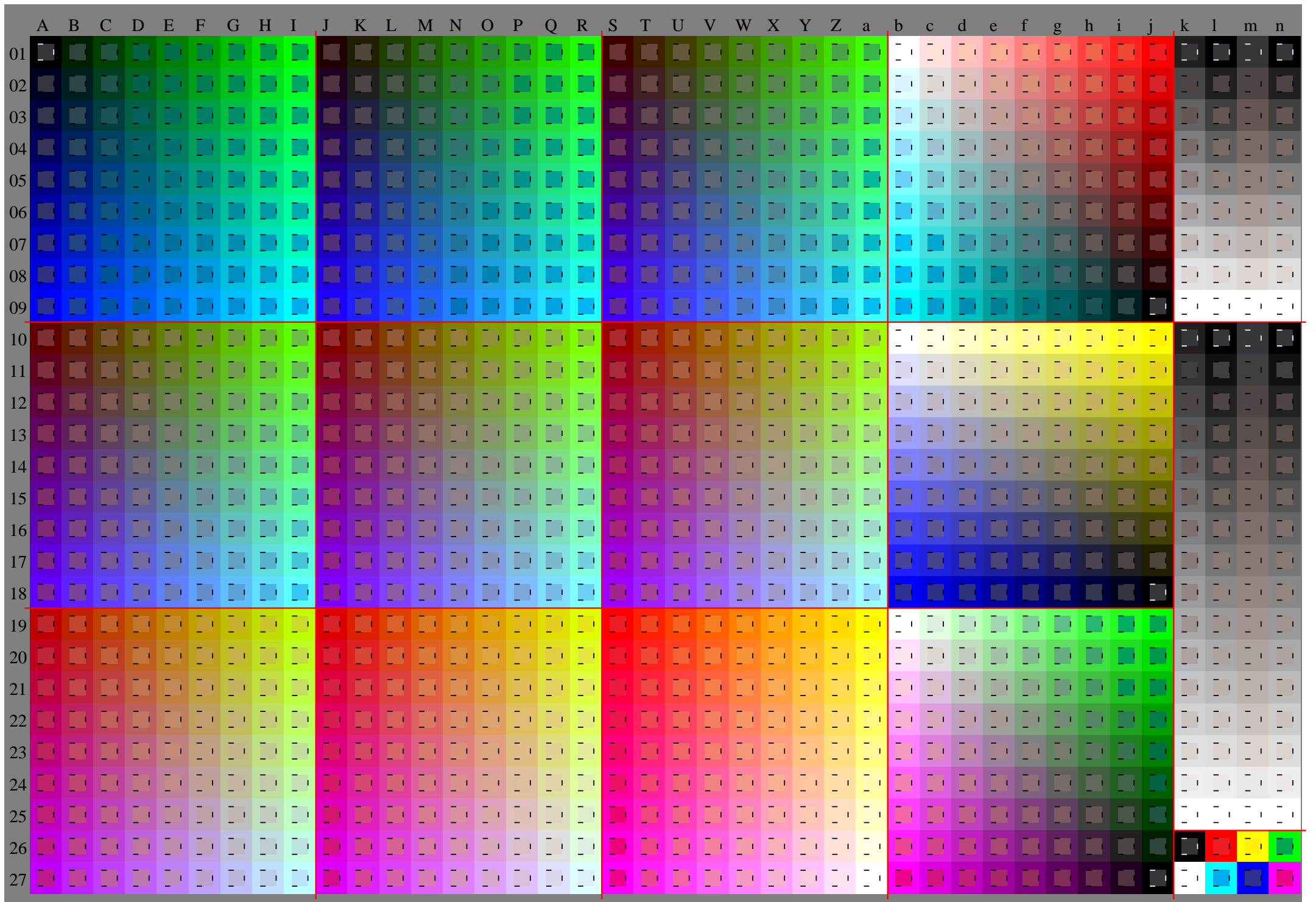
$g^*_{H,rel} = 72$

$g^*_{C,rel} = 57$

ORS20\_95a; adaptierte CIELAB-Daten

	$L^*=L^*_a$	$a^*_a$	$b^*_a$	$C^*_{ab,a}$	$h^*_{ab,a}$
r00j	48.88	63.91	30.45	70.79	25
r25j	55.85	50.36	45.65	67.97	42
r50j	65.45	33.86	56.12	65.54	59
r75j	75.19	17.13	66.73	68.89	76
j00g	87.03	-3.21	79.64	79.7	92
j25g	80.72	-24.03	66.82	71.01	110
j50g	70.64	-38.01	49.96	62.78	127
j75g	61.93	-50.08	35.41	61.34	145
g00b	52.8	-62.76	20.12	65.91	162
g25b	55.7	-47.65	-8.05	48.34	190
g50b	57.82	-36.91	-27.79	46.22	217
g75b	55.5	-21.19	-44.16	49.0	244
b00r	41.6	1.31	-43.27	43.3	272
b25r	29.0	24.11	-41.46	47.97	300
b50r	38.04	44.73	-27.29	52.41	329
b75r	49.48	70.07	-3.61	70.16	357





Ein und Ausgabe:  
 Farbmetrisches Drucker-Reflektiv-System ORS20\_95a

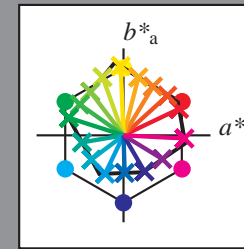
Daten für jede Farbe:  
*lab\*<sub>ch</sub>\** und *lab\*<sub>icu</sub>\**

Elementar-Buntontext:  
*u\** = 16 Bunttöne *r00j*, *r25j*, ..., *b75r*

Kontrastreduzierungsfaktor:  
 $c_R = 0.96$

ORS20\_95a; adaptierte CIELAB-Daten

	$L^*=L^*_a$	$a^*_a$	$b^*_a$	$C^*_{ab,a}$	$h^*_{ab,a}$
r00j	48.88	63.91	30.45	70.79	25
r25j	55.85	50.36	45.65	67.97	42
r50j	65.45	33.86	56.12	65.54	59
r75j	75.19	17.13	66.73	68.89	76
j00g	87.03	-3.21	79.64	79.7	92
j25g	80.72	-24.03	66.82	71.01	110
j50g	70.64	-38.01	49.96	62.78	127
j75g	61.93	-50.08	35.41	61.34	145
g00b	52.8	-62.76	20.12	65.91	162
g25b	55.7	-47.65	-8.05	48.34	190
g50b	57.82	-36.91	-27.79	46.22	217
g75b	55.5	-21.19	-44.16	49.0	244
b00r	41.6	1.31	-43.27	43.3	272
b25r	29.0	24.11	-41.46	47.97	300
b50r	38.04	44.73	-27.29	52.41	329
b75r	49.48	70.07	-3.61	70.16	357



%Umfang

$u^*_{rel} = 83$

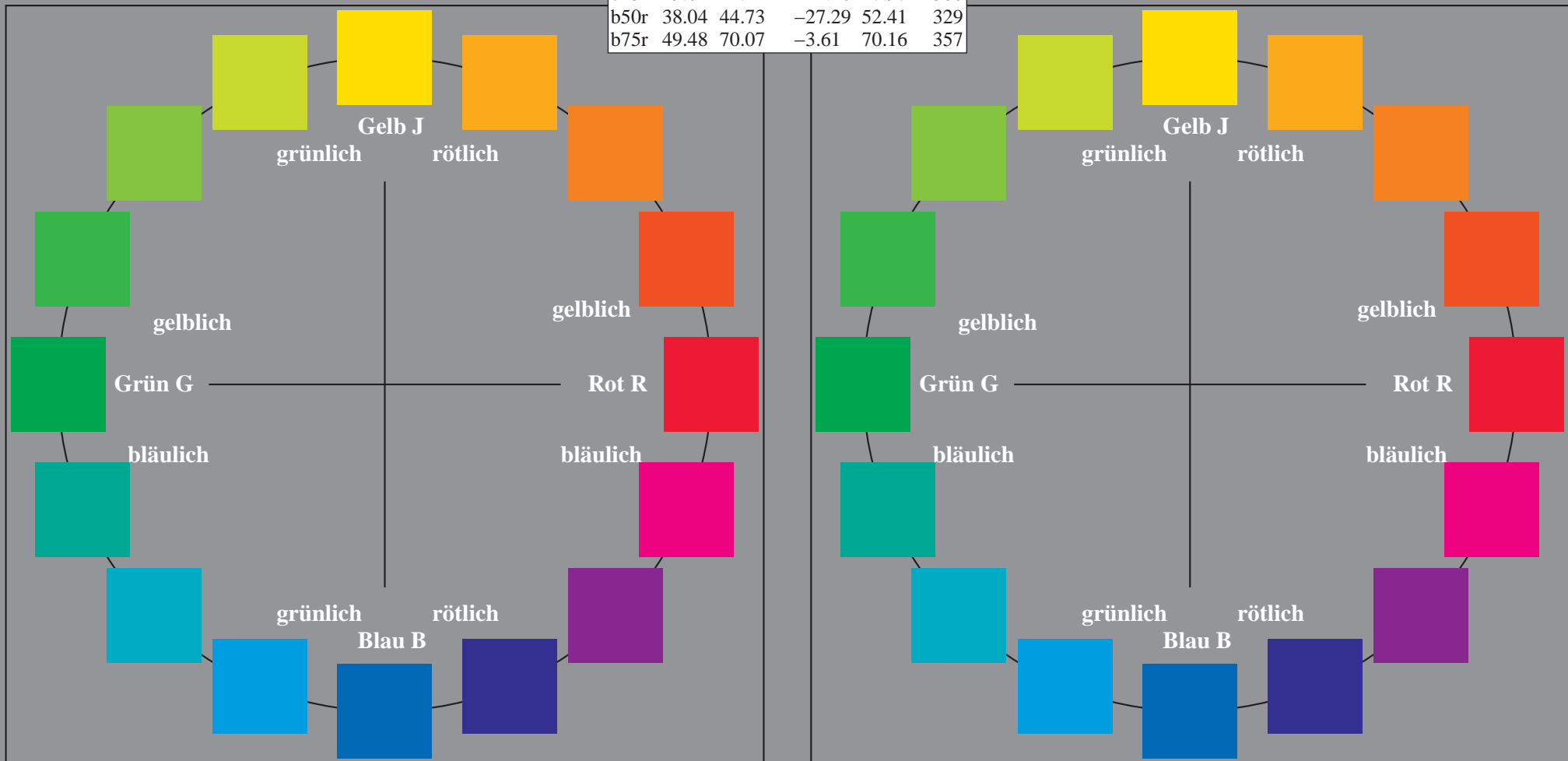
%Regularität

$g^*_{H,rel} = 72$

$g^*_{C,rel} = 57$

ORS20\_95a; adaptierte CIELAB-Daten

	$L^*=L^*_a$	$a^*_a$	$b^*_a$	$C^*_{ab,a}$	$h^*_{ab,a}$
O <sub>Ma</sub>	48.75	62.56	37.91	73.15	31
Y <sub>Ma</sub>	90.92	-9.88	83.88	84.46	97
L <sub>Ma</sub>	52.69	-62.9	19.95	66.0	162
C <sub>Ma</sub>	59.61	-27.85	-44.43	52.45	238
V <sub>Ma</sub>	28.39	22.72	-42.42	48.13	298
M <sub>Ma</sub>	49.58	71.08	-9.19	71.67	353
N <sub>Ma</sub>	20.0	0.0	0.0	0.0	0
W <sub>Ma</sub>	95.0	0.0	0.0	0.0	0
R <sub>CIE</sub>	39.92	58.74	27.99	65.07	25
J <sub>CIE</sub>	81.26	-2.88	71.56	71.62	92
G <sub>CIE</sub>	52.23	-42.41	13.6	44.55	162
B <sub>CIE</sub>	30.57	1.41	-46.46	46.49	272





Ein und Ausgabe: Farbmétrisches Drucker-Reflektiv-System ORS20\_95a für relativen CIELAB-Bunton  $h^* = lab^*h^* = h_{ab}/360 = 42/360 = 0.117$

Daten für jede Farbe:

$lab^*tch^*$  und  $lab^*icu^*$

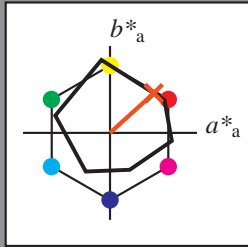
Elementar-Buntontext:

$u^* = r25j$

Kontrastreduzierungsfaktor:

$c_R = 0.96$

Dreiecks-Helligkeit  $t^*$



ORS20\_95a; adaptierte CIELAB-Daten

	$L^*=L^*_a$	$a^*_a$	$b^*_a$	$C^*_{ab,a}$	$h^*_{ab,a}$
O <sub>Ma</sub>	48.75	62.56	37.91	73.15	31
Y <sub>Ma</sub>	90.92	-9.88	83.88	84.46	97
L <sub>Ma</sub>	52.69	-62.9	19.95	66.0	162
C <sub>Ma</sub>	59.61	-27.85	-44.43	52.45	238
V <sub>Ma</sub>	28.39	22.72	-42.42	48.13	298
M <sub>Ma</sub>	49.58	71.08	-9.19	71.67	353
N <sub>Ma</sub>	20.0	0.0	0.0	0.0	0
W <sub>Ma</sub>	95.0	0.0	0.0	0.0	0
R <sub>CIE</sub>	39.92	58.74	27.99	65.07	25
J <sub>CIE</sub>	81.26	-2.88	71.56	71.62	92
G <sub>CIE</sub>	52.23	-42.41	13.6	44.55	162
B <sub>CIE</sub>	30.57	1.41	-46.46	46.49	272

Daten für Maximalfarbe (Ma):

$LAB^*LAB^*_{Ma}$ : 56 50 46

$LAB^*LCH^*_{Ma}$ : 56 68 42

$lab^*rgb^*_{Ma}$ : 1.0 0.25 0.0

$lab^*olv^*_{Ma}$ : 1.0 0.17 0.0

ORS20\_95a; adaptierte CIELAB-Daten

	$L^*=L^*_a$	$a^*_a$	$b^*_a$	$C^*_{ab,a}$	$h^*_{ab,a}$
r00j	48.88	63.91	30.45	70.79	25
r25j	55.85	50.36	45.65	67.97	42
r50j	65.45	33.86	56.12	65.54	59
r75j	75.19	17.13	66.73	68.89	76
j00g	87.03	-3.21	79.64	79.7	92
j25g	80.72	-24.03	66.82	71.01	110
j50g	70.64	-38.01	49.96	62.78	127
j75g	61.93	-50.08	35.41	61.34	145
g00b	52.8	-62.76	20.12	65.91	162
g25b	55.7	-47.65	-8.05	48.34	190
g50b	57.82	-36.91	-27.79	46.22	217
g75b	55.5	-21.19	-44.16	49.0	244
b00r	41.6	1.31	-43.27	43.3	272
b25r	29.0	24.11	-41.46	47.97	300
b50r	38.04	44.73	-27.29	52.41	329
b75r	49.48	70.07	-3.61	70.16	357

Dreiecks-Helligkeit  $t^*$

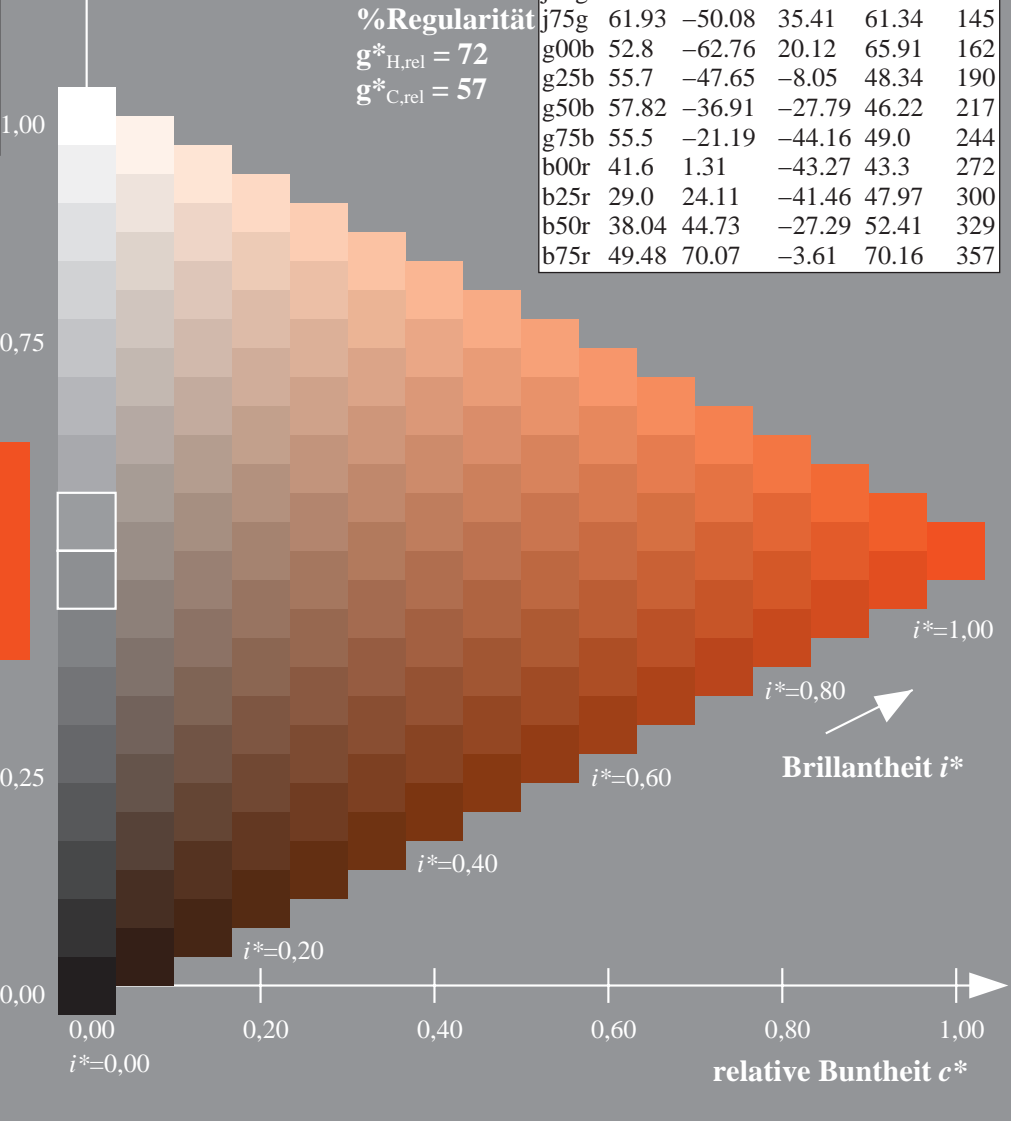
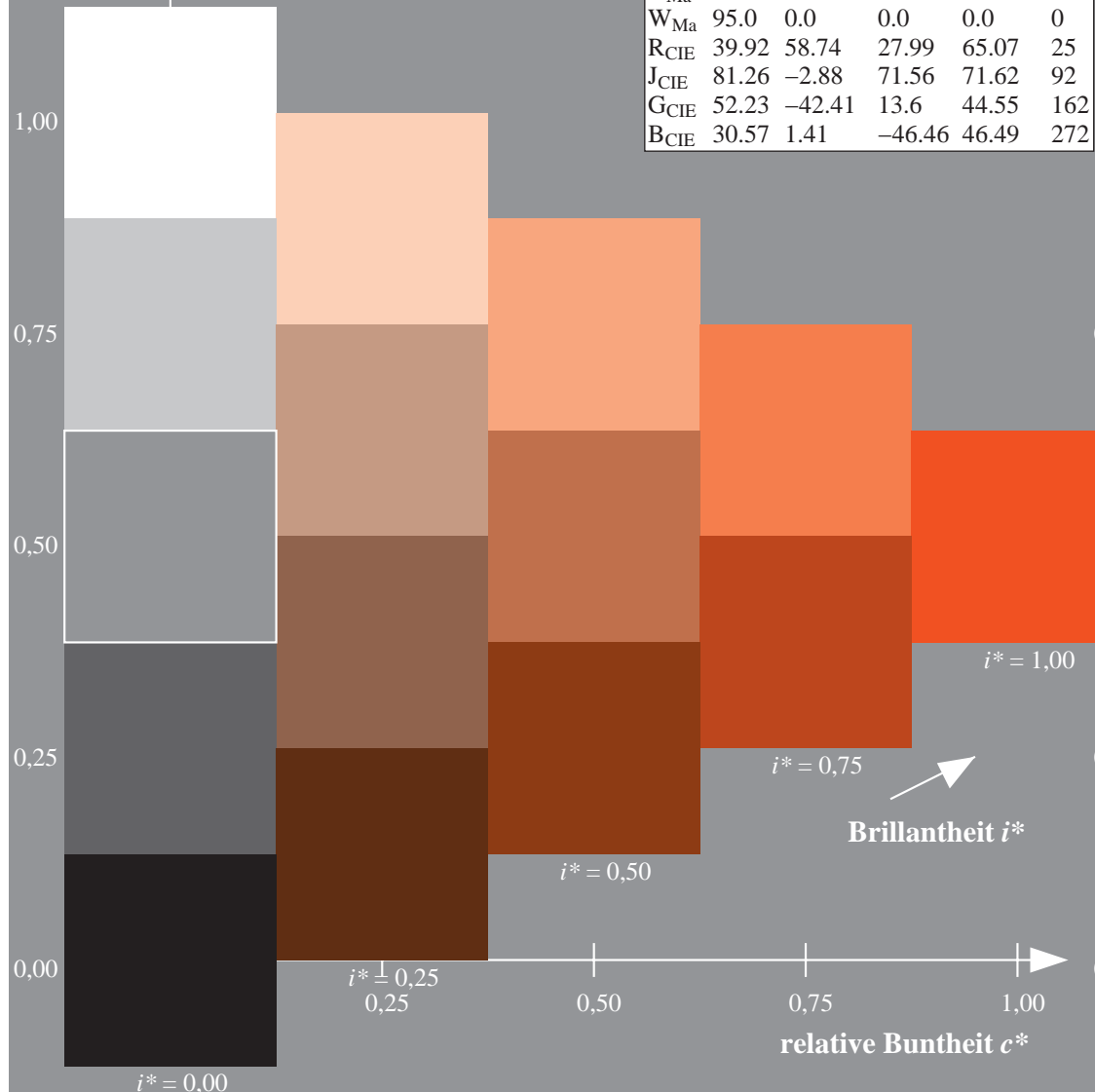
%Umfang

$u^*_{rel} = 83$

%Regularität

$g^*_{H,rel} = 72$

$g^*_{C,rel} = 57$



Ein und Ausgabe: Farbmétrisches Drucker-Reflektiv-System ORS20\_95a für relativen CIELAB-Bunton  $h^* = lab^*h^* = h_{ab}/360 = 59/360 = 0.164$

Daten für jede Farbe:

$lab^*tch^*$  und  $lab^*icu^*$

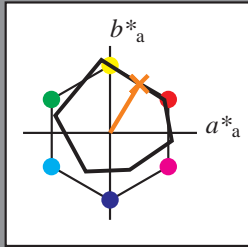
Elementar-Buntontext:

$u^* = r50j$

Kontrastreduzierungsfaktor:

$c_R = 0.96$

Dreiecks-Helligkeit  $t^*$



ORS20_95a; adaptierte CIELAB-Daten					
	$L^*=L^*_a$	$a^*_a$	$b^*_a$	$C^*_{ab,a}$	$h^*_{ab,a}$
O <sub>Ma</sub>	48.75	62.56	37.91	73.15	31
Y <sub>Ma</sub>	90.92	-9.88	83.88	84.46	97
L <sub>Ma</sub>	52.69	-62.9	19.95	66.0	162
C <sub>Ma</sub>	59.61	-27.85	-44.43	52.45	238
V <sub>Ma</sub>	28.39	22.72	-42.42	48.13	298
M <sub>Ma</sub>	49.58	71.08	-9.19	71.67	353
N <sub>Ma</sub>	20.0	0.0	0.0	0.0	0
W <sub>Ma</sub>	95.0	0.0	0.0	0.0	0
R <sub>CIE</sub>	39.92	58.74	27.99	65.07	25
J <sub>CIE</sub>	81.26	-2.88	71.56	71.62	92
G <sub>CIE</sub>	52.23	-42.41	13.6	44.55	162
B <sub>CIE</sub>	30.57	1.41	-46.46	46.49	272

Daten für Maximalfarbe (Ma):

$LAB^*LAB^*_{Ma}$ : 65 34 56

$LAB^*LCH^*_{Ma}$ : 65 66 59

$lab^*rgb^*_{Ma}$ : 1.0 0.5 0.0

$lab^*olv^*_{Ma}$ : 1.0 0.4 0.0

Dreiecks-Helligkeit  $t^*$

%Umfang

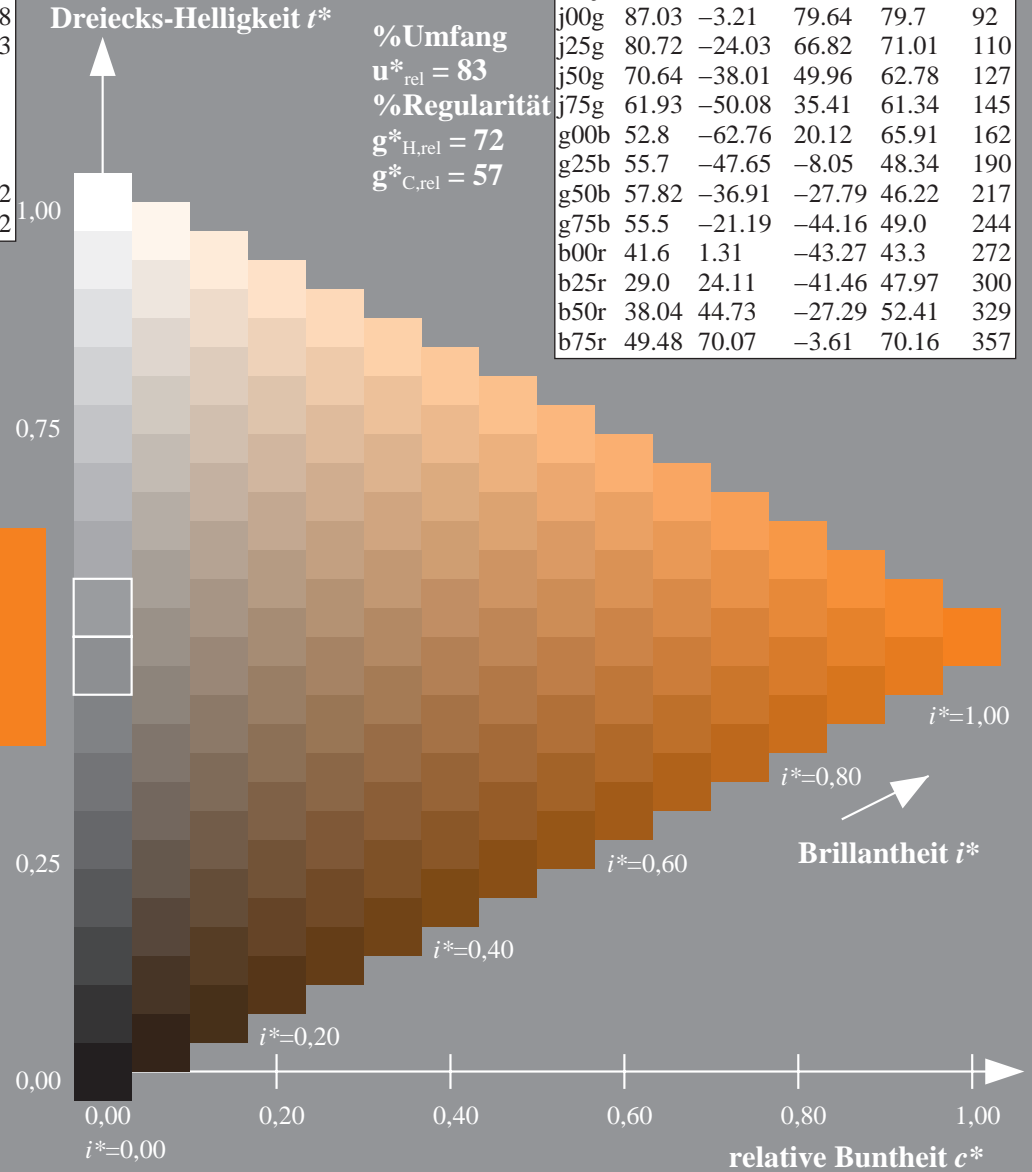
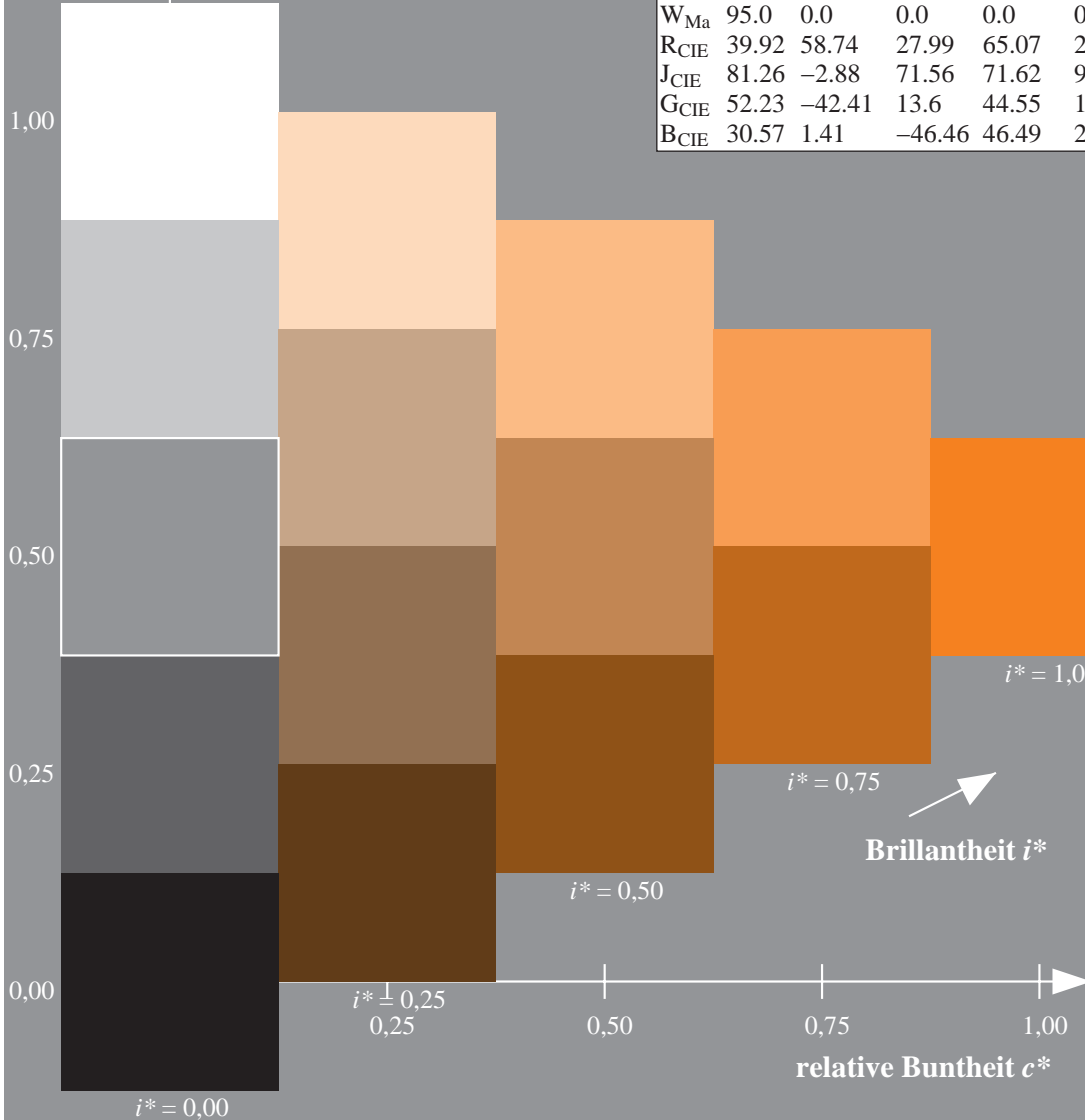
$u^*_{rel} = 83$

%Regularität

$g^*_{H,rel} = 72$

$g^*_{C,rel} = 57$

ORS20_95a; adaptierte CIELAB-Daten					
	$L^*=L^*_a$	$a^*_a$	$b^*_a$	$C^*_{ab,a}$	$h^*_{ab,a}$
r00j	48.88	63.91	30.45	70.79	25
r25j	55.85	50.36	45.65	67.97	42
r50j	65.45	33.86	56.12	65.54	59
r75j	75.19	17.13	66.73	68.89	76
j00g	87.03	-3.21	79.64	79.7	92
j25g	80.72	-24.03	66.82	71.01	110
j50g	70.64	-38.01	49.96	62.78	127
j75g	61.93	-50.08	35.41	61.34	145
g00b	52.8	-62.76	20.12	65.91	162
g25b	55.7	-47.65	-8.05	48.34	190
g50b	57.82	-36.91	-27.79	46.22	217
g75b	55.5	-21.19	-44.16	49.0	244
b00r	41.6	1.31	-43.27	43.3	272
b25r	29.0	24.11	-41.46	47.97	300
b50r	38.04	44.73	-27.29	52.41	329
b75r	49.48	70.07	-3.61	70.16	357



Ein und Ausgabe: Farbmetrisches Drucker-Reflektiv-System ORS20\_95a für relativen CIELAB-Bunton  $h^* = lab^*h^* = h_{ab}/360 = 76/360 = 0.21$

Daten für jede Farbe:

$lab^*tch^*$  und  $lab^*icu^*$

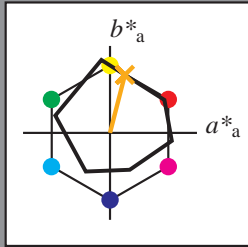
Elementar-Buntontext:

$u^* = r75j$

Kontrastreduzierungsfaktor:

$c_R = 0.96$

Dreiecks-Helligkeit  $t^*$



ORS20\_95a; adaptierte CIELAB-Daten

	$L^*=L^*_a$	$a^*_a$	$b^*_a$	$C^*_{ab,a}$	$h^*_{ab,a}$
O <sub>Ma</sub>	48.75	62.56	37.91	73.15	31
Y <sub>Ma</sub>	90.92	-9.88	83.88	84.46	97
L <sub>Ma</sub>	52.69	-62.9	19.95	66.0	162
C <sub>Ma</sub>	59.61	-27.85	-44.43	52.45	238
V <sub>Ma</sub>	28.39	22.72	-42.42	48.13	298
M <sub>Ma</sub>	49.58	71.08	-9.19	71.67	353
N <sub>Ma</sub>	20.0	0.0	0.0	0.0	0
W <sub>Ma</sub>	95.0	0.0	0.0	0.0	0
R <sub>CIE</sub>	39.92	58.74	27.99	65.07	25
J <sub>CIE</sub>	81.26	-2.88	71.56	71.62	92
G <sub>CIE</sub>	52.23	-42.41	13.6	44.55	162
B <sub>CIE</sub>	30.57	1.41	-46.46	46.49	272

Daten für Maximalfarbe (Ma):

$LAB^*LAB^*_{Ma}$ : 75 17 67

$LAB^*LCH^*_{Ma}$ : 75 69 76

$lab^*rgb^*_{Ma}$ : 1.0 0.75 0.0

$lab^*olv^*_{Ma}$ : 1.0 0.63 0.0

ORS20\_95a; adaptierte CIELAB-Daten

	$L^*=L^*_a$	$a^*_a$	$b^*_a$	$C^*_{ab,a}$	$h^*_{ab,a}$
r00j	48.88	63.91	30.45	70.79	25
r25j	55.85	50.36	45.65	67.97	42
r50j	65.45	33.86	56.12	65.54	59
r75j	75.19	17.13	66.73	68.89	76
j00g	87.03	-3.21	79.64	79.7	92
j25g	80.72	-24.03	66.82	71.01	110
j50g	70.64	-38.01	49.96	62.78	127
j75g	61.93	-50.08	35.41	61.34	145
g00b	52.8	-62.76	20.12	65.91	162
g25b	55.7	-47.65	-8.05	48.34	190
g50b	57.82	-36.91	-27.79	46.22	217
g75b	55.5	-21.19	-44.16	49.0	244
b00r	41.6	1.31	-43.27	43.3	272
b25r	29.0	24.11	-41.46	47.97	300
b50r	38.04	44.73	-27.29	52.41	329
b75r	49.48	70.07	-3.61	70.16	357

Dreiecks-Helligkeit  $t^*$

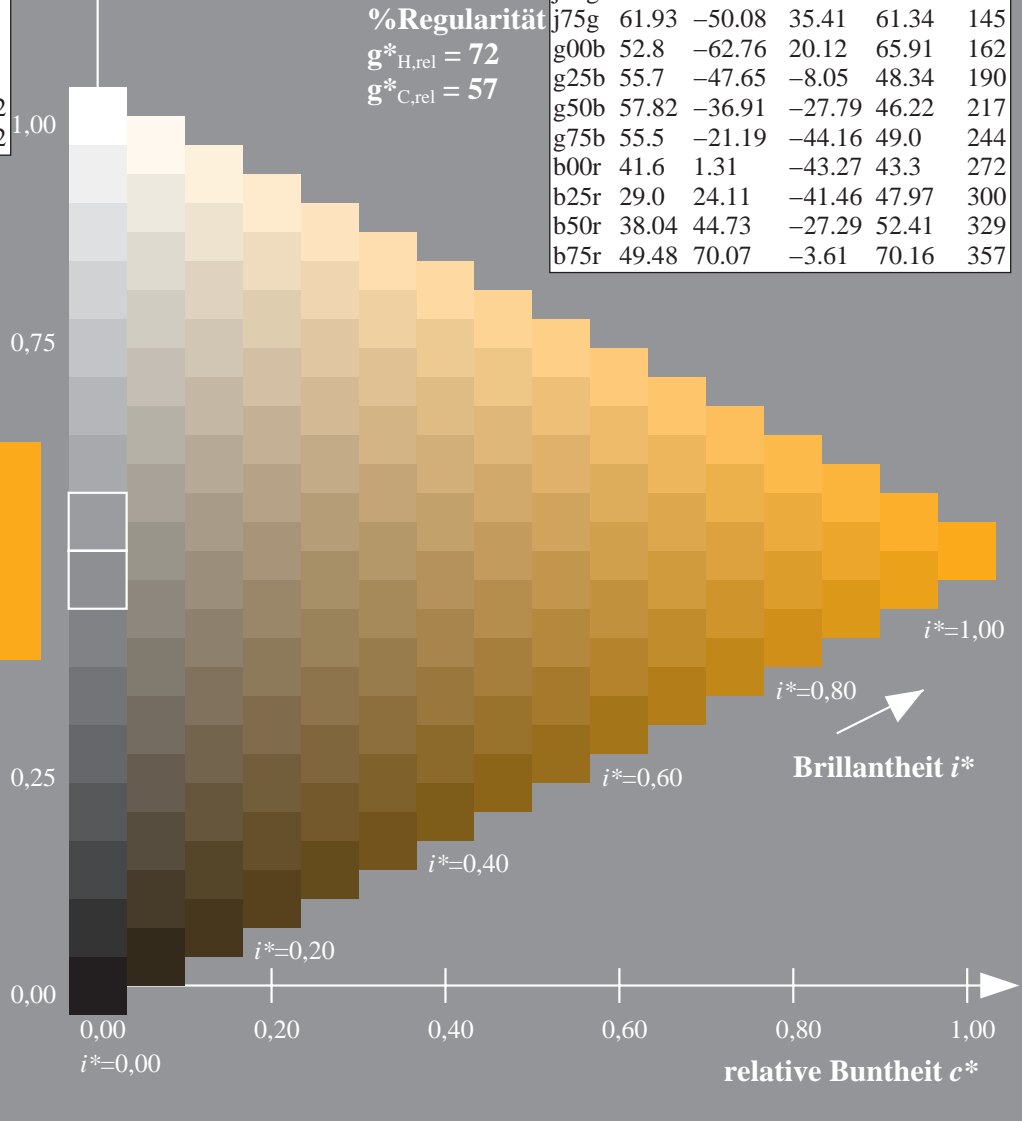
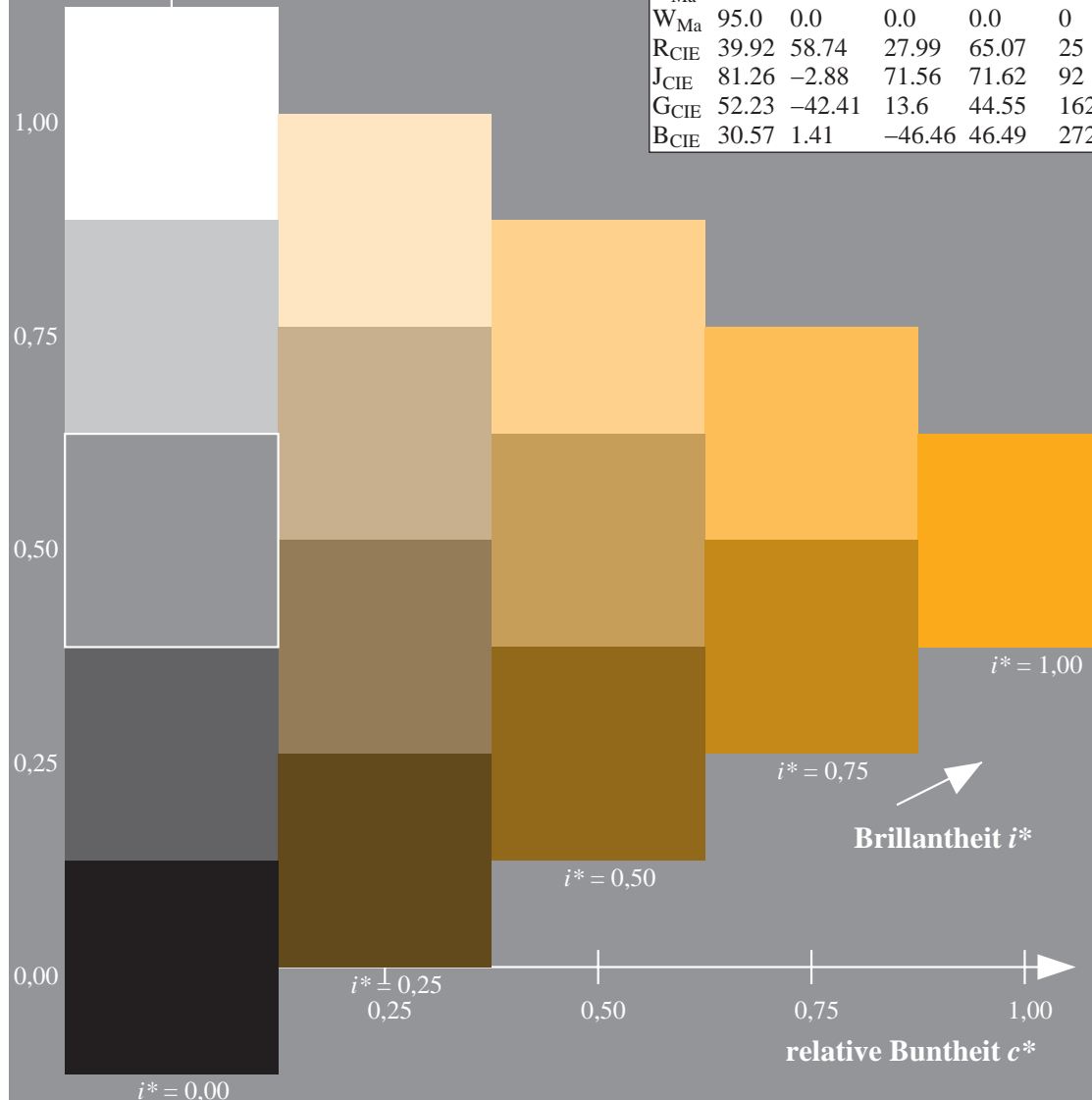
%Umfang

$u^*_{rel} = 83$

%Regularität

$g^*_{H,rel} = 72$

$g^*_{C,rel} = 57$



Ein und Ausgabe: Farbmatisches Drucker-Reflektiv-System ORS20\_95a für relativen CIELAB-Bunton  $h^* = lab^*h^* = h_{ab}/360 = 92/360 = 0.256$

Daten für jede Farbe:

$lab^*tch^*$  und  $lab^*icu^*$

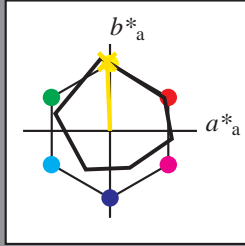
Elementar-Buntontext:

$u^* = j00g$

Kontrastreduzierungsfaktor:

$c_R = 0.96$

Dreiecks-Helligkeit  $t^*$



ORS20\_95a; adaptierte CIELAB-Daten

	$L^*=L^*_a$	$a^*_a$	$b^*_a$	$C^*_{ab,a}$	$h^*_{ab,a}$
$O_{Ma}$	48.75	62.56	37.91	73.15	31
$Y_{Ma}$	90.92	-9.88	83.88	84.46	97
$L_{Ma}$	52.69	-62.9	19.95	66.0	162
$C_{Ma}$	59.61	-27.85	-44.43	52.45	238
$V_{Ma}$	28.39	22.72	-42.42	48.13	298
$M_{Ma}$	49.58	71.08	-9.19	71.67	353
$N_{Ma}$	20.0	0.0	0.0	0.0	0
$W_{Ma}$	95.0	0.0	0.0	0.0	0
$R_{CIE}$	39.92	58.74	27.99	65.07	25
$J_{CIE}$	81.26	-2.88	71.56	71.62	92
$G_{CIE}$	52.23	-42.41	13.6	44.55	162
$B_{CIE}$	30.57	1.41	-46.46	46.49	272

Daten für Maximalfarbe (Ma):

$LAB^*LAB^*_{Ma}$ : 87 -2 80

$LAB^*LCH^*_{Ma}$ : 87 80 92

$lab^*rgb^*_{Ma}$ : 1.0 1.0 0.0

$lab^*olv^*_{Ma}$ : 1.0 0.91 0.0

Dreiecks-Helligkeit  $t^*$

%Umfang

$u^*_{rel} = 83$

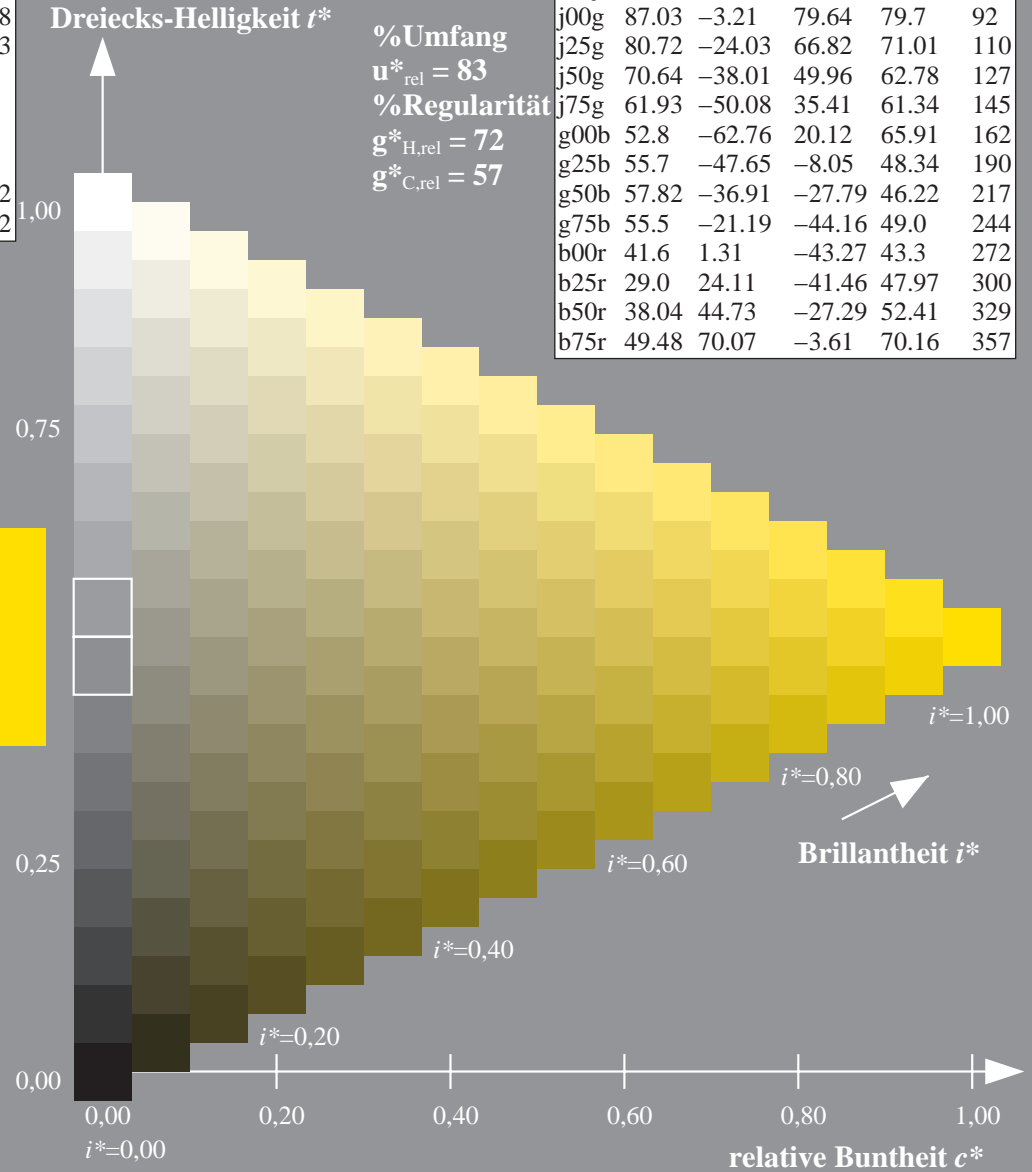
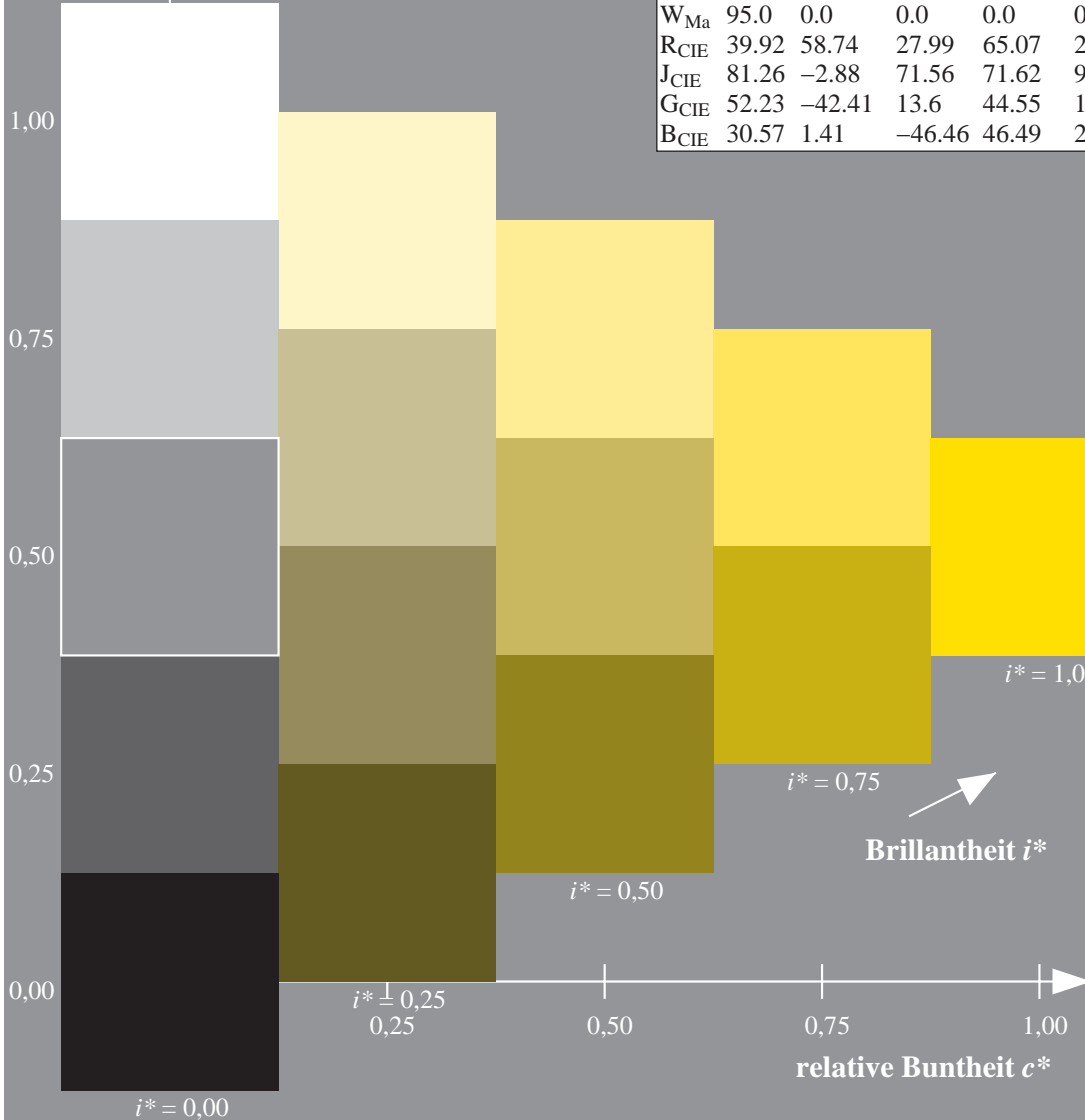
%Regularität

$g^*_{H,rel} = 72$

$g^*_{C,rel} = 57$

ORS20\_95a; adaptierte CIELAB-Daten

	$L^*=L^*_a$	$a^*_a$	$b^*_a$	$C^*_{ab,a}$	$h^*_{ab,a}$
r00j	48.88	63.91	30.45	70.79	25
r25j	55.85	50.36	45.65	67.97	42
r50j	65.45	33.86	56.12	65.54	59
r75j	75.19	17.13	66.73	68.89	76
j00g	87.03	-3.21	79.64	79.7	92
j25g	80.72	-24.03	66.82	71.01	110
j50g	70.64	-38.01	49.96	62.78	127
j75g	61.93	-50.08	35.41	61.34	145
g00b	52.8	-62.76	20.12	65.91	162
g25b	55.7	-47.65	-8.05	48.34	190
g50b	57.82	-36.91	-27.79	46.22	217
g75b	55.5	-21.19	-44.16	49.0	244
b00r	41.6	1.31	-43.27	43.3	272
b25r	29.0	24.11	-41.46	47.97	300
b50r	38.04	44.73	-27.29	52.41	329
b75r	49.48	70.07	-3.61	70.16	357





Ein und Ausgabe: Farbmétrisches Drucker-Reflektiv-System ORS20\_95a für relativen CIELAB-Bunton  $h^* = lab^*h^* = h_{ab}/360 = 110/360 = 0.305$

Daten für jede Farbe:

$lab^*tch^*$  und  $lab^*icu^*$

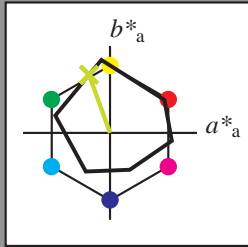
Elementar-Buntontext:

$u^* = j25g$

Kontrastreduzierungsfaktor:

$c_R = 0.96$

Dreiecks-Helligkeit  $t^*$



ORS20_95a; adaptierte CIELAB-Daten					
	$L^*=L^*_a$	$a^*_a$	$b^*_a$	$C^*_{ab,a}$	$h^*_{ab,a}$
$O_{Ma}$	48.75	62.56	37.91	73.15	31
$Y_{Ma}$	90.92	-9.88	83.88	84.46	97
$L_{Ma}$	52.69	-62.9	19.95	66.0	162
$C_{Ma}$	59.61	-27.85	-44.43	52.45	238
$V_{Ma}$	28.39	22.72	-42.42	48.13	298
$M_{Ma}$	49.58	71.08	-9.19	71.67	353
$N_{Ma}$	20.0	0.0	0.0	0.0	0
$W_{Ma}$	95.0	0.0	0.0	0.0	0
$R_{CIE}$	39.92	58.74	27.99	65.07	25
$J_{CIE}$	81.26	-2.88	71.56	71.62	92
$G_{CIE}$	52.23	-42.41	13.6	44.55	162
$B_{CIE}$	30.57	1.41	-46.46	46.49	272

Daten für Maximalfarbe (Ma):

$LAB^*LAB^*_{Ma}$ : 81 -23 67

$LAB^*LCH^*_{Ma}$ : 81 71 110

$lab^*rgb^*_{Ma}$ : 0.75 1.0 0.0

$lab^*olv^*_{Ma}$ : 0.73 1.0 0.0

Dreiecks-Helligkeit  $t^*$

%Umfang

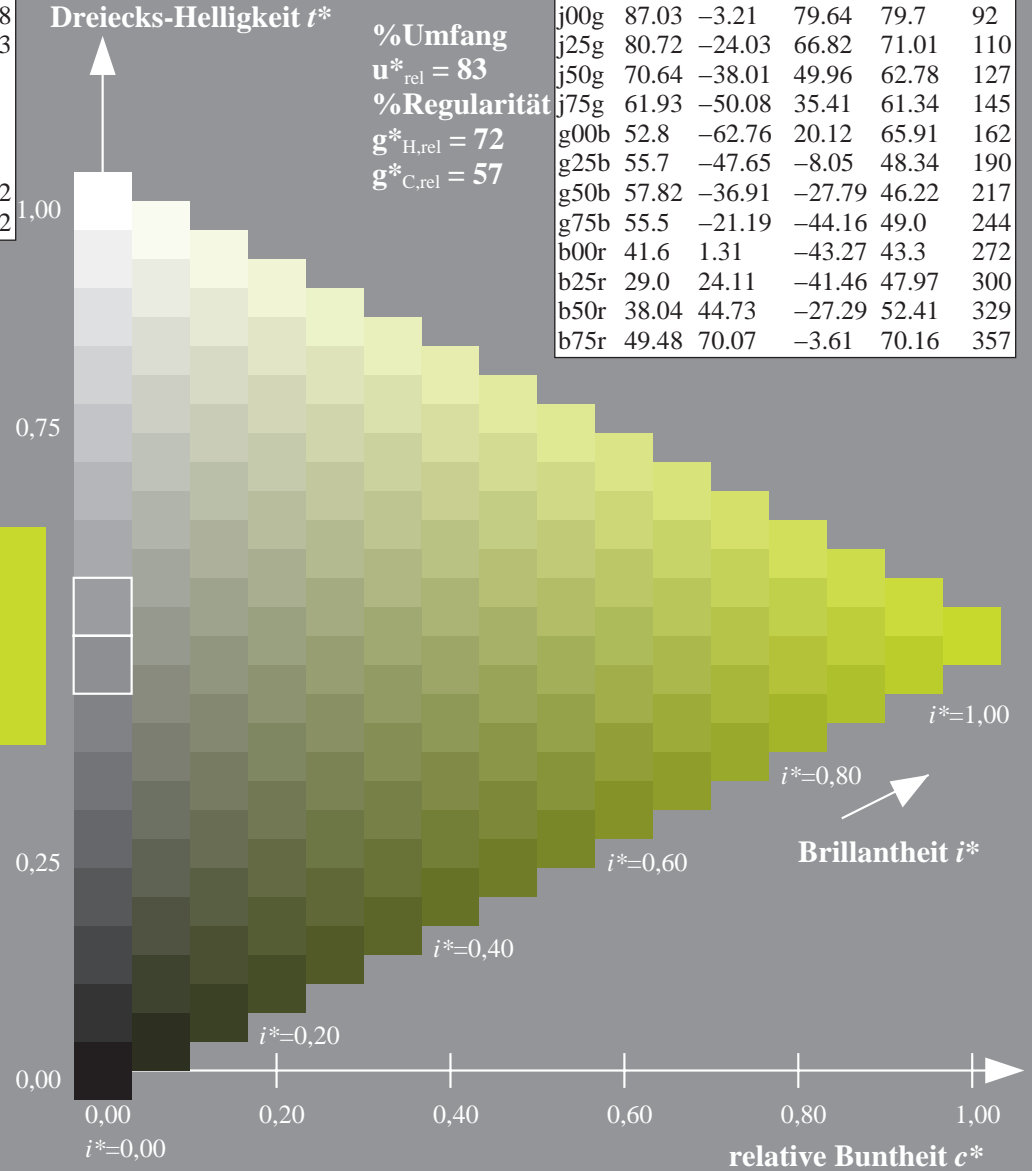
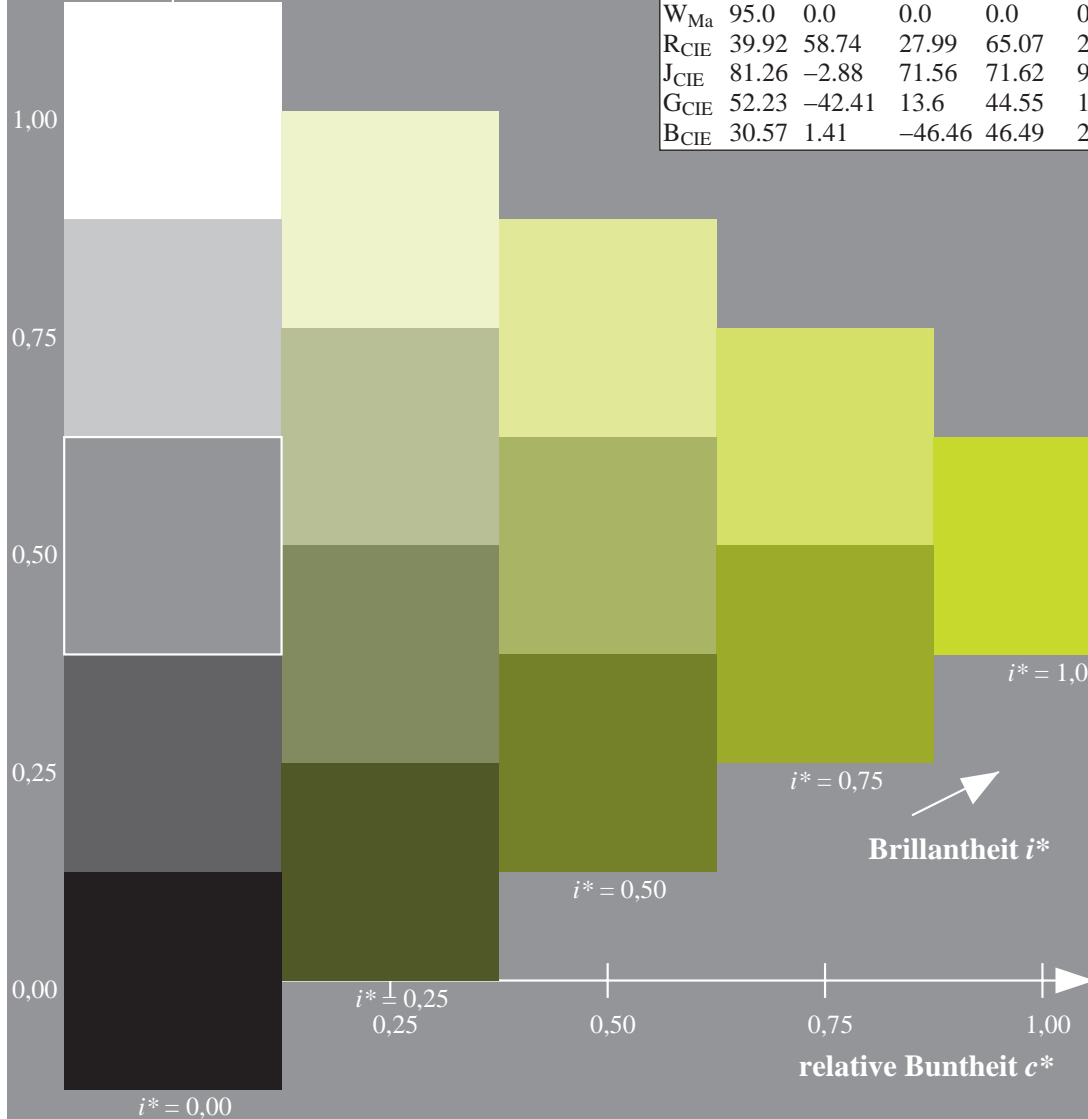
$u^*_{rel} = 83$

%Regularität

$g^*_{H,rel} = 72$

$g^*_{C,rel} = 57$

ORS20_95a; adaptierte CIELAB-Daten					
	$L^*=L^*_a$	$a^*_a$	$b^*_a$	$C^*_{ab,a}$	$h^*_{ab,a}$
r00j	48.88	63.91	30.45	70.79	25
r25j	55.85	50.36	45.65	67.97	42
r50j	65.45	33.86	56.12	65.54	59
r75j	75.19	17.13	66.73	68.89	76
j00g	87.03	-3.21	79.64	79.7	92
j25g	80.72	-24.03	66.82	71.01	110
j50g	70.64	-38.01	49.96	62.78	127
j75g	61.93	-50.08	35.41	61.34	145
g00b	52.8	-62.76	20.12	65.91	162
g25b	55.7	-47.65	-8.05	48.34	190
g50b	57.82	-36.91	-27.79	46.22	217
g75b	55.5	-21.19	-44.16	49.0	244
b00r	41.6	1.31	-43.27	43.3	272
b25r	29.0	24.11	-41.46	47.97	300
b50r	38.04	44.73	-27.29	52.41	329
b75r	49.48	70.07	-3.61	70.16	357



Ein und Ausgabe: Farbmétrisches Drucker-Reflektiv-System ORS20\_95a für relativen CIELAB-Bunton  $h^* = lab^*h^* = h_{ab}/360 = 127/360 = 0.354$

Daten für jede Farbe:

$lab^*tch^*$  und  $lab^*icu^*$

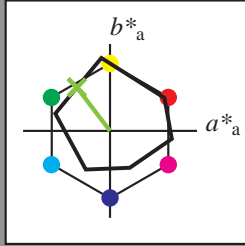
Elementar-Buntontext:

$u^* = j50g$

Kontrastreduzierungsfaktor:

$c_R = 0.96$

Dreiecks-Helligkeit  $t^*$



ORS20\_95a; adaptierte CIELAB-Daten

	$L^*=L^*_a$	$a^*_a$	$b^*_a$	$C^*_{ab,a}$	$h^*_{ab,a}$
$O_{Ma}$	48.75	62.56	37.91	73.15	31
$Y_{Ma}$	90.92	-9.88	83.88	84.46	97
$L_{Ma}$	52.69	-62.9	19.95	66.0	162
$C_{Ma}$	59.61	-27.85	-44.43	52.45	238
$V_{Ma}$	28.39	22.72	-42.42	48.13	298
$M_{Ma}$	49.58	71.08	-9.19	71.67	353
$N_{Ma}$	20.0	0.0	0.0	0.0	0
$W_{Ma}$	95.0	0.0	0.0	0.0	0
$R_{CIE}$	39.92	58.74	27.99	65.07	25
$J_{CIE}$	81.26	-2.88	71.56	71.62	92
$G_{CIE}$	52.23	-42.41	13.6	44.55	162
$B_{CIE}$	30.57	1.41	-46.46	46.49	272

Daten für Maximalfarbe (Ma):

$LAB^*LAB^*_{Ma}: 71 -37 50$

$LAB^*LCH^*_{Ma}: 71 63 127$

$lab^*rgb^*_{Ma}: 0.5 1.0 0.0$

$lab^*olv^*_{Ma}: 0.47 1.0 0.0$

Dreiecks-Helligkeit  $t^*$

%Umfang

$u^*_{rel} = 83$

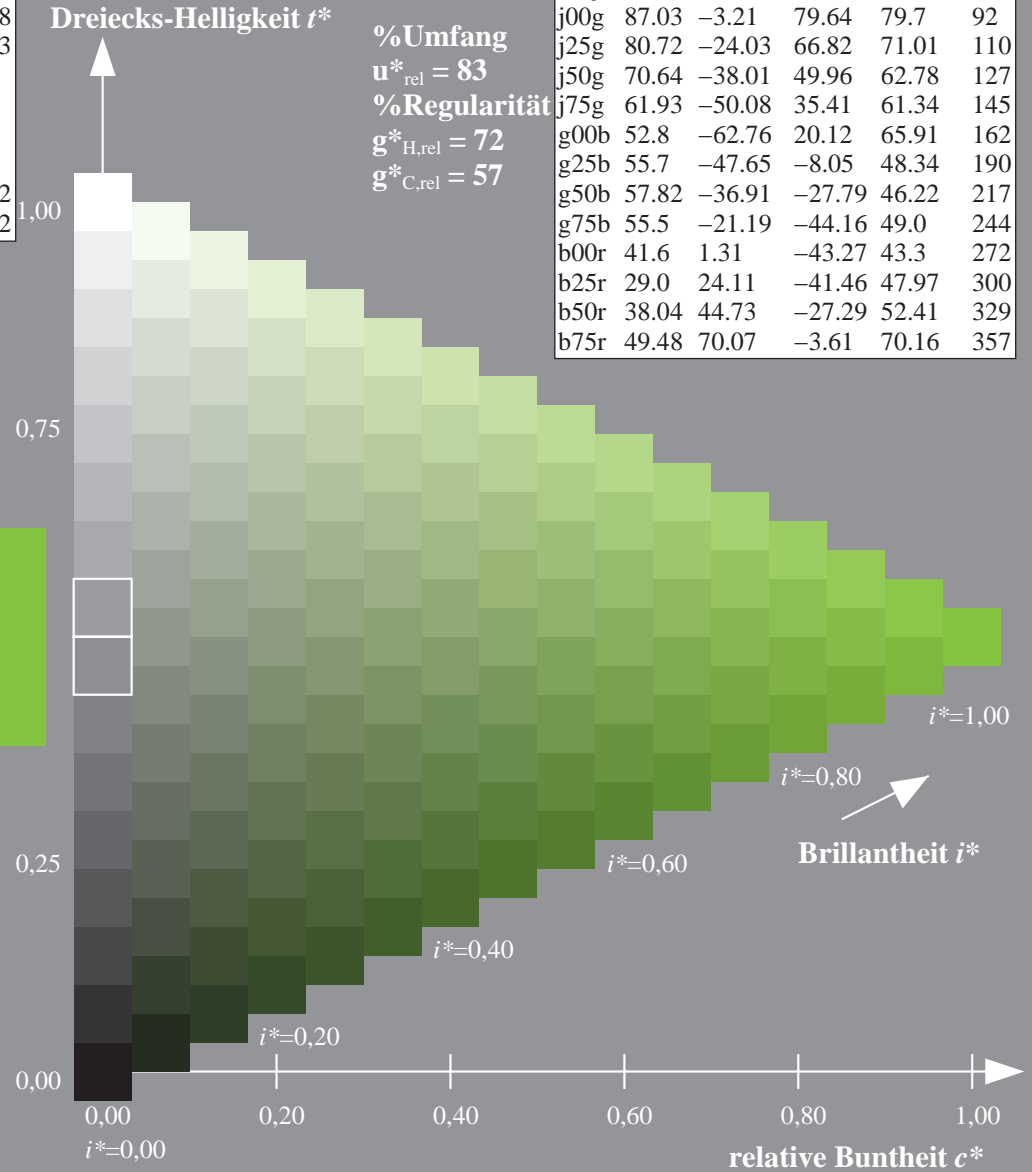
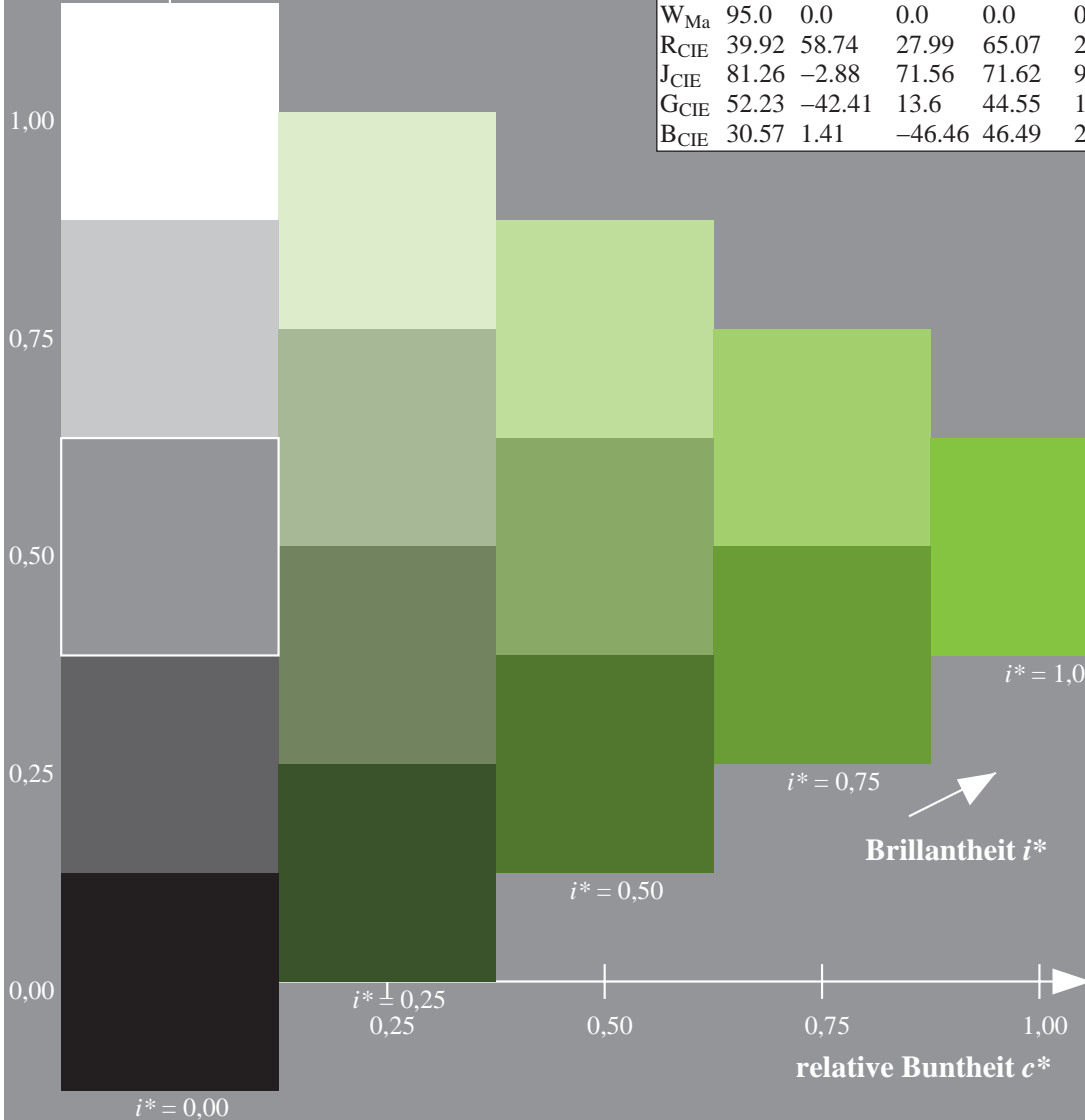
%Regularität

$g^*_{H,rel} = 72$

$g^*_{C,rel} = 57$

ORS20\_95a; adaptierte CIELAB-Daten

	$L^*=L^*_a$	$a^*_a$	$b^*_a$	$C^*_{ab,a}$	$h^*_{ab,a}$
r00j	48.88	63.91	30.45	70.79	25
r25j	55.85	50.36	45.65	67.97	42
r50j	65.45	33.86	56.12	65.54	59
r75j	75.19	17.13	66.73	68.89	76
j00g	87.03	-3.21	79.64	79.7	92
j25g	80.72	-24.03	66.82	71.01	110
j50g	70.64	-38.01	49.96	62.78	127
j75g	61.93	-50.08	35.41	61.34	145
g00b	52.8	-62.76	20.12	65.91	162
g25b	55.7	-47.65	-8.05	48.34	190
g50b	57.82	-36.91	-27.79	46.22	217
g75b	55.5	-21.19	-44.16	49.0	244
b00r	41.6	1.31	-43.27	43.3	272
b25r	29.0	24.11	-41.46	47.97	300
b50r	38.04	44.73	-27.29	52.41	329
b75r	49.48	70.07	-3.61	70.16	357



Ein und Ausgabe: Farbmétrisches Drucker-Reflektiv-System ORS20\_95a für relativen CIELAB-Bunton  $h^* = lab^*h^* = h_{ab}/360 = 145/360 = 0.402$

Daten für jede Farbe:

$lab^*tch^*$  und  $lab^*icu^*$

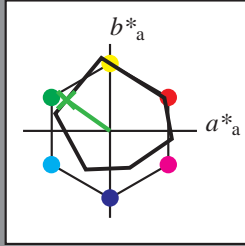
Elementar-Buntontext:

$u^* = j75g$

Kontrastreduzierungsfaktor:

$c_R = 0.96$

Dreiecks-Helligkeit  $t^*$



ORS20\_95a; adaptierte CIELAB-Daten

	$L^*=L^*_a$	$a^*_a$	$b^*_a$	$C^*_{ab,a}$	$h^*_{ab,a}$
O <sub>Ma</sub>	48.75	62.56	37.91	73.15	31
Y <sub>Ma</sub>	90.92	-9.88	83.88	84.46	97
L <sub>Ma</sub>	52.69	-62.9	19.95	66.0	162
C <sub>Ma</sub>	59.61	-27.85	-44.43	52.45	238
V <sub>Ma</sub>	28.39	22.72	-42.42	48.13	298
M <sub>Ma</sub>	49.58	71.08	-9.19	71.67	353
N <sub>Ma</sub>	20.0	0.0	0.0	0.0	0
W <sub>Ma</sub>	95.0	0.0	0.0	0.0	0
R <sub>CIE</sub>	39.92	58.74	27.99	65.07	25
J <sub>CIE</sub>	81.26	-2.88	71.56	71.62	92
G <sub>CIE</sub>	52.23	-42.41	13.6	44.55	162
B <sub>CIE</sub>	30.57	1.41	-46.46	46.49	272

Daten für Maximalfarbe (Ma):

LAB\*LAB\*<sub>Ma</sub>: 62 -49 35

LAB\*LCH\*<sub>Ma</sub>: 62 61 145

lab\*rgb\*<sub>Ma</sub>: 0.25 1.0 0.0

lab\*olv\*<sub>Ma</sub>: 0.24 1.0 0.0

Dreiecks-Helligkeit  $t^*$

%Umfang

$u^*_{rel} = 83$

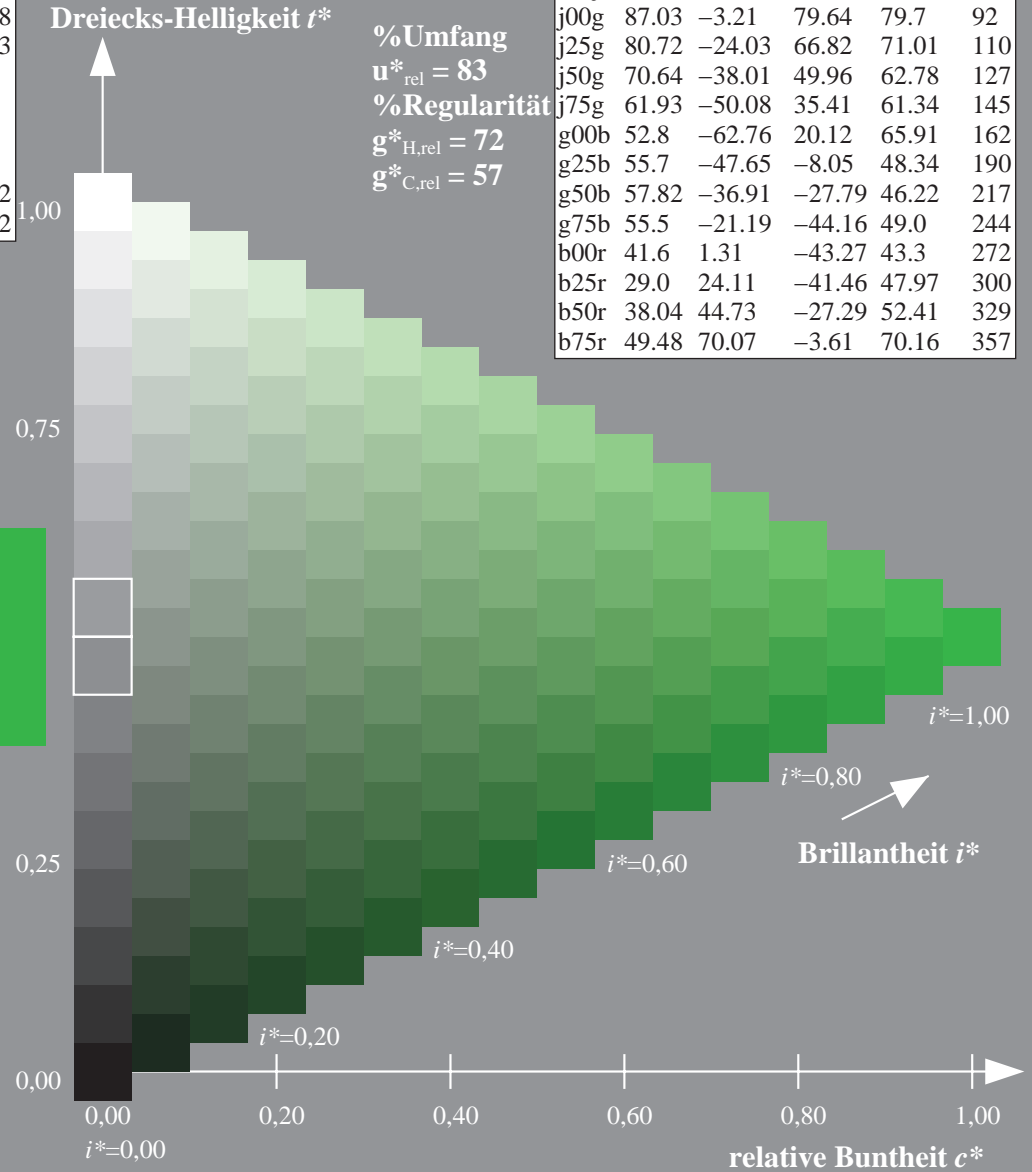
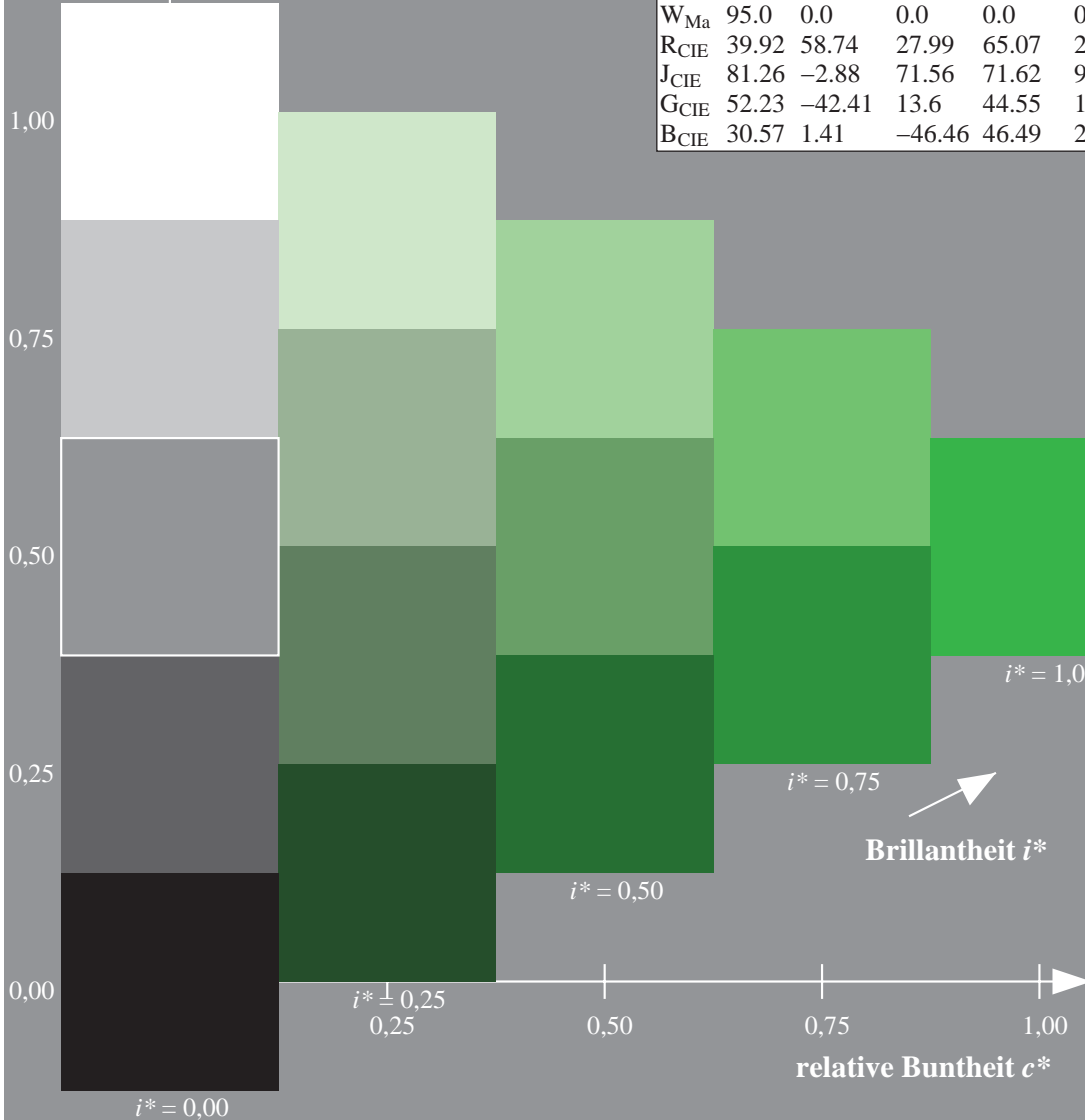
%Regularität

$g^*_{H,rel} = 72$

$g^*_{C,rel} = 57$

ORS20\_95a; adaptierte CIELAB-Daten

	$L^*=L^*_a$	$a^*_a$	$b^*_a$	$C^*_{ab,a}$	$h^*_{ab,a}$
r00j	48.88	63.91	30.45	70.79	25
r25j	55.85	50.36	45.65	67.97	42
r50j	65.45	33.86	56.12	65.54	59
r75j	75.19	17.13	66.73	68.89	76
j00g	87.03	-3.21	79.64	79.7	92
j25g	80.72	-24.03	66.82	71.01	110
j50g	70.64	-38.01	49.96	62.78	127
j75g	61.93	-50.08	35.41	61.34	145
g00b	52.8	-62.76	20.12	65.91	162
g25b	55.7	-47.65	-8.05	48.34	190
g50b	57.82	-36.91	-27.79	46.22	217
g75b	55.5	-21.19	-44.16	49.0	244
b00r	41.6	1.31	-43.27	43.3	272
b25r	29.0	24.11	-41.46	47.97	300
b50r	38.04	44.73	-27.29	52.41	329
b75r	49.48	70.07	-3.61	70.16	357



Ein und Ausgabe: Farbmétrisches Drucker-Reflektiv-System ORS20\_95a für relativen CIELAB-Bunton  $h^* = lab^*h^* = h_{ab}/360 = 162/360 = 0.451$

Daten für jede Farbe:

$lab^*tch^*$  und  $lab^*icu^*$

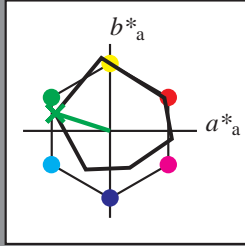
Elementar-Buntontext:

$u^* = g00b$

Kontrastreduzierungsfaktor:

$c_R = 0.96$

Dreiecks-Helligkeit  $t^*$



ORS20\_95a; adaptierte CIELAB-Daten

	$L^*=L^*_a$	$a^*_a$	$b^*_a$	$C^*_{ab,a}$	$h^*_{ab,a}$
O <sub>Ma</sub>	48.75	62.56	37.91	73.15	31
Y <sub>Ma</sub>	90.92	-9.88	83.88	84.46	97
L <sub>Ma</sub>	52.69	-62.9	19.95	66.0	162
C <sub>Ma</sub>	59.61	-27.85	-44.43	52.45	238
V <sub>Ma</sub>	28.39	22.72	-42.42	48.13	298
M <sub>Ma</sub>	49.58	71.08	-9.19	71.67	353
N <sub>Ma</sub>	20.0	0.0	0.0	0.0	0
W <sub>Ma</sub>	95.0	0.0	0.0	0.0	0
R <sub>CIE</sub>	39.92	58.74	27.99	65.07	25
J <sub>CIE</sub>	81.26	-2.88	71.56	71.62	92
G <sub>CIE</sub>	52.23	-42.41	13.6	44.55	162
B <sub>CIE</sub>	30.57	1.41	-46.46	46.49	272

Daten für Maximalfarbe (Ma):

$LAB^*LAB^*_{Ma}$ : 53 -62 20

$LAB^*LCH^*_{Ma}$ : 53 66 162

$lab^*rgb^*_{Ma}$ : 0.0 1.0 0.0

$lab^*olv^*_{Ma}$ : 0.0 1.0 0.0

Dreiecks-Helligkeit  $t^*$

%Umfang

$u^*_{rel} = 83$

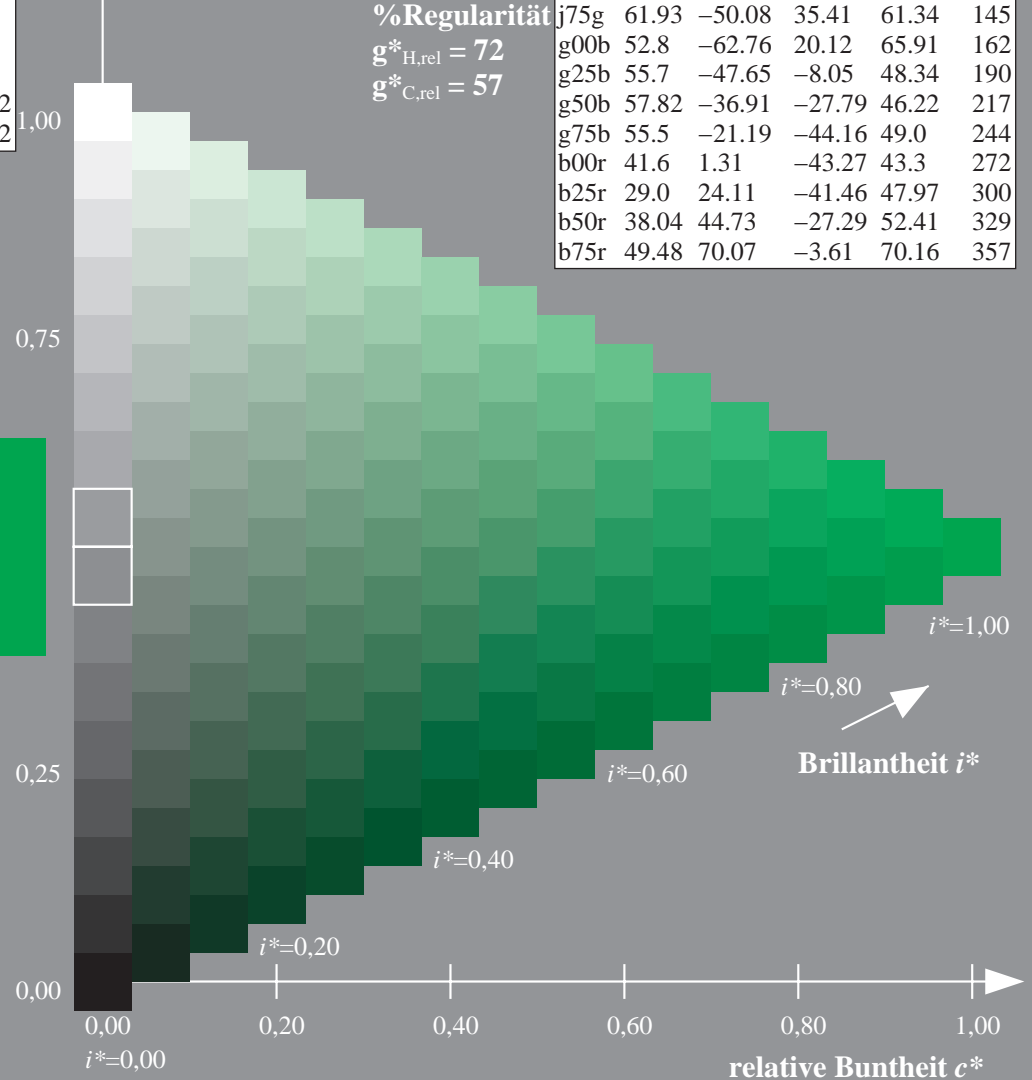
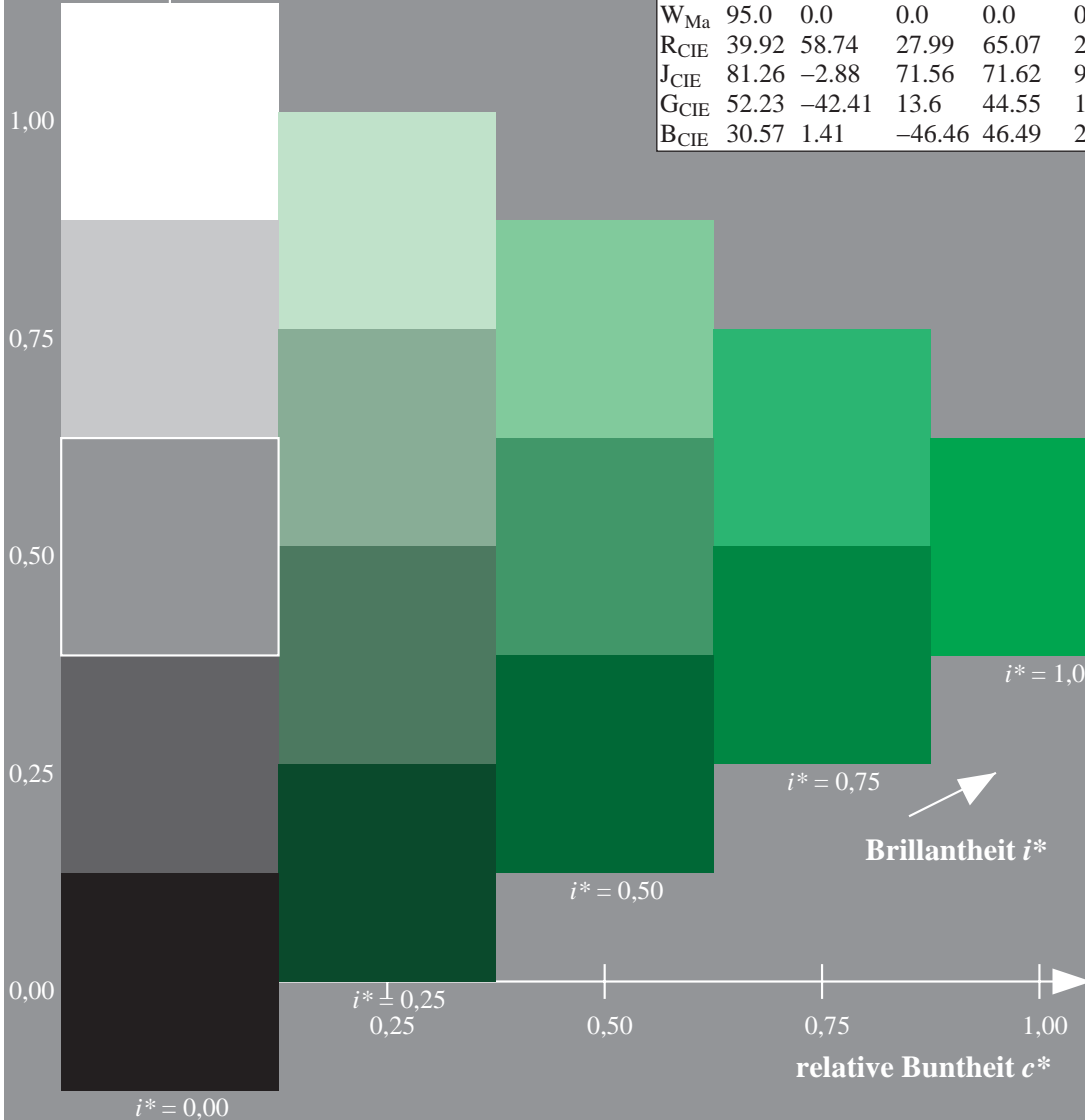
%Regularität

$g^*_{H,rel} = 72$

$g^*_{C,rel} = 57$

ORS20\_95a; adaptierte CIELAB-Daten

	$L^*=L^*_a$	$a^*_a$	$b^*_a$	$C^*_{ab,a}$	$h^*_{ab,a}$
r00j	48.88	63.91	30.45	70.79	25
r25j	55.85	50.36	45.65	67.97	42
r50j	65.45	33.86	56.12	65.54	59
r75j	75.19	17.13	66.73	68.89	76
j00g	87.03	-3.21	79.64	79.7	92
j25g	80.72	-24.03	66.82	71.01	110
j50g	70.64	-38.01	49.96	62.78	127
j75g	61.93	-50.08	35.41	61.34	145
g00b	52.8	-62.76	20.12	65.91	162
g25b	55.7	-47.65	-8.05	48.34	190
g50b	57.82	-36.91	-27.79	46.22	217
g75b	55.5	-21.19	-44.16	49.0	244
b00r	41.6	1.31	-43.27	43.3	272
b25r	29.0	24.11	-41.46	47.97	300
b50r	38.04	44.73	-27.29	52.41	329
b75r	49.48	70.07	-3.61	70.16	357



Ein und Ausgabe: Farbmetrisches Drucker-Reflektiv-System ORS20\_95a für relativen CIELAB-Bunton  $h^* = lab^*h^* = h_{ab}/360 = 190/360 = 0.527$

Daten für jede Farbe:

$lab^*tch^*$  und  $lab^*icu^*$

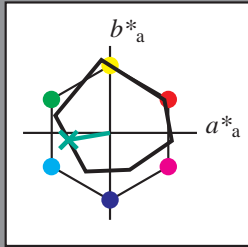
Elementar-Buntontext:

$u^* = g25b$

Kontrastreduzierungsfaktor:

$c_R = 0.96$

Dreiecks-Helligkeit  $t^*$



ORS20_95a; adaptierte CIELAB-Daten					
	$L^*=L^*_a$	$a^*_a$	$b^*_a$	$C^*_{ab,a}$	$h^*_{ab,a}$
$O_{Ma}$	48.75	62.56	37.91	73.15	31
$Y_{Ma}$	90.92	-9.88	83.88	84.46	97
$L_{Ma}$	52.69	-62.9	19.95	66.0	162
$C_{Ma}$	59.61	-27.85	-44.43	52.45	238
$V_{Ma}$	28.39	22.72	-42.42	48.13	298
$M_{Ma}$	49.58	71.08	-9.19	71.67	353
$N_{Ma}$	20.0	0.0	0.0	0.0	0
$W_{Ma}$	95.0	0.0	0.0	0.0	0
$R_{CIE}$	39.92	58.74	27.99	65.07	25
$J_{CIE}$	81.26	-2.88	71.56	71.62	92
$G_{CIE}$	52.23	-42.41	13.6	44.55	162
$B_{CIE}$	30.57	1.41	-46.46	46.49	272

Daten für Maximalfarbe (Ma):

$LAB^*LAB^*_{Ma}: 56 -47 -7$

$LAB^*LCH^*_{Ma}: 56 48 190$

$lab^*rgb^*_{Ma}: 0.0 1.0 0.5$

$lab^*olv^*_{Ma}: 0.0 1.0 0.44$

Dreiecks-Helligkeit  $t^*$

%Umfang

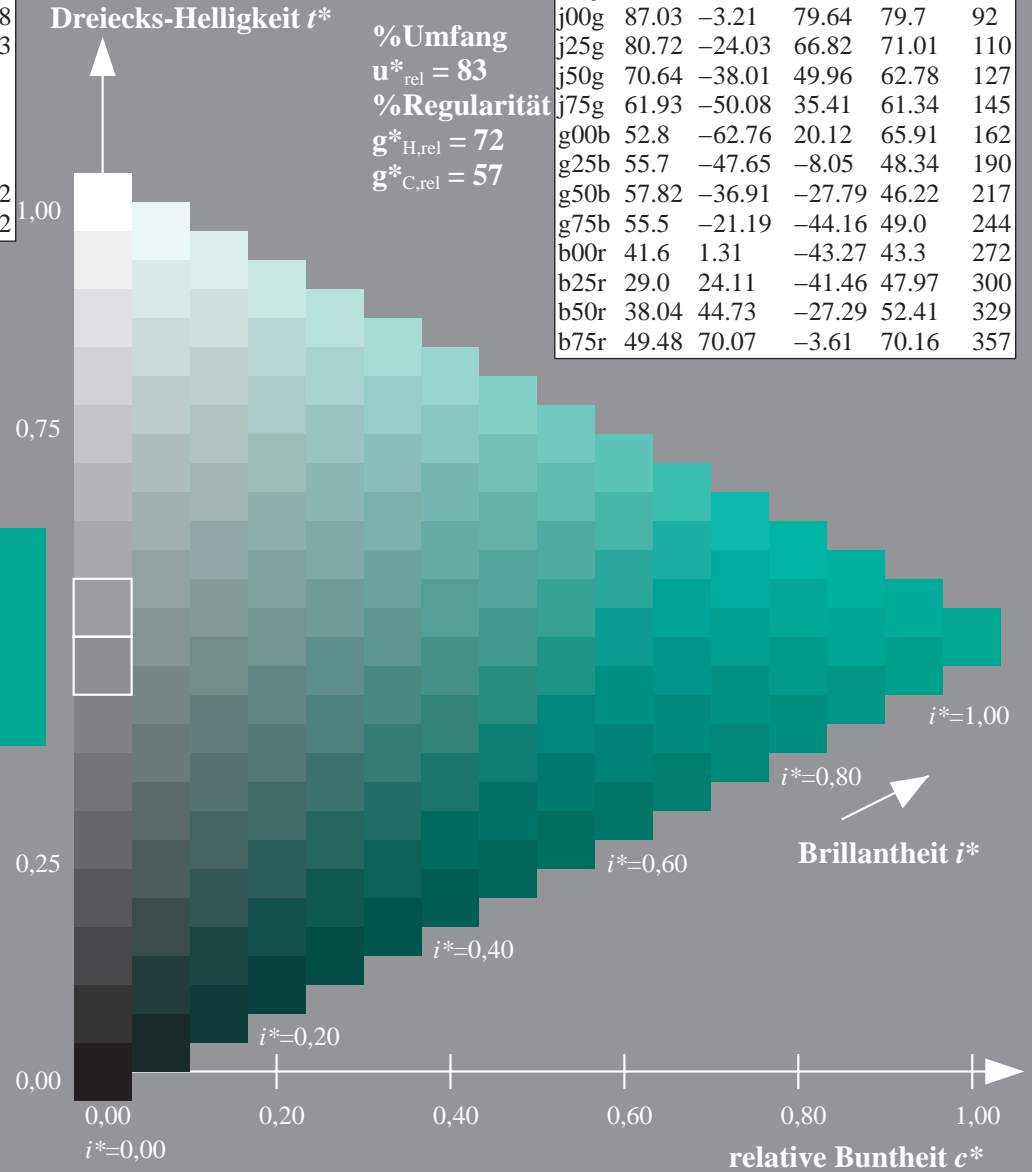
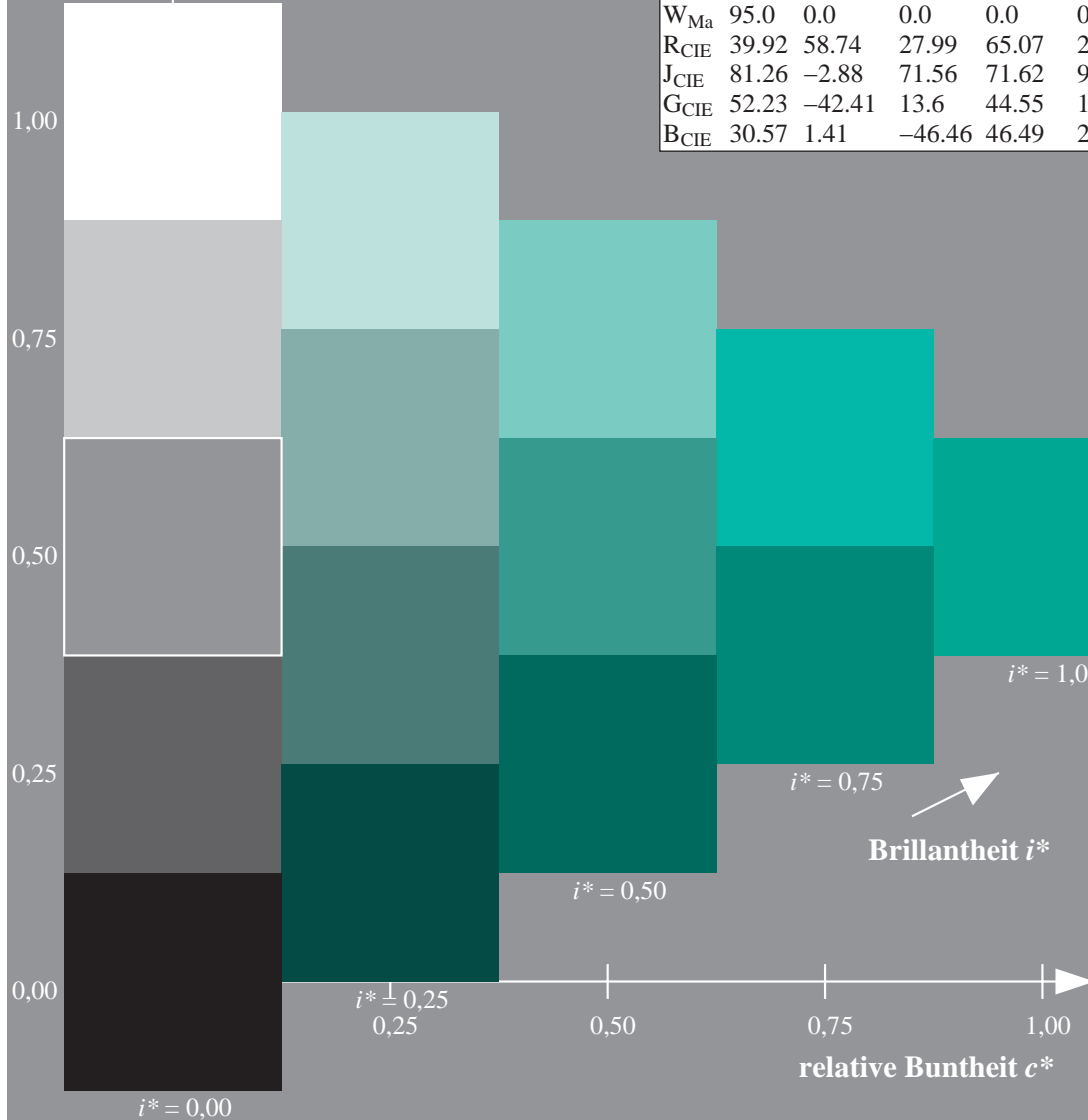
$u^*_{rel} = 83$

%Regularität

$g^*_{H,rel} = 72$

$g^*_{C,rel} = 57$

ORS20_95a; adaptierte CIELAB-Daten					
	$L^*=L^*_a$	$a^*_a$	$b^*_a$	$C^*_{ab,a}$	$h^*_{ab,a}$
r00j	48.88	63.91	30.45	70.79	25
r25j	55.85	50.36	45.65	67.97	42
r50j	65.45	33.86	56.12	65.54	59
r75j	75.19	17.13	66.73	68.89	76
j00g	87.03	-3.21	79.64	79.7	92
j25g	80.72	-24.03	66.82	71.01	110
j50g	70.64	-38.01	49.96	62.78	127
j75g	61.93	-50.08	35.41	61.34	145
g00b	52.8	-62.76	20.12	65.91	162
g25b	55.7	-47.65	-8.05	48.34	190
g50b	57.82	-36.91	-27.79	46.22	217
g75b	55.5	-21.19	-44.16	49.0	244
b00r	41.6	1.31	-43.27	43.3	272
b25r	29.0	24.11	-41.46	47.97	300
b50r	38.04	44.73	-27.29	52.41	329
b75r	49.48	70.07	-3.61	70.16	357



Ein und Ausgabe: Farbmetrisches Drucker-Reflektiv-System ORS20\_95a für relativen CIELAB-Bunton  $h^* = lab^*h^* = h_{ab}/360 = 217/360 = 0.603$

Daten für jede Farbe:

$lab^*tch^*$  und  $lab^*icu^*$

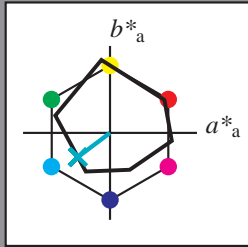
Elementar-Buntontext:

$u^* = g50b$

Kontrastreduzierungsfaktor:

$c_R = 0.96$

Dreiecks-Helligkeit  $t^*$



ORS20_95a; adaptierte CIELAB-Daten					
	$L^*=L^*_a$	$a^*_a$	$b^*_a$	$C^*_{ab,a}$	$h^*_{ab,a}$
$O_{Ma}$	48.75	62.56	37.91	73.15	31
$Y_{Ma}$	90.92	-9.88	83.88	84.46	97
$L_{Ma}$	52.69	-62.9	19.95	66.0	162
$C_{Ma}$	59.61	-27.85	-44.43	52.45	238
$V_{Ma}$	28.39	22.72	-42.42	48.13	298
$M_{Ma}$	49.58	71.08	-9.19	71.67	353
$N_{Ma}$	20.0	0.0	0.0	0.0	0
$W_{Ma}$	95.0	0.0	0.0	0.0	0
$R_{CIE}$	39.92	58.74	27.99	65.07	25
$J_{CIE}$	81.26	-2.88	71.56	71.62	92
$G_{CIE}$	52.23	-42.41	13.6	44.55	162
$B_{CIE}$	30.57	1.41	-46.46	46.49	272

Daten für Maximalfarbe (Ma):

$LAB^*LAB^*_{Ma}$ : 58 -36 -27

$LAB^*LCH^*_{Ma}$ : 58 46 217

$lab^*rgb^*_{Ma}$ : 0.0 1.0 1.0

$lab^*olv^*_{Ma}$ : 0.0 1.0 0.74

Dreiecks-Helligkeit  $t^*$

%Umfang

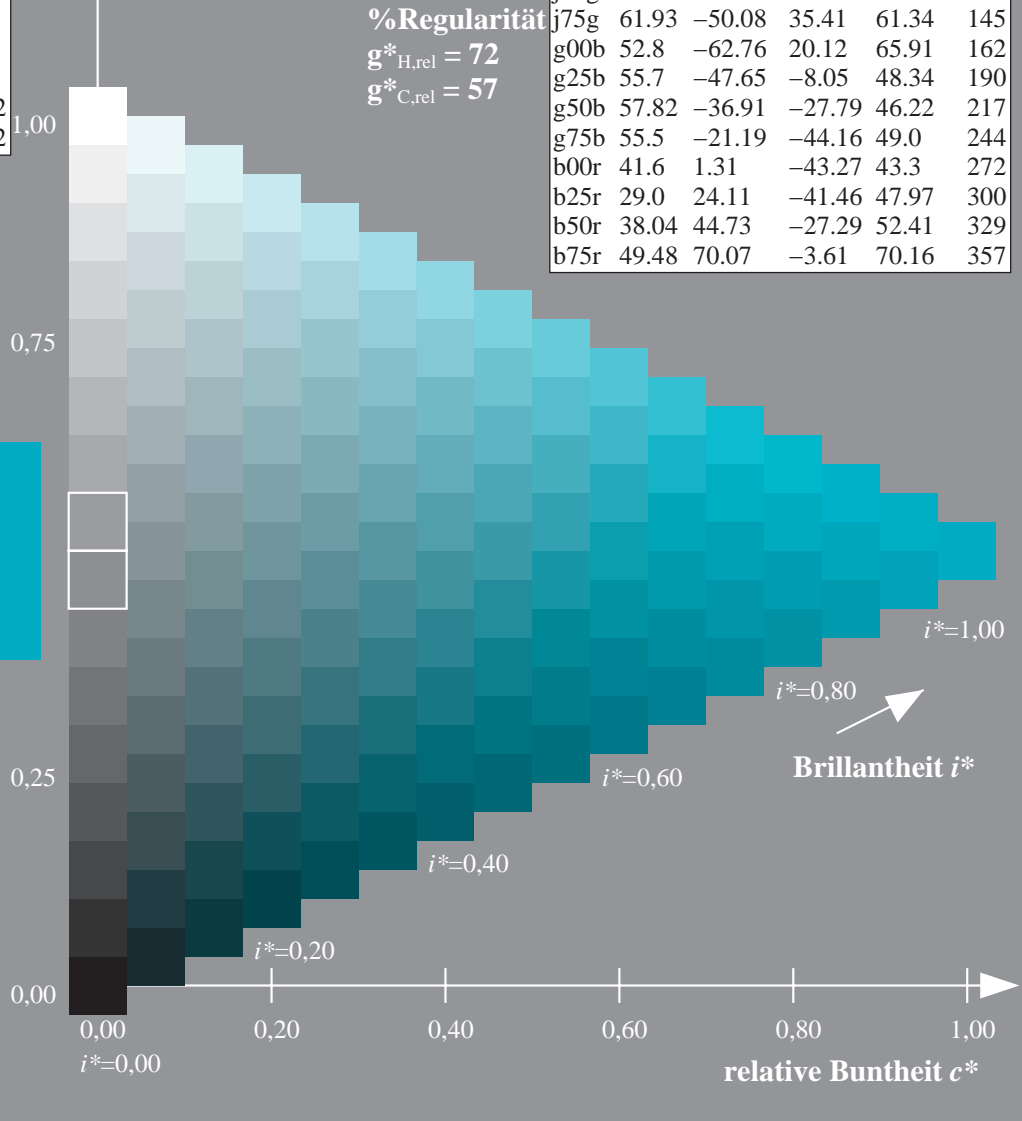
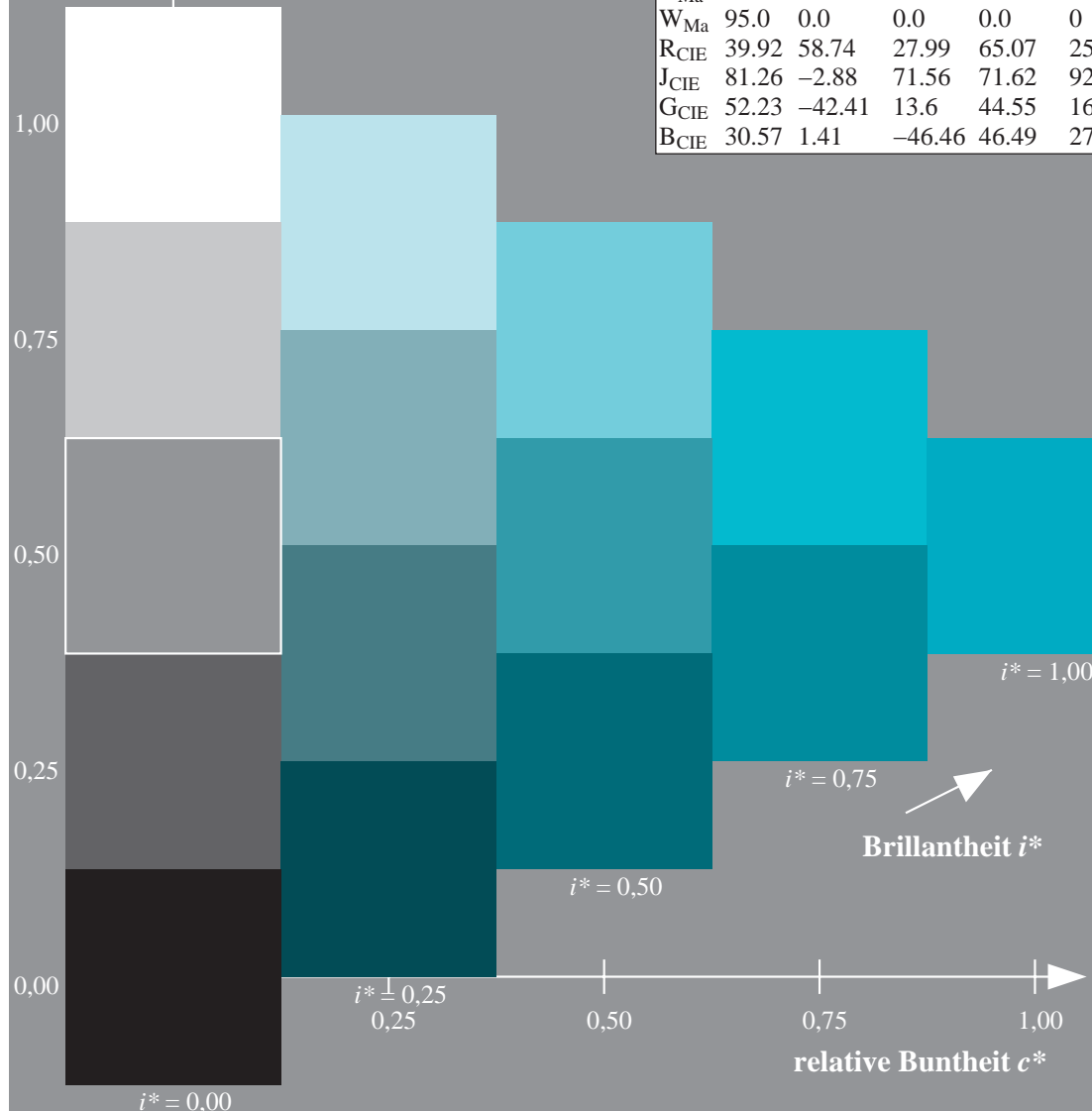
$u^*_{rel} = 83$

%Regularität

$g^*_{H,rel} = 72$

$g^*_{C,rel} = 57$

ORS20_95a; adaptierte CIELAB-Daten					
	$L^*=L^*_a$	$a^*_a$	$b^*_a$	$C^*_{ab,a}$	$h^*_{ab,a}$
r00j	48.88	63.91	30.45	70.79	25
r25j	55.85	50.36	45.65	67.97	42
r50j	65.45	33.86	56.12	65.54	59
r75j	75.19	17.13	66.73	68.89	76
j00g	87.03	-3.21	79.64	79.7	92
j25g	80.72	-24.03	66.82	71.01	110
j50g	70.64	-38.01	49.96	62.78	127
j75g	61.93	-50.08	35.41	61.34	145
g00b	52.8	-62.76	20.12	65.91	162
g25b	55.7	-47.65	-8.05	48.34	190
g50b	57.82	-36.91	-27.79	46.22	217
g75b	55.5	-21.19	-44.16	49.0	244
b00r	41.6	1.31	-43.27	43.3	272
b25r	29.0	24.11	-41.46	47.97	300
b50r	38.04	44.73	-27.29	52.41	329
b75r	49.48	70.07	-3.61	70.16	357



Ein und Ausgabe: Farbmetrisches Drucker-Reflektiv-System ORS20\_95a für relativen CIELAB-Bunton  $h^* = lab^*h^* = h_{ab}/360 = 244/360 = 0.679$

Daten für jede Farbe:

$lab^*ch^*$  und  $lab^*icu^*$

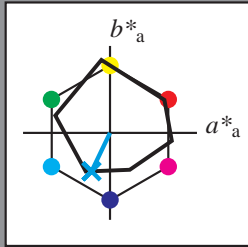
Elementar-Buntontext:

$u^* = g75b$

Kontrastreduzierungsfaktor:

$c_R = 0.96$

Dreiecks-Helligkeit  $t^*$



**ORS20\_95a; adaptierte CIELAB-Daten**

	$L^*=L^*_a$	$a^*_a$	$b^*_a$	$C^*_{ab,a}$	$h^*_{ab,a}$
$O_{Ma}$	48.75	62.56	37.91	73.15	31
$Y_{Ma}$	90.92	-9.88	83.88	84.46	97
$L_{Ma}$	52.69	-62.9	19.95	66.0	162
$C_{Ma}$	59.61	-27.85	-44.43	52.45	238
$V_{Ma}$	28.39	22.72	-42.42	48.13	298
$M_{Ma}$	49.58	71.08	-9.19	71.67	353
$N_{Ma}$	20.0	0.0	0.0	0.0	0
$W_{Ma}$	95.0	0.0	0.0	0.0	0
$R_{CIE}$	39.92	58.74	27.99	65.07	25
$J_{CIE}$	81.26	-2.88	71.56	71.62	92
$G_{CIE}$	52.23	-42.41	13.6	44.55	162
$B_{CIE}$	30.57	1.41	-46.46	46.49	272

Daten für Maximalfarbe (Ma):

$LAB^*LAB^*_{Ma}: 55 \ -20 \ -43$

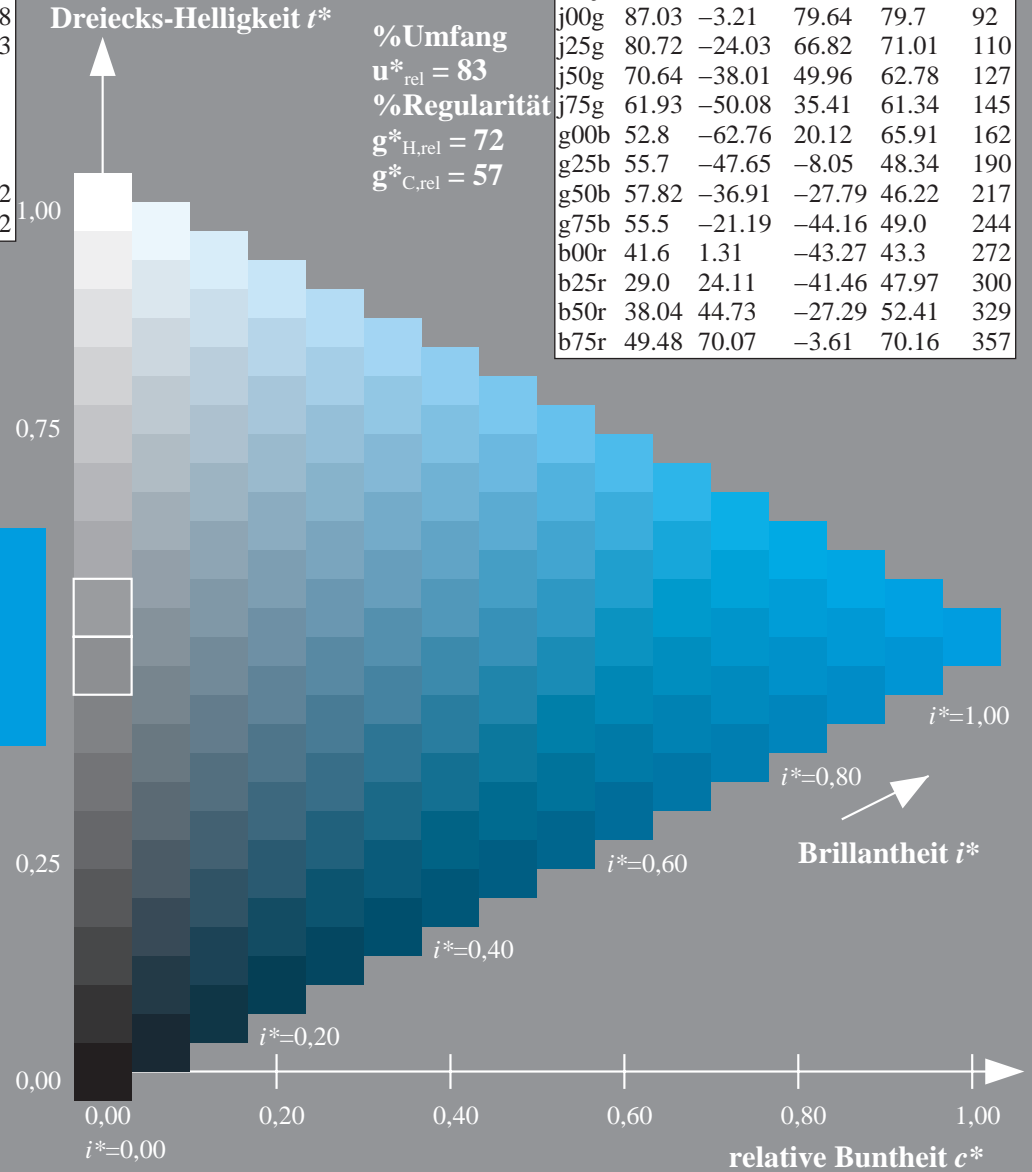
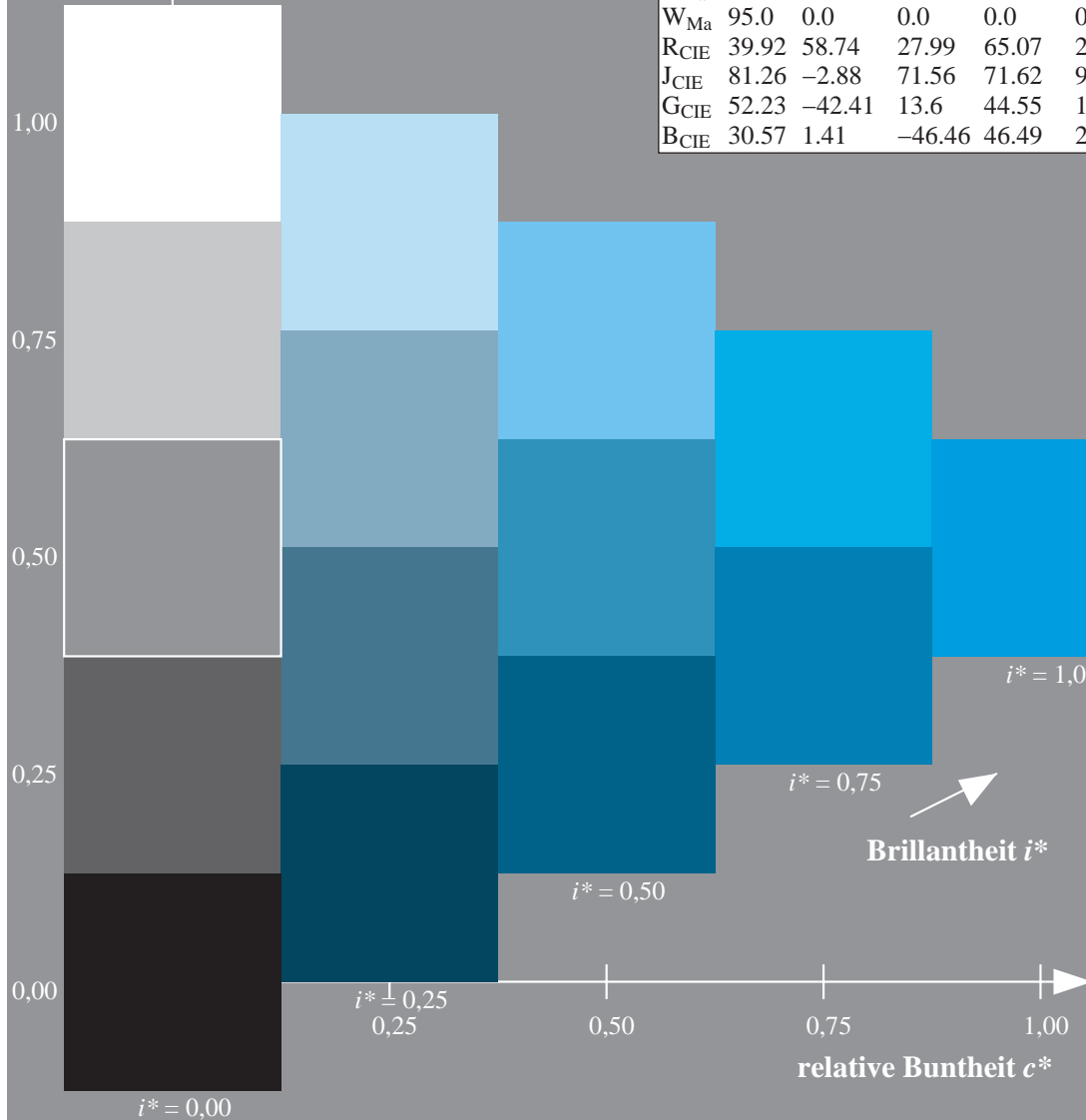
$LAB^*LCH^*_{Ma}: 55 \ 49 \ 244$

$lab^*rgb^*_{Ma}: 0.0 \ 0.5 \ 1.0$

$lab^*olv^*_{Ma}: 0.0 \ 0.87 \ 1.0$

**ORS20\_95a; adaptierte CIELAB-Daten**

	$L^*=L^*_a$	$a^*_a$	$b^*_a$	$C^*_{ab,a}$	$h^*_{ab,a}$
r00j	48.88	63.91	30.45	70.79	25
r25j	55.85	50.36	45.65	67.97	42
r50j	65.45	33.86	56.12	65.54	59
r75j	75.19	17.13	66.73	68.89	76
j00g	87.03	-3.21	79.64	79.7	92
j25g	80.72	-24.03	66.82	71.01	110
j50g	70.64	-38.01	49.96	62.78	127
j75g	61.93	-50.08	35.41	61.34	145
g00b	52.8	-62.76	20.12	65.91	162
g25b	55.7	-47.65	-8.05	48.34	190
g50b	57.82	-36.91	-27.79	46.22	217
g75b	55.5	-21.19	-44.16	49.0	244
b00r	41.6	1.31	-43.27	43.3	272
b25r	29.0	24.11	-41.46	47.97	300
b50r	38.04	44.73	-27.29	52.41	329
b75r	49.48	70.07	-3.61	70.16	357



Ein und Ausgabe: Farbmetrisches Drucker-Reflektiv-System ORS20\_95a für relativen CIELAB-Bunton  $h^* = lab^*h^* = h_{ab}/360 = 272/360 = 0.755$

Daten für jede Farbe:

$lab^*ch^*$  und  $lab^*icu^*$

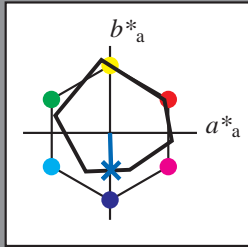
Elementar-Buntontext:

$u^* = b00r$

Kontrastreduzierungsfaktor:

$c_R = 0.96$

Dreiecks-Helligkeit  $t^*$



ORS20_95a; adaptierte CIELAB-Daten					
	$L^*=L^*_a$	$a^*_a$	$b^*_a$	$C^*_{ab,a}$	$h^*_{ab,a}$
$O_{Ma}$	48.75	62.56	37.91	73.15	31
$Y_{Ma}$	90.92	-9.88	83.88	84.46	97
$L_{Ma}$	52.69	-62.9	19.95	66.0	162
$C_{Ma}$	59.61	-27.85	-44.43	52.45	238
$V_{Ma}$	28.39	22.72	-42.42	48.13	298
$M_{Ma}$	49.58	71.08	-9.19	71.67	353
$N_{Ma}$	20.0	0.0	0.0	0.0	0
$W_{Ma}$	95.0	0.0	0.0	0.0	0
$R_{CIE}$	39.92	58.74	27.99	65.07	25
$J_{CIE}$	81.26	-2.88	71.56	71.62	92
$G_{CIE}$	52.23	-42.41	13.6	44.55	162
$B_{CIE}$	30.57	1.41	-46.46	46.49	272

Daten für Maximalfarbe (Ma):

$LAB^*LAB^*_{Ma}$ : 42 1 -42

$LAB^*LCH^*_{Ma}$ : 42 43 272

$lab^*rgb^*_{Ma}$ : 0.0 0.0 1.0

$lab^*olv^*_{Ma}$ : 0.0 0.42 1.0

Dreiecks-Helligkeit  $t^*$

%Umfang

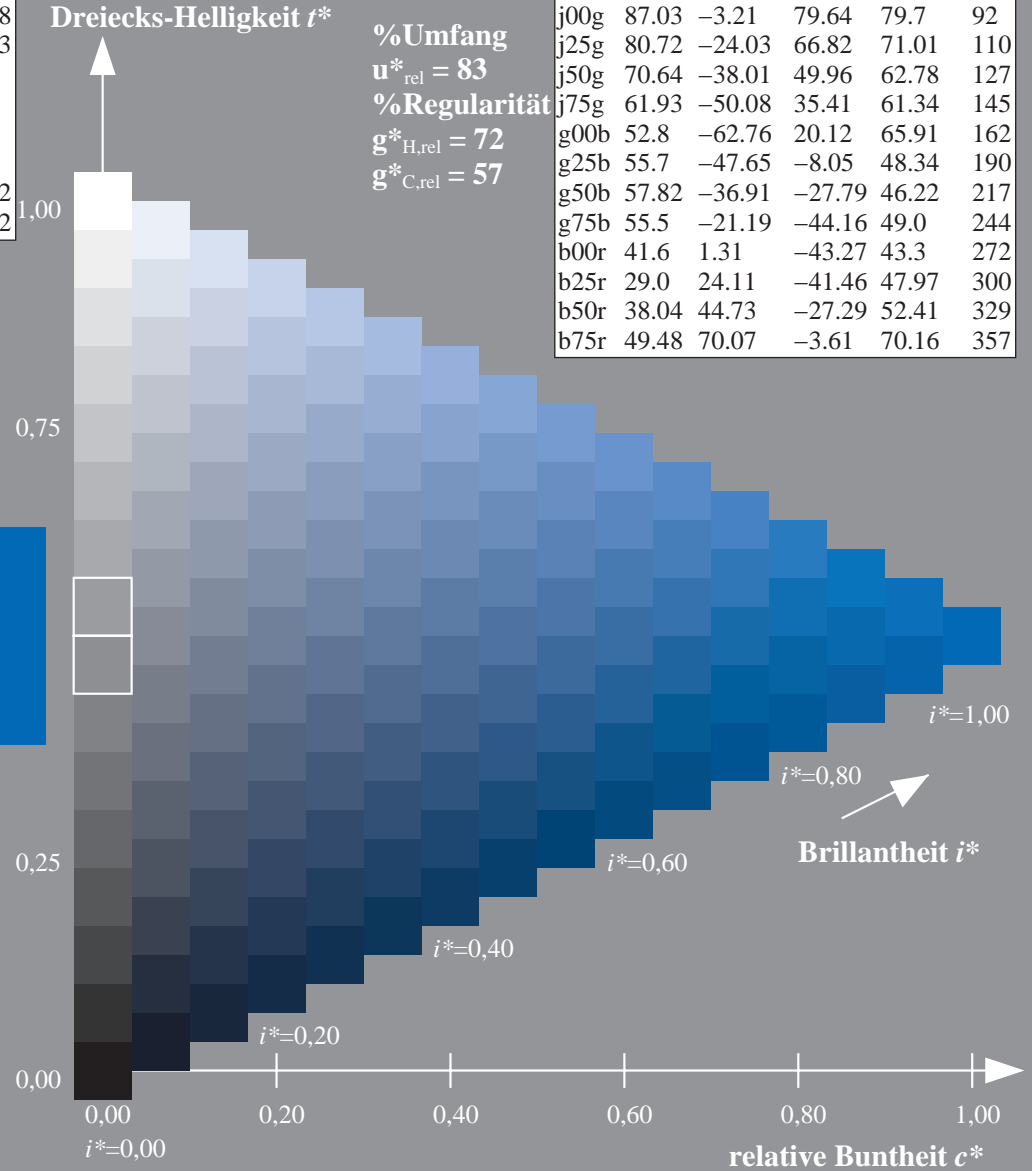
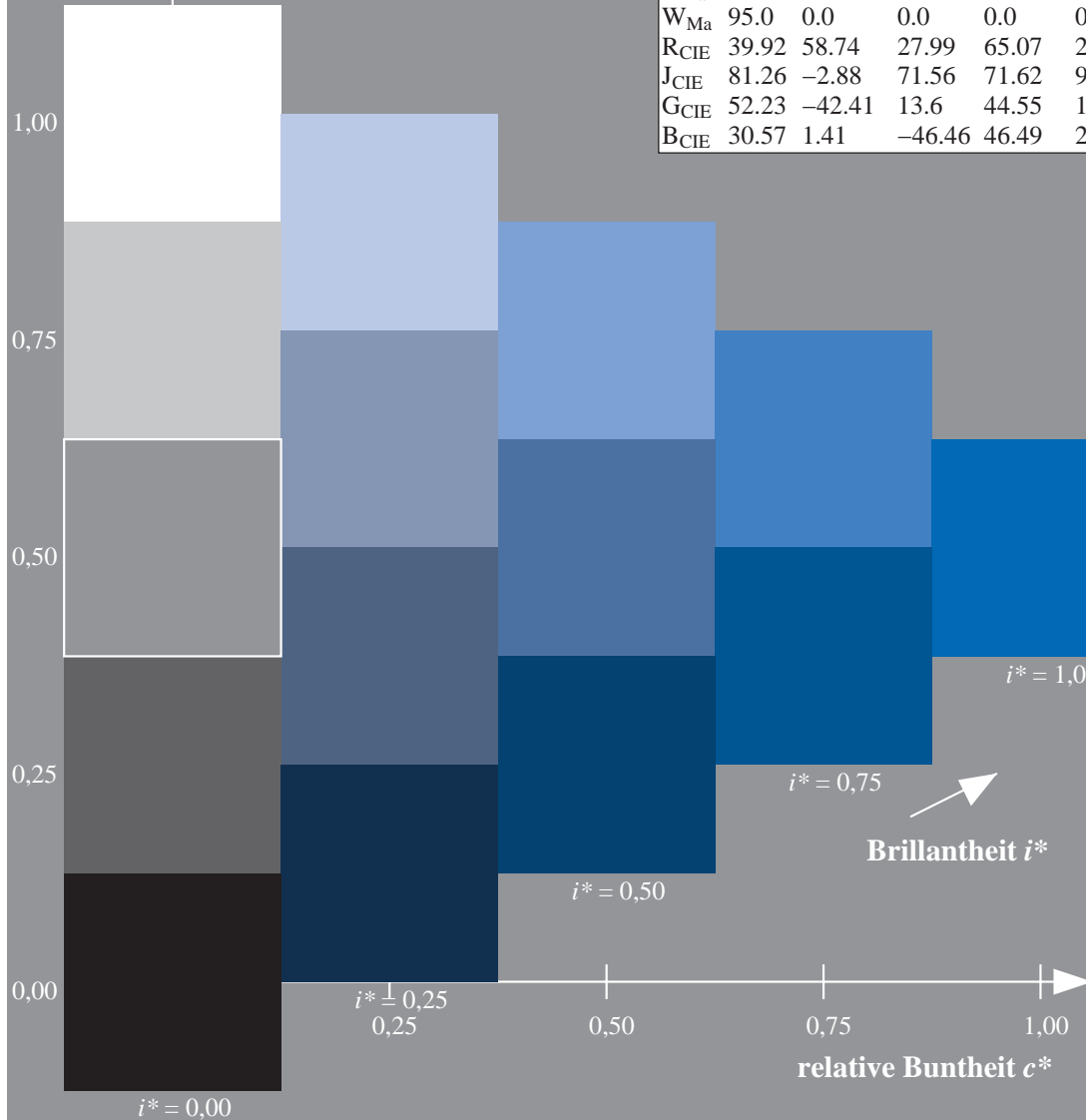
$u^*_{rel} = 83$

%Regularität

$g^*_{H,rel} = 72$

$g^*_{C,rel} = 57$

ORS20_95a; adaptierte CIELAB-Daten					
	$L^*=L^*_a$	$a^*_a$	$b^*_a$	$C^*_{ab,a}$	$h^*_{ab,a}$
r00j	48.88	63.91	30.45	70.79	25
r25j	55.85	50.36	45.65	67.97	42
r50j	65.45	33.86	56.12	65.54	59
r75j	75.19	17.13	66.73	68.89	76
j00g	87.03	-3.21	79.64	79.7	92
j25g	80.72	-24.03	66.82	71.01	110
j50g	70.64	-38.01	49.96	62.78	127
j75g	61.93	-50.08	35.41	61.34	145
g00b	52.8	-62.76	20.12	65.91	162
g25b	55.7	-47.65	-8.05	48.34	190
g50b	57.82	-36.91	-27.79	46.22	217
g75b	55.5	-21.19	-44.16	49.0	244
b00r	41.6	1.31	-43.27	43.3	272
b25r	29.0	24.11	-41.46	47.97	300
b50r	38.04	44.73	-27.29	52.41	329
b75r	49.48	70.07	-3.61	70.16	357





Ein und Ausgabe: Farbmetrisches Drucker-Reflektiv-System ORS20\_95a für relativen CIELAB-Bunton  $h^* = lab^*h^* = h_{ab}/360 = 300/360 = 0.834$

Daten für jede Farbe:

$lab^*ch^*$  und  $lab^*icu^*$

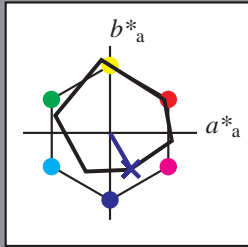
Elementar-Buntontext:

$u^* = b25r$

Kontrastreduzierungsfaktor:

$c_R = 0.96$

Dreiecks-Helligkeit  $t^*$



ORS20_95a; adaptierte CIELAB-Daten					
	$L^*=L^*_a$	$a^*_a$	$b^*_a$	$C^*_{ab,a}$	$h^*_{ab,a}$
O <sub>Ma</sub>	48.75	62.56	37.91	73.15	31
Y <sub>Ma</sub>	90.92	-9.88	83.88	84.46	97
L <sub>Ma</sub>	52.69	-62.9	19.95	66.0	162
C <sub>Ma</sub>	59.61	-27.85	-44.43	52.45	238
V <sub>Ma</sub>	28.39	22.72	-42.42	48.13	298
M <sub>Ma</sub>	49.58	71.08	-9.19	71.67	353
N <sub>Ma</sub>	20.0	0.0	0.0	0.0	0
W <sub>Ma</sub>	95.0	0.0	0.0	0.0	0
R <sub>CIE</sub>	39.92	58.74	27.99	65.07	25
J <sub>CIE</sub>	81.26	-2.88	71.56	71.62	92
G <sub>CIE</sub>	52.23	-42.41	13.6	44.55	162
B <sub>CIE</sub>	30.57	1.41	-46.46	46.49	272

Daten für Maximalfarbe (Ma):

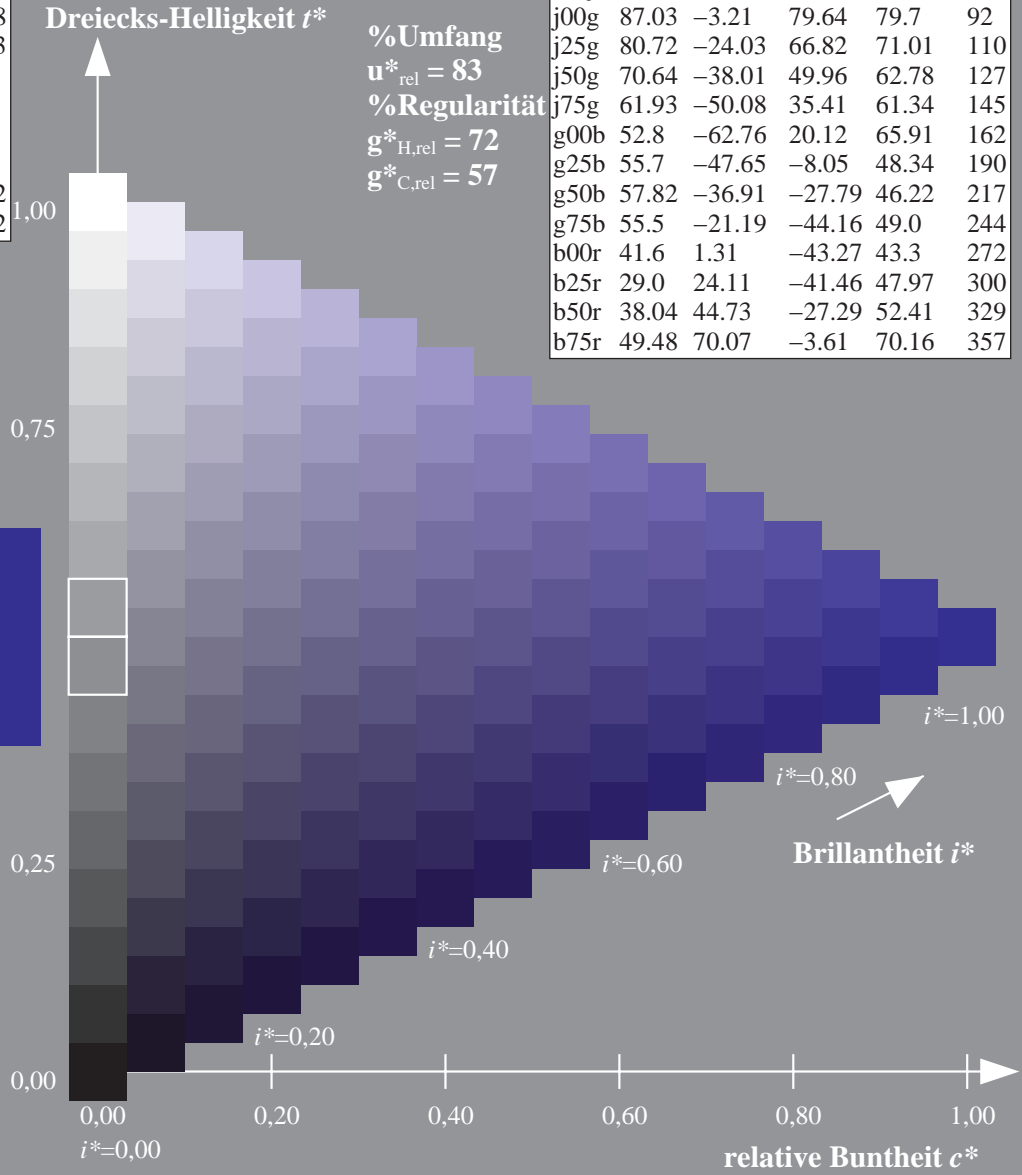
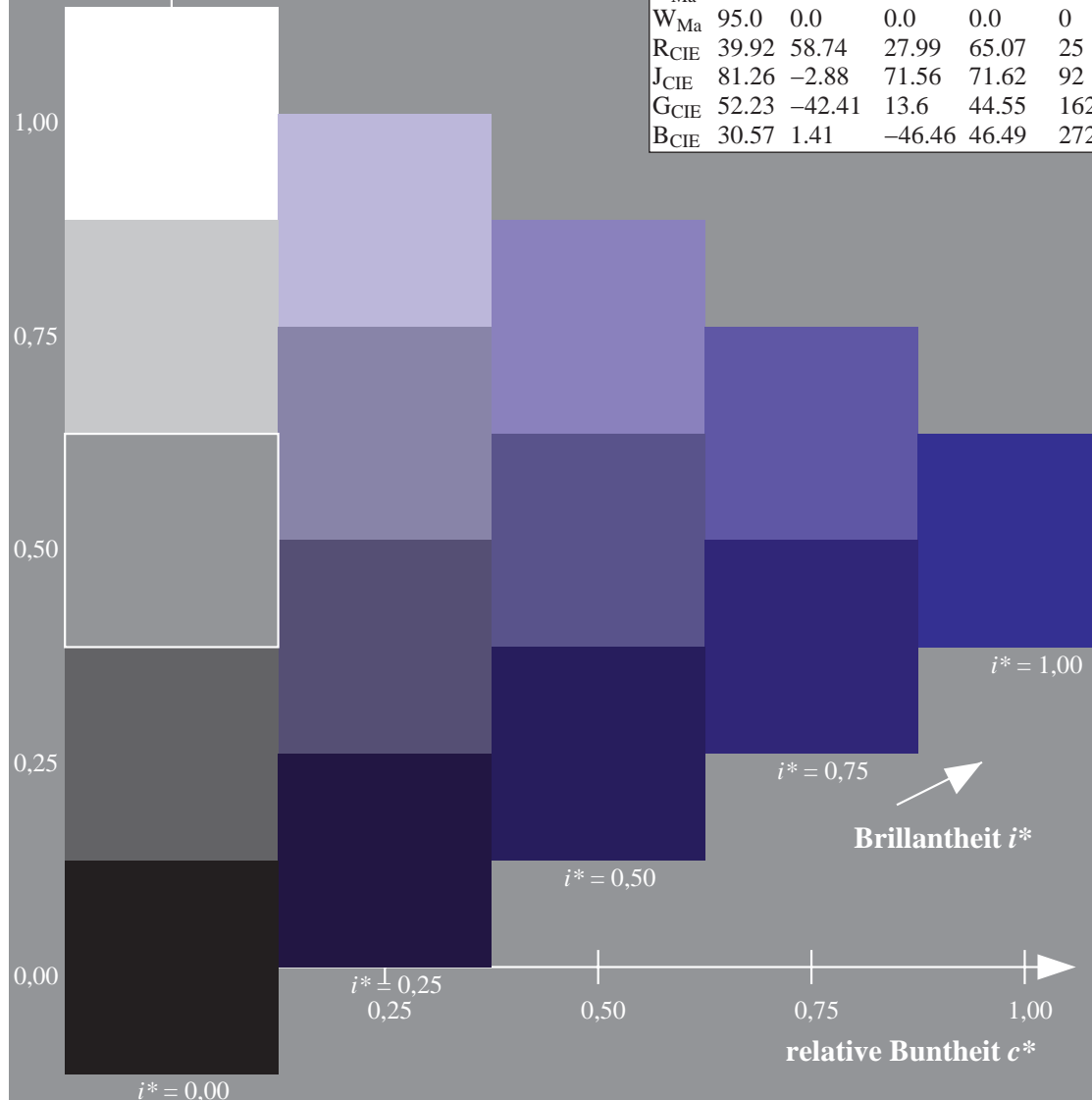
$LAB^*LAB^*_{Ma}$ : 29 24 -40

$LAB^*LCH^*_{Ma}$ : 29 48 300

$lab^*rgb^*_{Ma}$ : 0.5 0.0 1.0

$lab^*olv^*_{Ma}$ : 0.03 0.0 1.0

ORS20_95a; adaptierte CIELAB-Daten					
	$L^*=L^*_a$	$a^*_a$	$b^*_a$	$C^*_{ab,a}$	$h^*_{ab,a}$
r00j	48.88	63.91	30.45	70.79	25
r25j	55.85	50.36	45.65	67.97	42
r50j	65.45	33.86	56.12	65.54	59
r75j	75.19	17.13	66.73	68.89	76
j00g	87.03	-3.21	79.64	79.7	92
j25g	80.72	-24.03	66.82	71.01	110
j50g	70.64	-38.01	49.96	62.78	127
j75g	61.93	-50.08	35.41	61.34	145
g00b	52.8	-62.76	20.12	65.91	162
g25b	55.7	-47.65	-8.05	48.34	190
g50b	57.82	-36.91	-27.79	46.22	217
g75b	55.5	-21.19	-44.16	49.0	244
b00r	41.6	1.31	-43.27	43.3	272
b25r	29.0	24.11	-41.46	47.97	300
b50r	38.04	44.73	-27.29	52.41	329
b75r	49.48	70.07	-3.61	70.16	357



%Umfang  
 $u^*_{rel} = 83$   
 %Regularität  
 $g^*_{H,rel} = 72$   
 $g^*_{C,rel} = 57$

Ein und Ausgabe: Farbmetrisches Drucker-Reflektiv-System ORS20\_95a für relativen CIELAB-Bunton  $h^* = lab^*h^* = h_{ab}/360 = 329/360 = 0.913$

Daten für jede Farbe:

$lab^*tch^*$  und  $lab^*icu^*$

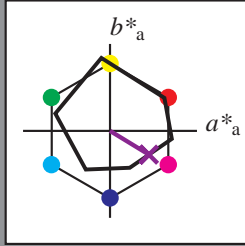
Elementar-Buntontext:

$u^* = b50r$

Kontrastreduzierungsfaktor:

$c_R = 0.96$

Dreiecks-Helligkeit  $t^*$



ORS20\_95a; adaptierte CIELAB-Daten

	$L^*=L^*_a$	$a^*_a$	$b^*_a$	$C^*_{ab,a}$	$h^*_{ab,a}$
$O_{Ma}$	48.75	62.56	37.91	73.15	31
$Y_{Ma}$	90.92	-9.88	83.88	84.46	97
$L_{Ma}$	52.69	-62.9	19.95	66.0	162
$C_{Ma}$	59.61	-27.85	-44.43	52.45	238
$V_{Ma}$	28.39	22.72	-42.42	48.13	298
$M_{Ma}$	49.58	71.08	-9.19	71.67	353
$N_{Ma}$	20.0	0.0	0.0	0.0	0
$W_{Ma}$	95.0	0.0	0.0	0.0	0
$R_{CIE}$	39.92	58.74	27.99	65.07	25
$J_{CIE}$	81.26	-2.88	71.56	71.62	92
$G_{CIE}$	52.23	-42.41	13.6	44.55	162
$B_{CIE}$	30.57	1.41	-46.46	46.49	272

Daten für Maximalfarbe (Ma):

$LAB^*LAB^*_{Ma}$ : 38 45 -26

$LAB^*LCH^*_{Ma}$ : 38 52 329

$lab^*rgb^*_{Ma}$ : 1.0 0.0 1.0

$lab^*olv^*_{Ma}$ : 0.46 0.0 1.0

Dreiecks-Helligkeit  $t^*$

%Umfang

$u^*_{rel} = 83$

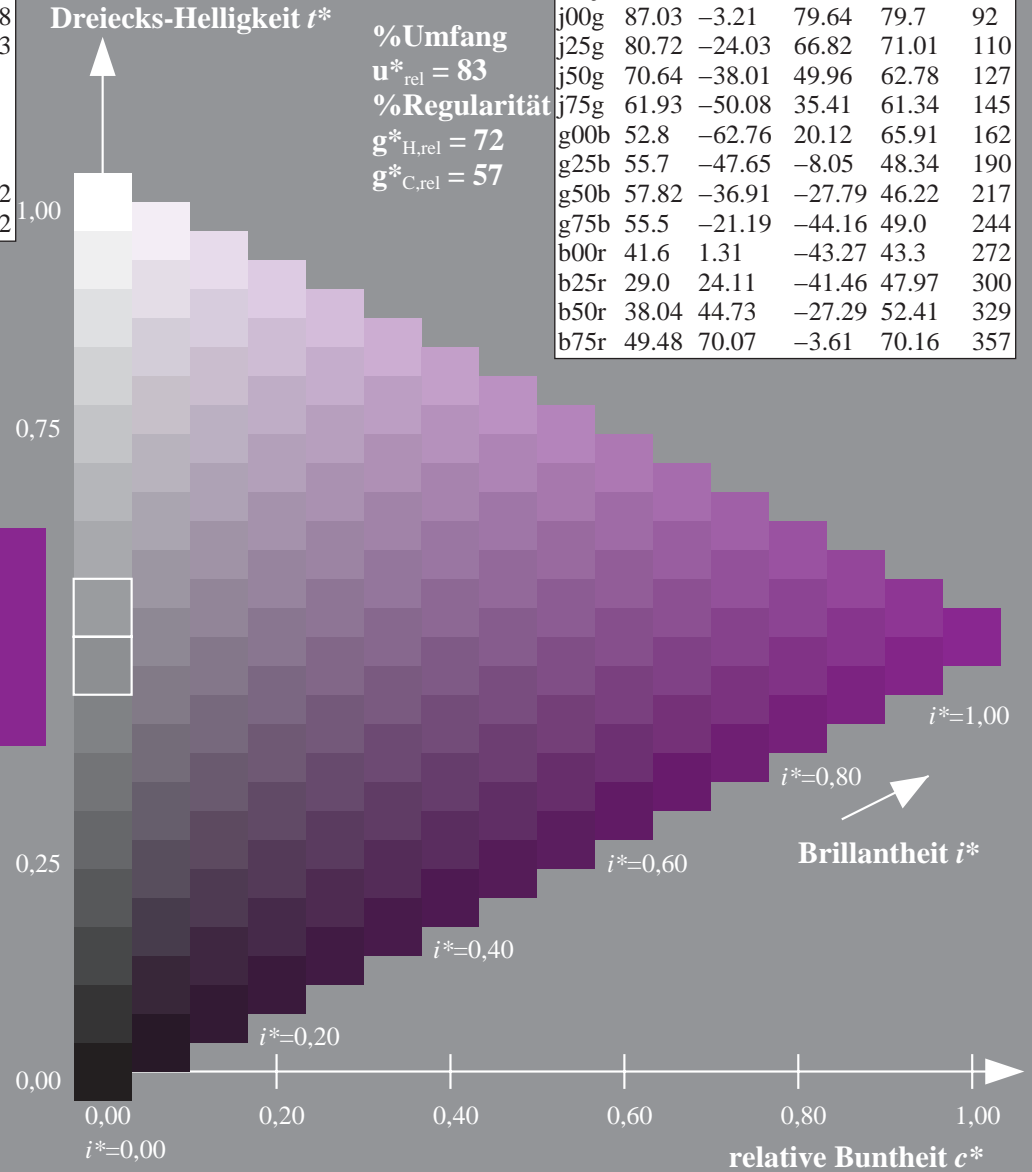
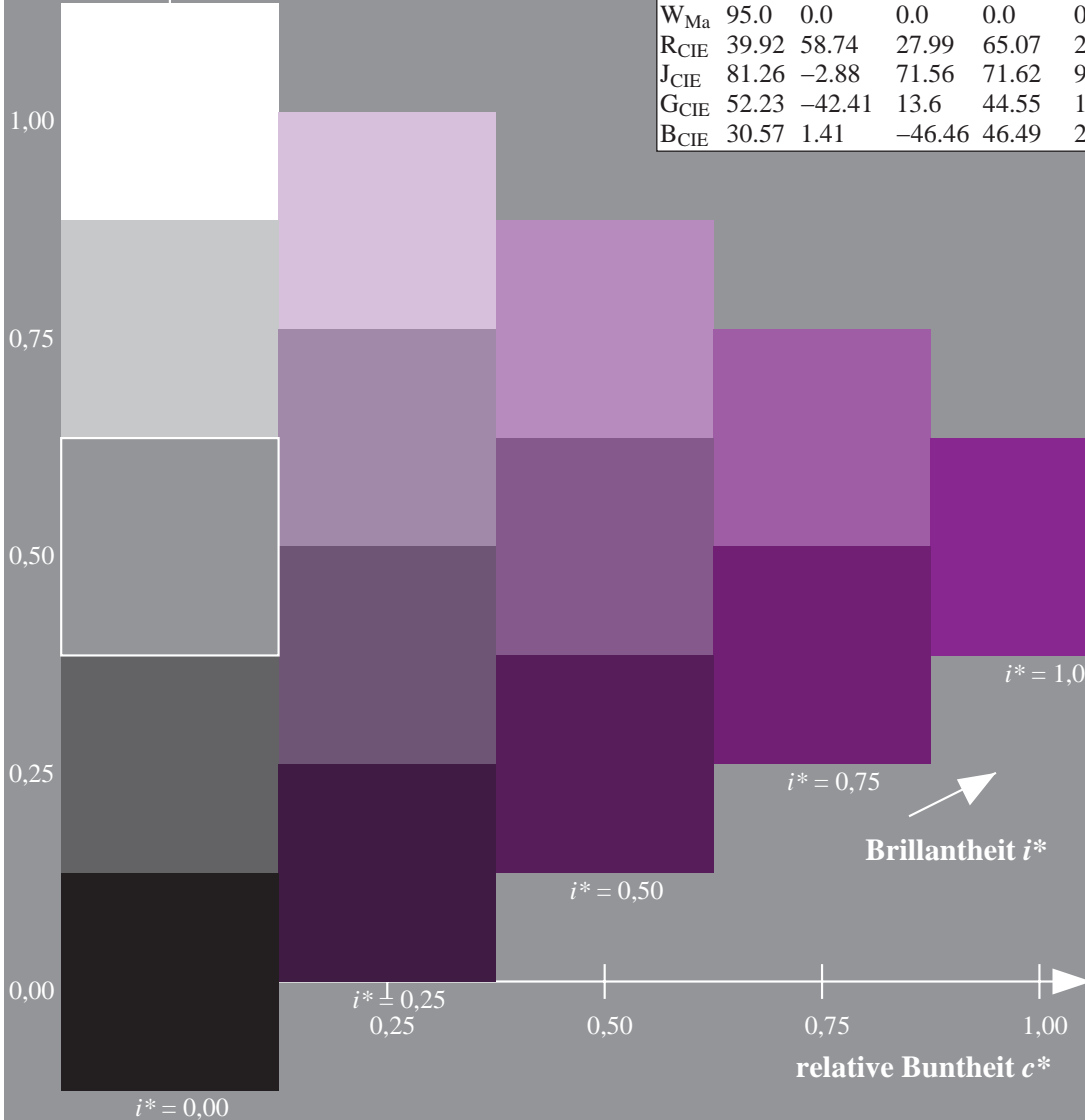
%Regularität

$g^*_{H,rel} = 72$

$g^*_{C,rel} = 57$

ORS20\_95a; adaptierte CIELAB-Daten

	$L^*=L^*_a$	$a^*_a$	$b^*_a$	$C^*_{ab,a}$	$h^*_{ab,a}$
r00j	48.88	63.91	30.45	70.79	25
r25j	55.85	50.36	45.65	67.97	42
r50j	65.45	33.86	56.12	65.54	59
r75j	75.19	17.13	66.73	68.89	76
j00g	87.03	-3.21	79.64	79.7	92
j25g	80.72	-24.03	66.82	71.01	110
j50g	70.64	-38.01	49.96	62.78	127
j75g	61.93	-50.08	35.41	61.34	145
g00b	52.8	-62.76	20.12	65.91	162
g25b	55.7	-47.65	-8.05	48.34	190
g50b	57.82	-36.91	-27.79	46.22	217
g75b	55.5	-21.19	-44.16	49.0	244
b00r	41.6	1.31	-43.27	43.3	272
b25r	29.0	24.11	-41.46	47.97	300
b50r	38.04	44.73	-27.29	52.41	329
b75r	49.48	70.07	-3.61	70.16	357



Ein und Ausgabe: Farbmetrisches Drucker-Reflektiv-System ORS20\_95a für relativen CIELAB-Bunton  $h^* = lab^*h^* = h_{ab}/360 = 357/360 = 0.992$

Daten für jede Farbe:

$lab^*tch^*$  und  $lab^*icu^*$

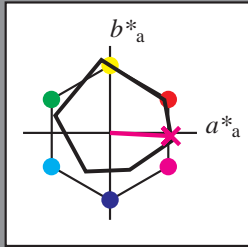
Elementar-Buntontext:

$u^* = b75r$

Kontrastreduzierungsfaktor:

$c_R = 0.96$

Dreiecks-Helligkeit  $t^*$



ORS20_95a; adaptierte CIELAB-Daten					
	$L^*=L^*_a$	$a^*_a$	$b^*_a$	$C^*_{ab,a}$	$h^*_{ab,a}$
O <sub>Ma</sub>	48.75	62.56	37.91	73.15	31
Y <sub>Ma</sub>	90.92	-9.88	83.88	84.46	97
L <sub>Ma</sub>	52.69	-62.9	19.95	66.0	162
C <sub>Ma</sub>	59.61	-27.85	-44.43	52.45	238
V <sub>Ma</sub>	28.39	22.72	-42.42	48.13	298
M <sub>Ma</sub>	49.58	71.08	-9.19	71.67	353
N <sub>Ma</sub>	20.0	0.0	0.0	0.0	0
W <sub>Ma</sub>	95.0	0.0	0.0	0.0	0
R <sub>CIE</sub>	39.92	58.74	27.99	65.07	25
J <sub>CIE</sub>	81.26	-2.88	71.56	71.62	92
G <sub>CIE</sub>	52.23	-42.41	13.6	44.55	162
B <sub>CIE</sub>	30.57	1.41	-46.46	46.49	272

Daten für Maximalfarbe (Ma):

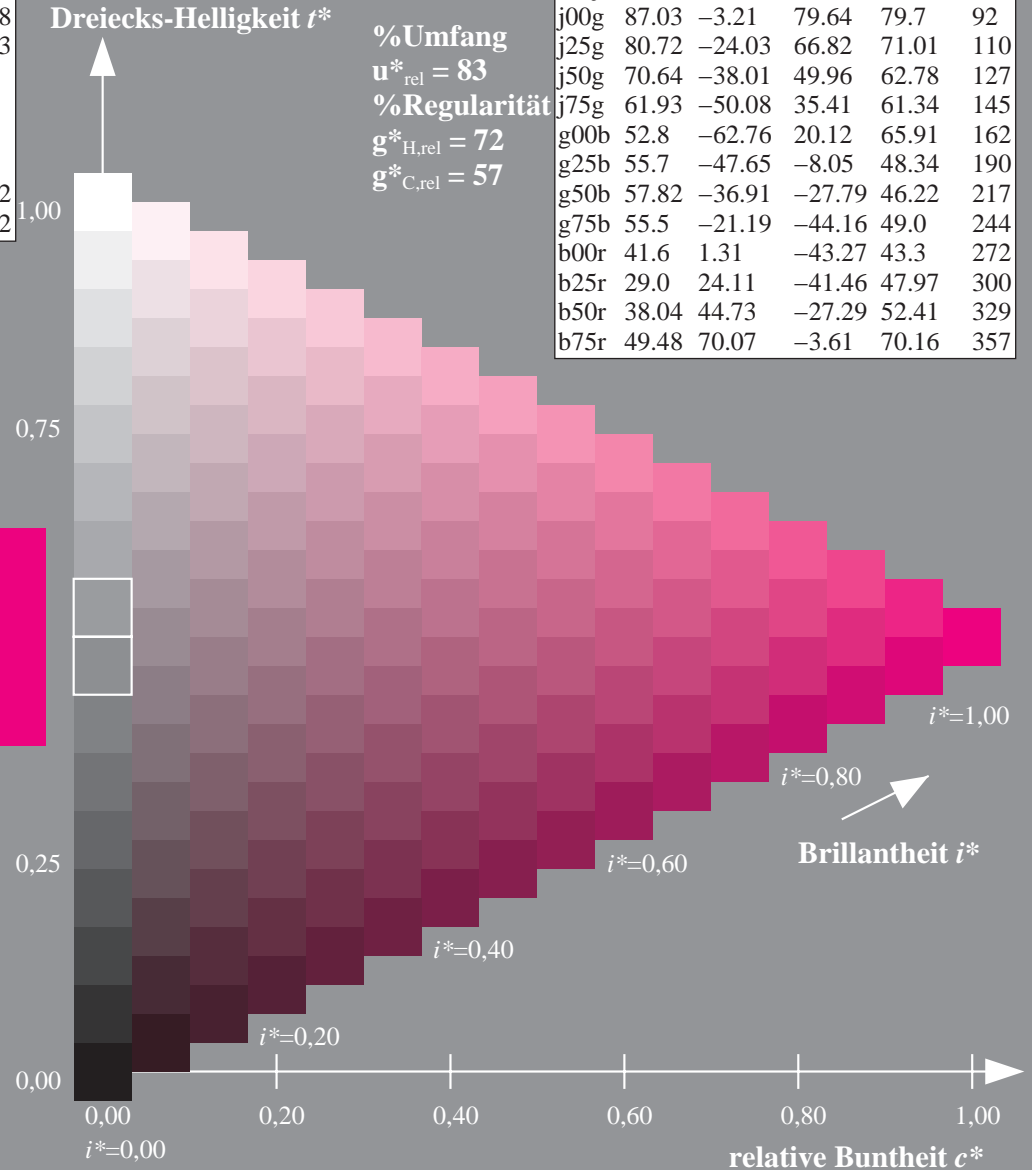
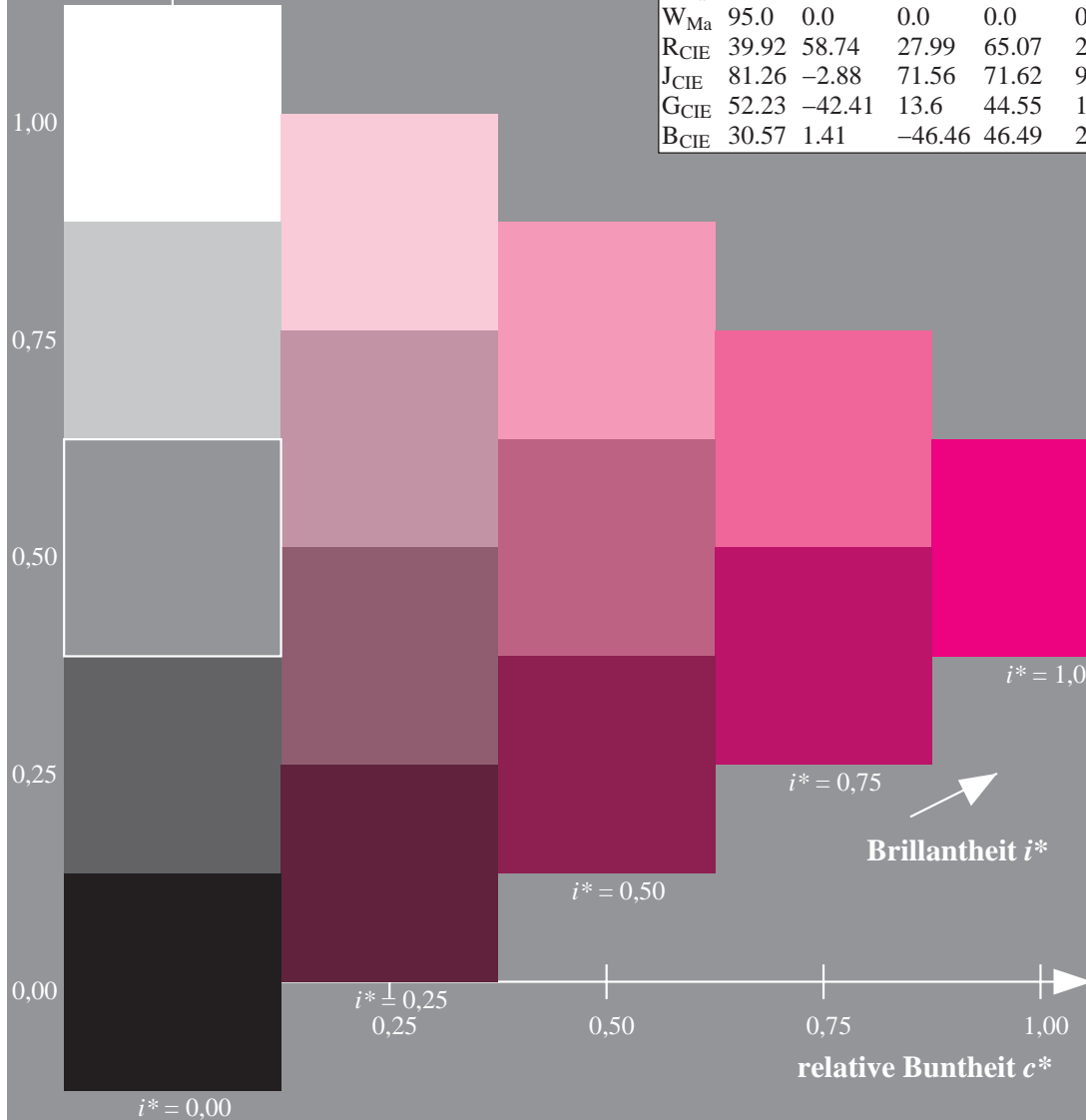
$LAB^*LAB^*_{Ma}$ : 49 70 -3

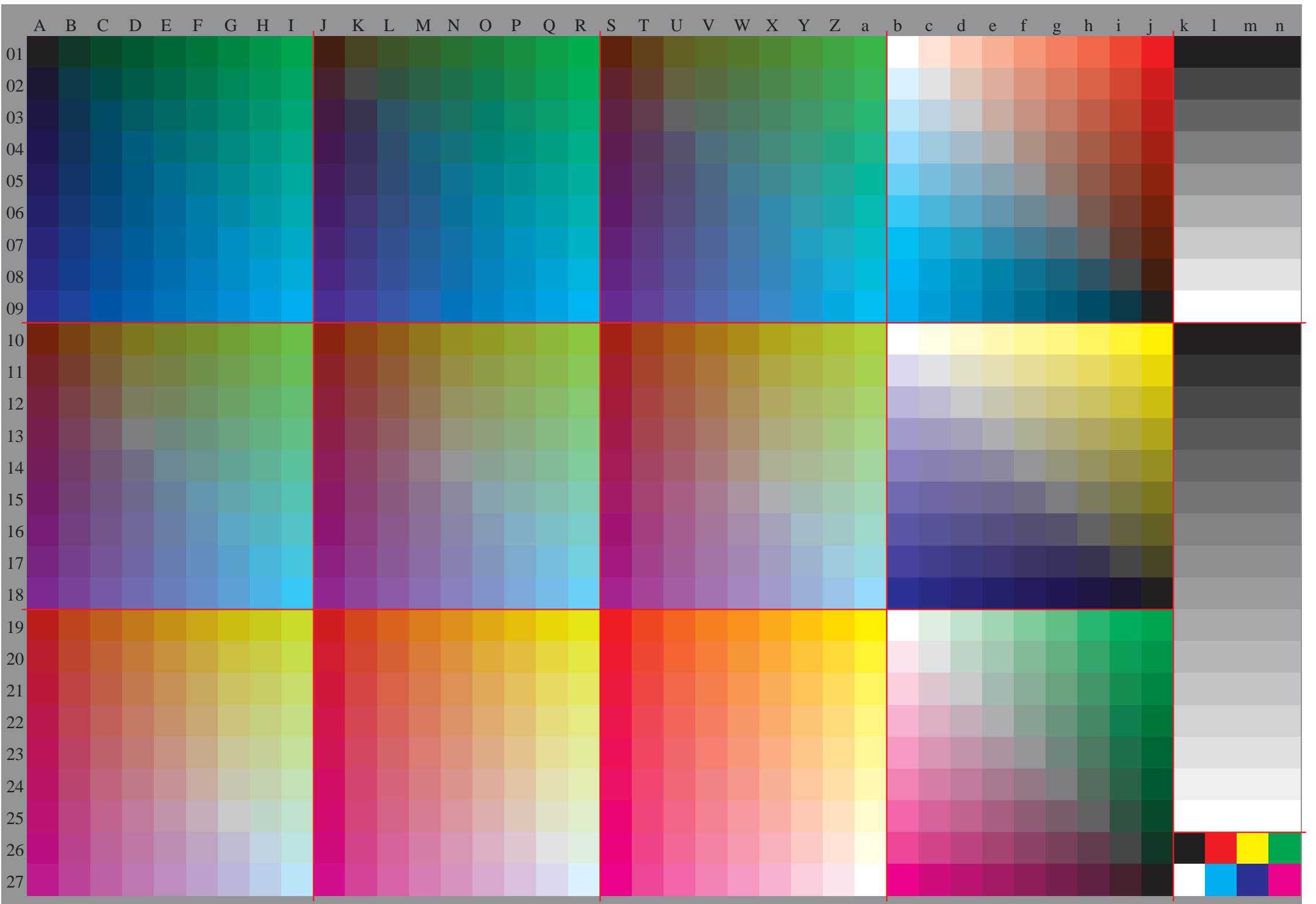
$LAB^*LCH^*_{Ma}$ : 49 70 357

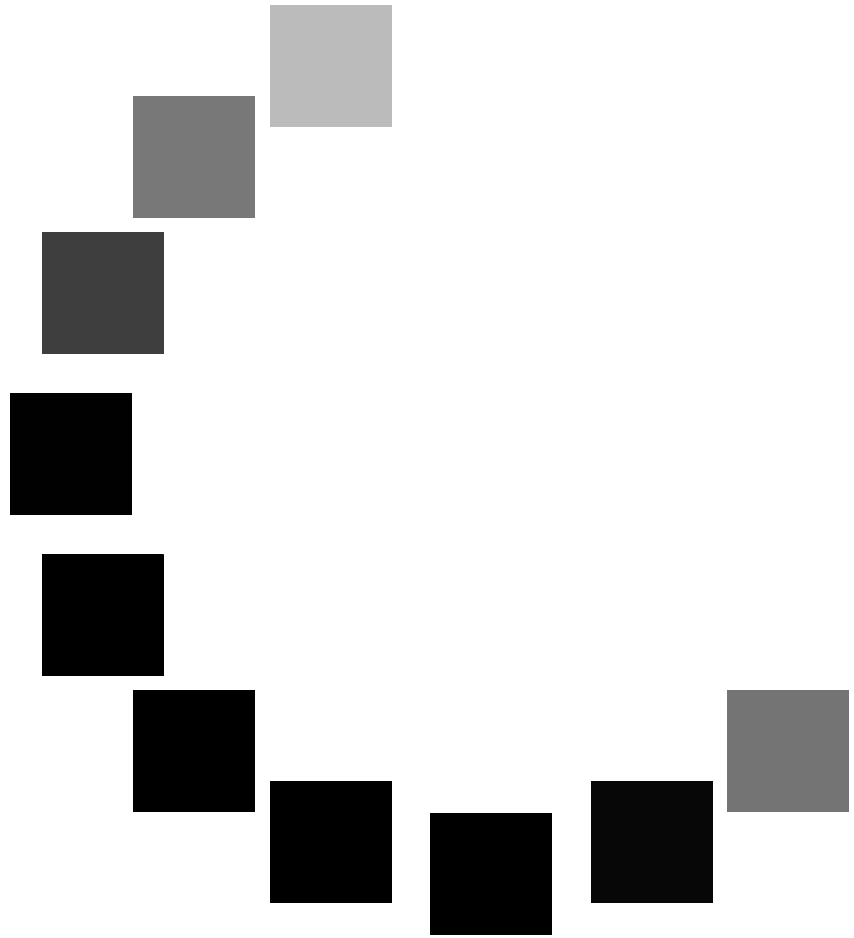
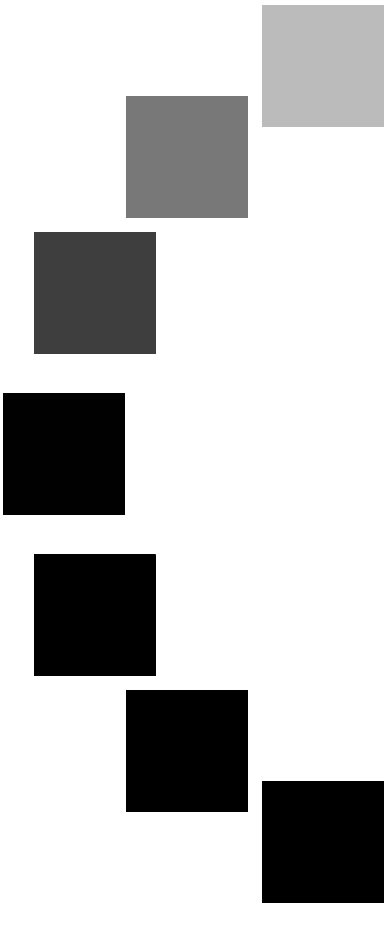
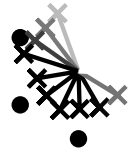
$lab^*rgb^*_{Ma}$ : 1.0 0.0 0.5

$lab^*olv^*_{Ma}$ : 1.0 0.0 0.88

ORS20_95a; adaptierte CIELAB-Daten					
	$L^*=L^*_a$	$a^*_a$	$b^*_a$	$C^*_{ab,a}$	$h^*_{ab,a}$
r00j	48.88	63.91	30.45	70.79	25
r25j	55.85	50.36	45.65	67.97	42
r50j	65.45	33.86	56.12	65.54	59
r75j	75.19	17.13	66.73	68.89	76
j00g	87.03	-3.21	79.64	79.7	92
j25g	80.72	-24.03	66.82	71.01	110
j50g	70.64	-38.01	49.96	62.78	127
j75g	61.93	-50.08	35.41	61.34	145
g00b	52.8	-62.76	20.12	65.91	162
g25b	55.7	-47.65	-8.05	48.34	190
g50b	57.82	-36.91	-27.79	46.22	217
g75b	55.5	-21.19	-44.16	49.0	244
b00r	41.6	1.31	-43.27	43.3	272
b25r	29.0	24.11	-41.46	47.97	300
b50r	38.04	44.73	-27.29	52.41	329
b75r	49.48	70.07	-3.61	70.16	357







•

•

•

•

•

•

•

•

•



•

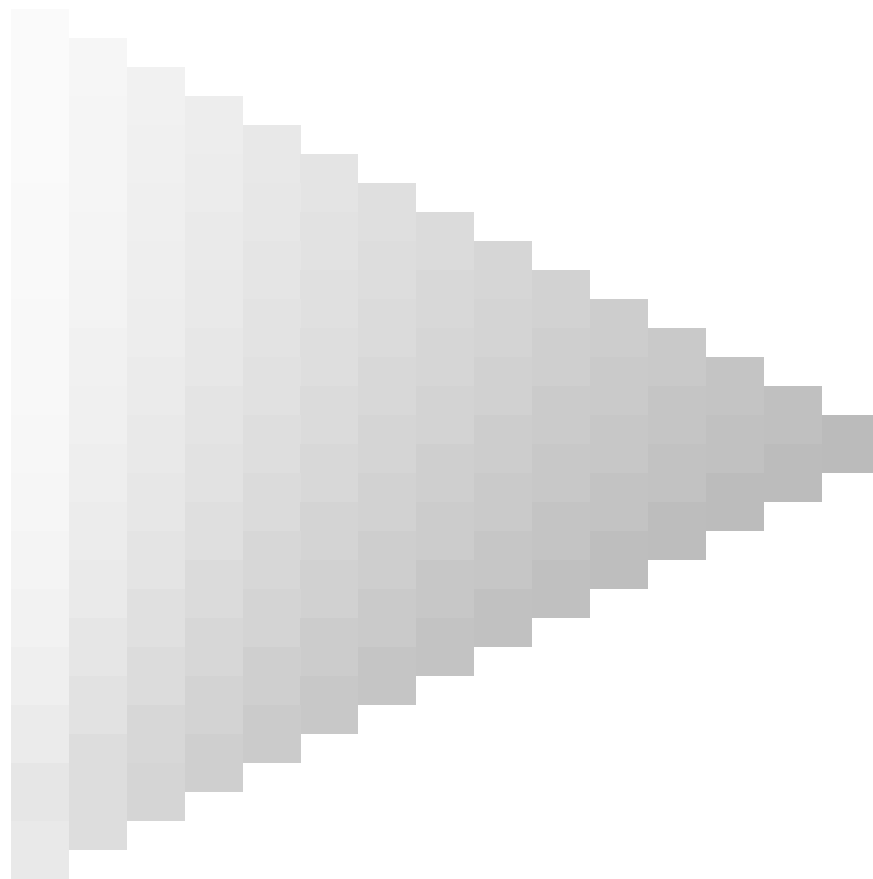
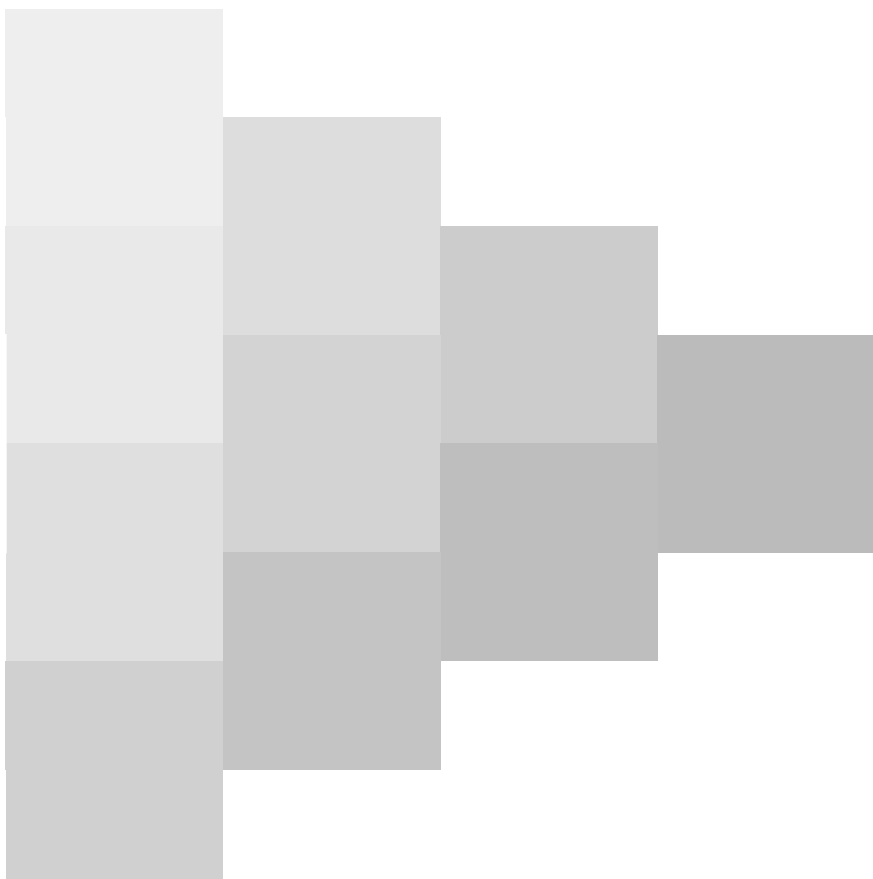
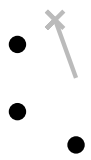
•

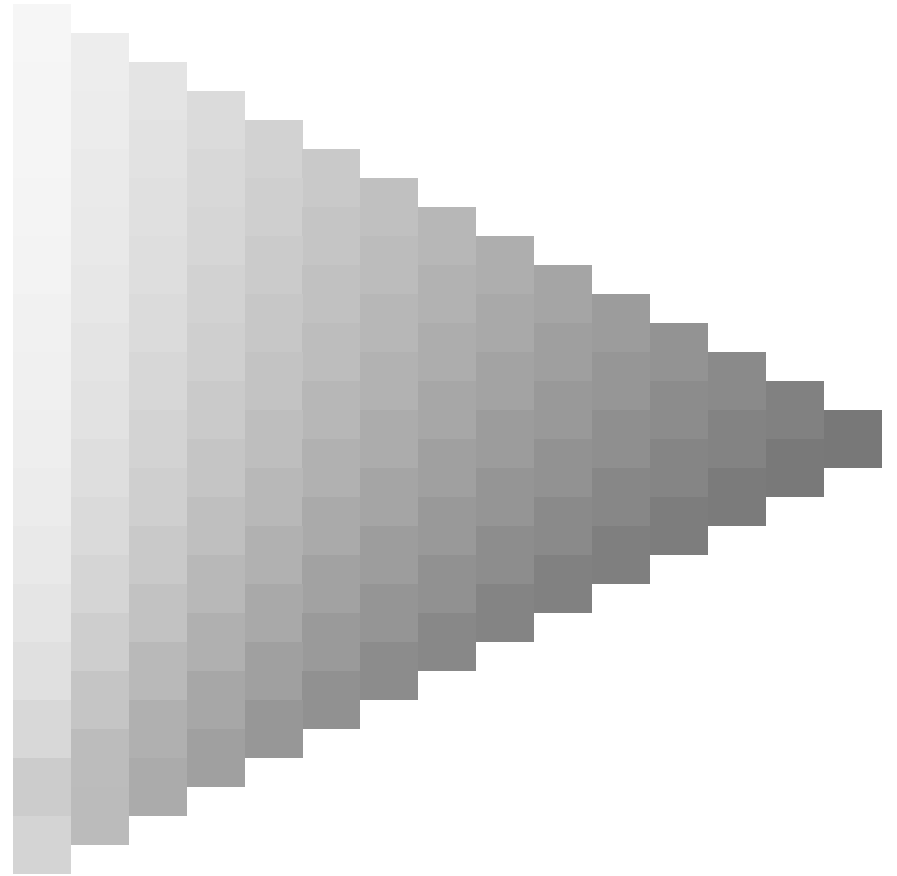
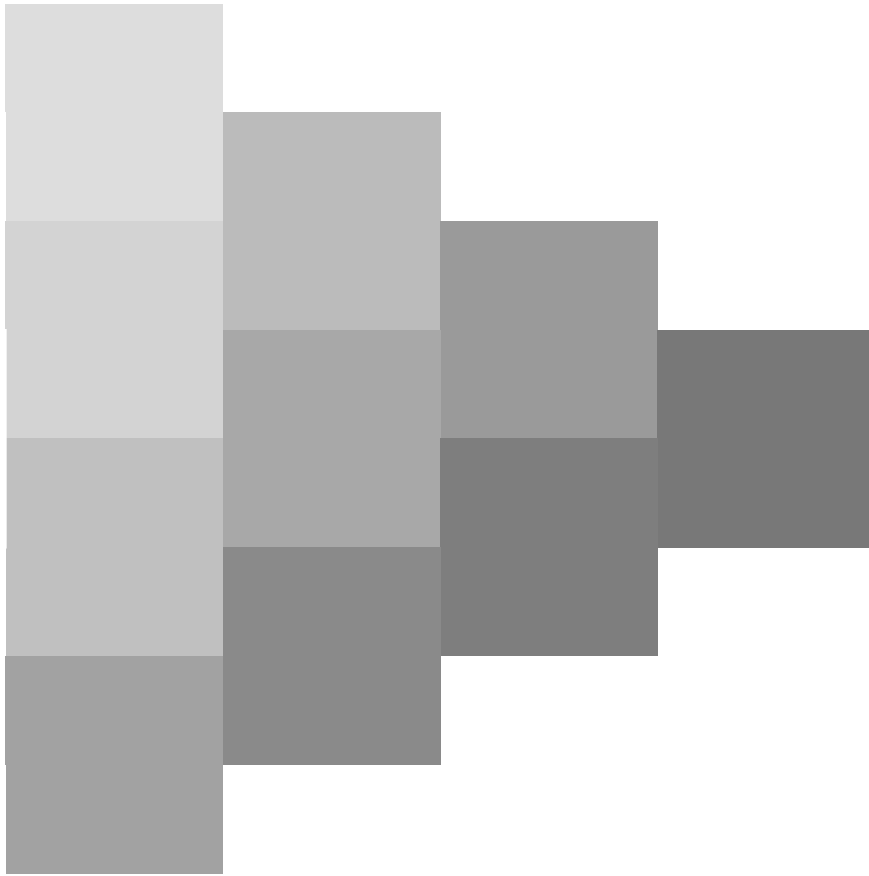
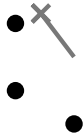
•

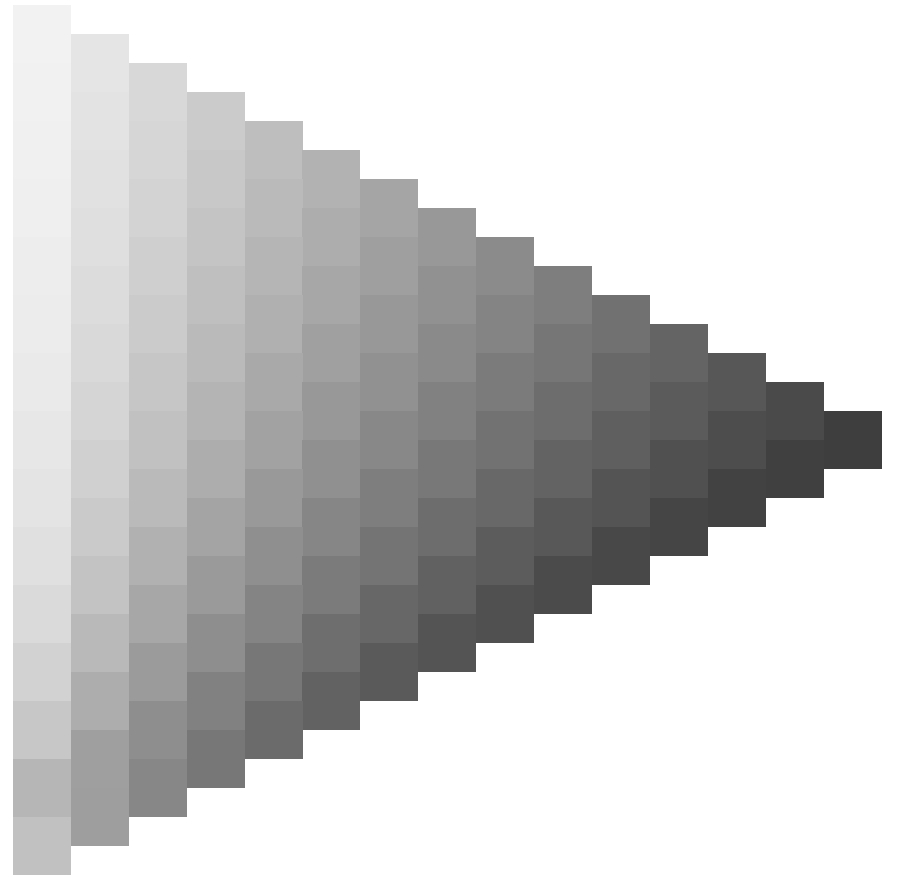
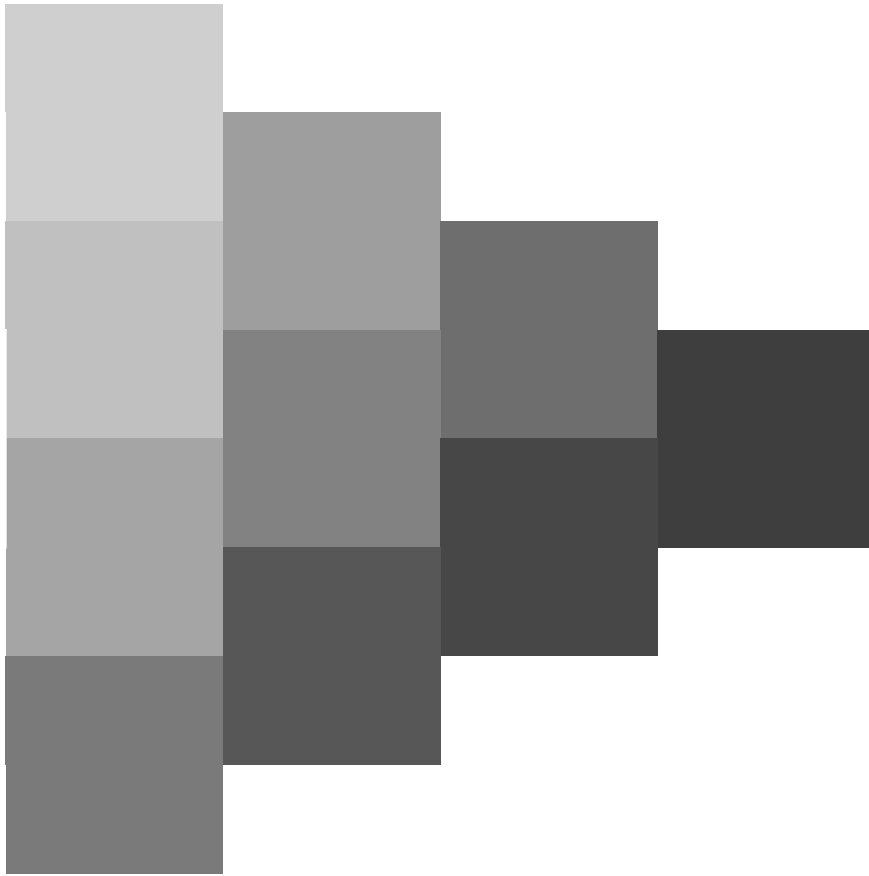
•

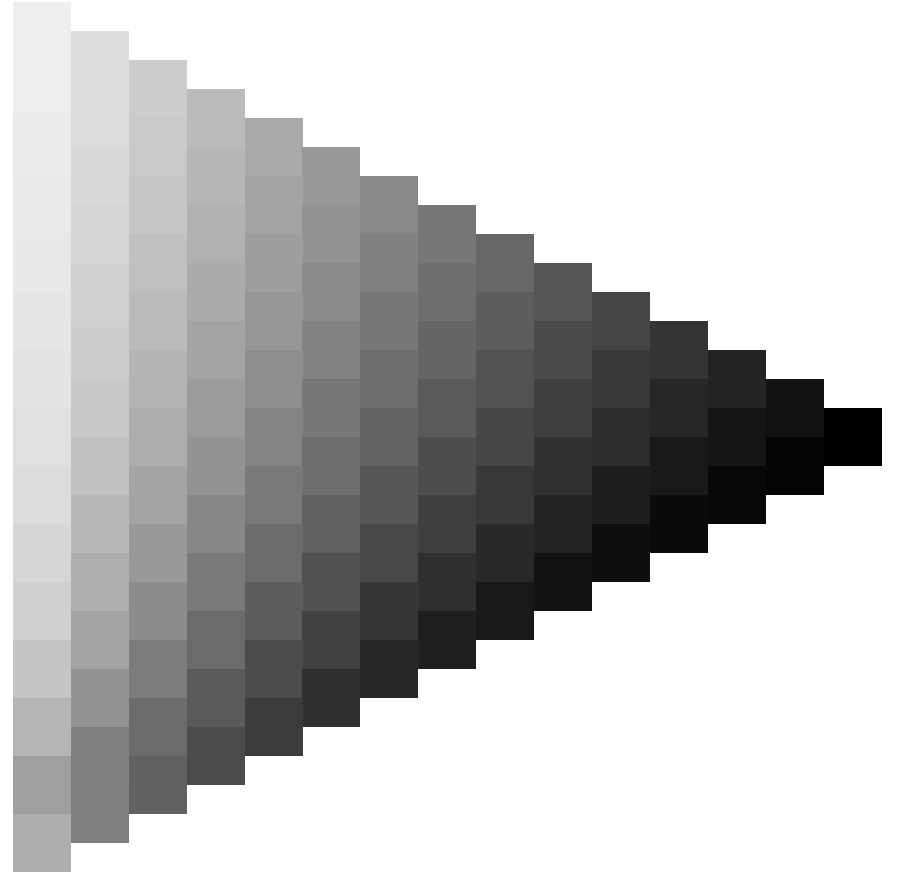
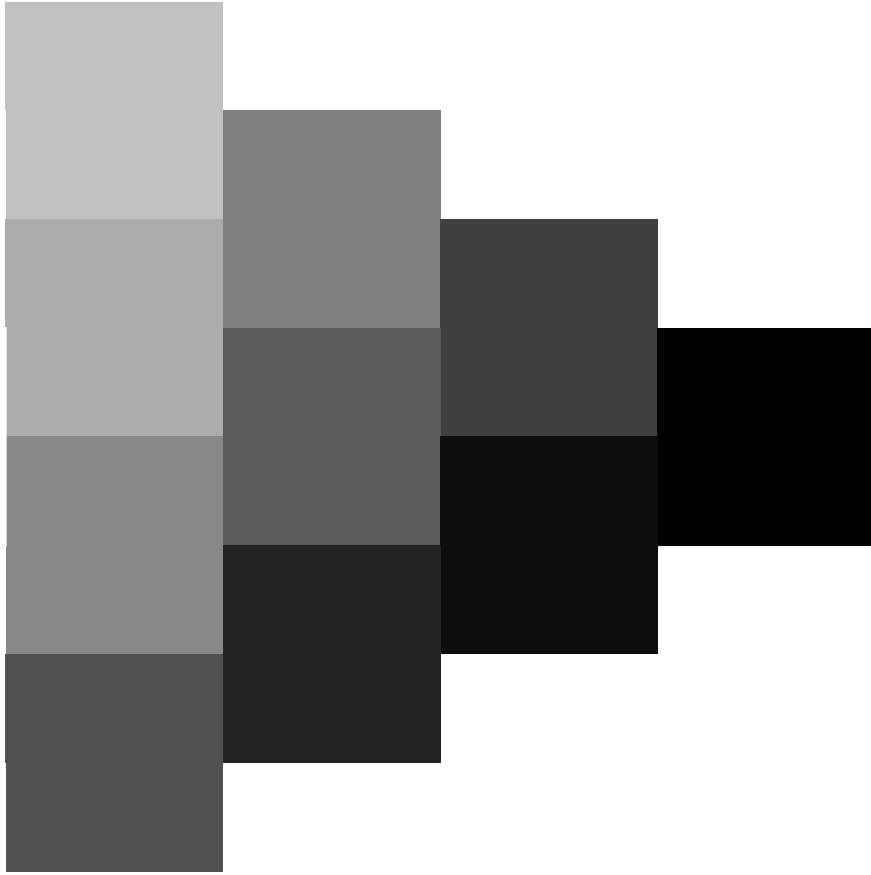
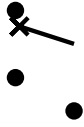
•

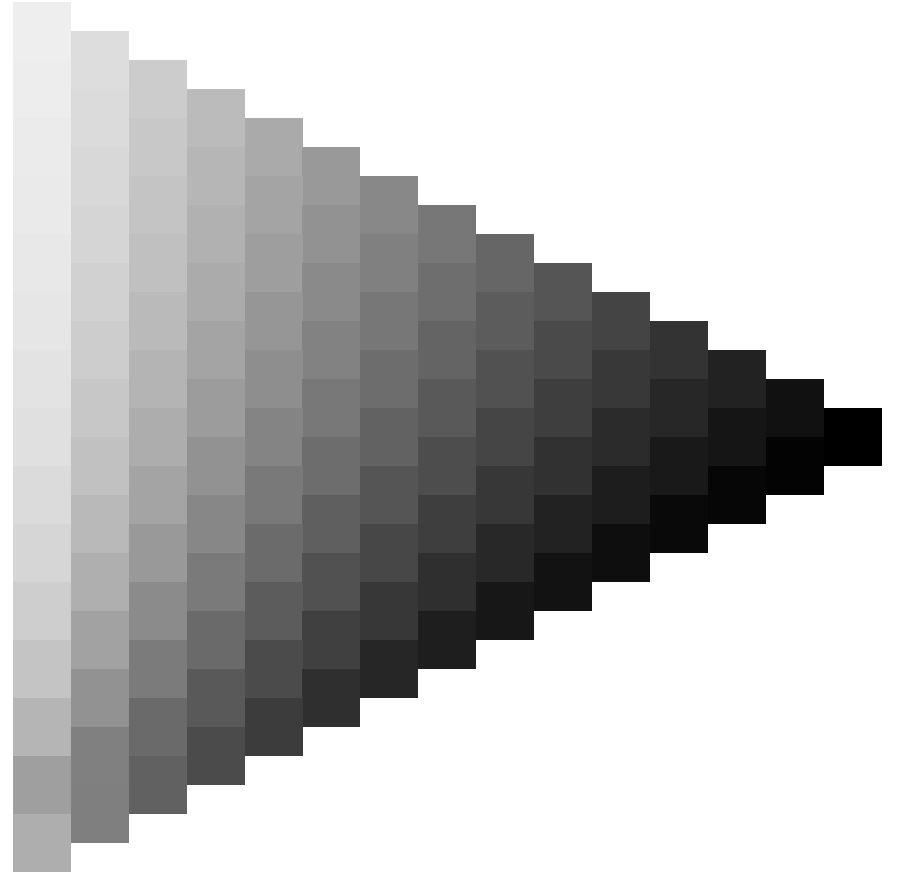
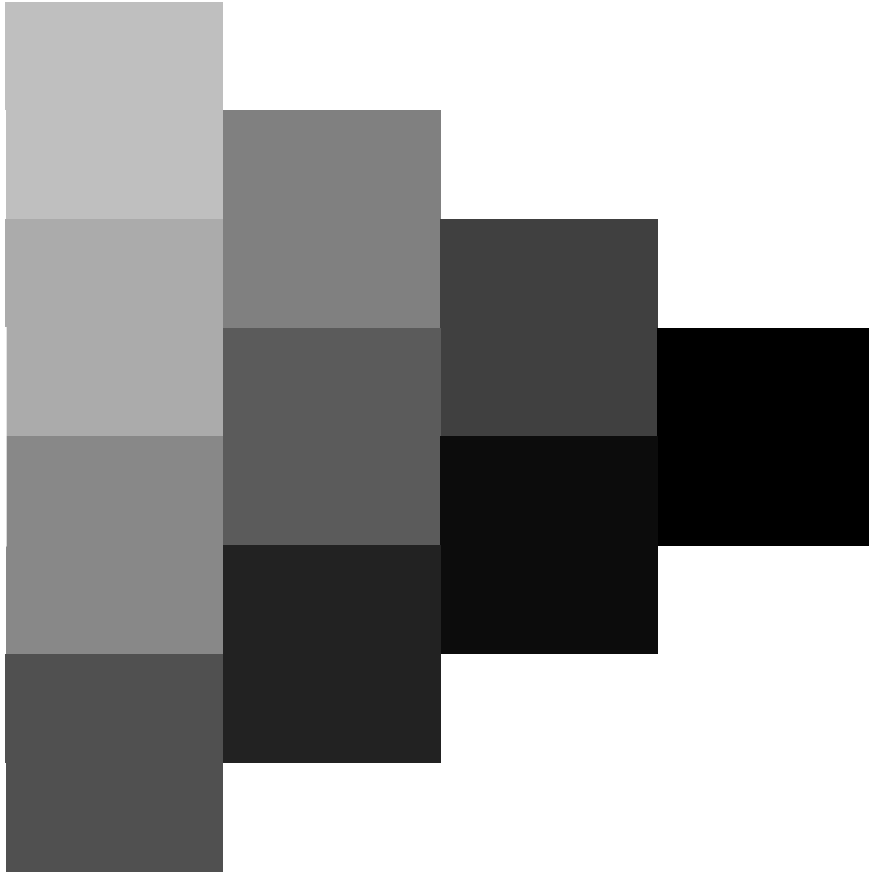
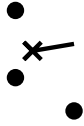
•

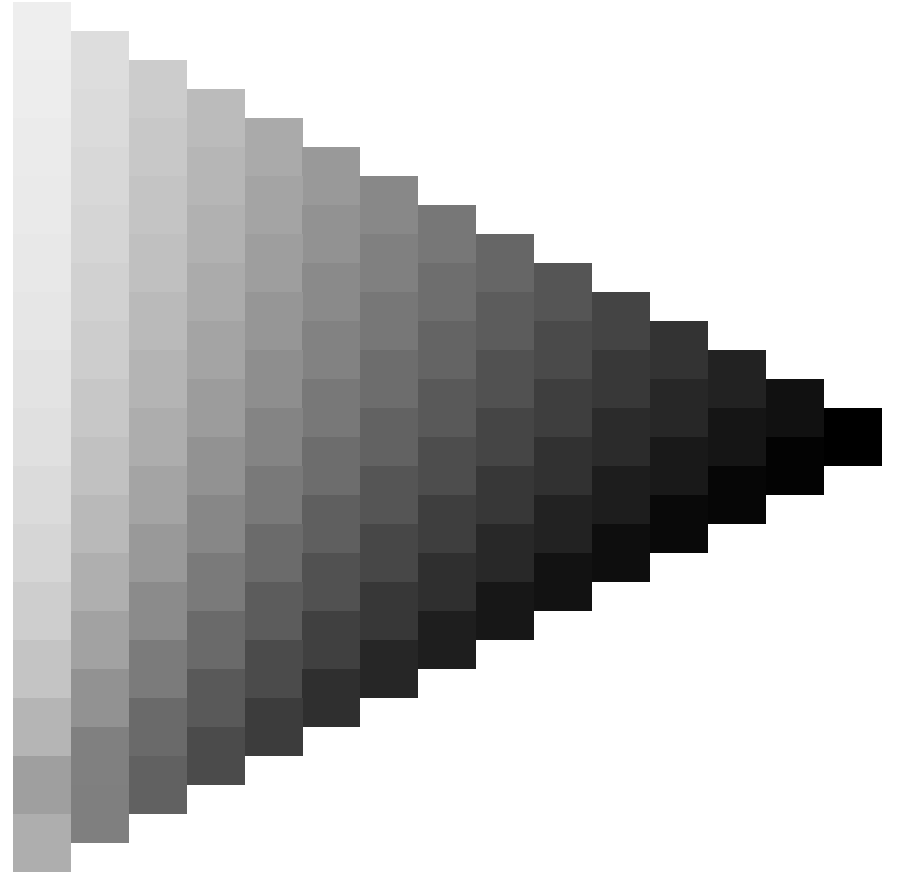
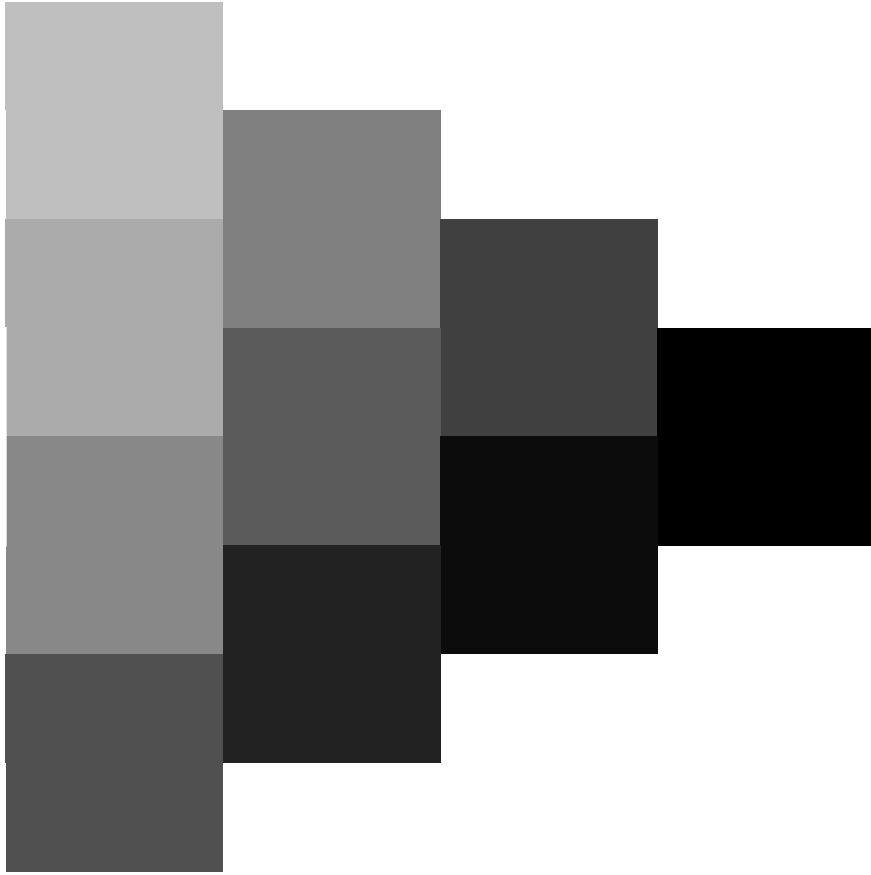




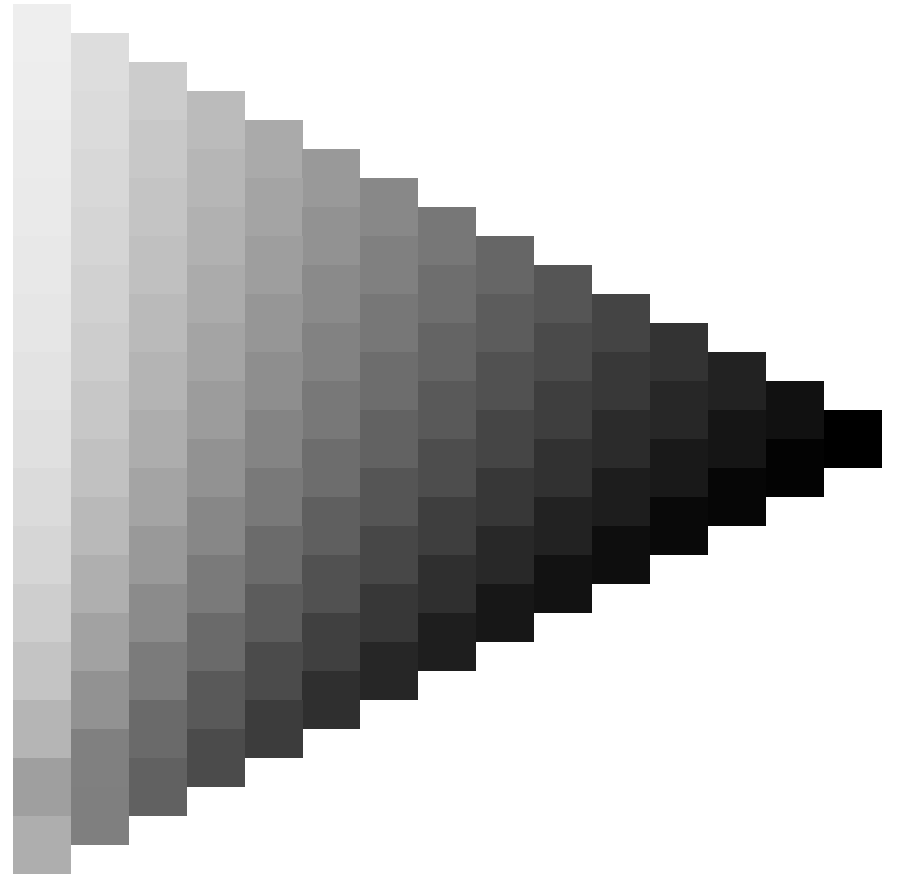
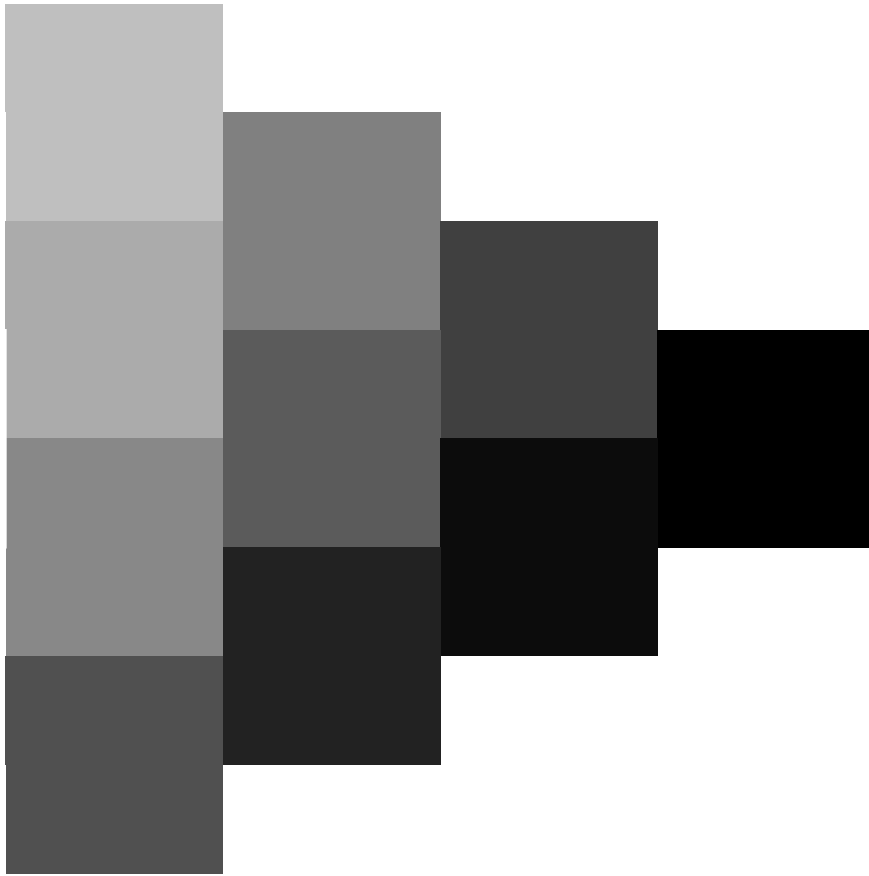
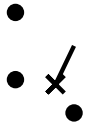




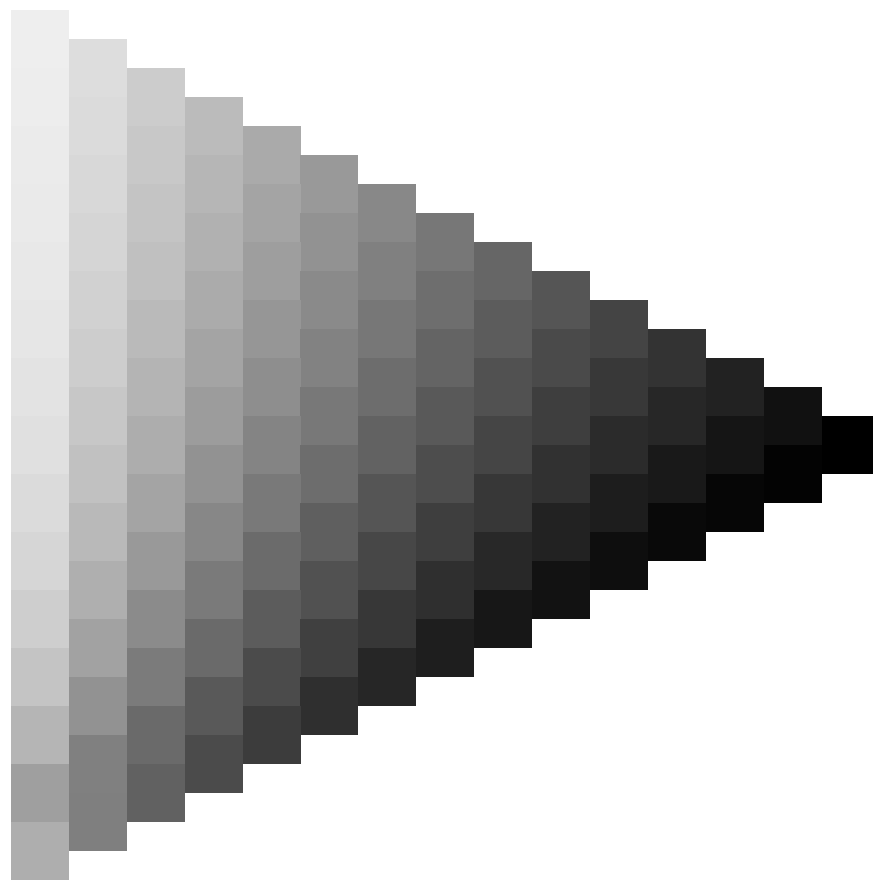
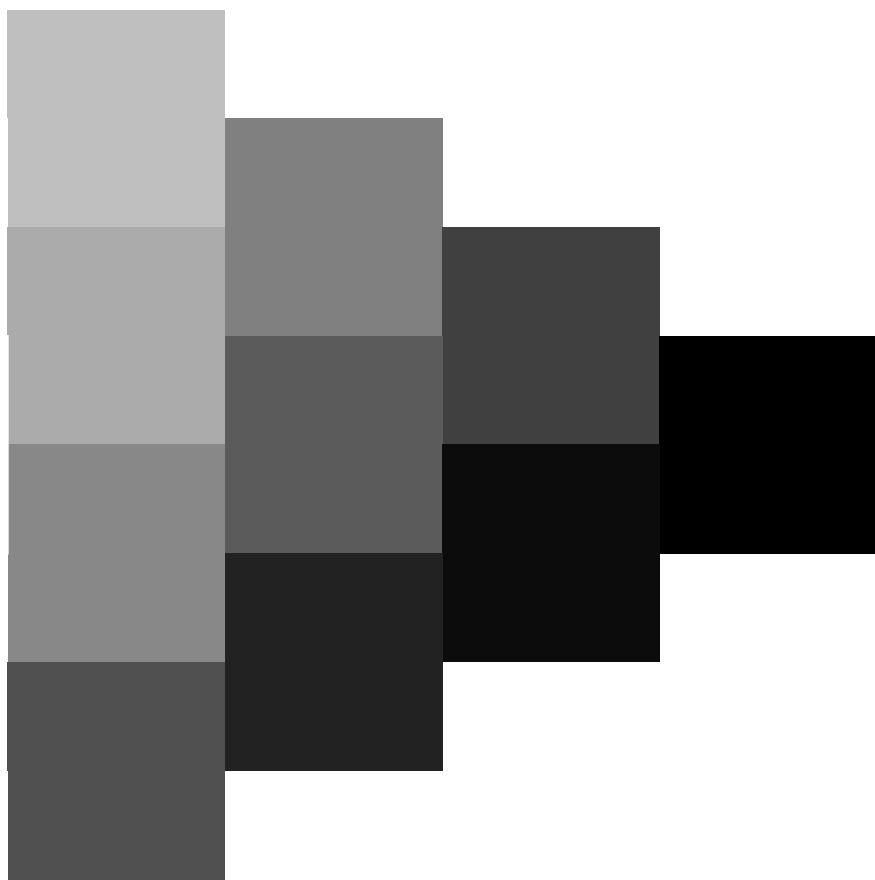


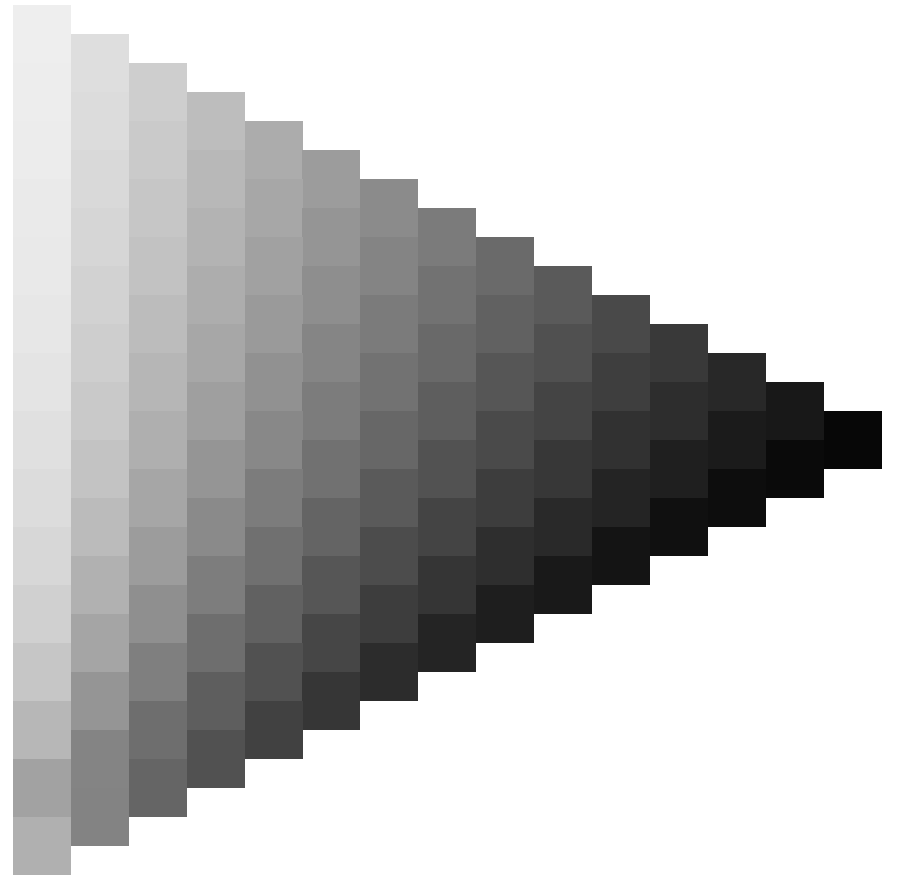
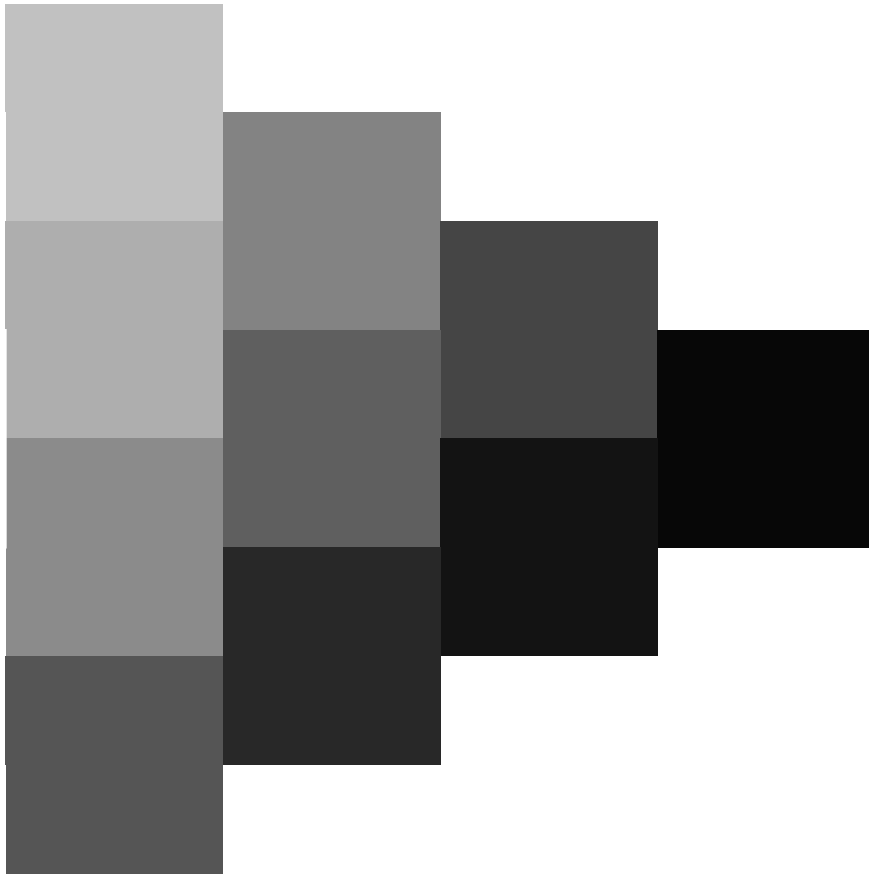
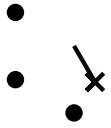


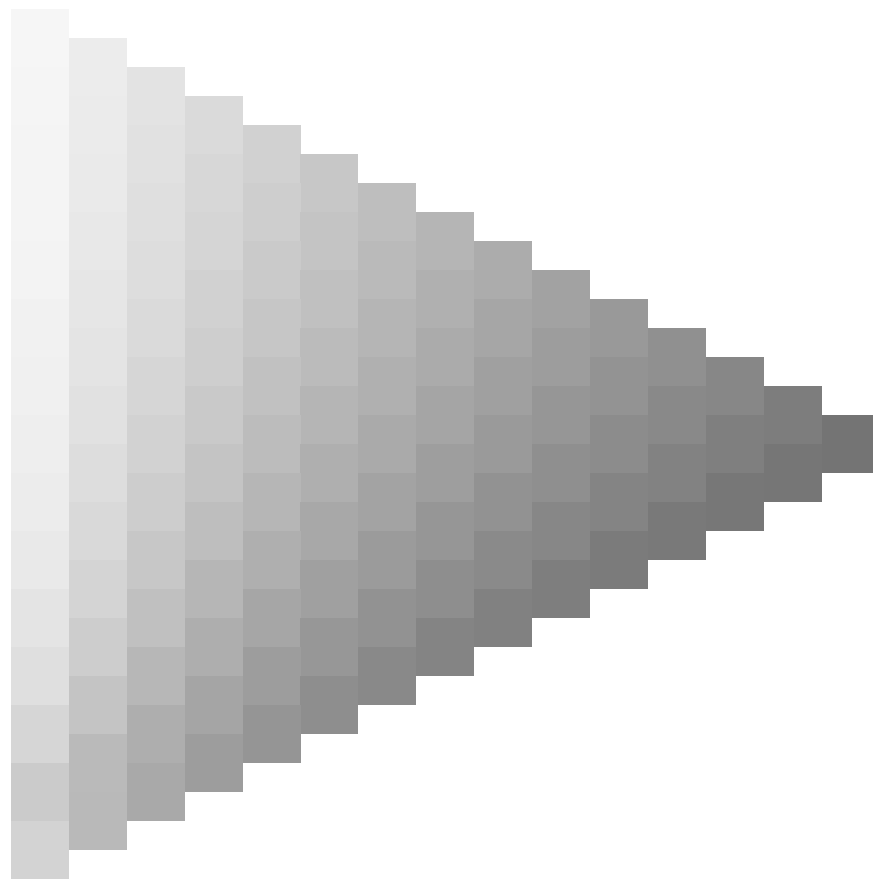
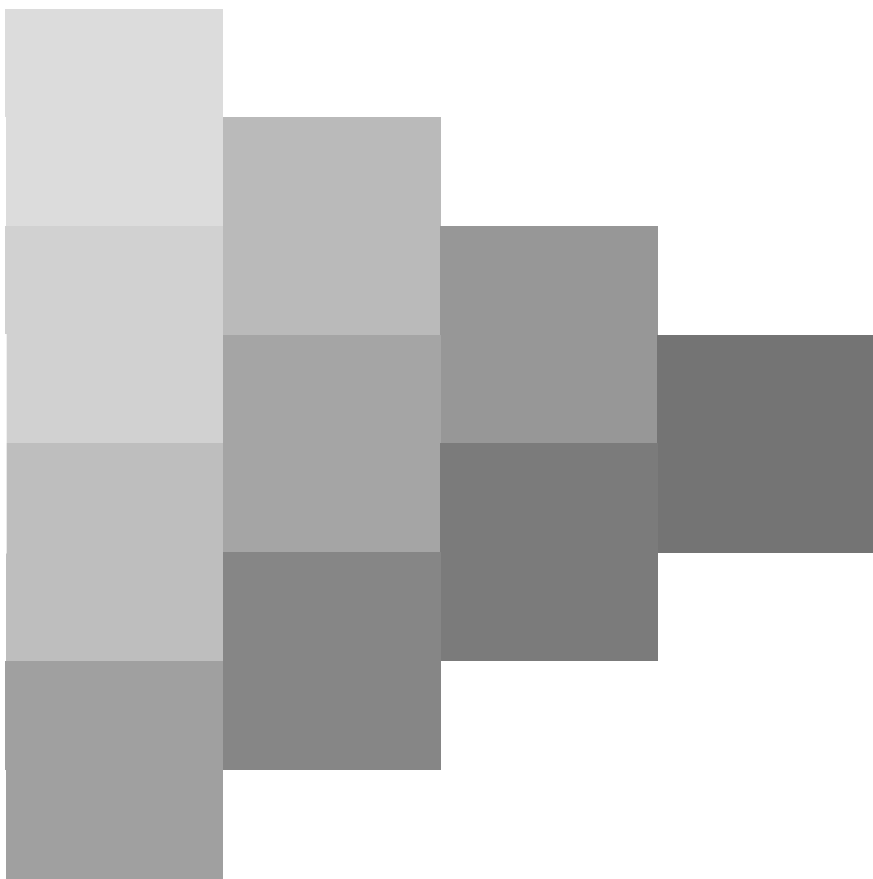
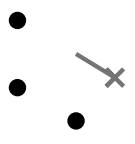




•  
• \*  
•



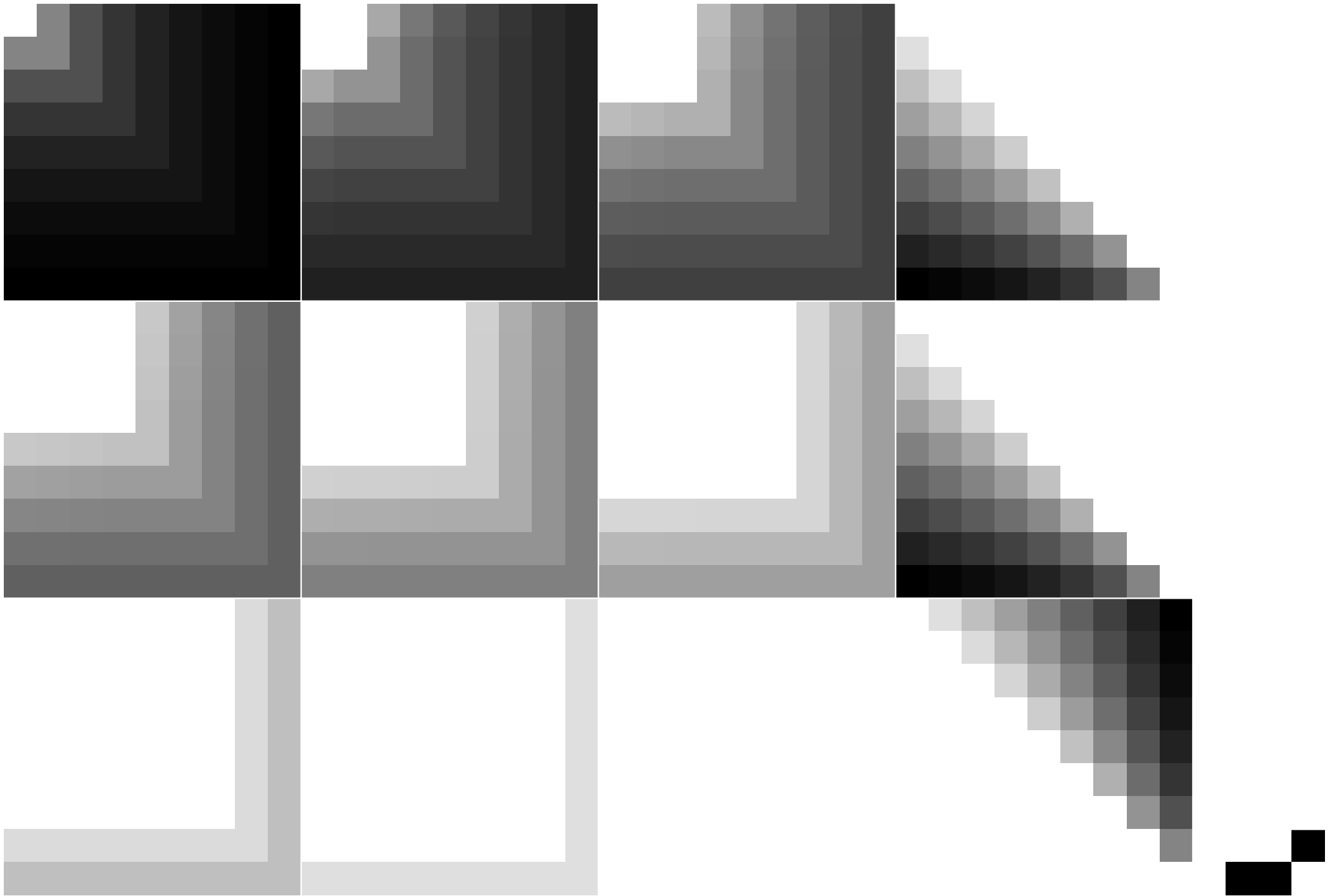


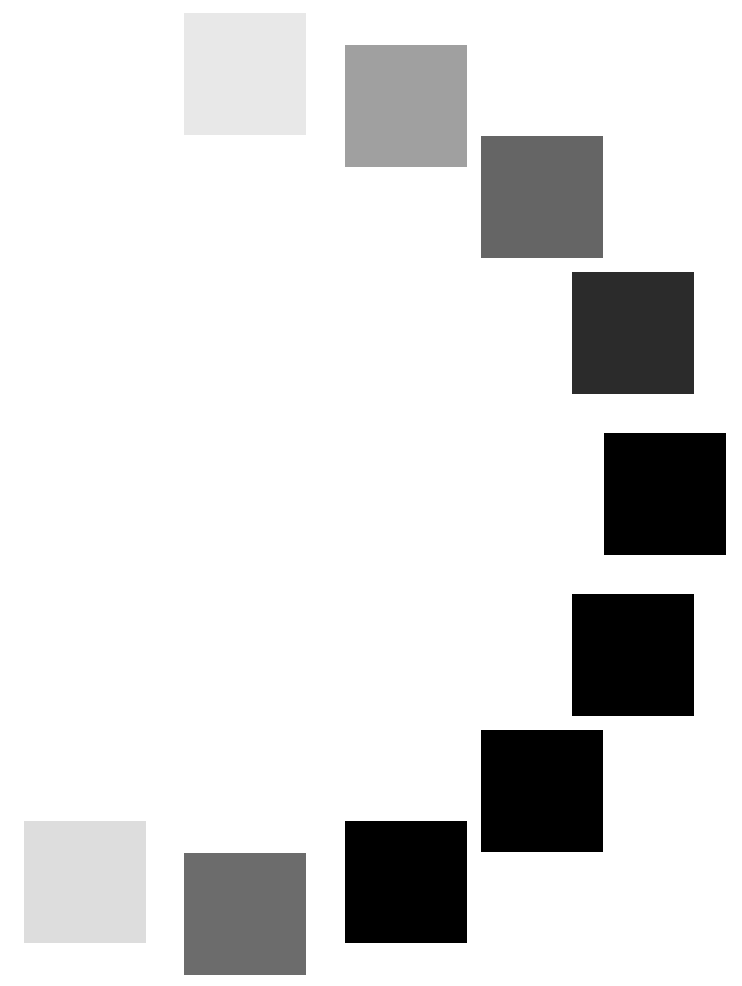
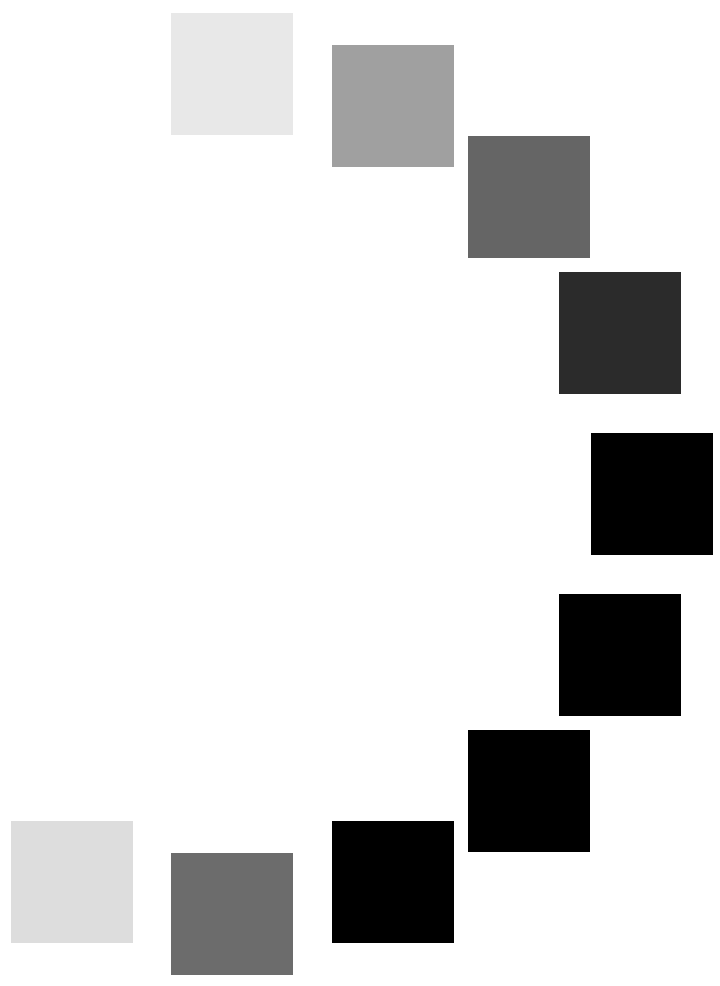
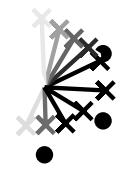


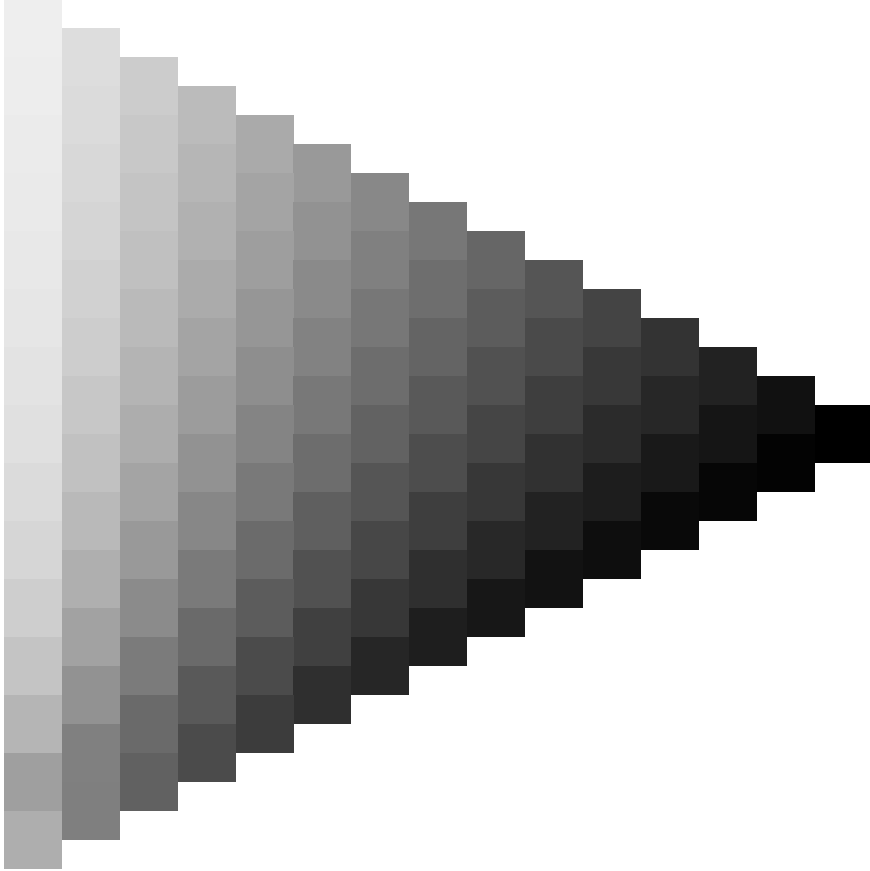
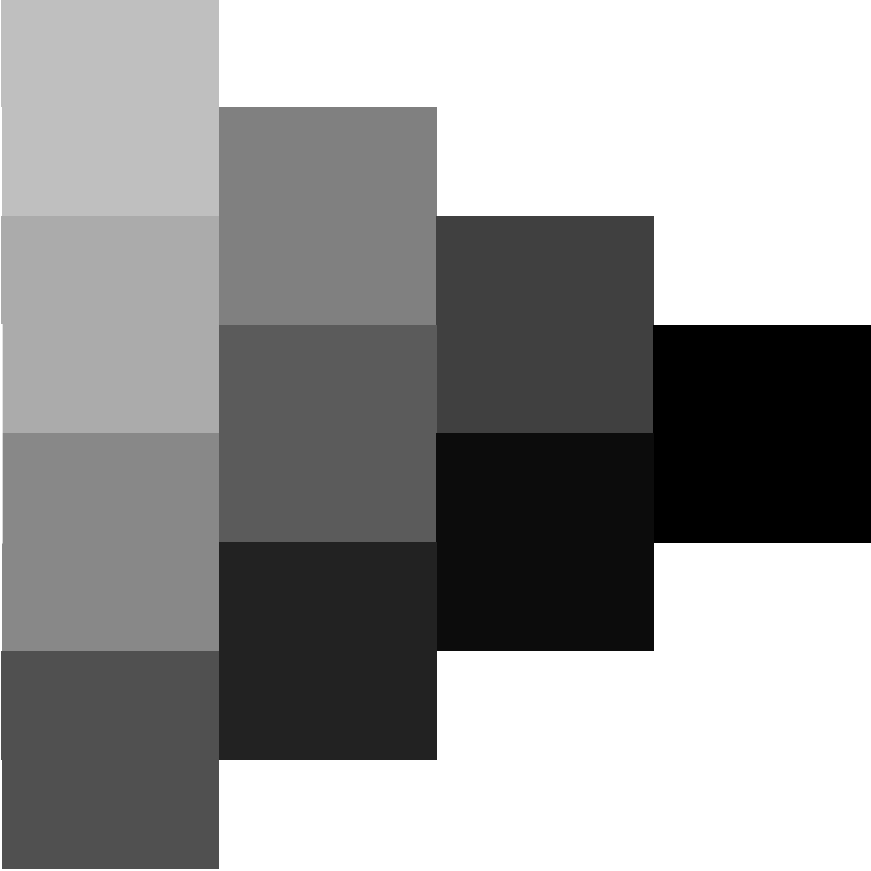
•

•

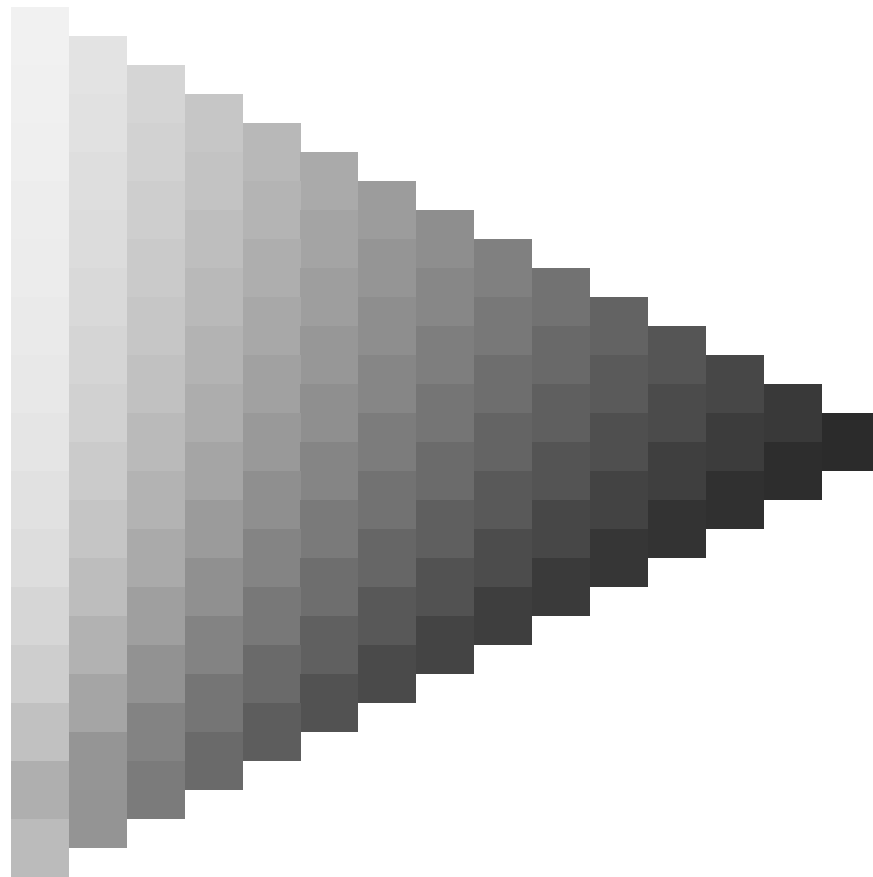
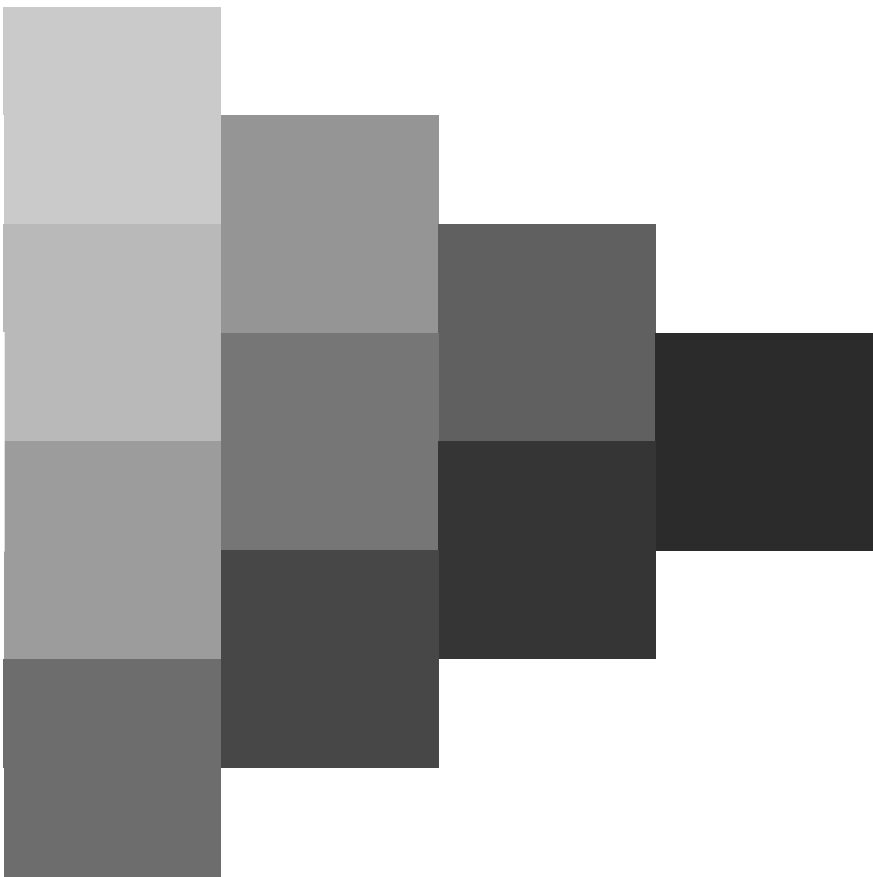
•

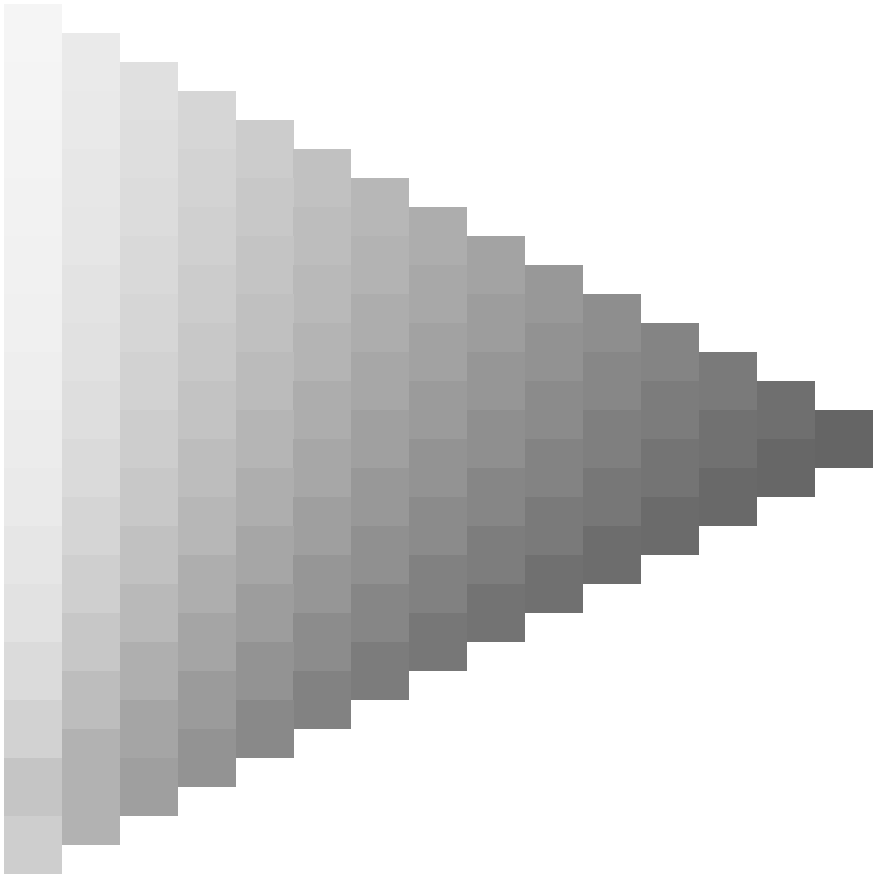
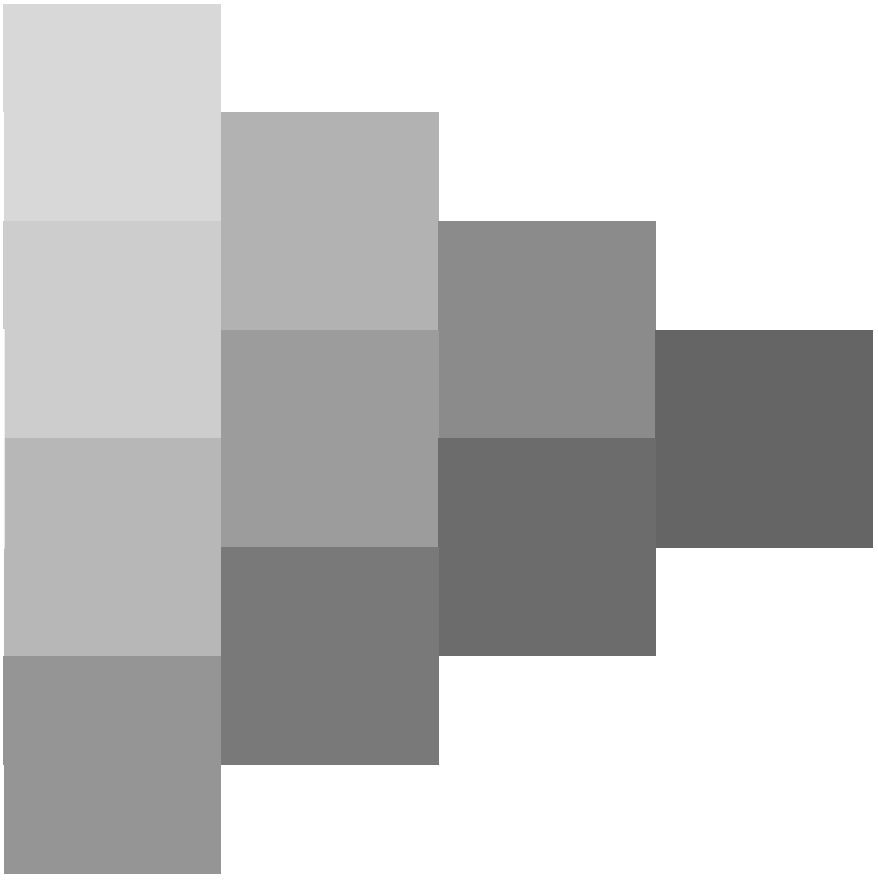


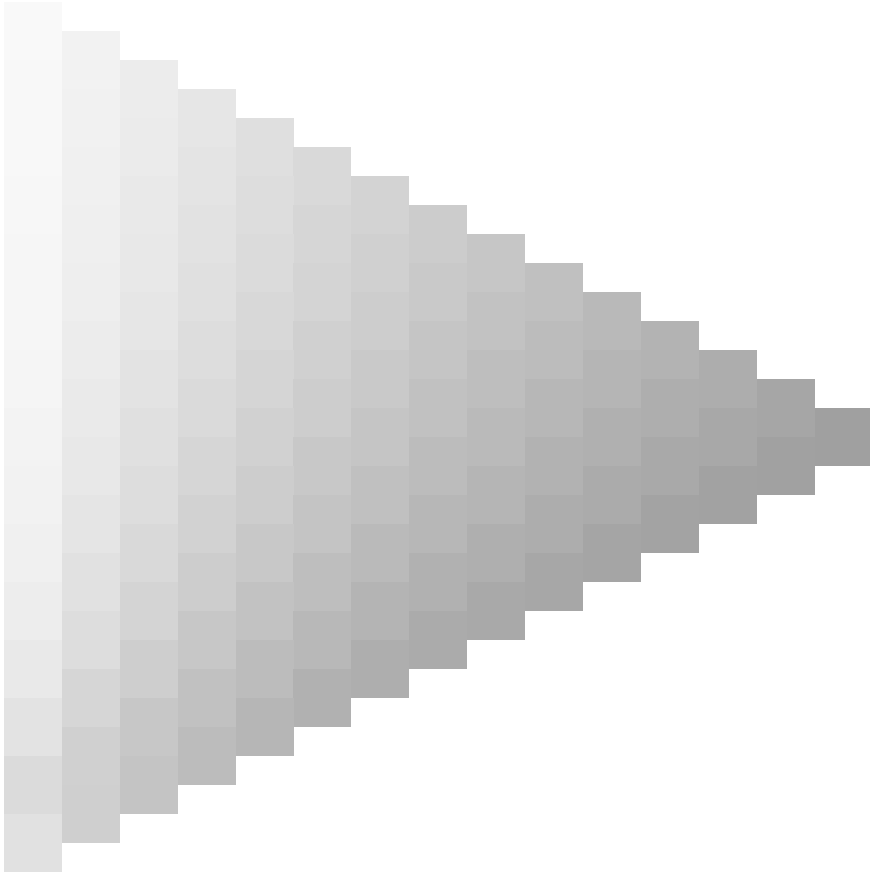
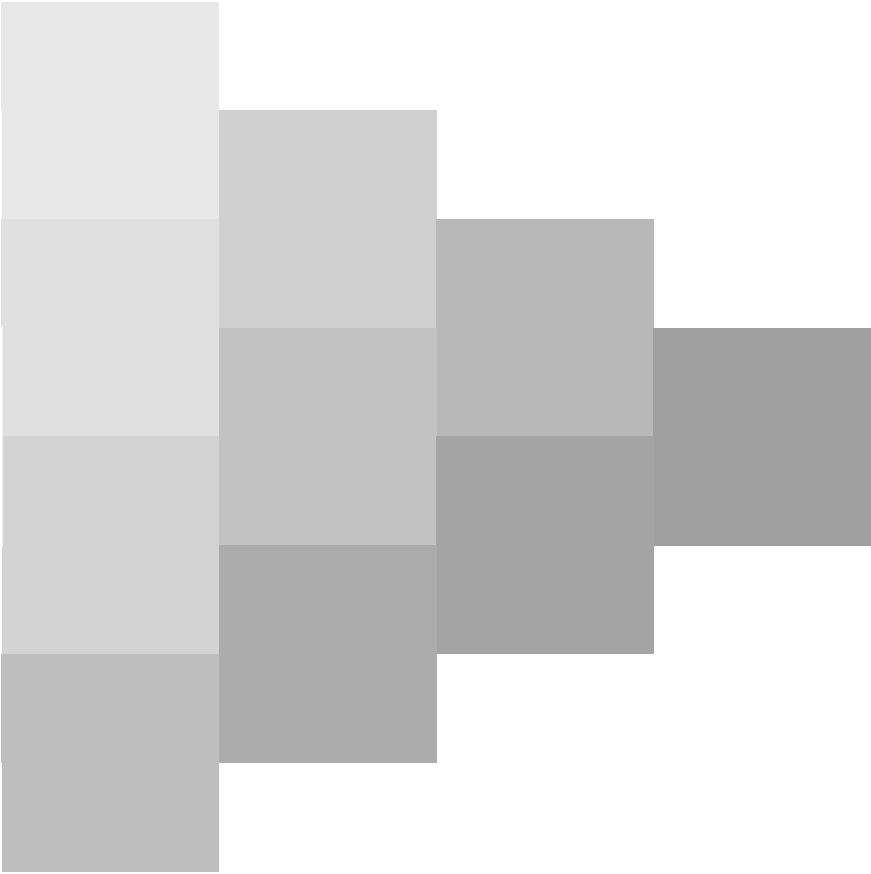


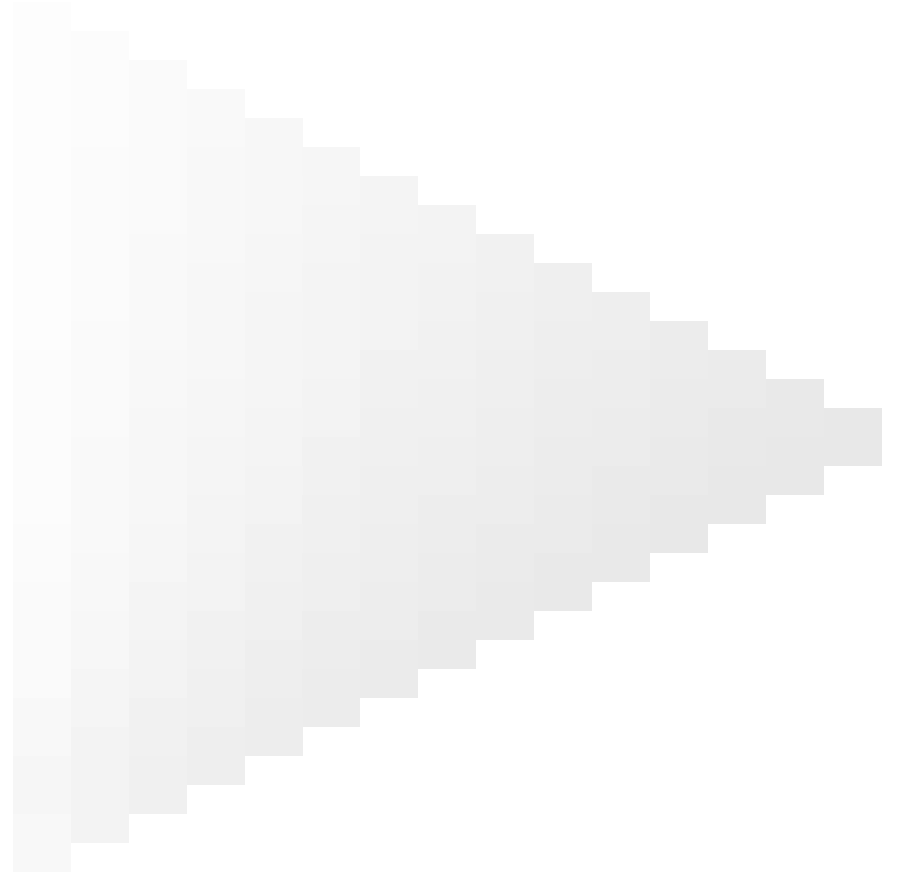


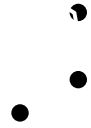


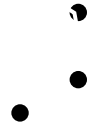


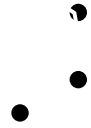






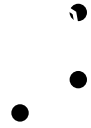


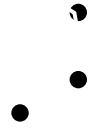


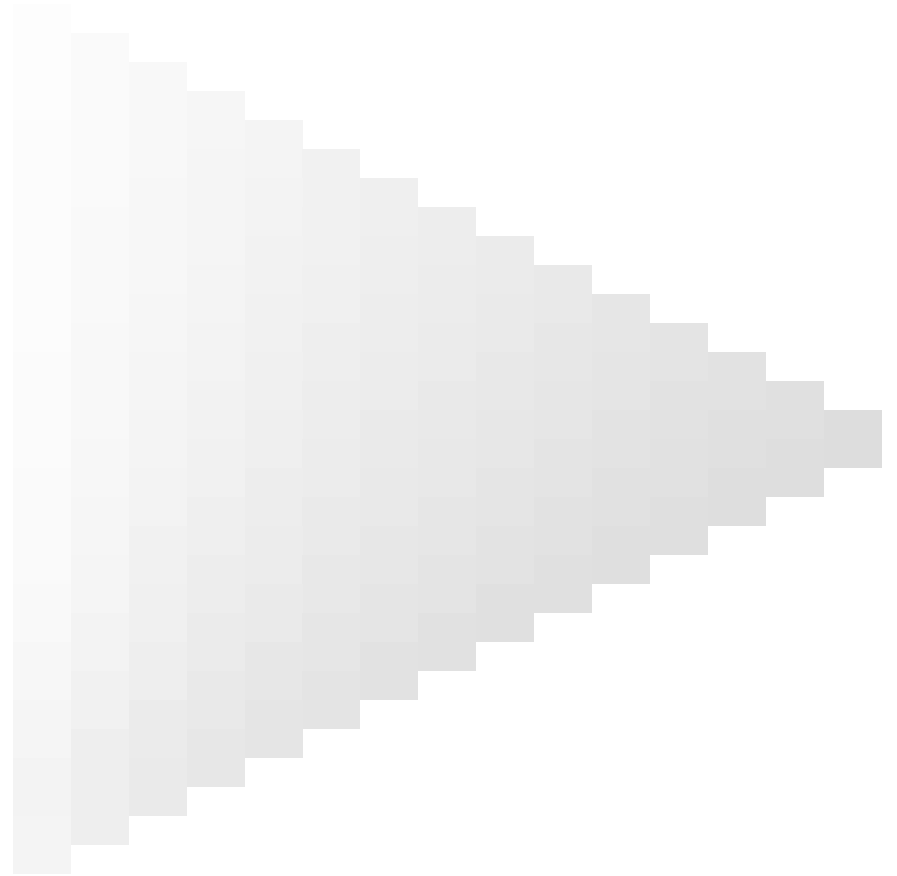
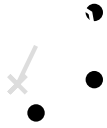


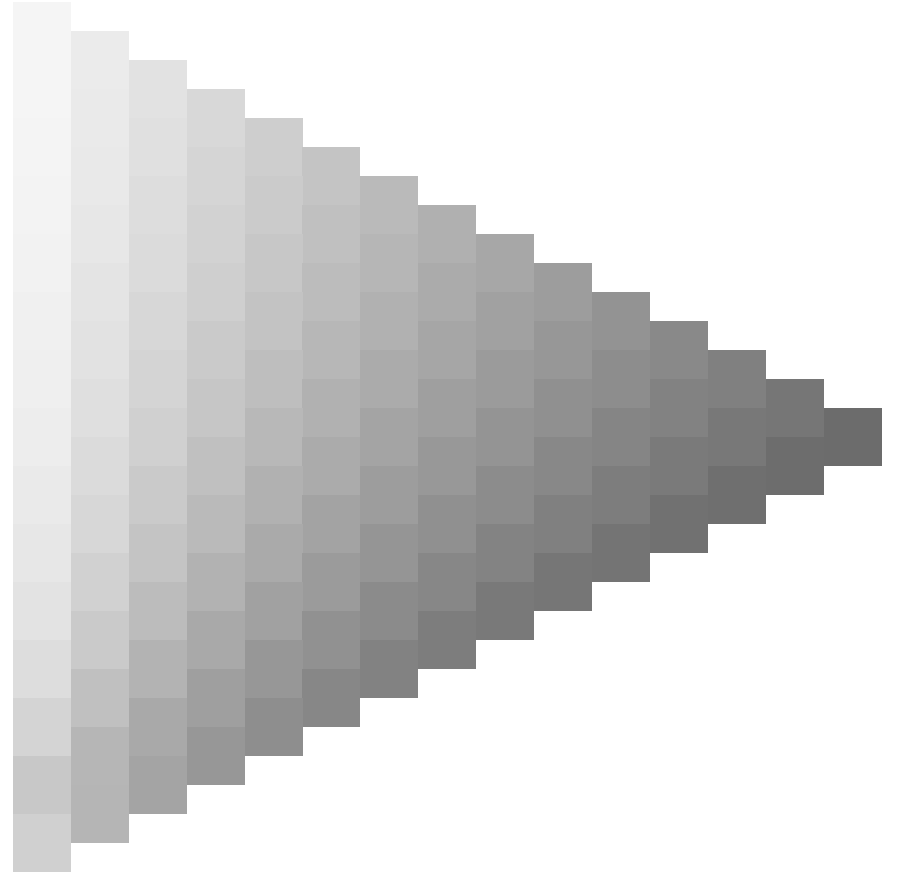
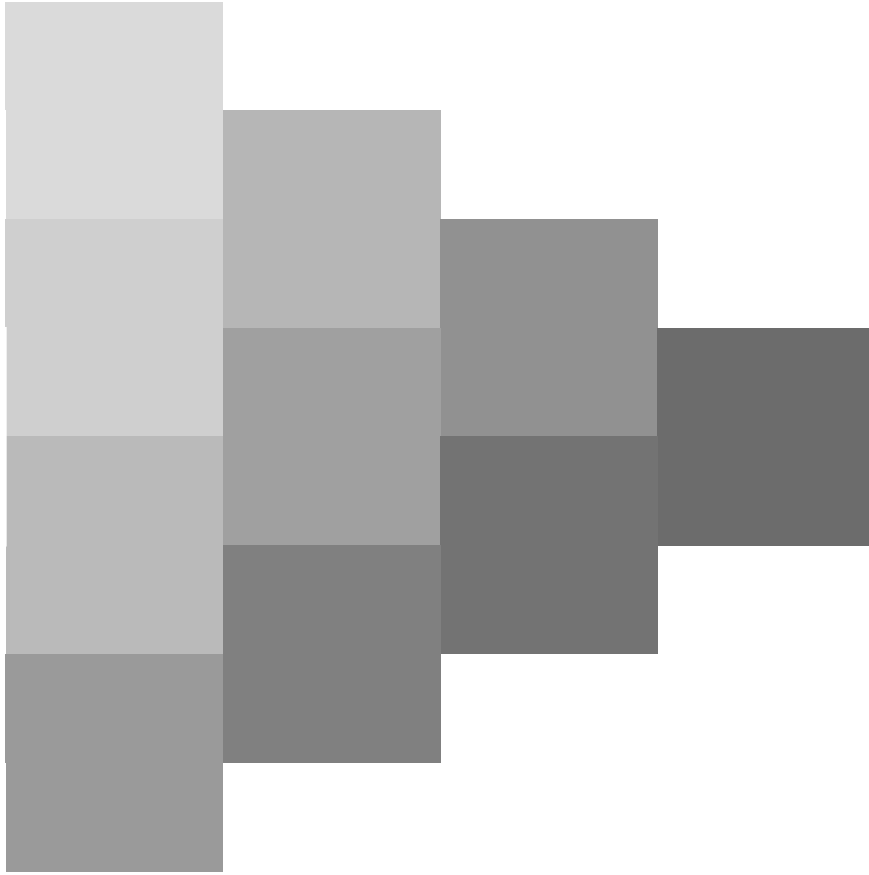
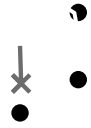


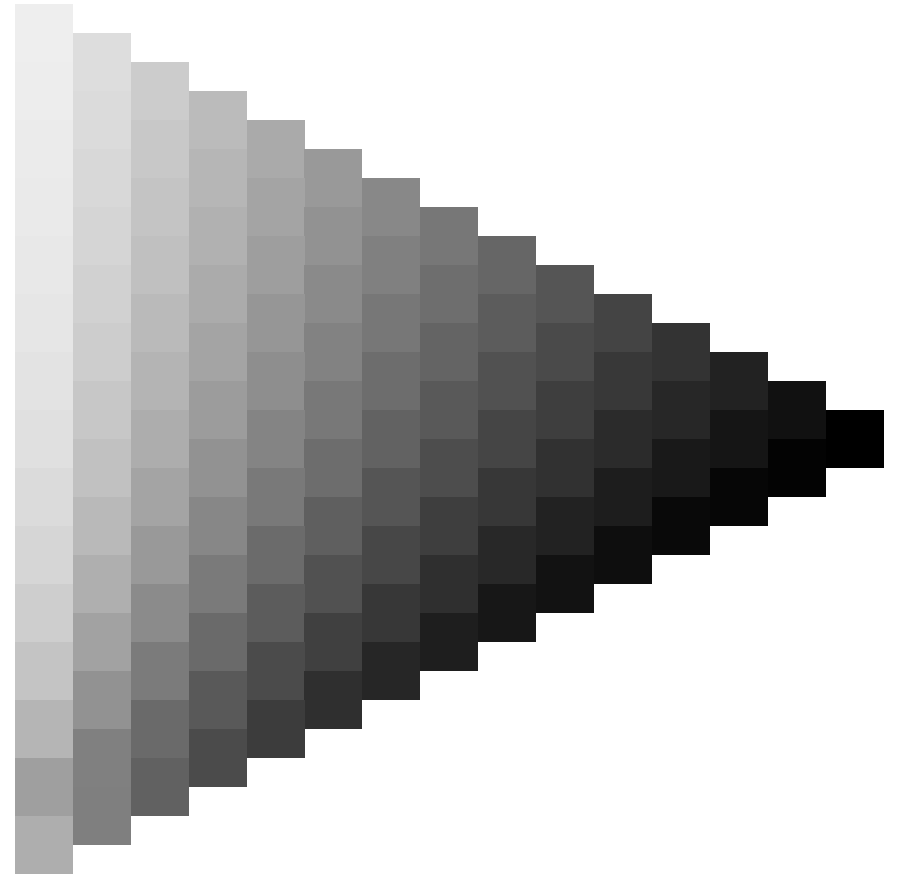
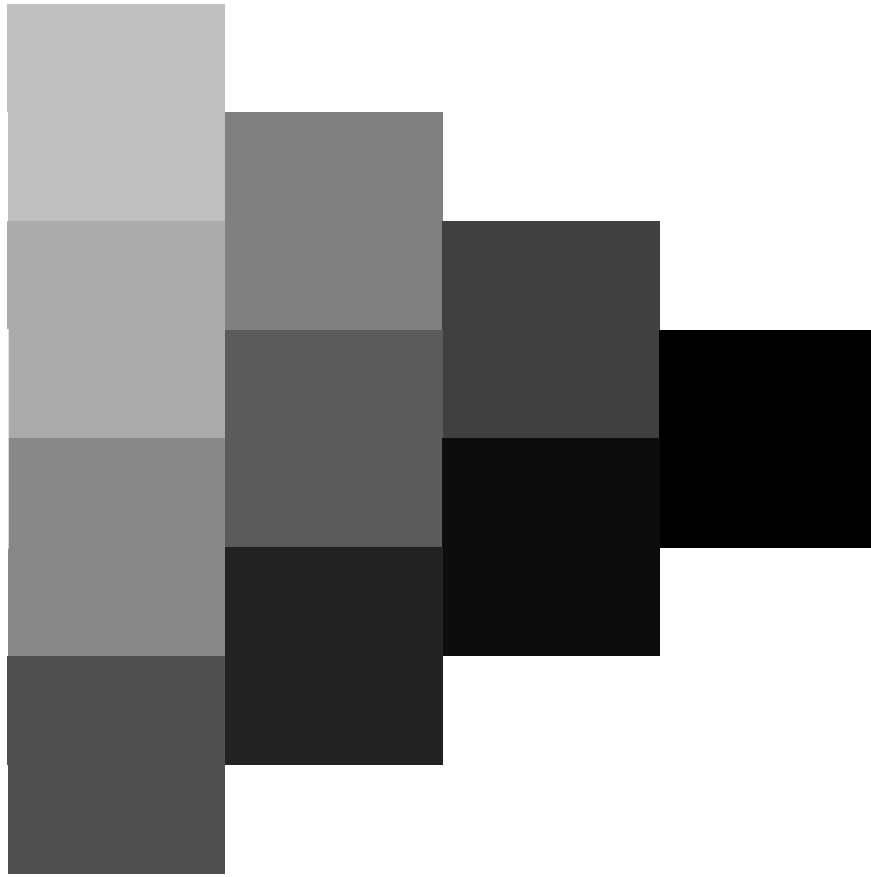
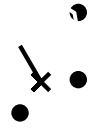


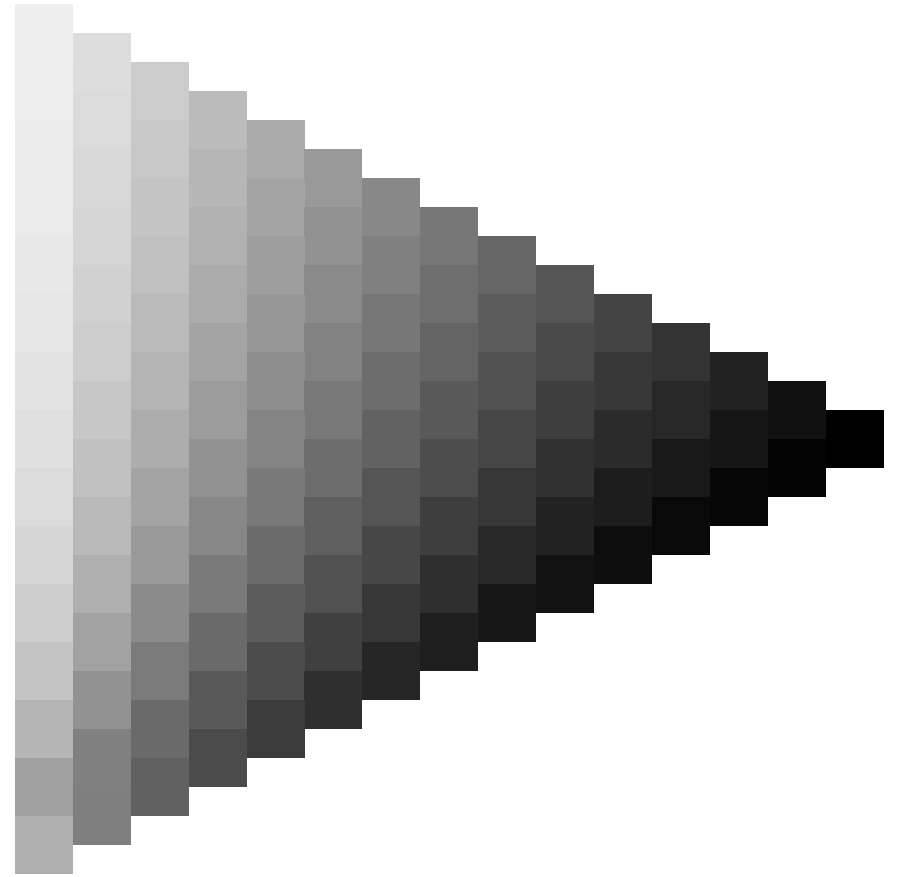
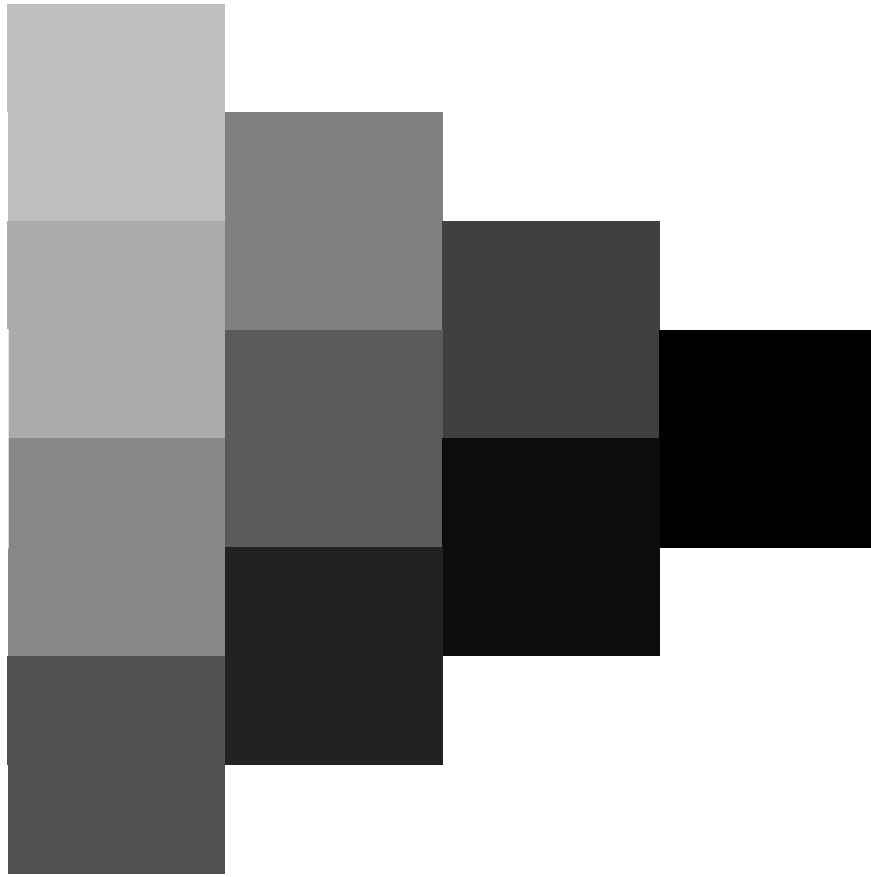
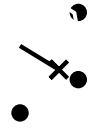




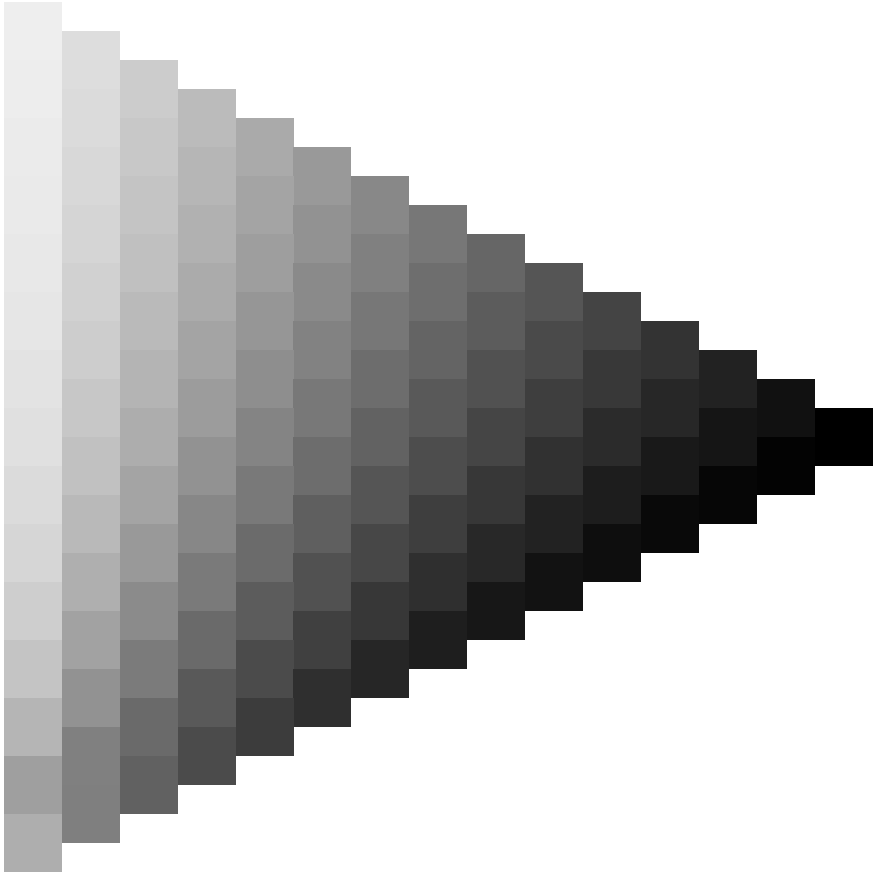
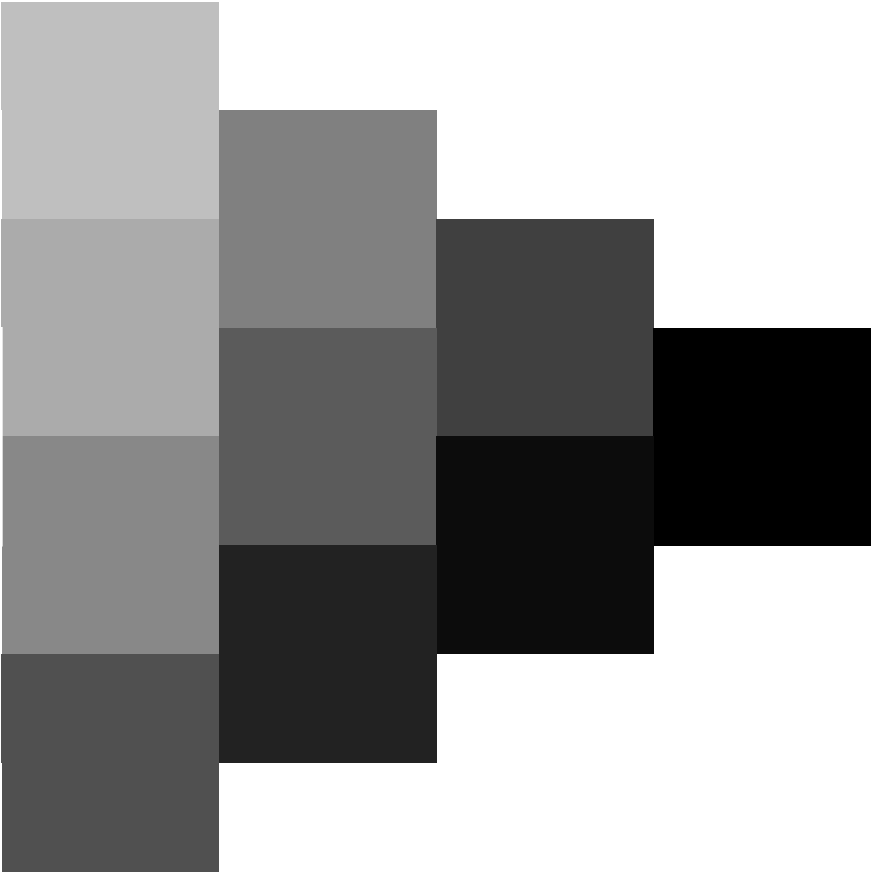


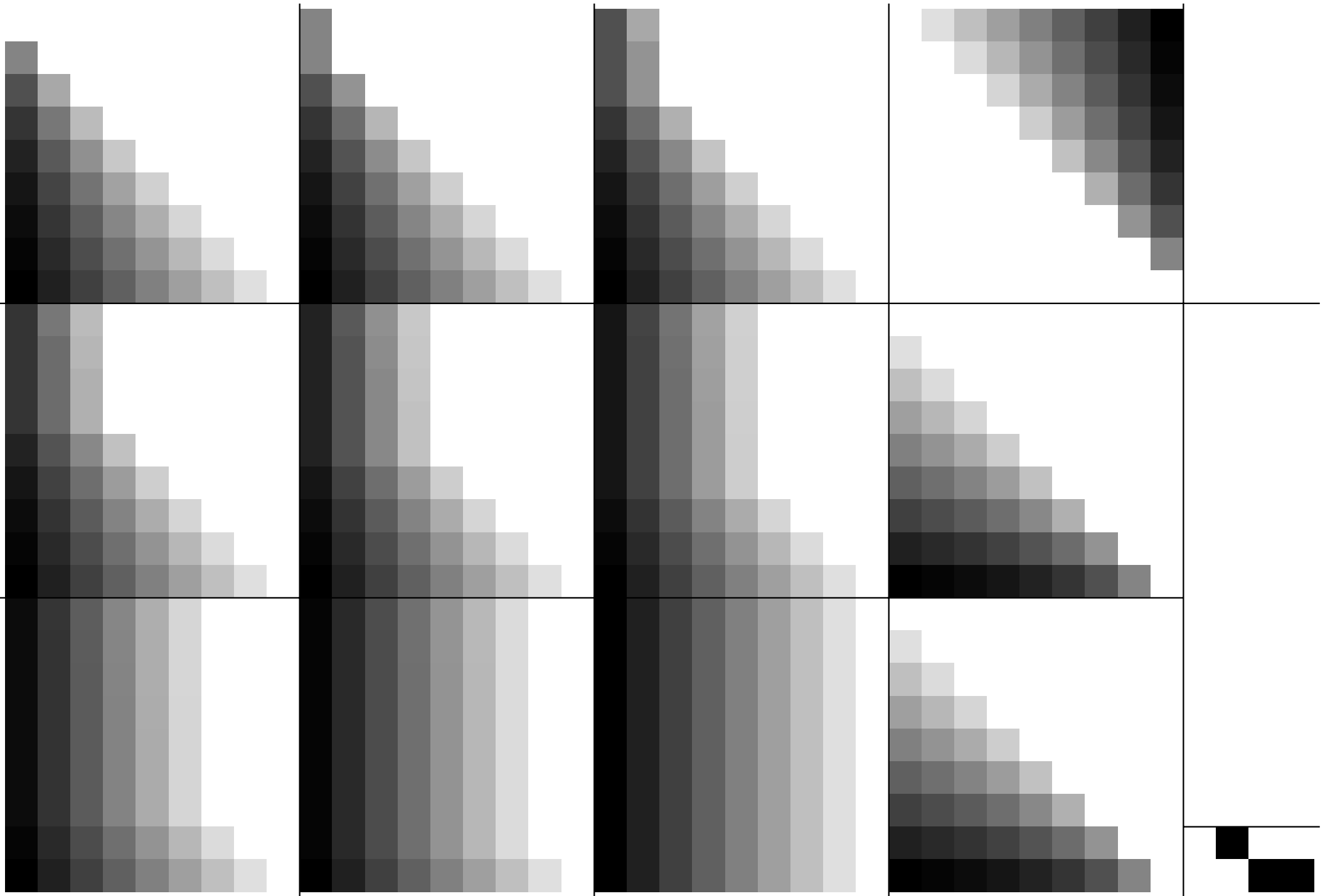




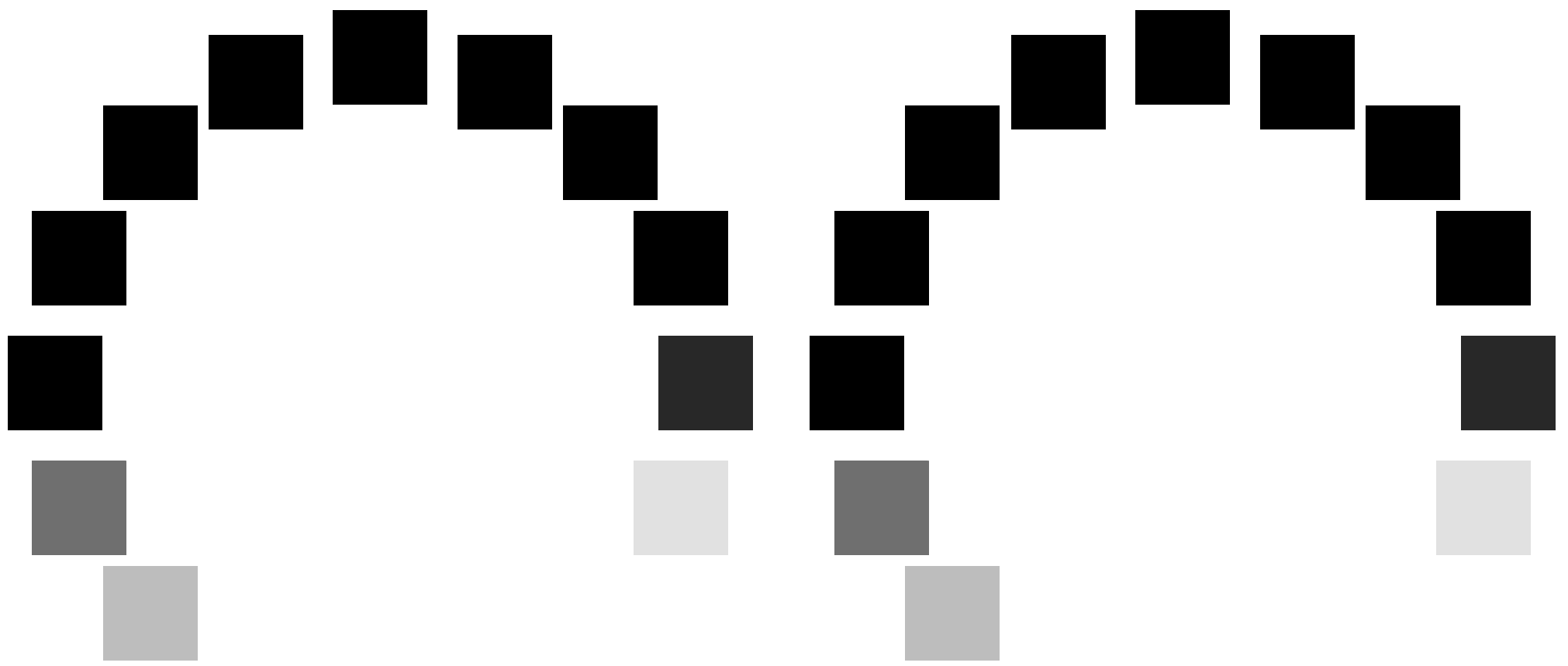


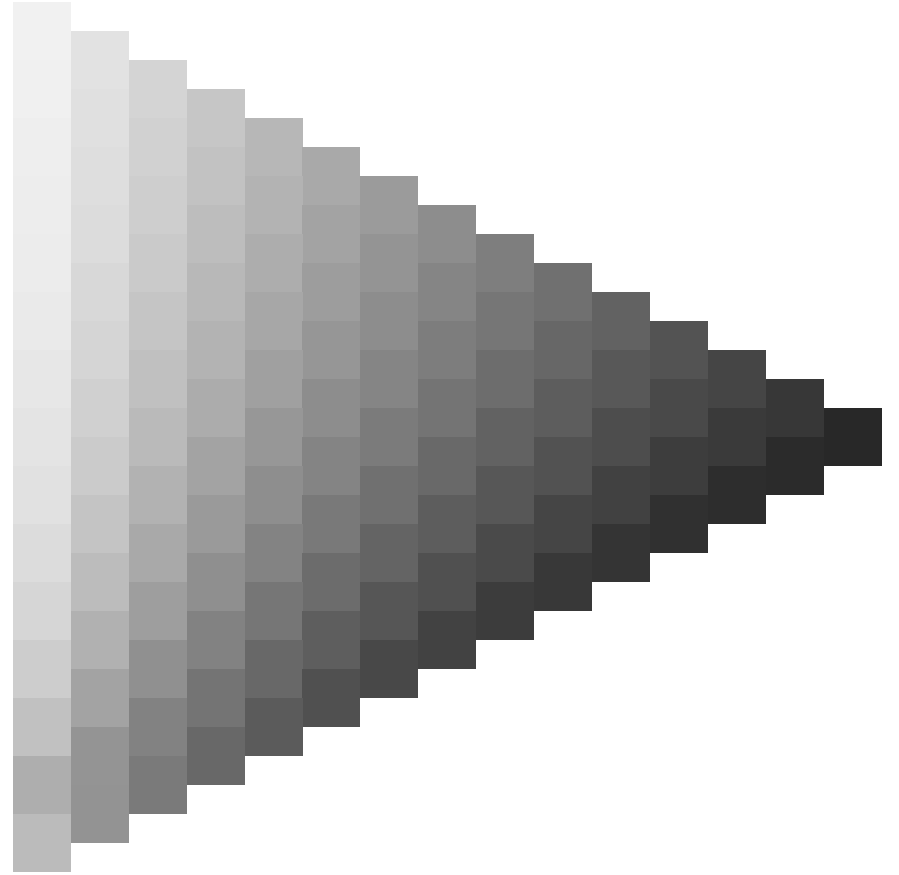
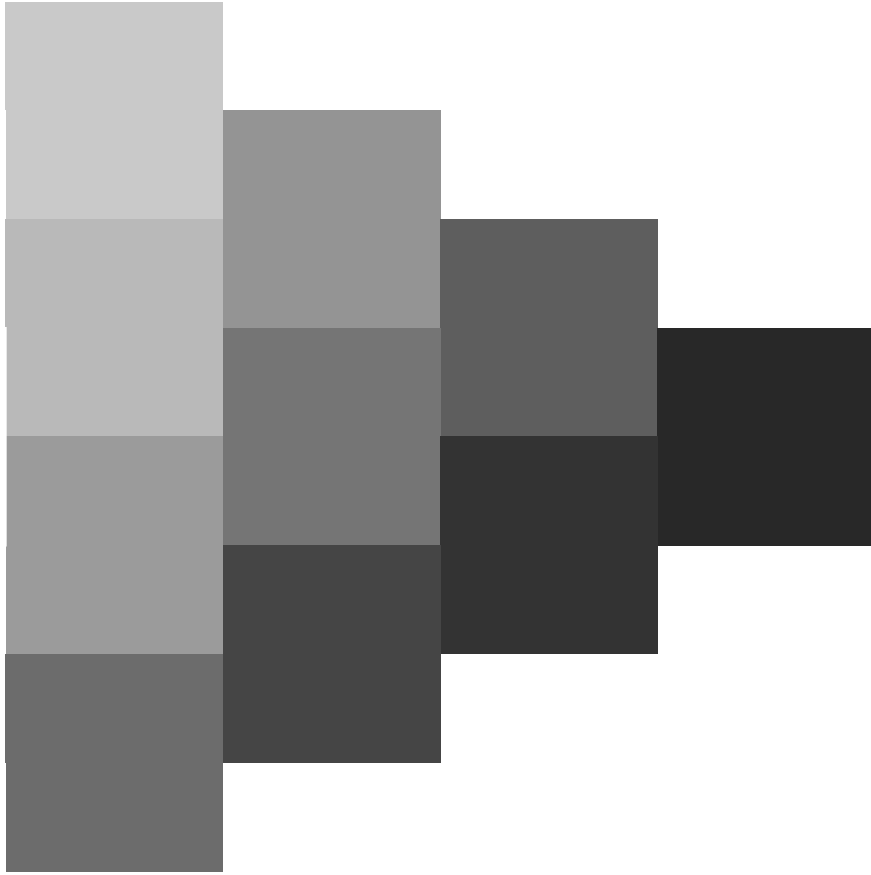
•  
•  
•  
•

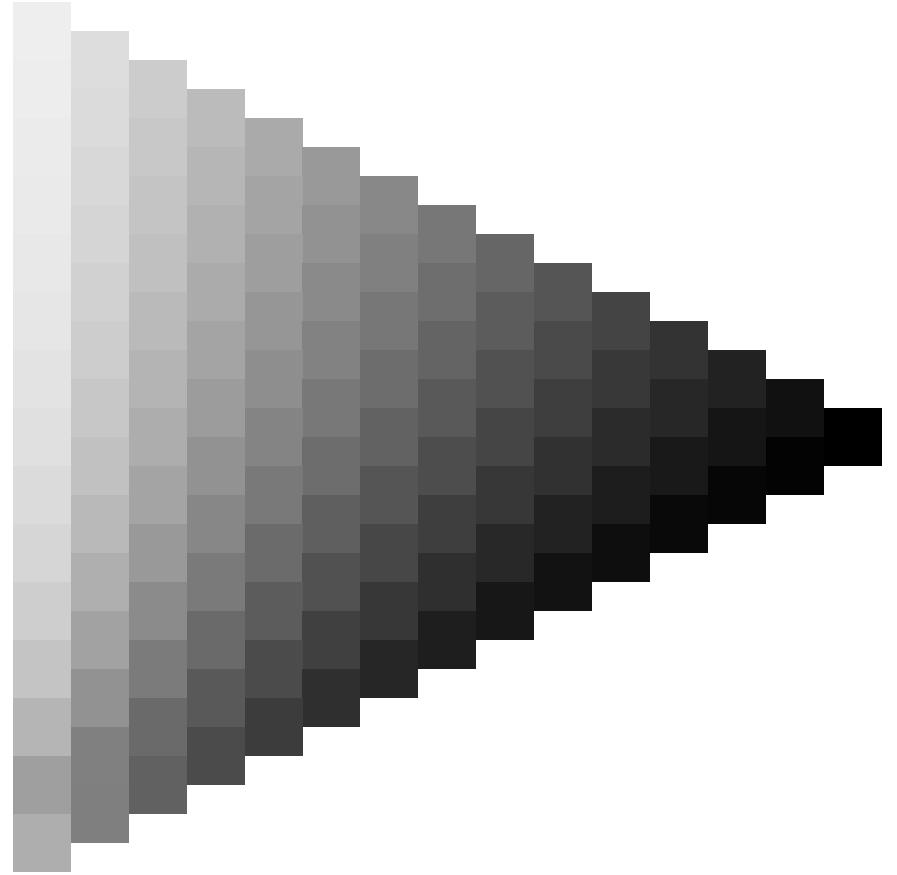
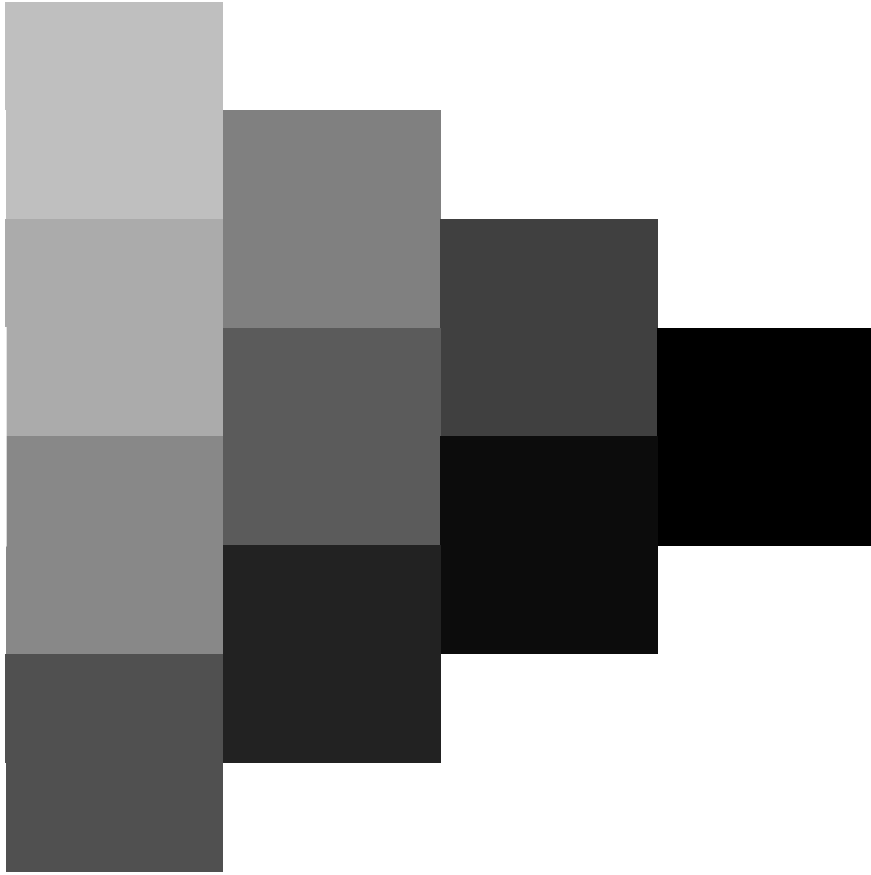


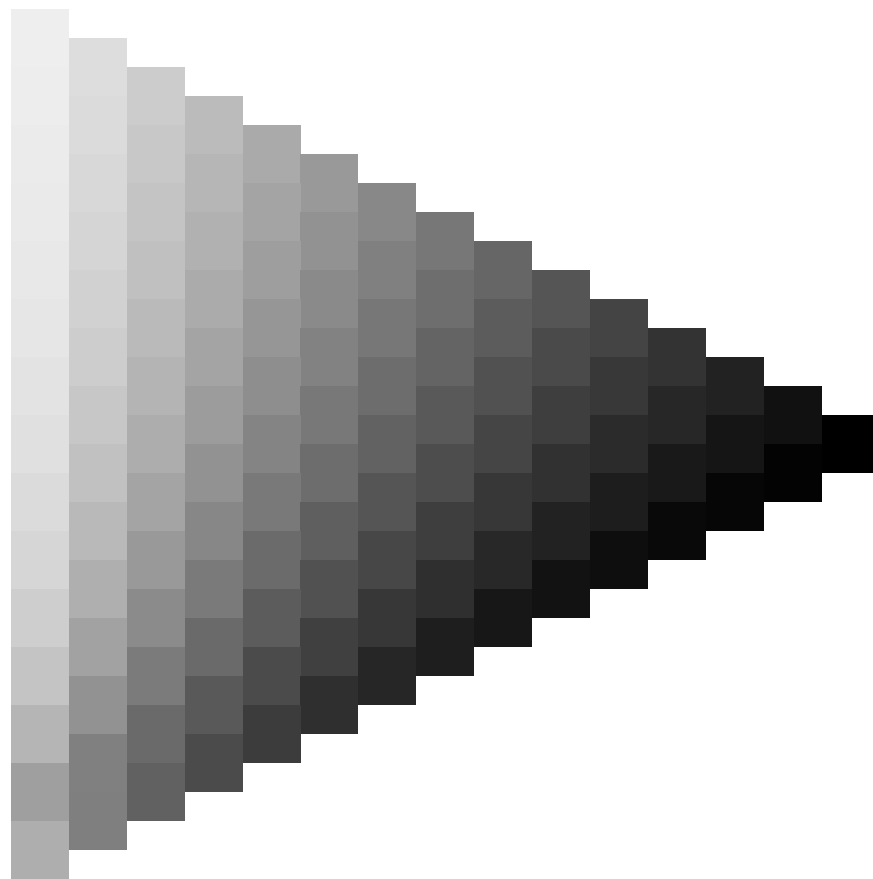
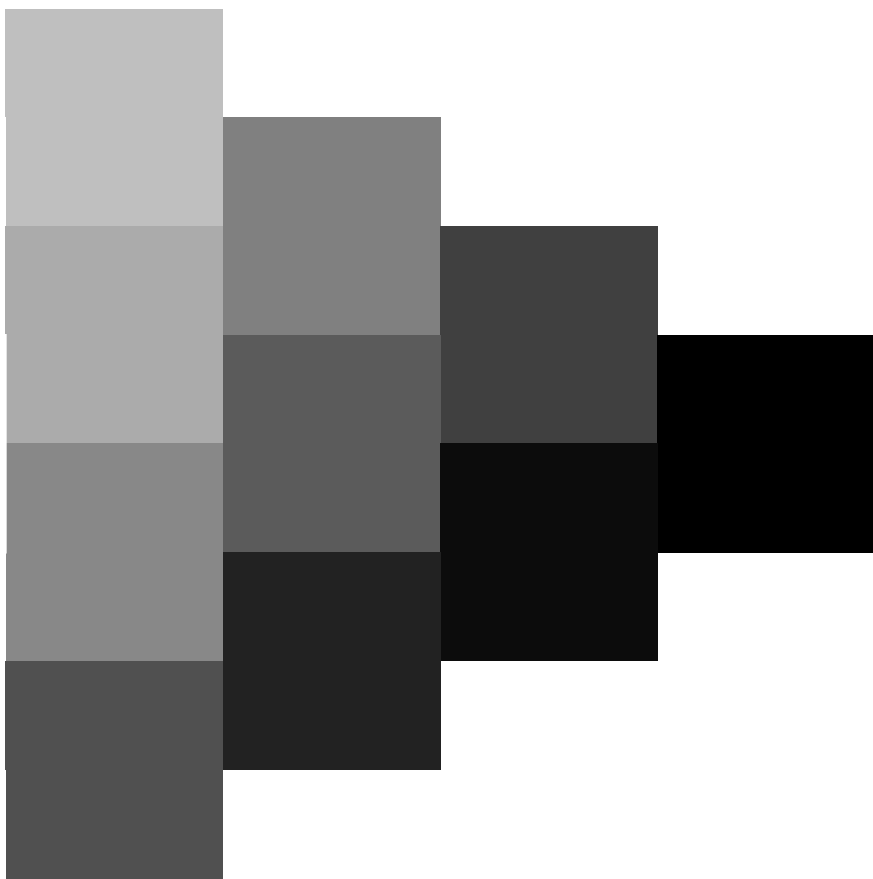




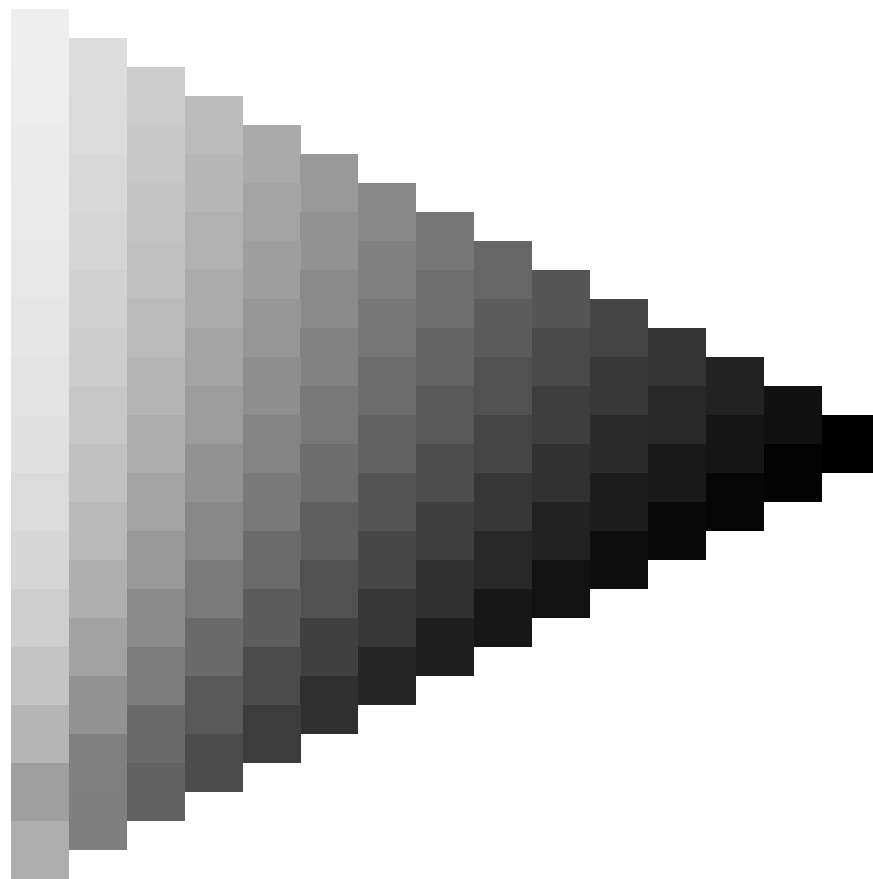
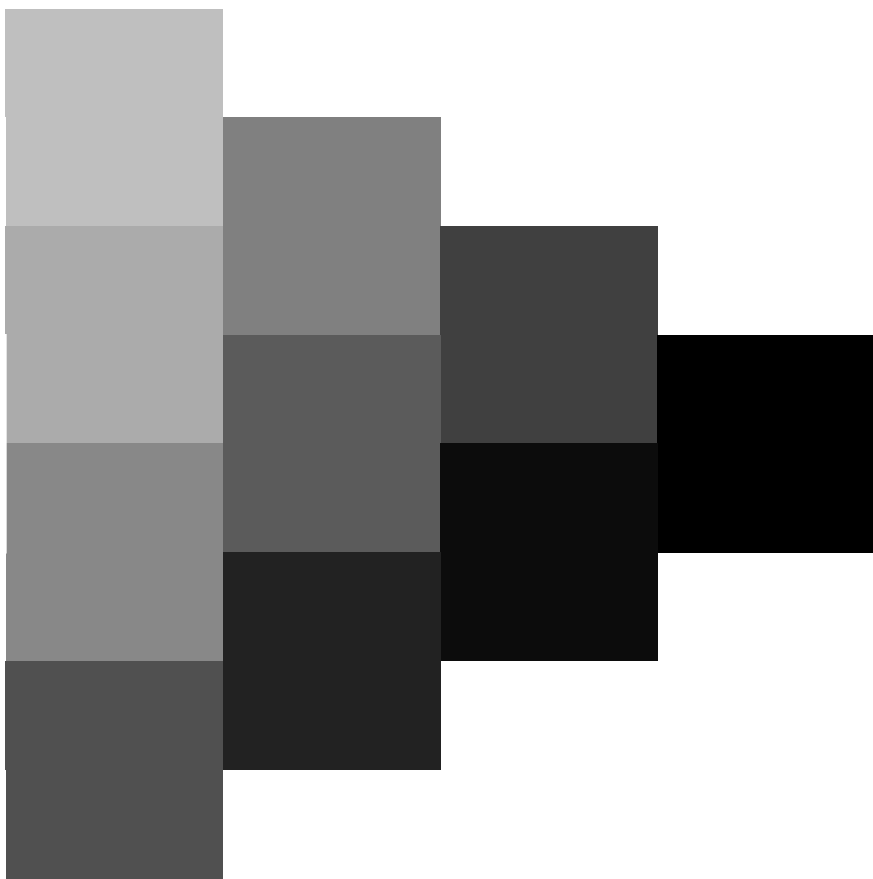


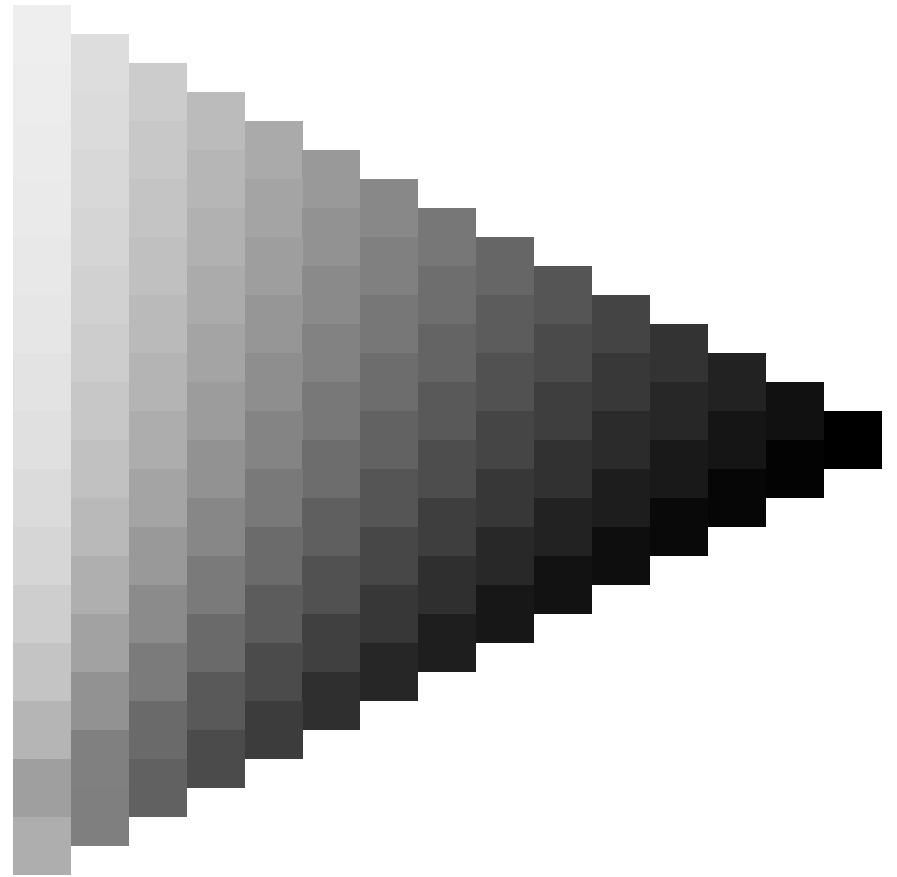
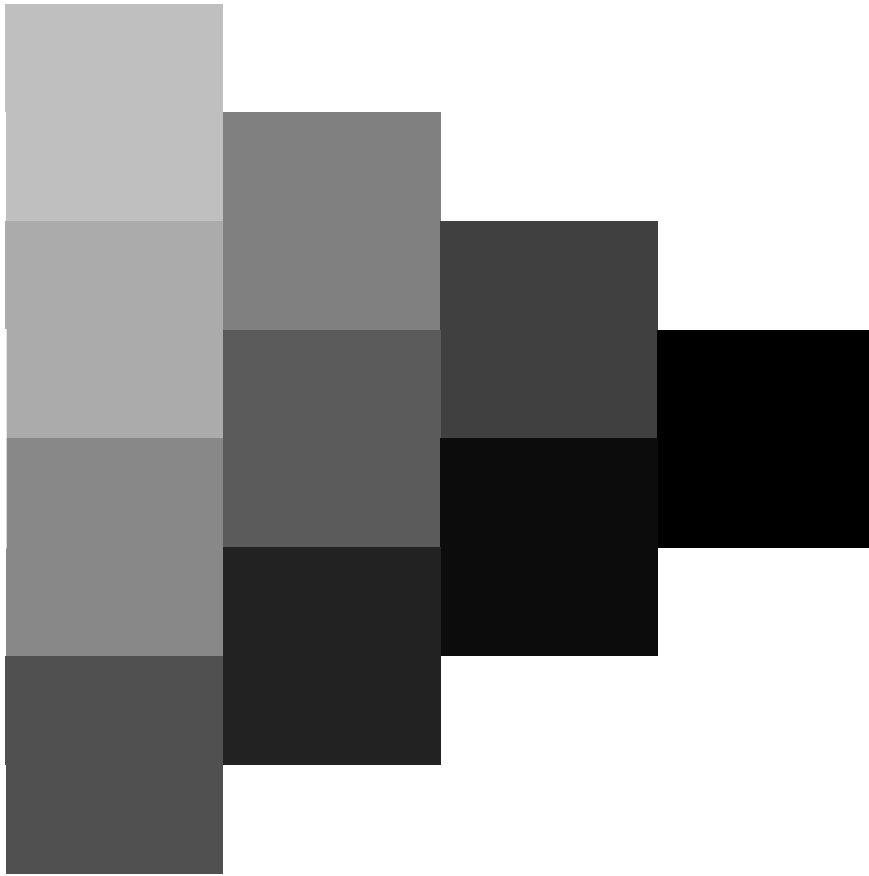


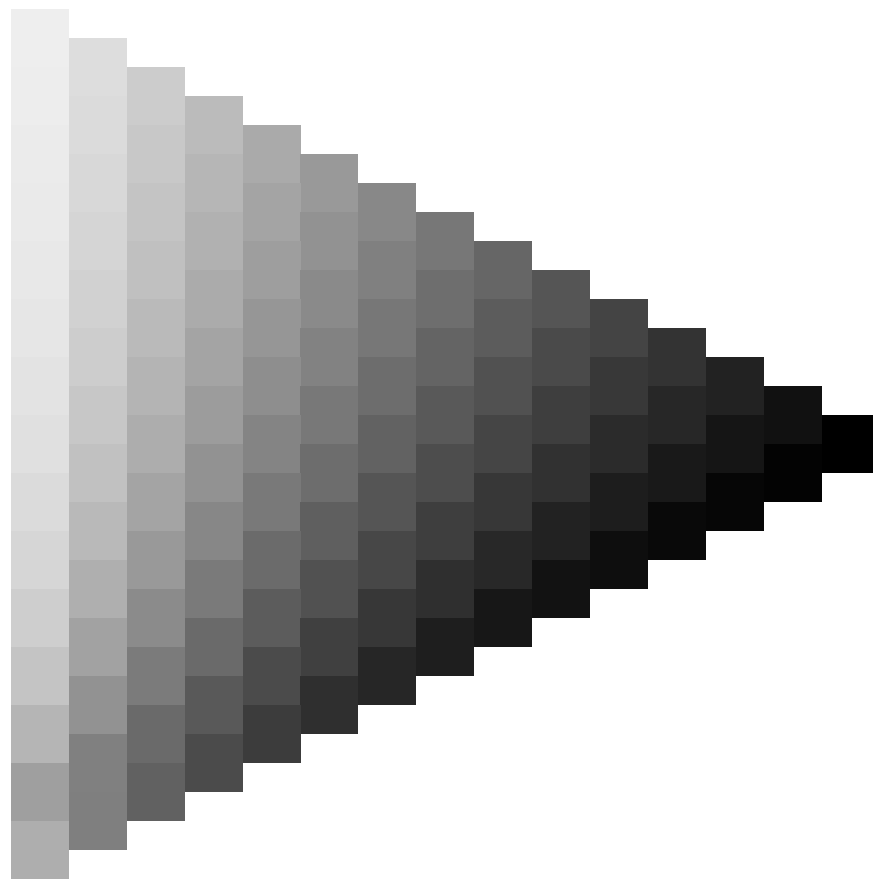
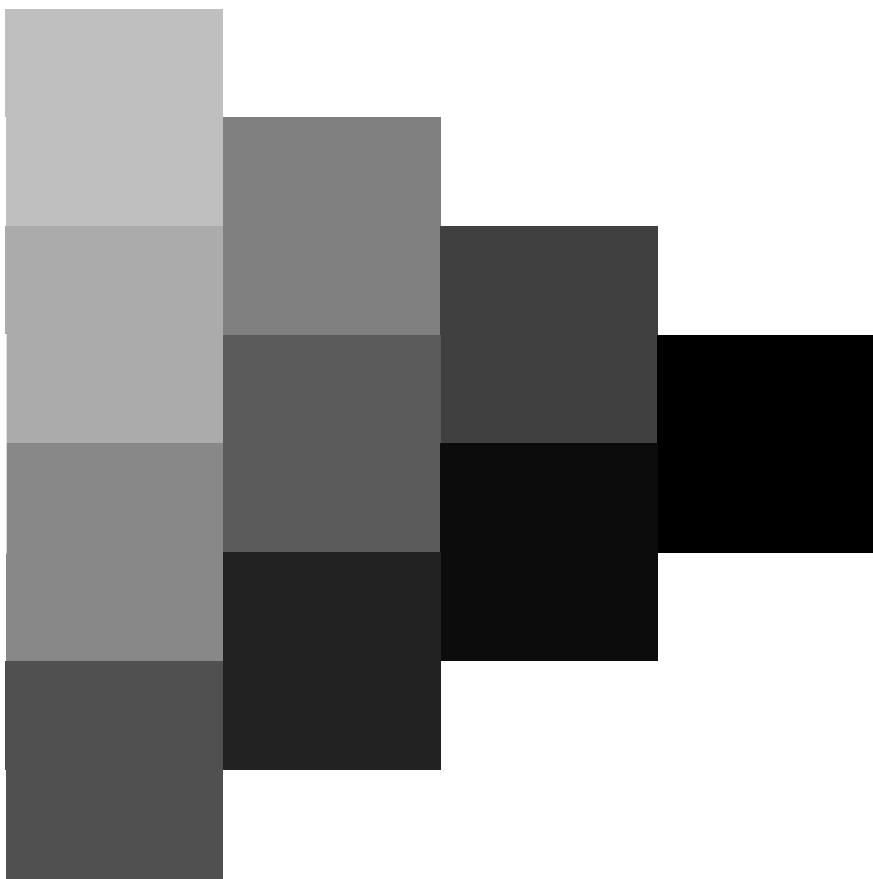


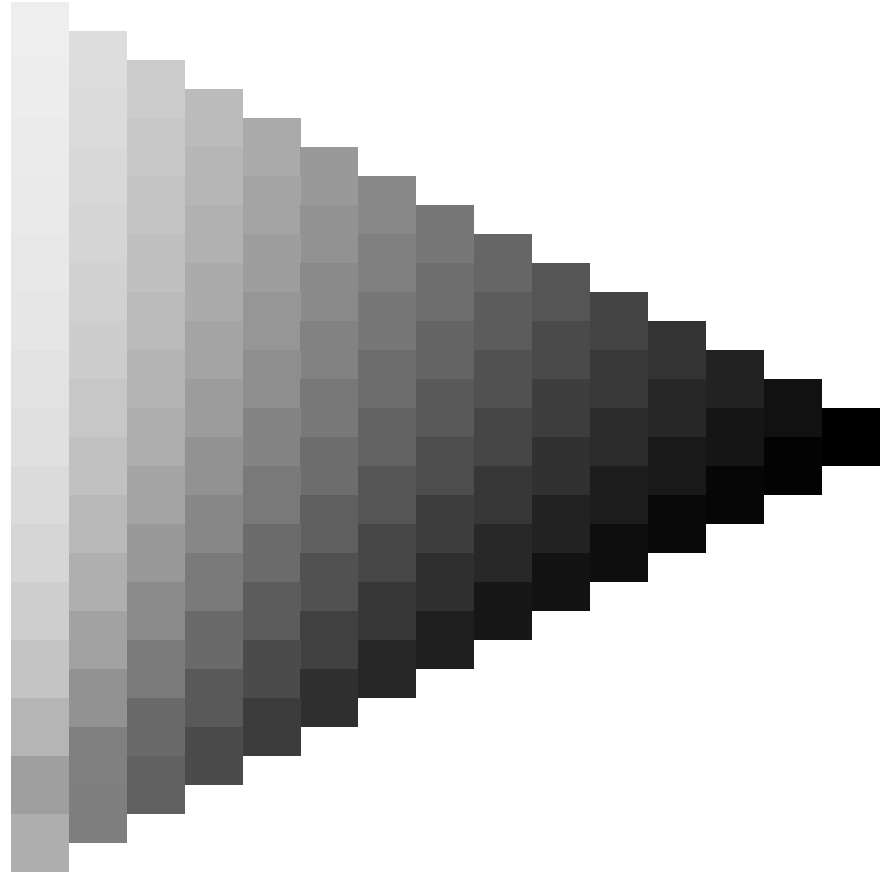
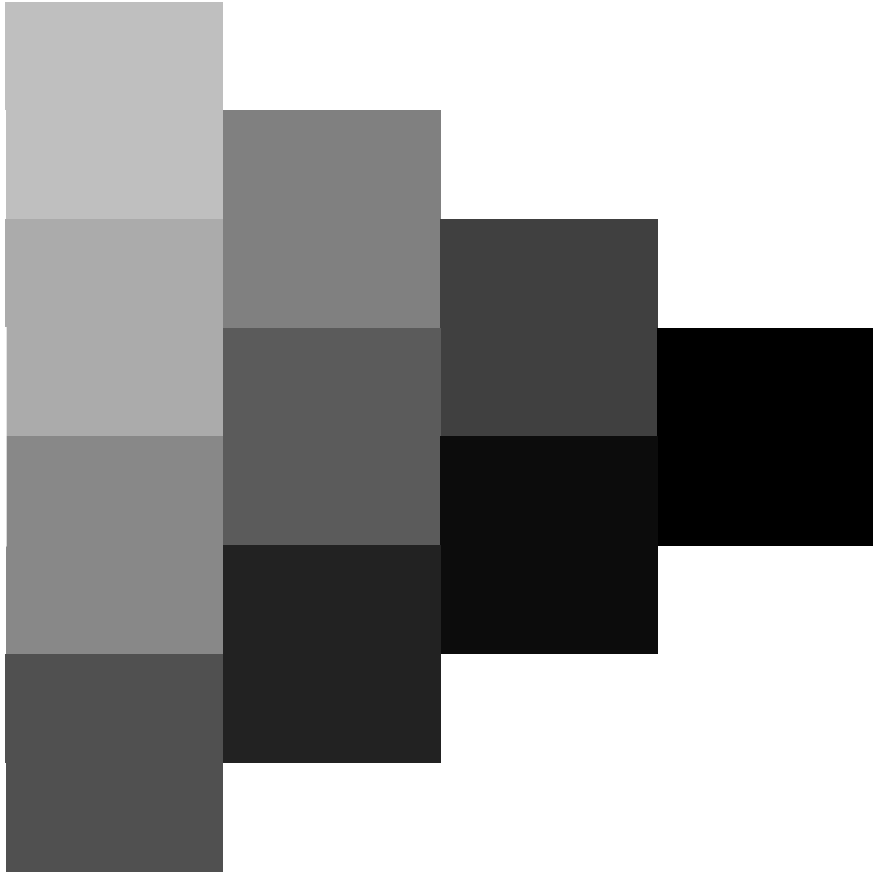


• ✂ •

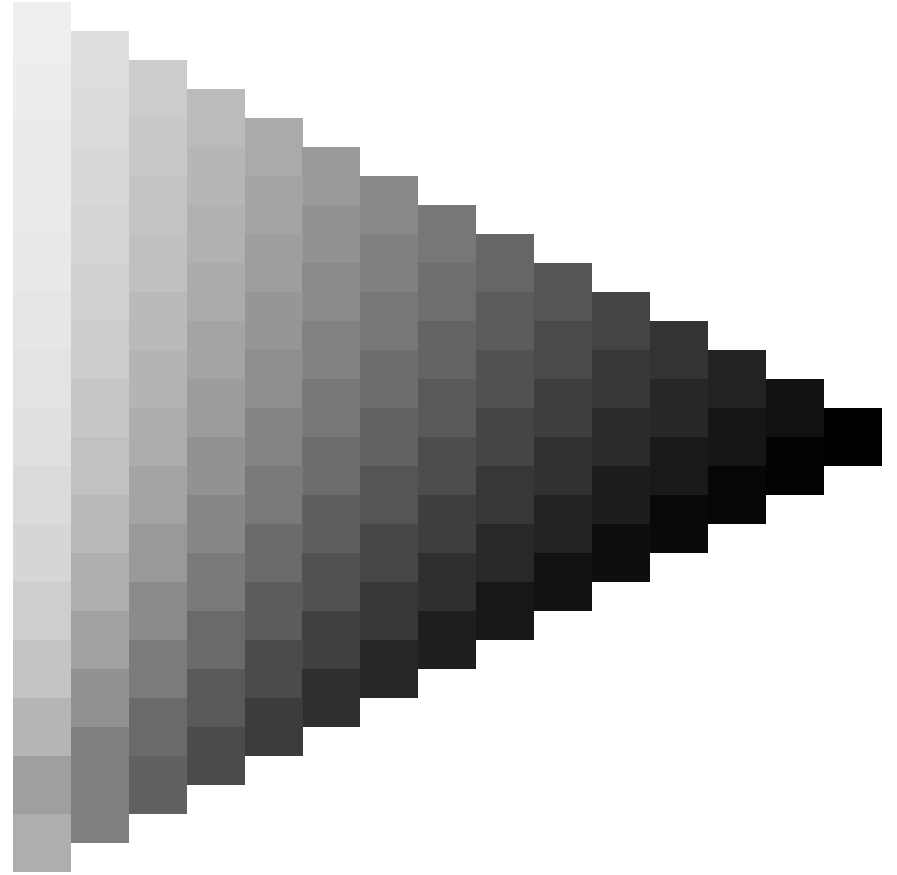
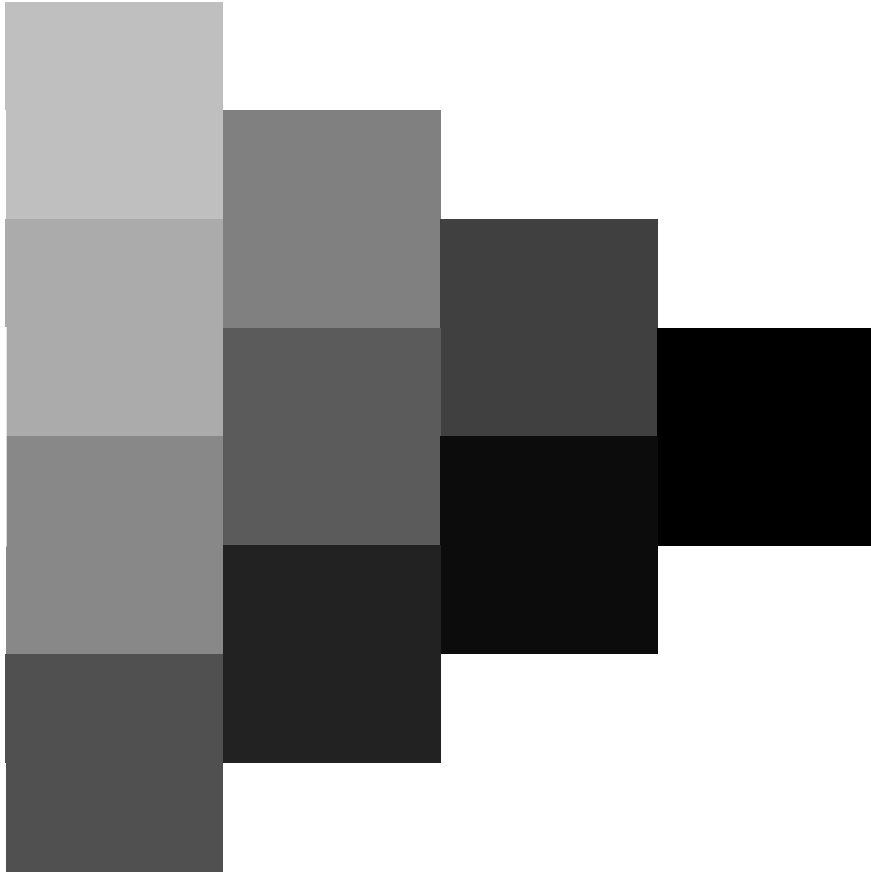


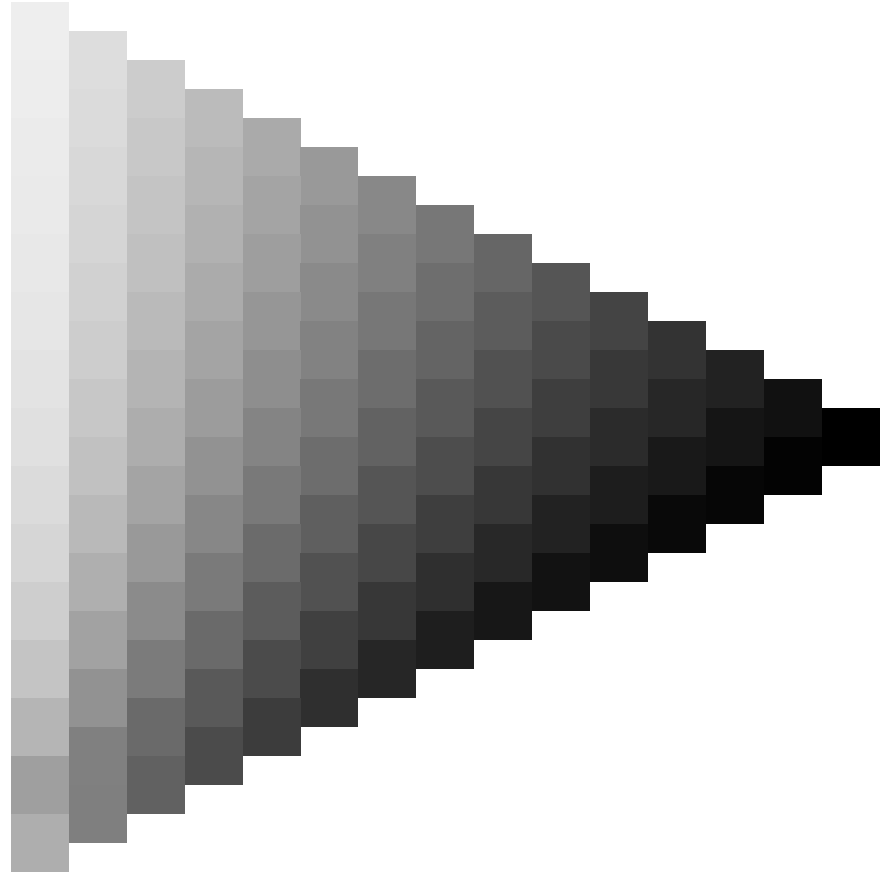
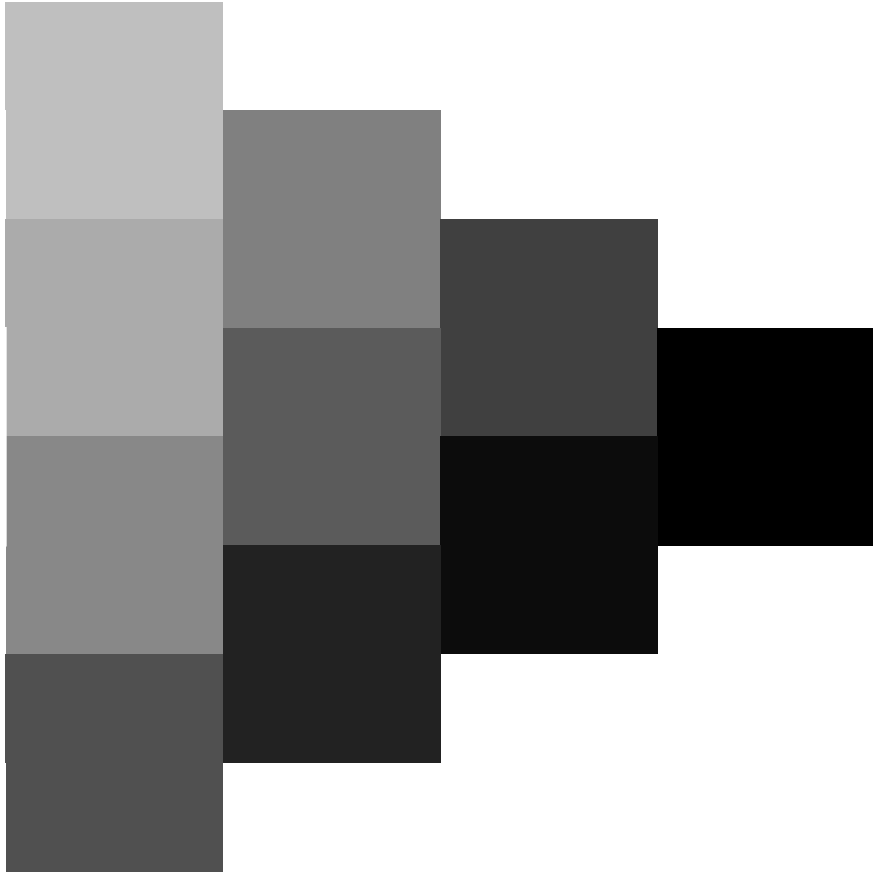


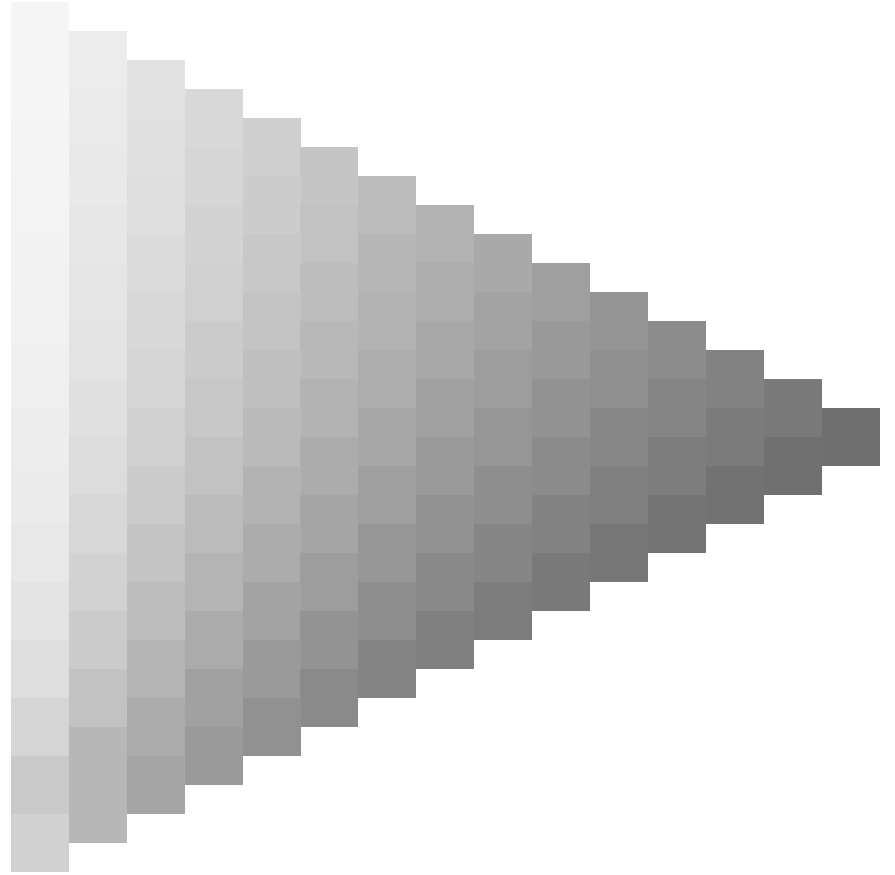
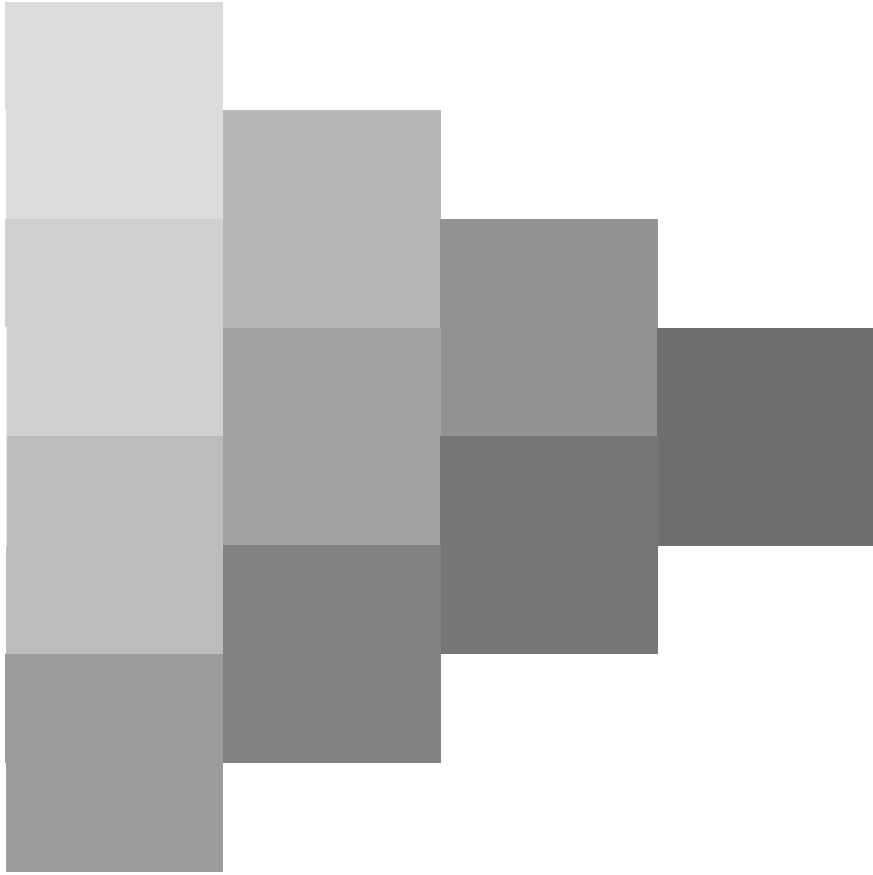


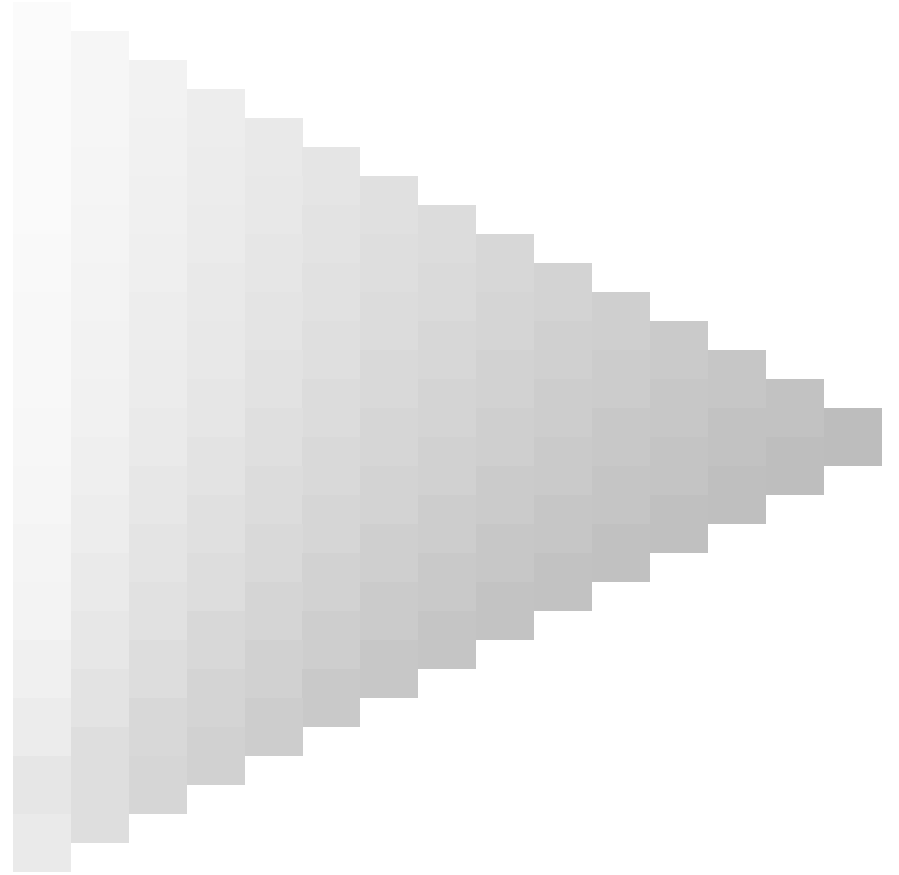
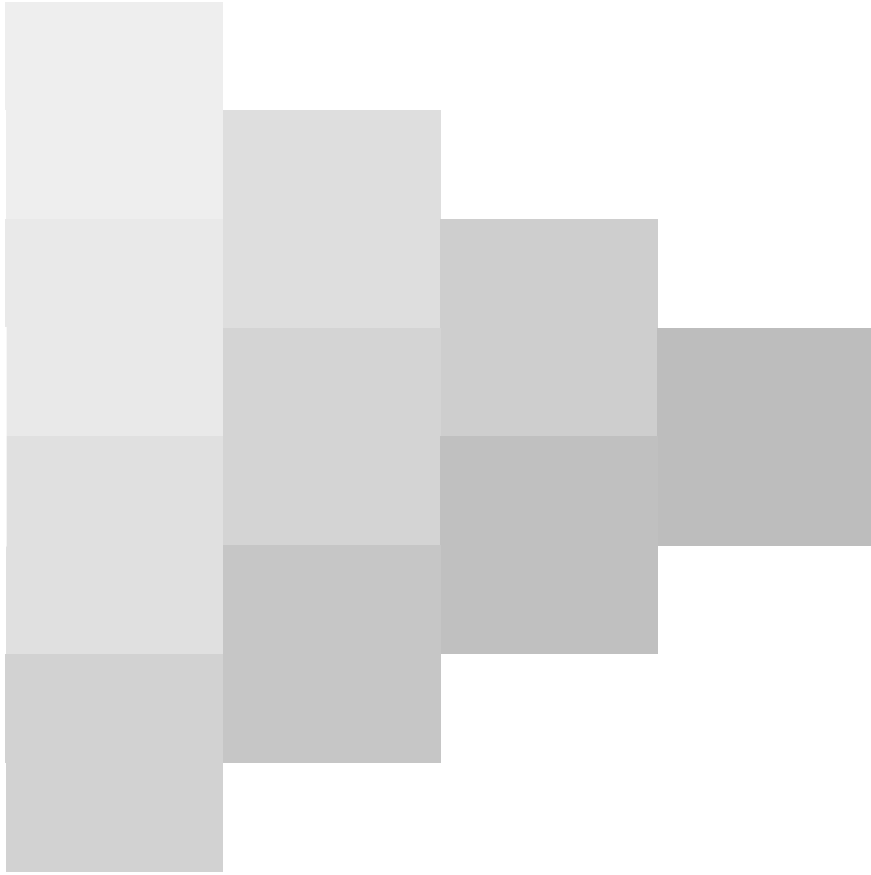












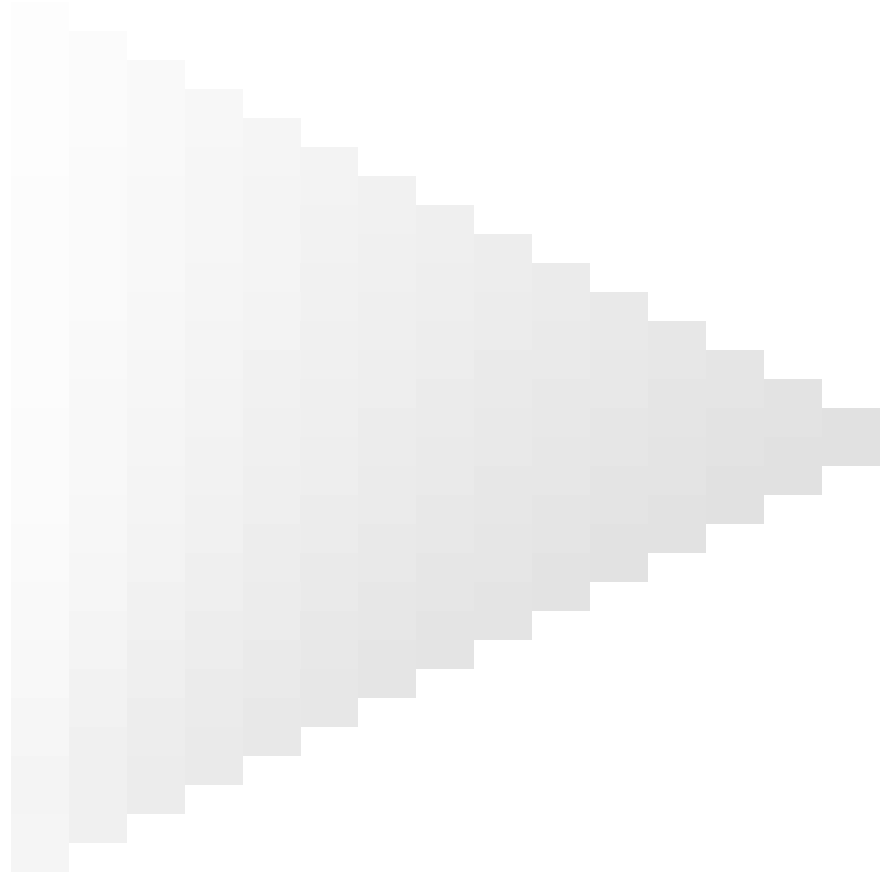


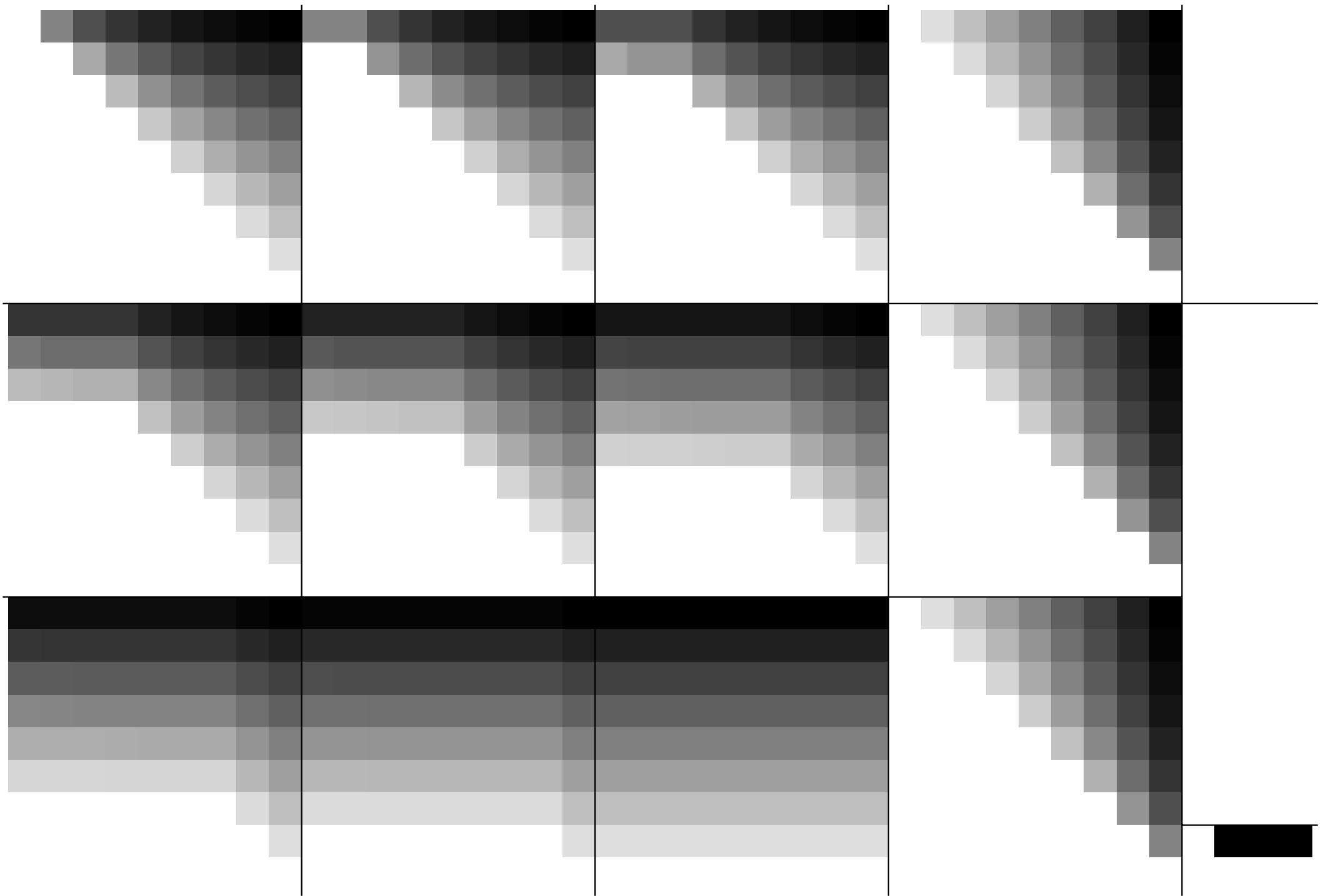












Ein und Ausgabe:  
 Farbmetrisches Drucker-Reflektiv-System ORS20\_95a

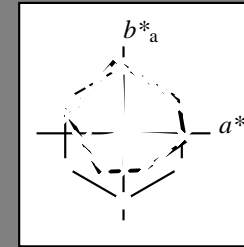
Daten für jede Farbe:  
*lab\*<sub>tch</sub>\** und *lab\*<sub>icu</sub>\**

Elementar-Buntontext:  
*u\** = 16 Bunttöne *r00j*, *r25j*, ..., *b75r*

Kontrastreduzierungsfaktor:  
 $c_R = 0.96$

ORS20\_95a; adaptierte CIELAB-Daten

	$L^*=L^*_a$	$a^*_a$	$b^*_a$	$C^*_{ab,a}$	$h^*_{ab,a}$
r00j	48.88	63.91	30.45	70.79	25
r25j	55.85	50.36	45.65	67.97	42
r50j	65.45	33.86	56.12	65.54	59
r75j	75.19	17.13	66.73	68.89	76
j00g	87.03	-3.21	79.64	79.7	92
j25g	80.72	-24.03	66.82	71.01	110
j50g	70.64	-38.01	49.96	62.78	127
j75g	61.93	-50.08	35.41	61.34	145
g00b	52.8	-62.76	20.12	65.91	162
g25b	55.7	-47.65	-8.05	48.34	190
g50b	57.82	-36.91	-27.79	46.22	217
g75b	55.5	-21.19	-44.16	49.0	244
b00r	41.6	1.31	-43.27	43.3	272
b25r	29.0	24.11	-41.46	47.97	300
b50r	38.04	44.73	-27.29	52.41	329
b75r	49.48	70.07	-3.61	70.16	357



%Umfang

$u^*_{rel} = 83$

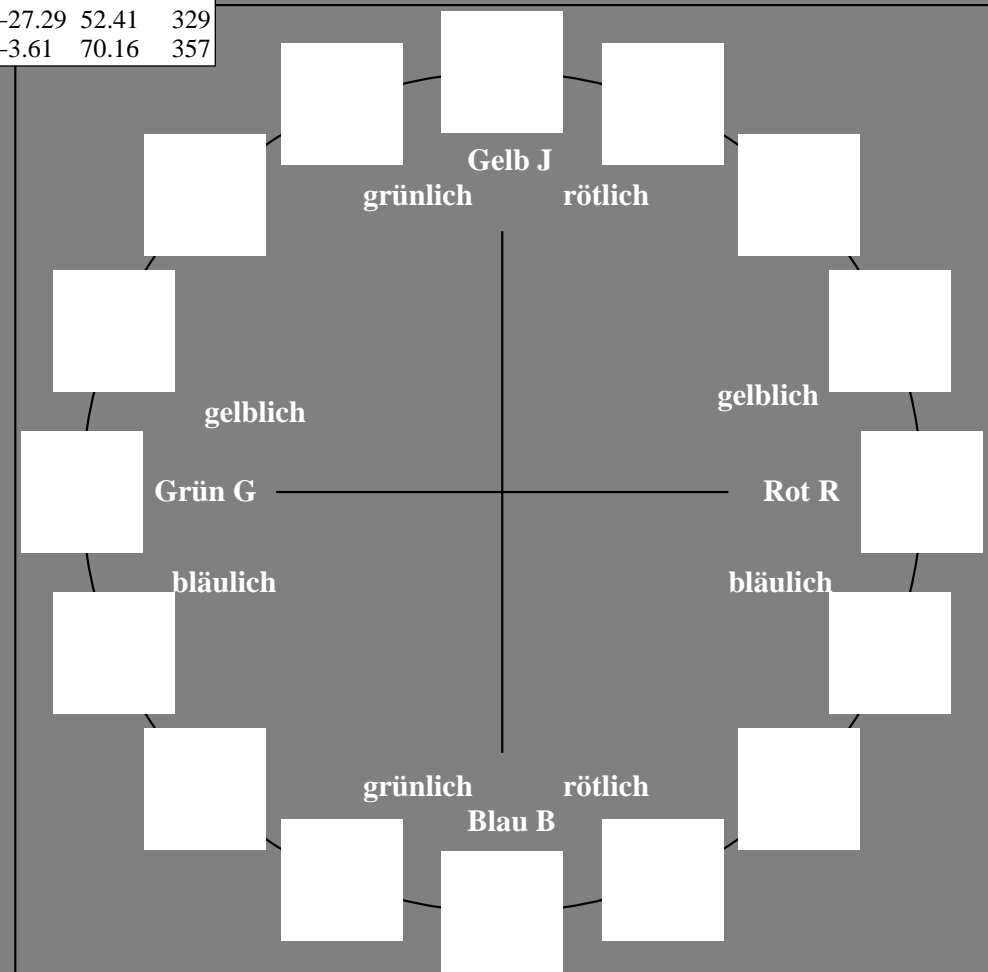
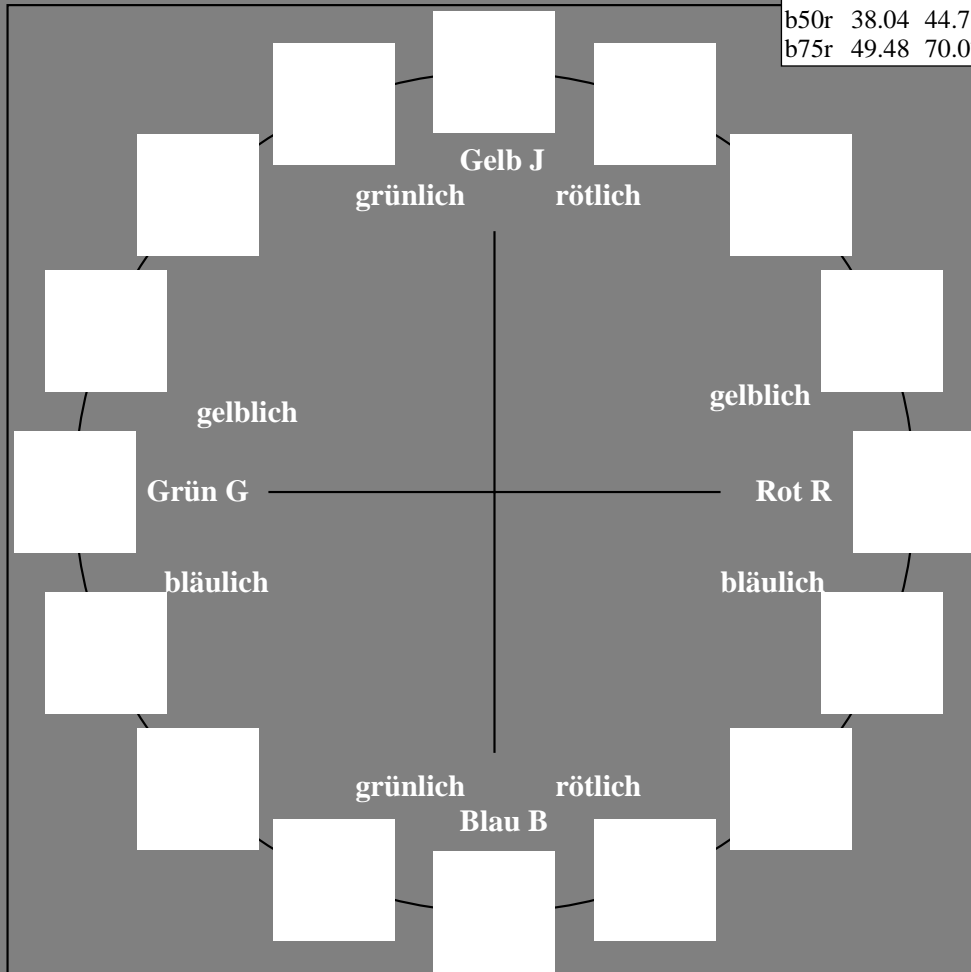
%Regularität

$g^*_{H,rel} = 72$

$g^*_{C,rel} = 57$

ORS20\_95a; adaptierte CIELAB-Daten

	$L^*=L^*_a$	$a^*_a$	$b^*_a$	$C^*_{ab,a}$	$h^*_{ab,a}$
O <sub>Ma</sub>	48.75	62.56	37.91	73.15	31
Y <sub>Ma</sub>	90.92	-9.88	83.88	84.46	97
L <sub>Ma</sub>	52.69	-62.9	19.95	66.0	162
C <sub>Ma</sub>	59.61	-27.85	-44.43	52.45	238
V <sub>Ma</sub>	28.39	22.72	-42.42	48.13	298
M <sub>Ma</sub>	49.58	71.08	-9.19	71.67	353
N <sub>Ma</sub>	20.0	0.0	0.0	0.0	0
W <sub>Ma</sub>	95.0	0.0	0.0	0.0	0
R <sub>CIE</sub>	39.92	58.74	27.99	65.07	25
J <sub>CIE</sub>	81.26	-2.88	71.56	71.62	92
G <sub>CIE</sub>	52.23	-42.41	13.6	44.55	162
B <sub>CIE</sub>	30.57	1.41	-46.46	46.49	272



Ein und Ausgabe: Farbmétrisches Drucker-Reflektiv-System ORS20\_95a für relativen CIELAB-Bunton  $h^* = lab^*h^* = h_{ab}/360 = 25/360 = 0.071$

Daten für jede Farbe:

$lab^*tch^*$  und  $lab^*icu^*$

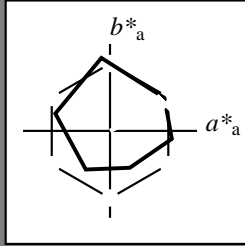
Elementar-Buntontext:

$u^* = r00j$

Kontrastreduzierungsfaktor:

$c_R = 0.96$

Dreiecks-Helligkeit  $t^*$



ORS20\_95a; adaptierte CIELAB-Daten

	$L^*=L^*_a$	$a^*_a$	$b^*_a$	$C^*_{ab,a}$	$h^*_{ab,a}$
$O_{Ma}$	48.75	62.56	37.91	73.15	31
$Y_{Ma}$	90.92	-9.88	83.88	84.46	97
$L_{Ma}$	52.69	-62.9	19.95	66.0	162
$C_{Ma}$	59.61	-27.85	-44.43	52.45	238
$V_{Ma}$	28.39	22.72	-42.42	48.13	298
$M_{Ma}$	49.58	71.08	-9.19	71.67	353
$N_{Ma}$	20.0	0.0	0.0	0.0	0
$W_{Ma}$	95.0	0.0	0.0	0.0	0
$R_{CIE}$	39.92	58.74	27.99	65.07	25
$J_{CIE}$	81.26	-2.88	71.56	71.62	92
$G_{CIE}$	52.23	-42.41	13.6	44.55	162
$B_{CIE}$	30.57	1.41	-46.46	46.49	272

Daten für Maximalfarbe (Ma):

$LAB^*LAB^*_{Ma}$ : 49 64 30

$LAB^*LCH^*_{Ma}$ : 49 71 25

$lab^*rgb^*_{Ma}$ : 1.0 0.0 0.0

$lab^*olv^*_{Ma}$ : 1.0 0.0 0.16

Dreiecks-Helligkeit  $t^*$

%Umfang

$u^*_{rel} = 83$

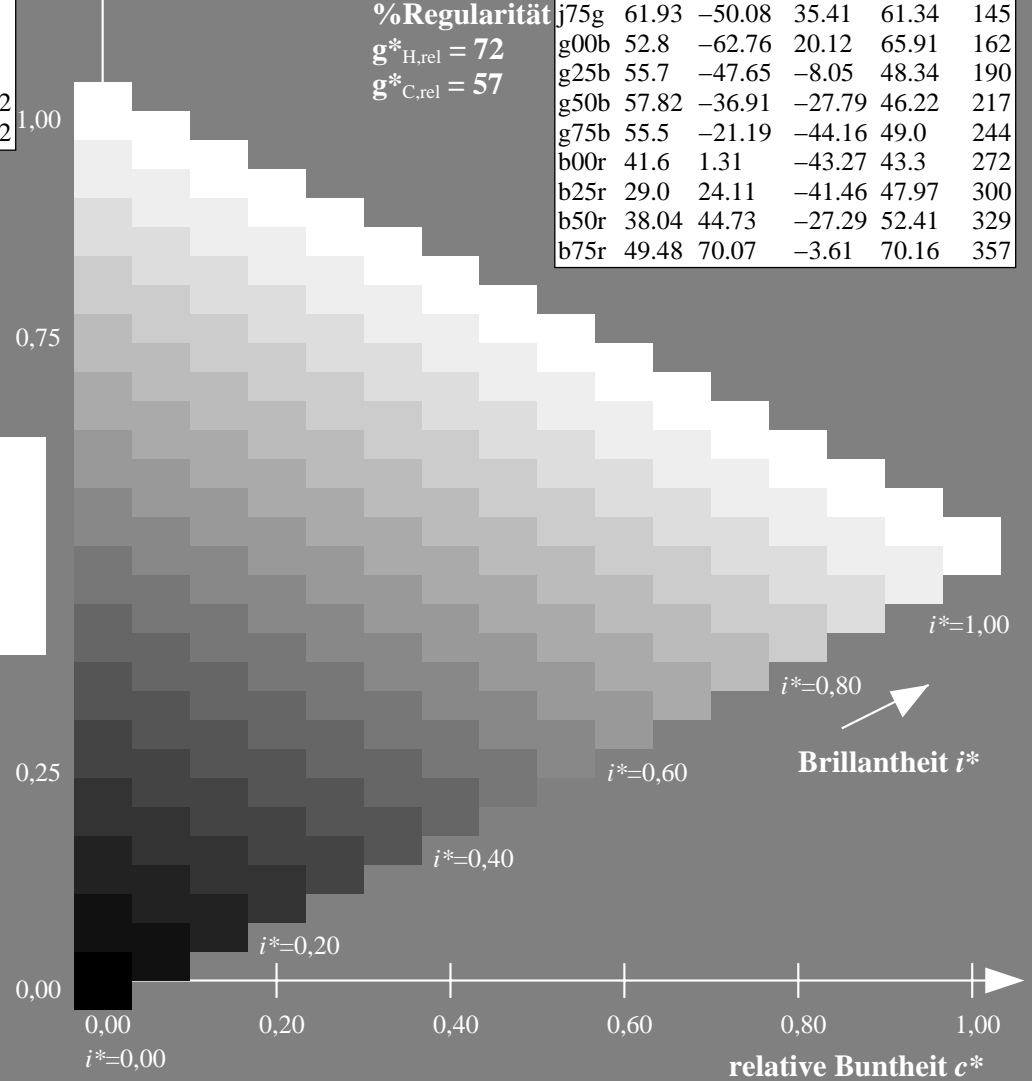
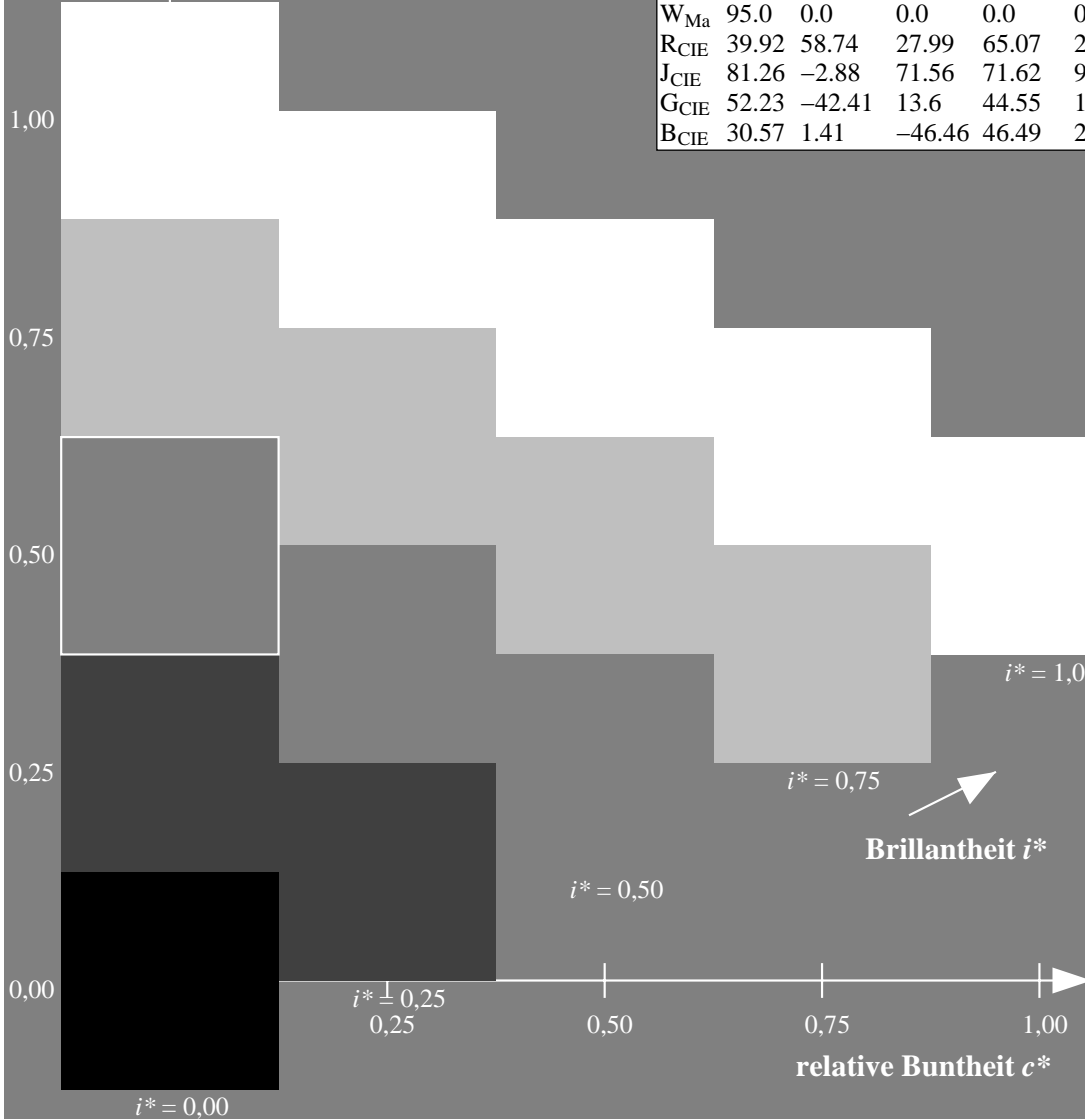
%Regularität

$g^*_{H,rel} = 72$

$g^*_{C,rel} = 57$

ORS20\_95a; adaptierte CIELAB-Daten

	$L^*=L^*_a$	$a^*_a$	$b^*_a$	$C^*_{ab,a}$	$h^*_{ab,a}$
r00j	48.88	63.91	30.45	70.79	25
r25j	55.85	50.36	45.65	67.97	42
r50j	65.45	33.86	56.12	65.54	59
r75j	75.19	17.13	66.73	68.89	76
j00g	87.03	-3.21	79.64	79.7	92
j25g	80.72	-24.03	66.82	71.01	110
j50g	70.64	-38.01	49.96	62.78	127
j75g	61.93	-50.08	35.41	61.34	145
g00b	52.8	-62.76	20.12	65.91	162
g25b	55.7	-47.65	-8.05	48.34	190
g50b	57.82	-36.91	-27.79	46.22	217
g75b	55.5	-21.19	-44.16	49.0	244
b00r	41.6	1.31	-43.27	43.3	272
b25r	29.0	24.11	-41.46	47.97	300
b50r	38.04	44.73	-27.29	52.41	329
b75r	49.48	70.07	-3.61	70.16	357



Ein und Ausgabe: Farbmétrisches Drucker-Reflektiv-System ORS20\_95a für relativen CIELAB-Bunton  $h^* = lab^*h^* = h_{ab}/360 = 42/360 = 0.117$

Daten für jede Farbe:

$lab^*tch^*$  und  $lab^*icu^*$

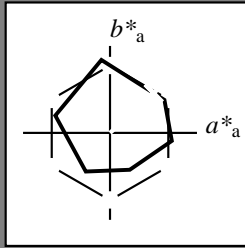
Elementar-Buntontext:

$u^* = r25j$

Kontrastreduzierungsfaktor:

$c_R = 0.96$

Dreiecks-Helligkeit  $t^*$



ORS20\_95a; adaptierte CIELAB-Daten

	$L^*=L^*_a$	$a^*_a$	$b^*_a$	$C^*_{ab,a}$	$h^*_{ab,a}$
$O_{Ma}$	48.75	62.56	37.91	73.15	31
$Y_{Ma}$	90.92	-9.88	83.88	84.46	97
$L_{Ma}$	52.69	-62.9	19.95	66.0	162
$C_{Ma}$	59.61	-27.85	-44.43	52.45	238
$V_{Ma}$	28.39	22.72	-42.42	48.13	298
$M_{Ma}$	49.58	71.08	-9.19	71.67	353
$N_{Ma}$	20.0	0.0	0.0	0.0	0
$W_{Ma}$	95.0	0.0	0.0	0.0	0
$R_{CIE}$	39.92	58.74	27.99	65.07	25
$J_{CIE}$	81.26	-2.88	71.56	71.62	92
$G_{CIE}$	52.23	-42.41	13.6	44.55	162
$B_{CIE}$	30.57	1.41	-46.46	46.49	272

Daten für Maximalfarbe (Ma):

$LAB^*LAB^*_{Ma}: 56\ 50\ 46$

$LAB^*LCH^*_{Ma}: 56\ 68\ 42$

$lab^*rgb^*_{Ma}: 1.0\ 0.25\ 0.0$

$lab^*olv^*_{Ma}: 1.0\ 0.17\ 0.0$

Dreiecks-Helligkeit  $t^*$

%Umfang

$u^*_{rel} = 83$

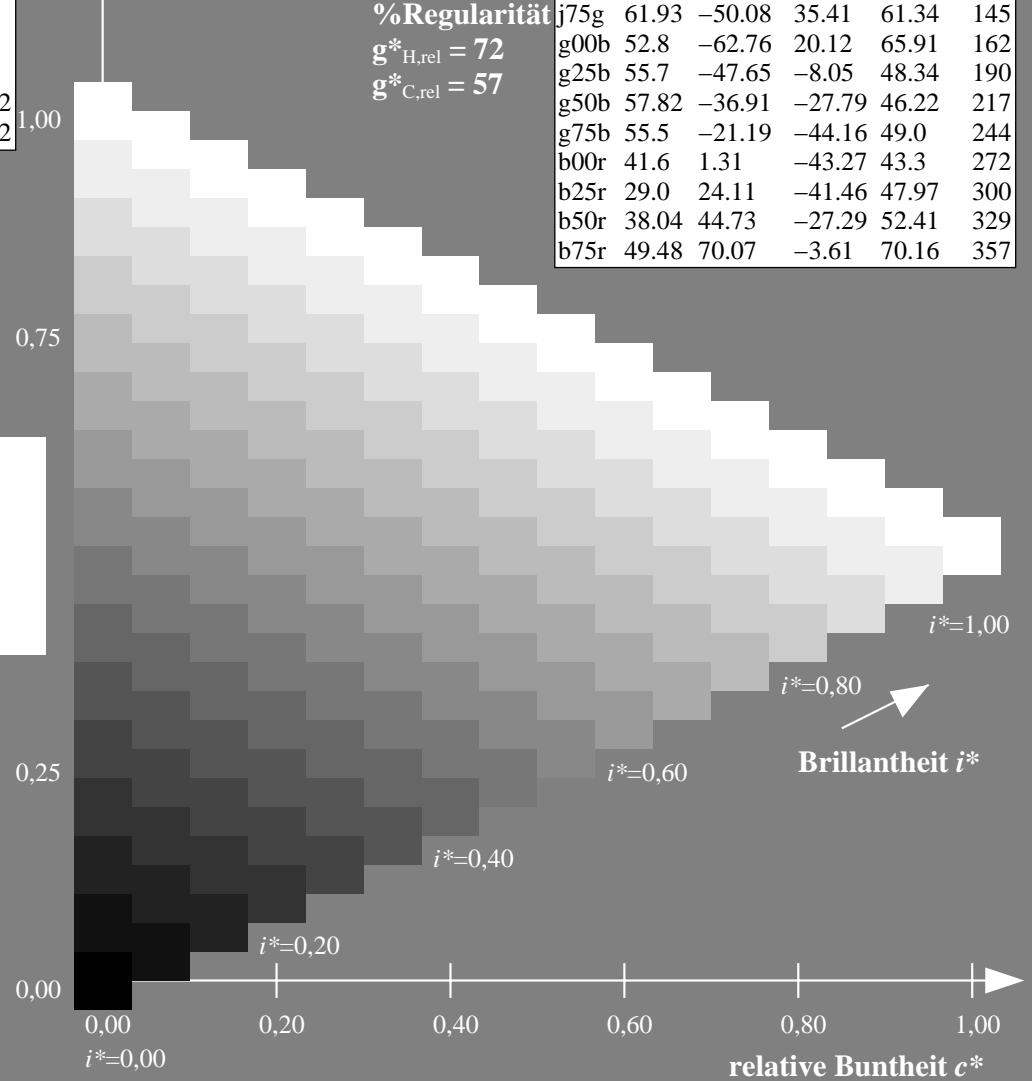
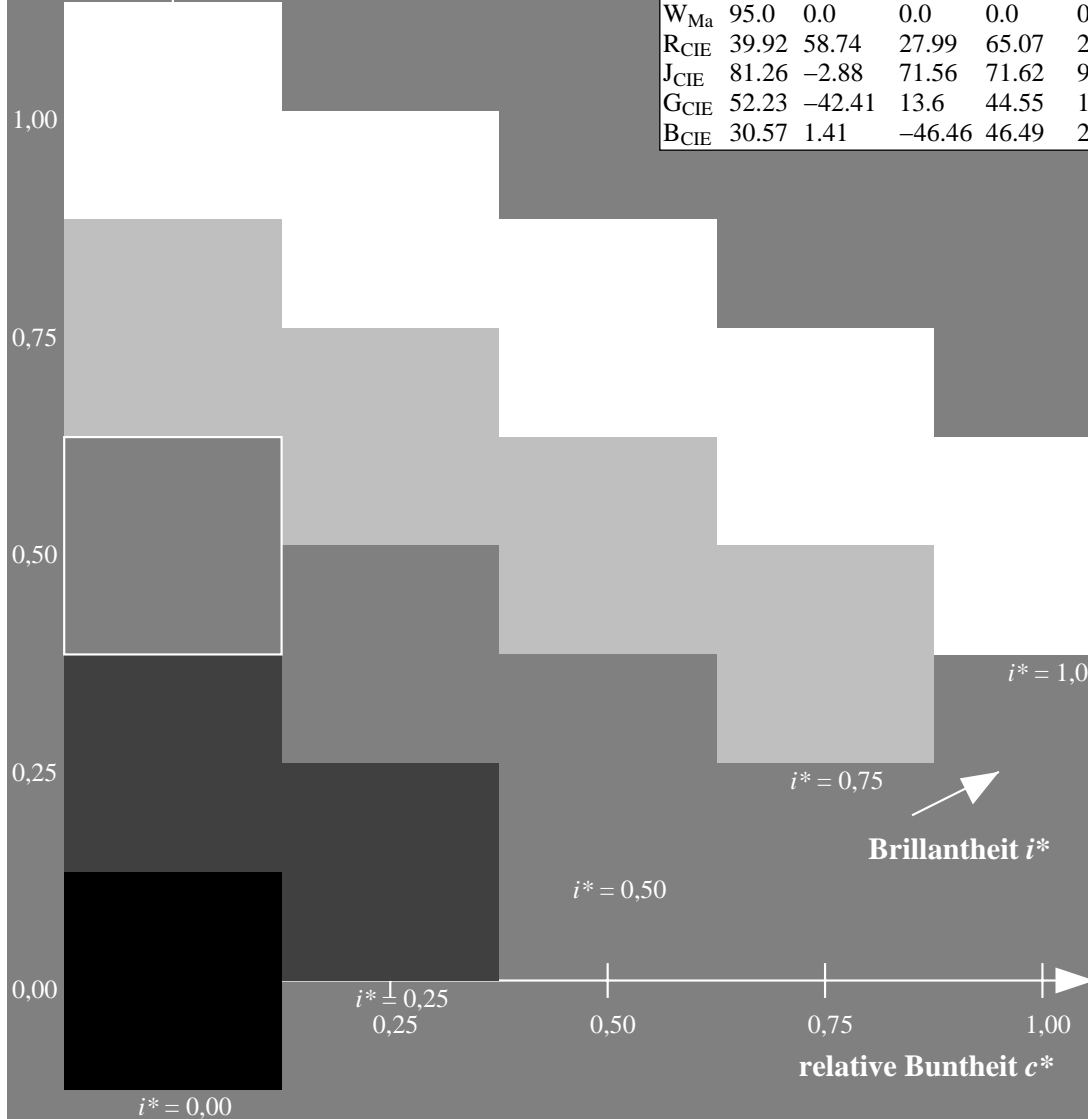
%Regularität

$g^*_{H,rel} = 72$

$g^*_{C,rel} = 57$

ORS20\_95a; adaptierte CIELAB-Daten

	$L^*=L^*_a$	$a^*_a$	$b^*_a$	$C^*_{ab,a}$	$h^*_{ab,a}$
r00j	48.88	63.91	30.45	70.79	25
r25j	55.85	50.36	45.65	67.97	42
r50j	65.45	33.86	56.12	65.54	59
r75j	75.19	17.13	66.73	68.89	76
j00g	87.03	-3.21	79.64	79.7	92
j25g	80.72	-24.03	66.82	71.01	110
j50g	70.64	-38.01	49.96	62.78	127
j75g	61.93	-50.08	35.41	61.34	145
g00b	52.8	-62.76	20.12	65.91	162
g25b	55.7	-47.65	-8.05	48.34	190
g50b	57.82	-36.91	-27.79	46.22	217
g75b	55.5	-21.19	-44.16	49.0	244
b00r	41.6	1.31	-43.27	43.3	272
b25r	29.0	24.11	-41.46	47.97	300
b50r	38.04	44.73	-27.29	52.41	329
b75r	49.48	70.07	-3.61	70.16	357



Ein und Ausgabe: Farbmétrisches Drucker-Reflektiv-System ORS20\_95a für relativen CIELAB-Bunton  $h^* = lab^*h^* = h_{ab}/360 = 59/360 = 0.164$

Daten für jede Farbe:

$lab^*tch^*$  und  $lab^*icu^*$

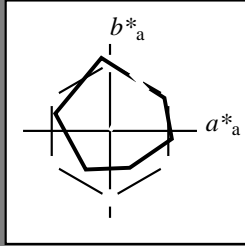
Elementar-Buntontext:

$u^* = r50j$

Kontrastreduzierungsfaktor:

$c_R = 0.96$

Dreiecks-Helligkeit  $t^*$



ORS20\_95a; adaptierte CIELAB-Daten

	$L^*=L^*_a$	$a^*_a$	$b^*_a$	$C^*_{ab,a}$	$h^*_{ab,a}$
$O_{Ma}$	48.75	62.56	37.91	73.15	31
$Y_{Ma}$	90.92	-9.88	83.88	84.46	97
$L_{Ma}$	52.69	-62.9	19.95	66.0	162
$C_{Ma}$	59.61	-27.85	-44.43	52.45	238
$V_{Ma}$	28.39	22.72	-42.42	48.13	298
$M_{Ma}$	49.58	71.08	-9.19	71.67	353
$N_{Ma}$	20.0	0.0	0.0	0.0	0
$W_{Ma}$	95.0	0.0	0.0	0.0	0
$R_{CIE}$	39.92	58.74	27.99	65.07	25
$J_{CIE}$	81.26	-2.88	71.56	71.62	92
$G_{CIE}$	52.23	-42.41	13.6	44.55	162
$B_{CIE}$	30.57	1.41	-46.46	46.49	272

Daten für Maximalfarbe (Ma):

$LAB^*LAB^*_{Ma}$ : 65 34 56

$LAB^*LCH^*_{Ma}$ : 65 66 59

$lab^*rgb^*_{Ma}$ : 1.0 0.5 0.0

$lab^*olv^*_{Ma}$ : 1.0 0.4 0.0

Dreiecks-Helligkeit  $t^*$

%Umfang

$u^*_{rel} = 83$

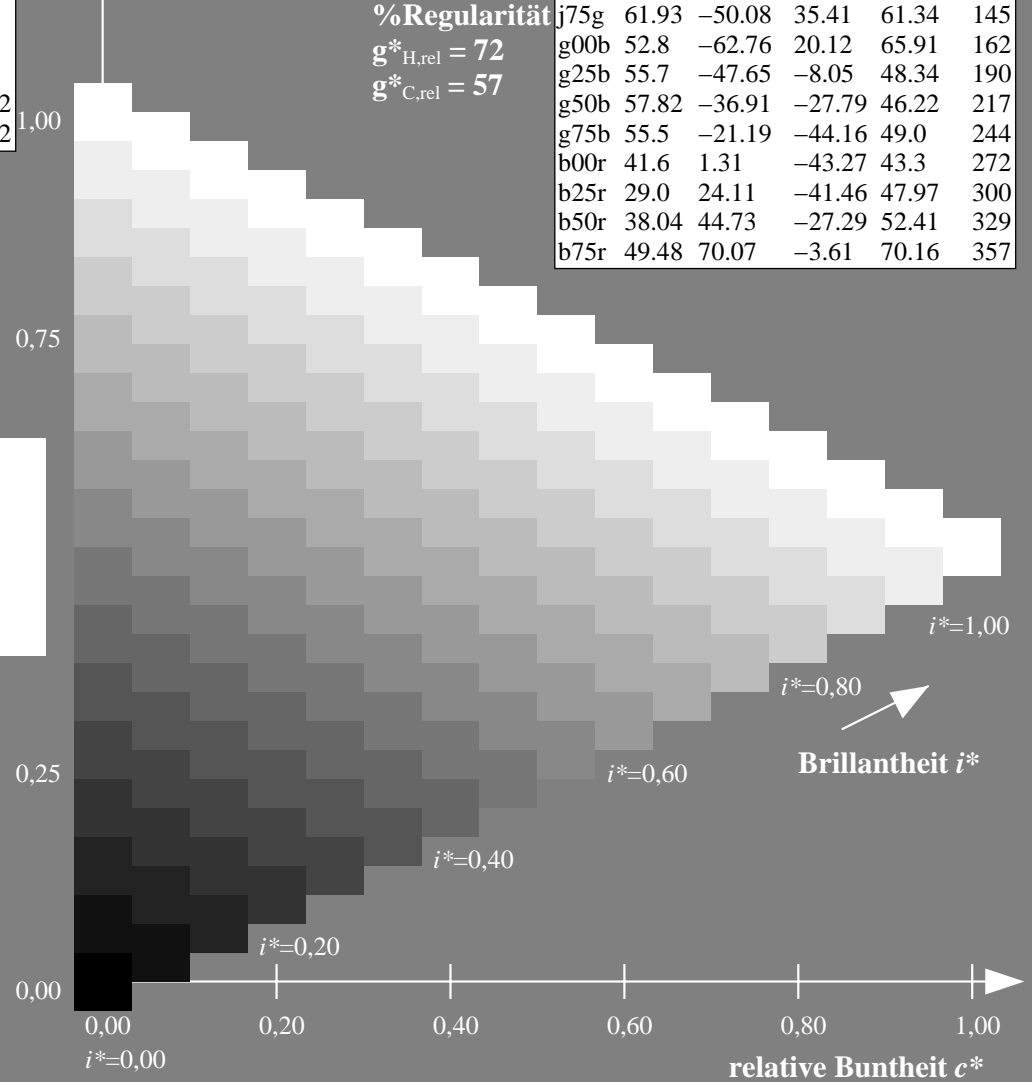
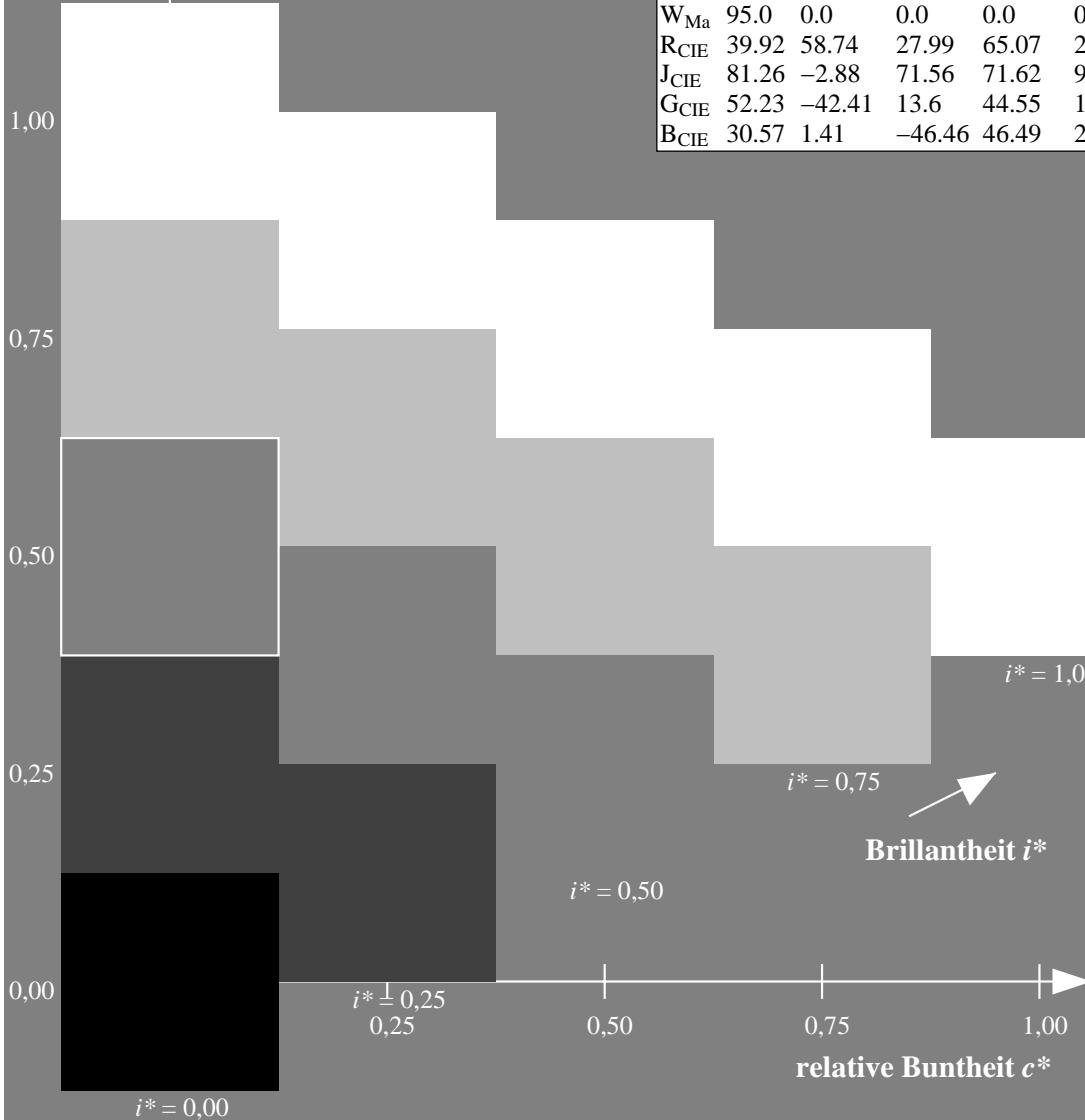
%Regularität

$g^*_{H,rel} = 72$

$g^*_{C,rel} = 57$

ORS20\_95a; adaptierte CIELAB-Daten

	$L^*=L^*_a$	$a^*_a$	$b^*_a$	$C^*_{ab,a}$	$h^*_{ab,a}$
r00j	48.88	63.91	30.45	70.79	25
r25j	55.85	50.36	45.65	67.97	42
r50j	65.45	33.86	56.12	65.54	59
r75j	75.19	17.13	66.73	68.89	76
j00g	87.03	-3.21	79.64	79.7	92
j25g	80.72	-24.03	66.82	71.01	110
j50g	70.64	-38.01	49.96	62.78	127
j75g	61.93	-50.08	35.41	61.34	145
g00b	52.8	-62.76	20.12	65.91	162
g25b	55.7	-47.65	-8.05	48.34	190
g50b	57.82	-36.91	-27.79	46.22	217
g75b	55.5	-21.19	-44.16	49.0	244
b00r	41.6	1.31	-43.27	43.3	272
b25r	29.0	24.11	-41.46	47.97	300
b50r	38.04	44.73	-27.29	52.41	329
b75r	49.48	70.07	-3.61	70.16	357



Ein und Ausgabe: Farbmetrisches Drucker-Reflektiv-System ORS20\_95a für relativen CIELAB-Bunton  $h^* = lab^*h^* = h_{ab}/360 = 76/360 = 0.21$

Daten für jede Farbe:

$lab^*tch^*$  und  $lab^*icu^*$

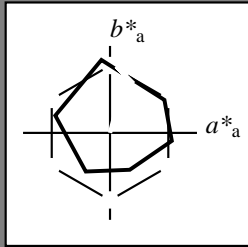
Elementar-Buntontext:

$u^* = r75j$

Kontrastreduzierungsfaktor:

$c_R = 0.96$

Dreiecks-Helligkeit  $t^*$



ORS20_95a; adaptierte CIELAB-Daten					
	$L^*=L^*_a$	$a^*_a$	$b^*_a$	$C^*_{ab,a}$	$h^*_{ab,a}$
$O_{Ma}$	48.75	62.56	37.91	73.15	31
$Y_{Ma}$	90.92	-9.88	83.88	84.46	97
$L_{Ma}$	52.69	-62.9	19.95	66.0	162
$C_{Ma}$	59.61	-27.85	-44.43	52.45	238
$V_{Ma}$	28.39	22.72	-42.42	48.13	298
$M_{Ma}$	49.58	71.08	-9.19	71.67	353
$N_{Ma}$	20.0	0.0	0.0	0.0	0
$W_{Ma}$	95.0	0.0	0.0	0.0	0
$R_{CIE}$	39.92	58.74	27.99	65.07	25
$J_{CIE}$	81.26	-2.88	71.56	71.62	92
$G_{CIE}$	52.23	-42.41	13.6	44.55	162
$B_{CIE}$	30.57	1.41	-46.46	46.49	272

Daten für Maximalfarbe (Ma):

$LAB^*LAB^*_{Ma}: 75\ 17\ 67$

$LAB^*LCH^*_{Ma}: 75\ 69\ 76$

$lab^*rgb^*_{Ma}: 1.0\ 0.75\ 0.0$

$lab^*olv^*_{Ma}: 1.0\ 0.63\ 0.0$

ORS20_95a; adaptierte CIELAB-Daten					
	$L^*=L^*_a$	$a^*_a$	$b^*_a$	$C^*_{ab,a}$	$h^*_{ab,a}$
r00j	48.88	63.91	30.45	70.79	25
r25j	55.85	50.36	45.65	67.97	42
r50j	65.45	33.86	56.12	65.54	59
r75j	75.19	17.13	66.73	68.89	76
j00g	87.03	-3.21	79.64	79.7	92
j25g	80.72	-24.03	66.82	71.01	110
j50g	70.64	-38.01	49.96	62.78	127
j75g	61.93	-50.08	35.41	61.34	145
g00b	52.8	-62.76	20.12	65.91	162
g25b	55.7	-47.65	-8.05	48.34	190
g50b	57.82	-36.91	-27.79	46.22	217
g75b	55.5	-21.19	-44.16	49.0	244
b00r	41.6	1.31	-43.27	43.3	272
b25r	29.0	24.11	-41.46	47.97	300
b50r	38.04	44.73	-27.29	52.41	329
b75r	49.48	70.07	-3.61	70.16	357

Dreiecks-Helligkeit  $t^*$

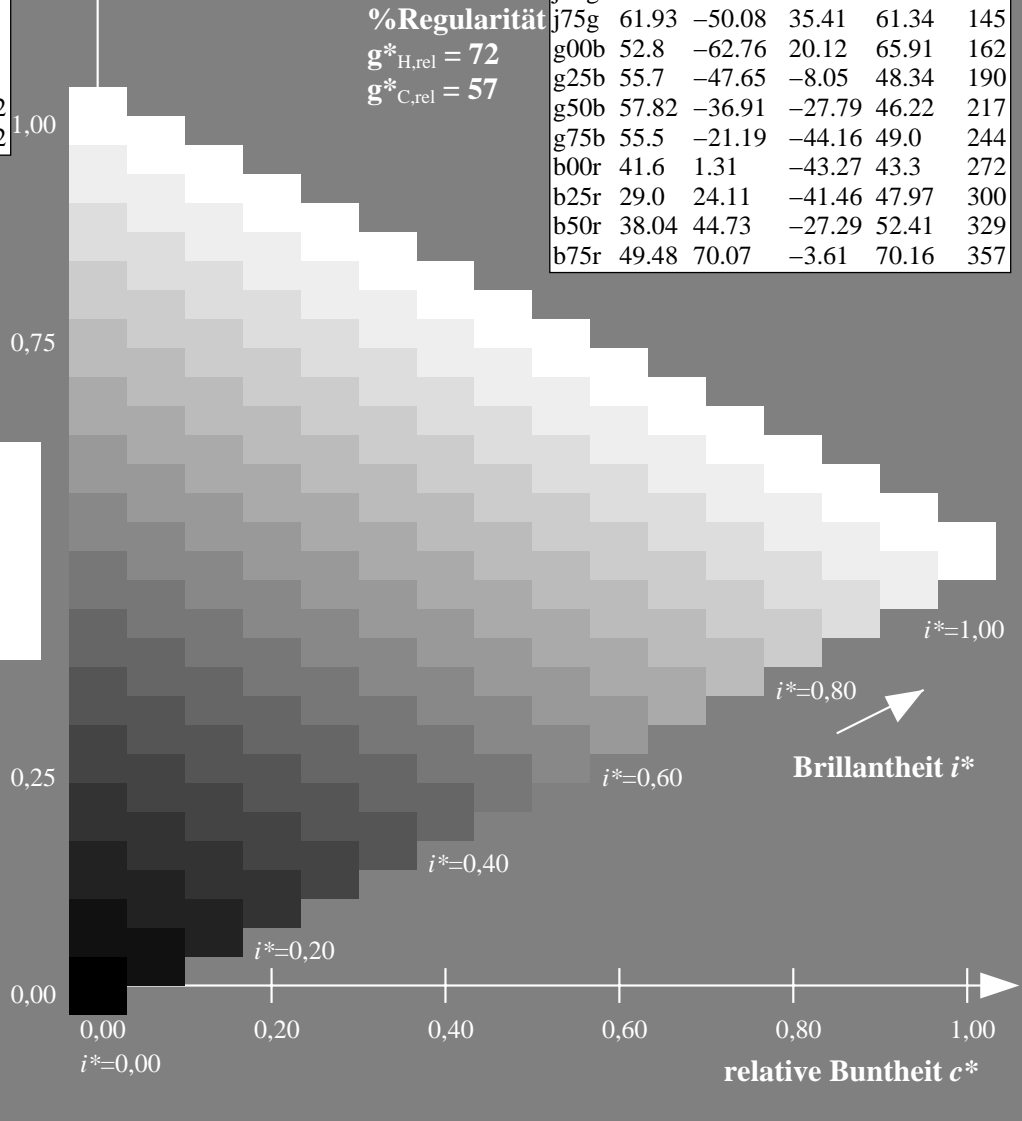
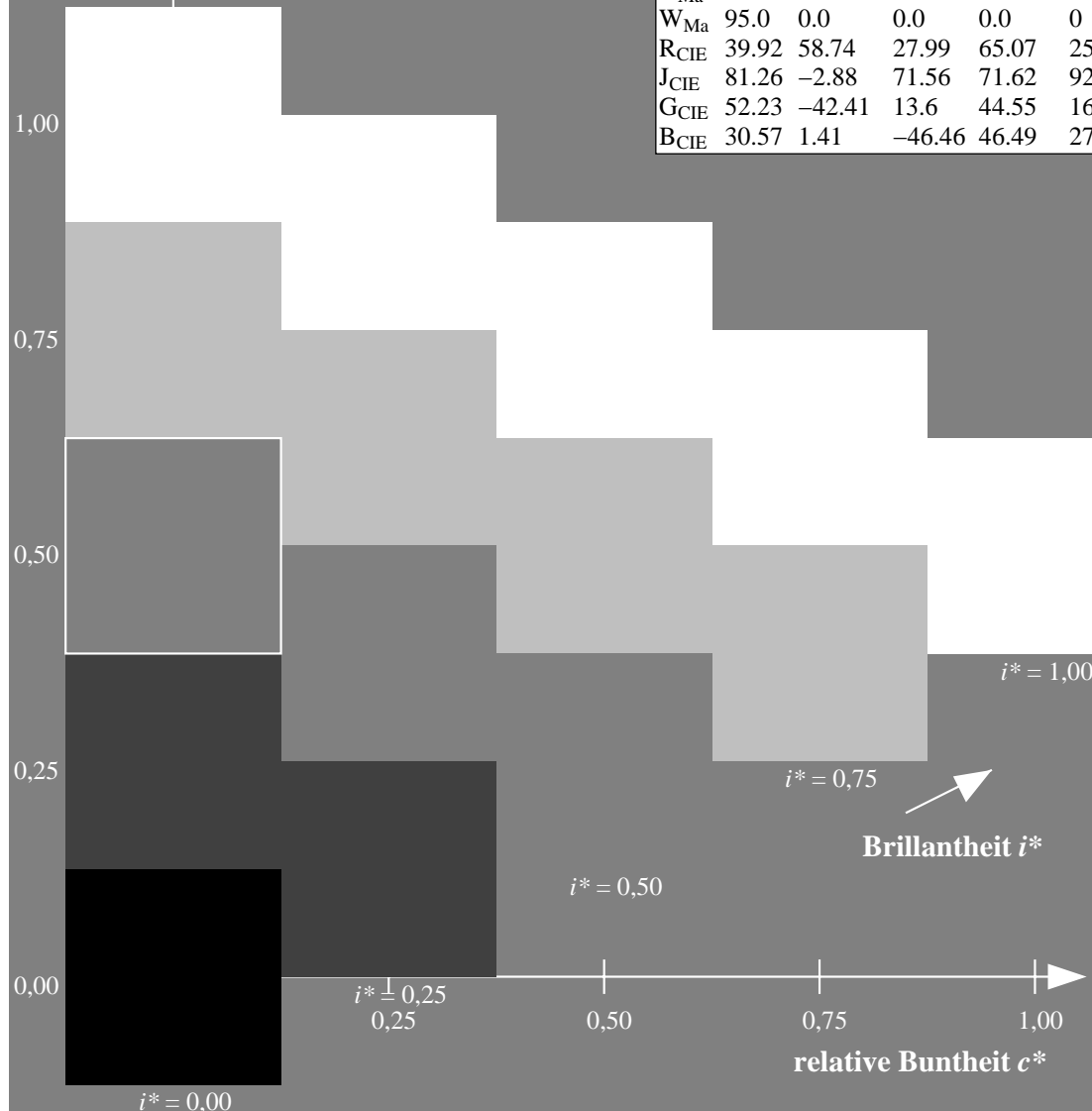
%Umfang

$u^*_{rel} = 83$

%Regularität

$g^*_{H,rel} = 72$

$g^*_{C,rel} = 57$



Ein und Ausgabe: Farbmetrisches Drucker-Reflektiv-System ORS20\_95a für relativen CIELAB-Bunton  $h^* = lab^*h^* = h_{ab}/360 = 92/360 = 0.256$

Daten für jede Farbe:

$lab^*tch^*$  und  $lab^*icu^*$

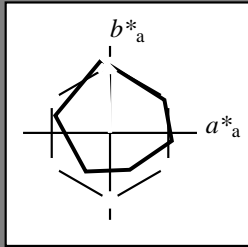
Elementar-Buntontext:

$u^* = j00g$

Kontrastreduzierungsfaktor:

$c_R = 0.96$

Dreiecks-Helligkeit  $t^*$



ORS20_95a; adaptierte CIELAB-Daten					
	$L^*=L^*_a$	$a^*_a$	$b^*_a$	$C^*_{ab,a}$	$h^*_{ab,a}$
$O_{Ma}$	48.75	62.56	37.91	73.15	31
$Y_{Ma}$	90.92	-9.88	83.88	84.46	97
$L_{Ma}$	52.69	-62.9	19.95	66.0	162
$C_{Ma}$	59.61	-27.85	-44.43	52.45	238
$V_{Ma}$	28.39	22.72	-42.42	48.13	298
$M_{Ma}$	49.58	71.08	-9.19	71.67	353
$N_{Ma}$	20.0	0.0	0.0	0.0	0
$W_{Ma}$	95.0	0.0	0.0	0.0	0
$R_{CIE}$	39.92	58.74	27.99	65.07	25
$J_{CIE}$	81.26	-2.88	71.56	71.62	92
$G_{CIE}$	52.23	-42.41	13.6	44.55	162
$B_{CIE}$	30.57	1.41	-46.46	46.49	272

Daten für Maximalfarbe (Ma):

$LAB^*LAB^*_{Ma}: 87 -2 80$

$LAB^*LCH^*_{Ma}: 87 80 92$

$lab^*rgb^*_{Ma}: 1.0 1.0 0.0$

$lab^*olv^*_{Ma}: 1.0 0.91 0.0$

ORS20_95a; adaptierte CIELAB-Daten					
	$L^*=L^*_a$	$a^*_a$	$b^*_a$	$C^*_{ab,a}$	$h^*_{ab,a}$
r00j	48.88	63.91	30.45	70.79	25
r25j	55.85	50.36	45.65	67.97	42
r50j	65.45	33.86	56.12	65.54	59
r75j	75.19	17.13	66.73	68.89	76
j00g	87.03	-3.21	79.64	79.7	92
j25g	80.72	-24.03	66.82	71.01	110
j50g	70.64	-38.01	49.96	62.78	127
j75g	61.93	-50.08	35.41	61.34	145
g00b	52.8	-62.76	20.12	65.91	162
g25b	55.7	-47.65	-8.05	48.34	190
g50b	57.82	-36.91	-27.79	46.22	217
g75b	55.5	-21.19	-44.16	49.0	244
b00r	41.6	1.31	-43.27	43.3	272
b25r	29.0	24.11	-41.46	47.97	300
b50r	38.04	44.73	-27.29	52.41	329
b75r	49.48	70.07	-3.61	70.16	357

Dreiecks-Helligkeit  $t^*$

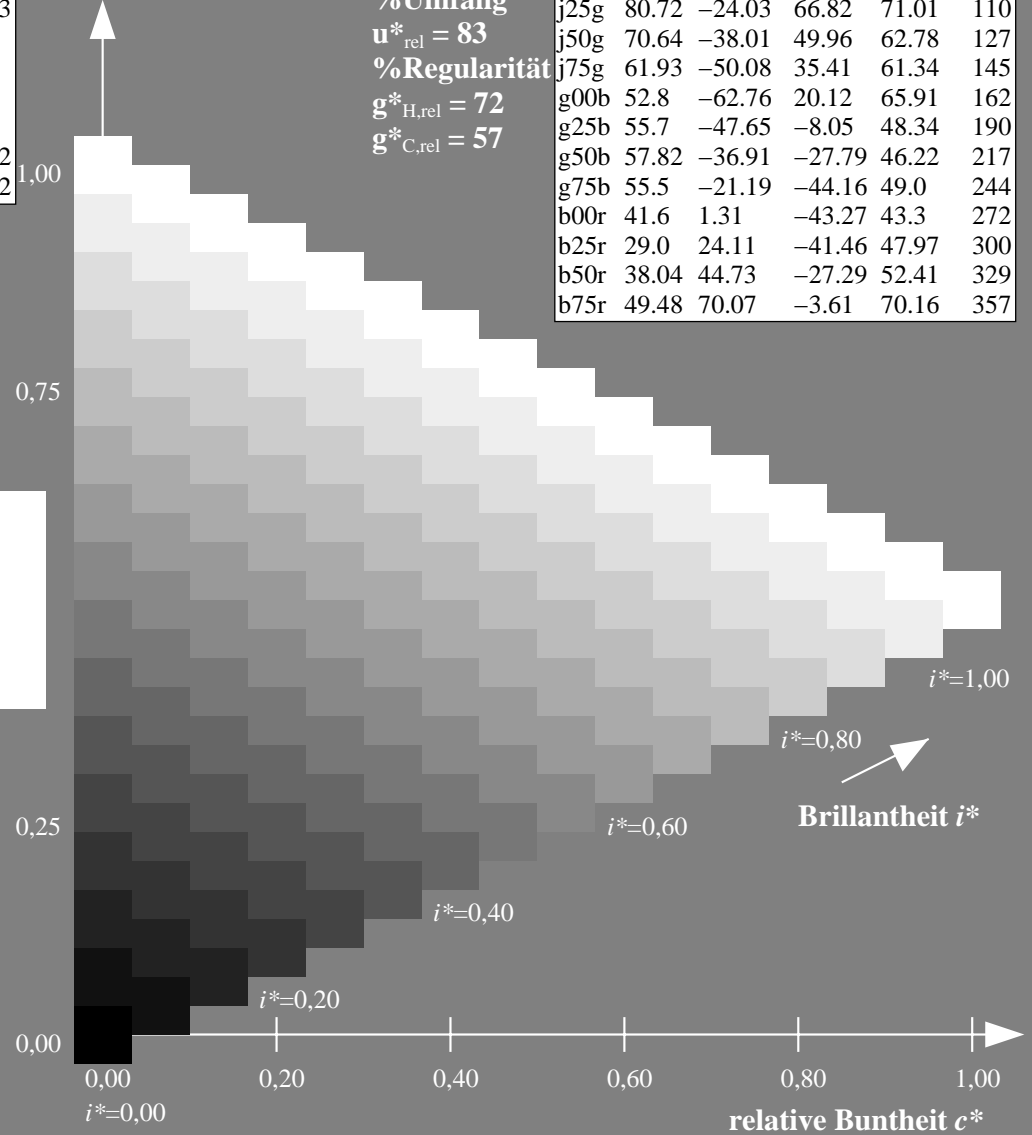
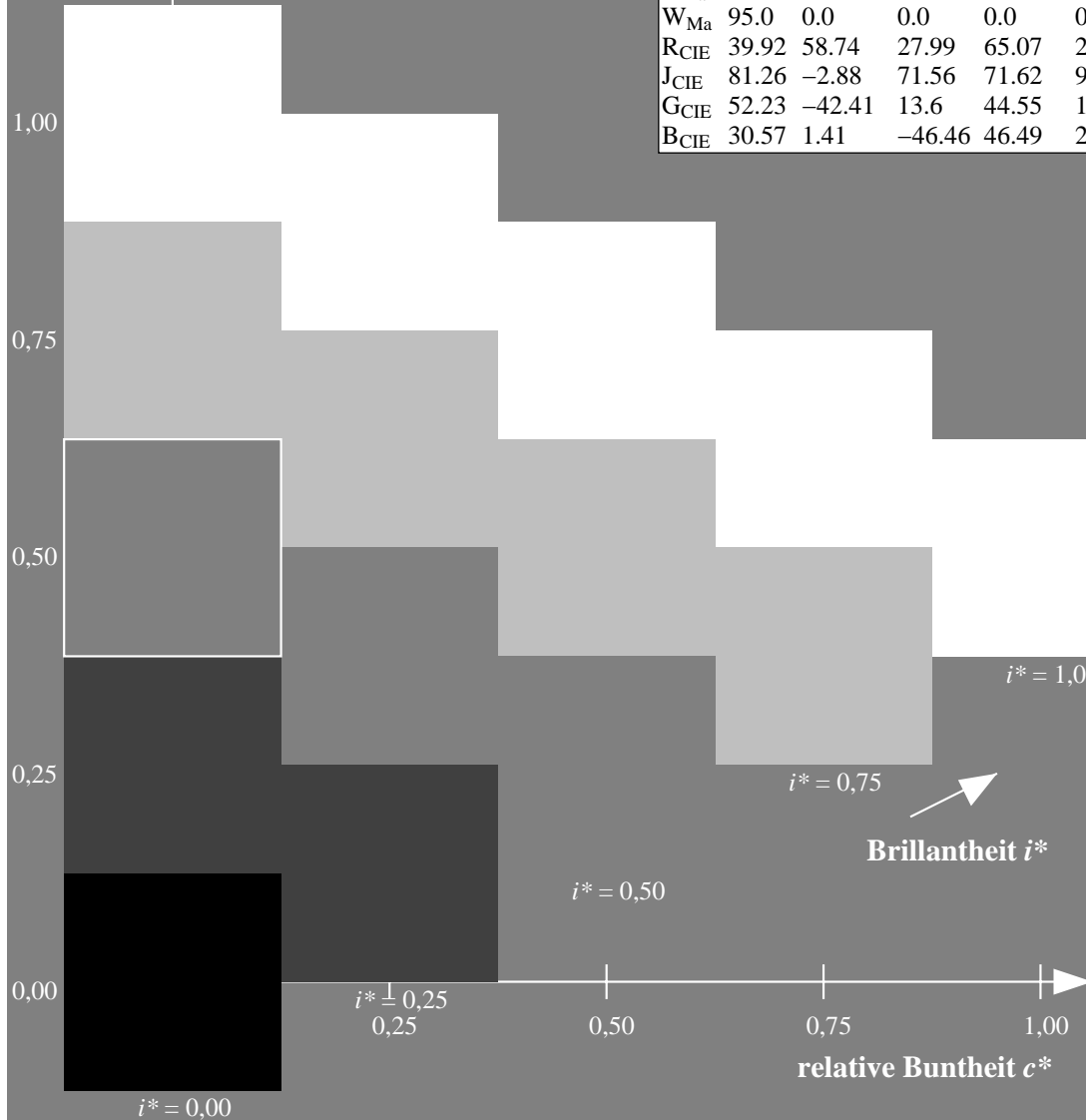
%Umfang

$u^*_{rel} = 83$

%Regularität

$g^*_{H,rel} = 72$

$g^*_{C,rel} = 57$





Ein und Ausgabe: Farbmetrisches Drucker-Reflektiv-System ORS20\_95a für relativen CIELAB-Bunton  $h^* = lab^*h^* = h_{ab}/360 = 110/360 = 0.305$

Daten für jede Farbe:

$lab^*tch^*$  und  $lab^*icu^*$

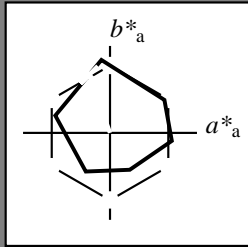
Elementar-Buntontext:

$u^* = j25g$

Kontrastreduzierungsfaktor:

$c_R = 0.96$

Dreiecks-Helligkeit  $t^*$



ORS20_95a; adaptierte CIELAB-Daten					
	$L^*=L^*_a$	$a^*_a$	$b^*_a$	$C^*_{ab,a}$	$h^*_{ab,a}$
$O_{Ma}$	48.75	62.56	37.91	73.15	31
$Y_{Ma}$	90.92	-9.88	83.88	84.46	97
$L_{Ma}$	52.69	-62.9	19.95	66.0	162
$C_{Ma}$	59.61	-27.85	-44.43	52.45	238
$V_{Ma}$	28.39	22.72	-42.42	48.13	298
$M_{Ma}$	49.58	71.08	-9.19	71.67	353
$N_{Ma}$	20.0	0.0	0.0	0.0	0
$W_{Ma}$	95.0	0.0	0.0	0.0	0
$R_{CIE}$	39.92	58.74	27.99	65.07	25
$J_{CIE}$	81.26	-2.88	71.56	71.62	92
$G_{CIE}$	52.23	-42.41	13.6	44.55	162
$B_{CIE}$	30.57	1.41	-46.46	46.49	272

Daten für Maximalfarbe (Ma):

$LAB^*LAB^*_{Ma}$ : 81 -23 67

$LAB^*LCH^*_{Ma}$ : 81 71 110

$lab^*rgb^*_{Ma}$ : 0.75 1.0 0.0

$lab^*olv^*_{Ma}$ : 0.73 1.0 0.0

Dreiecks-Helligkeit  $t^*$

%Umfang

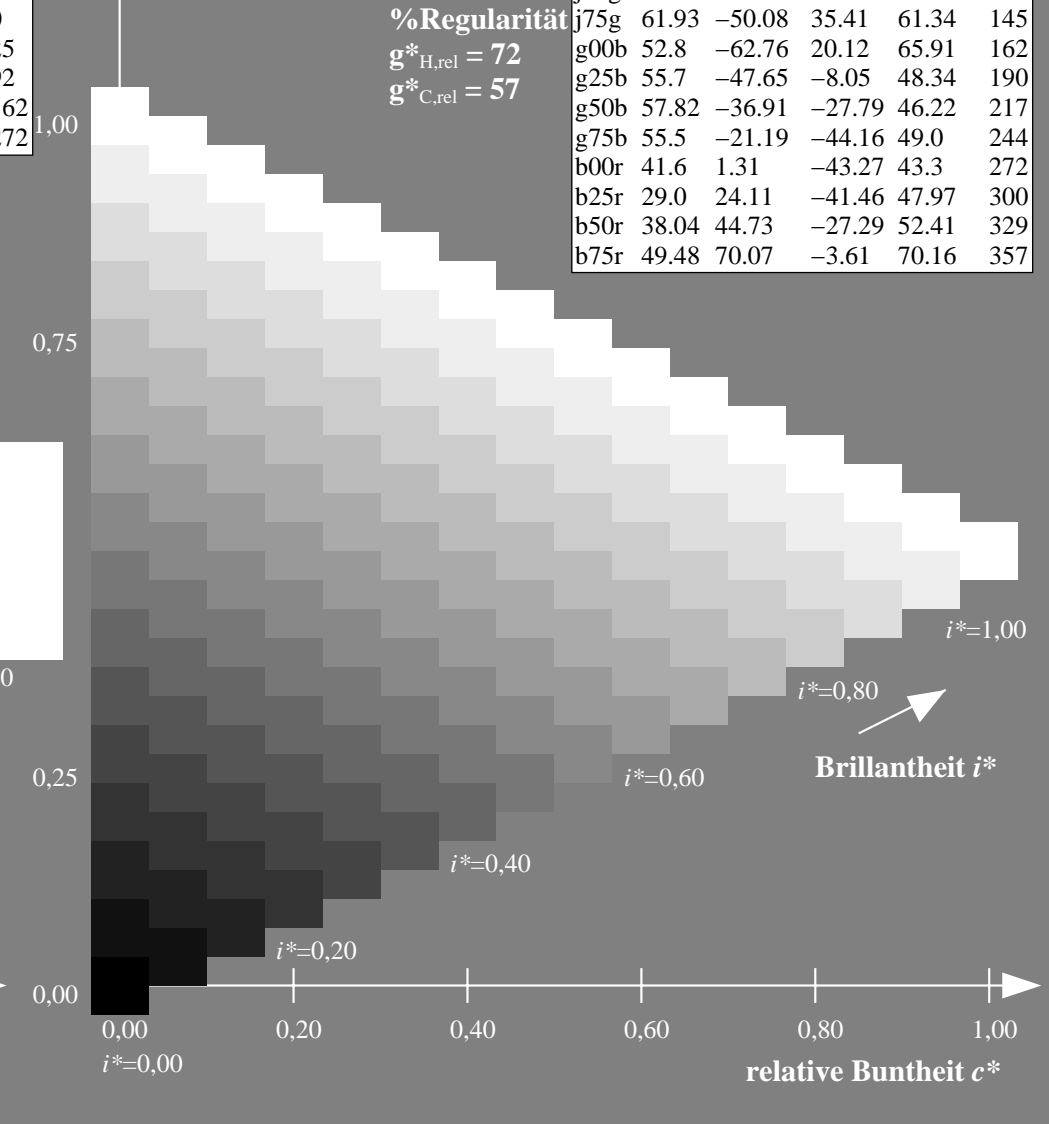
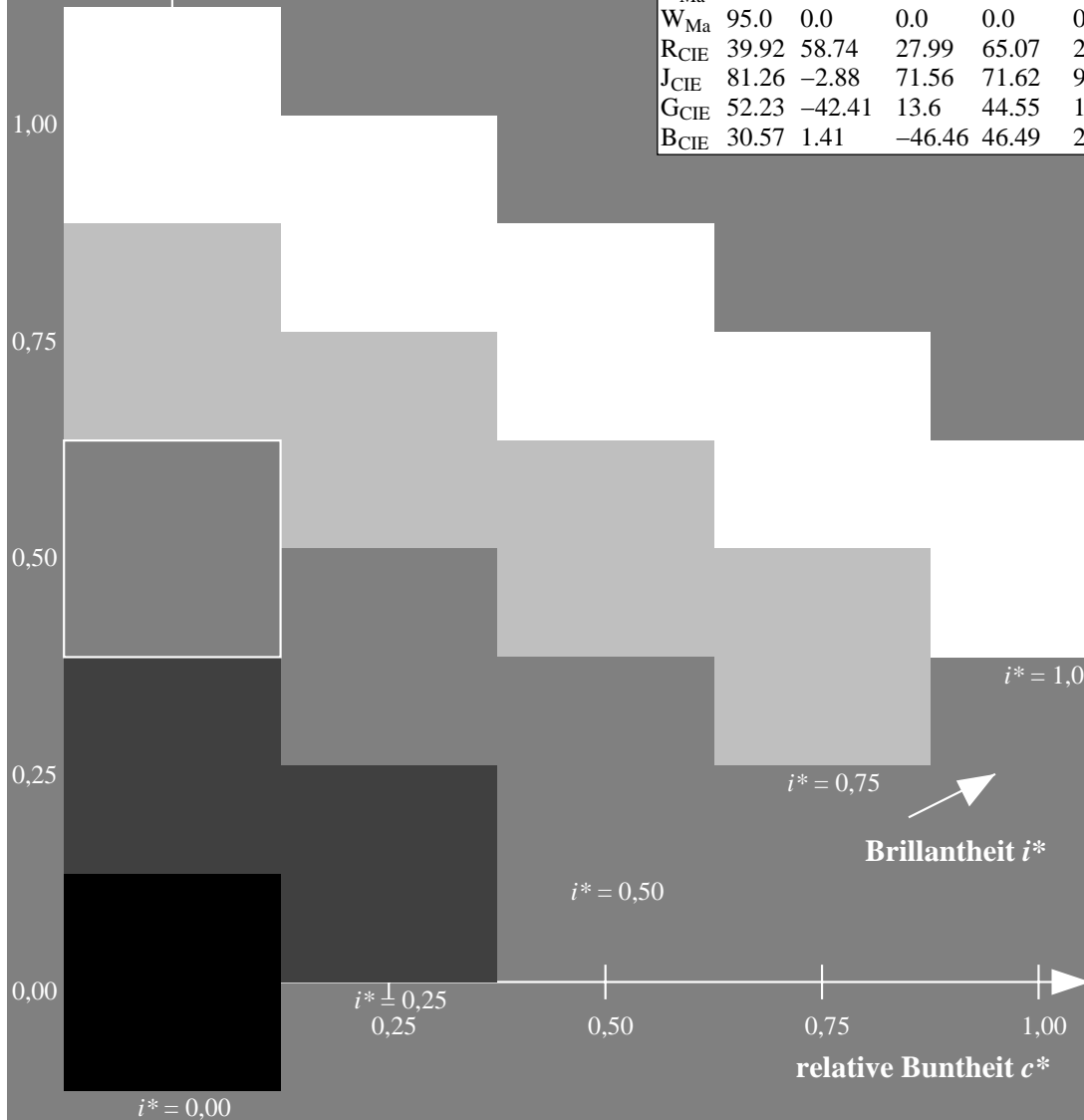
$u^*_{rel} = 83$

%Regularität

$g^*_{H,rel} = 72$

$g^*_{C,rel} = 57$

ORS20_95a; adaptierte CIELAB-Daten					
	$L^*=L^*_a$	$a^*_a$	$b^*_a$	$C^*_{ab,a}$	$h^*_{ab,a}$
r00j	48.88	63.91	30.45	70.79	25
r25j	55.85	50.36	45.65	67.97	42
r50j	65.45	33.86	56.12	65.54	59
r75j	75.19	17.13	66.73	68.89	76
j00g	87.03	-3.21	79.64	79.7	92
j25g	80.72	-24.03	66.82	71.01	110
j50g	70.64	-38.01	49.96	62.78	127
j75g	61.93	-50.08	35.41	61.34	145
g00b	52.8	-62.76	20.12	65.91	162
g25b	55.7	-47.65	-8.05	48.34	190
g50b	57.82	-36.91	-27.79	46.22	217
g75b	55.5	-21.19	-44.16	49.0	244
b00r	41.6	1.31	-43.27	43.3	272
b25r	29.0	24.11	-41.46	47.97	300
b50r	38.04	44.73	-27.29	52.41	329
b75r	49.48	70.07	-3.61	70.16	357



Ein und Ausgabe: Farbmétrisches Drucker-Reflektiv-System ORS20\_95a für relativen CIELAB-Bunton  $h^* = lab^*h^* = h_{ab}/360 = 127/360 = 0.354$

Daten für jede Farbe:

$lab^*tch^*$  und  $lab^*icu^*$

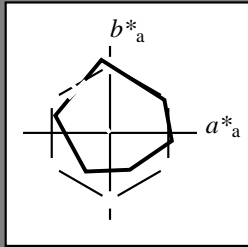
Elementar-Buntontext:

$u^* = j50g$

Kontrastreduzierungsfaktor:

$c_R = 0.96$

Dreiecks-Helligkeit  $t^*$



ORS20_95a; adaptierte CIELAB-Daten					
	$L^*=L^*_a$	$a^*_a$	$b^*_a$	$C^*_{ab,a}$	$h^*_{ab,a}$
$O_{Ma}$	48.75	62.56	37.91	73.15	31
$Y_{Ma}$	90.92	-9.88	83.88	84.46	97
$L_{Ma}$	52.69	-62.9	19.95	66.0	162
$C_{Ma}$	59.61	-27.85	-44.43	52.45	238
$V_{Ma}$	28.39	22.72	-42.42	48.13	298
$M_{Ma}$	49.58	71.08	-9.19	71.67	353
$N_{Ma}$	20.0	0.0	0.0	0.0	0
$W_{Ma}$	95.0	0.0	0.0	0.0	0
$R_{CIE}$	39.92	58.74	27.99	65.07	25
$J_{CIE}$	81.26	-2.88	71.56	71.62	92
$G_{CIE}$	52.23	-42.41	13.6	44.55	162
$B_{CIE}$	30.57	1.41	-46.46	46.49	272

Daten für Maximalfarbe (Ma):

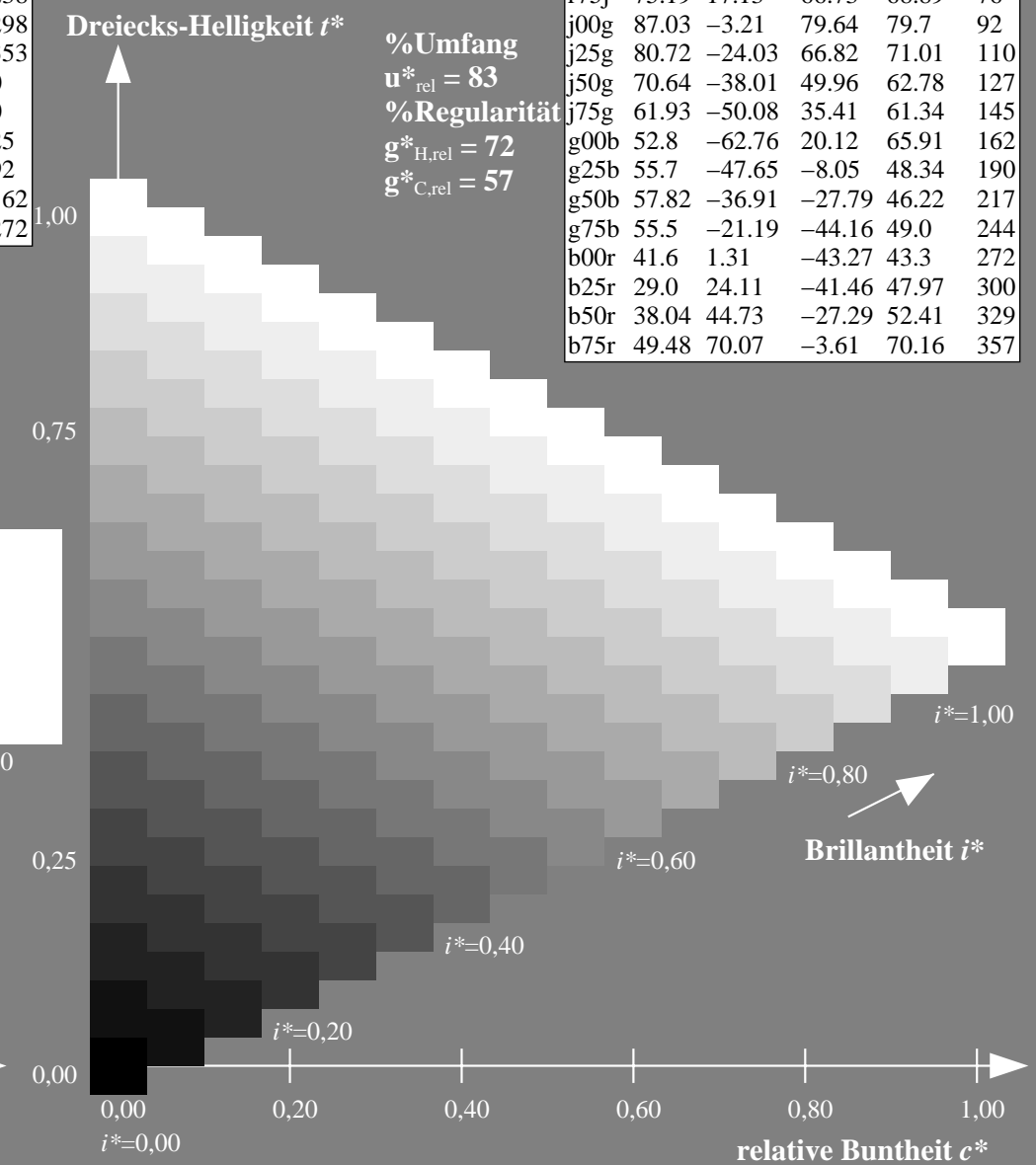
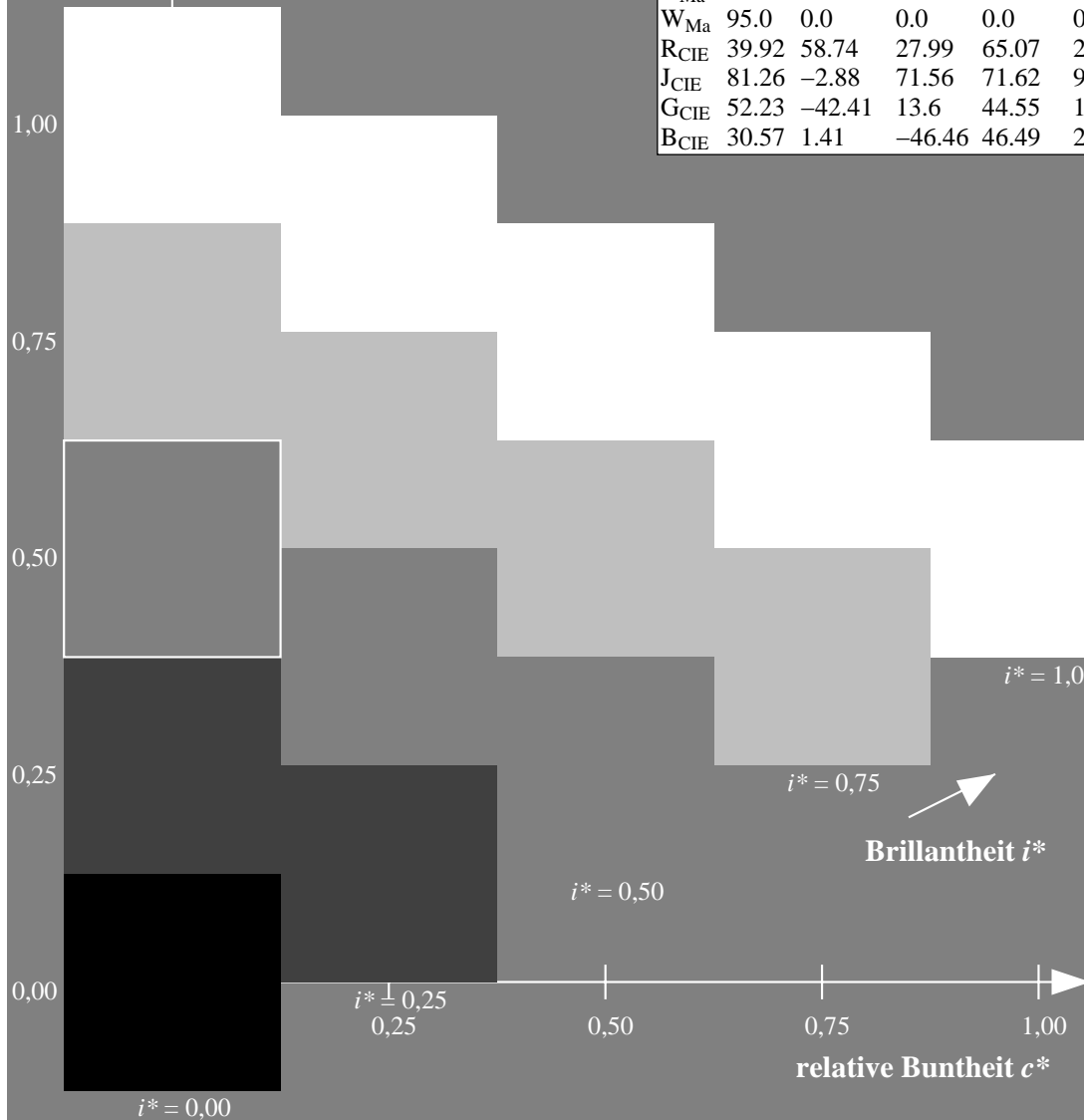
$LAB^*LAB^*_{Ma}: 71 -37 50$

$LAB^*LCH^*_{Ma}: 71 63 127$

$lab^*rgb^*_{Ma}: 0.5 1.0 0.0$

$lab^*olv^*_{Ma}: 0.47 1.0 0.0$

ORS20_95a; adaptierte CIELAB-Daten					
	$L^*=L^*_a$	$a^*_a$	$b^*_a$	$C^*_{ab,a}$	$h^*_{ab,a}$
r00j	48.88	63.91	30.45	70.79	25
r25j	55.85	50.36	45.65	67.97	42
r50j	65.45	33.86	56.12	65.54	59
r75j	75.19	17.13	66.73	68.89	76
j00g	87.03	-3.21	79.64	79.7	92
j25g	80.72	-24.03	66.82	71.01	110
j50g	70.64	-38.01	49.96	62.78	127
j75g	61.93	-50.08	35.41	61.34	145
g00b	52.8	-62.76	20.12	65.91	162
g25b	55.7	-47.65	-8.05	48.34	190
g50b	57.82	-36.91	-27.79	46.22	217
g75b	55.5	-21.19	-44.16	49.0	244
b00r	41.6	1.31	-43.27	43.3	272
b25r	29.0	24.11	-41.46	47.97	300
b50r	38.04	44.73	-27.29	52.41	329
b75r	49.48	70.07	-3.61	70.16	357



%Umfang  
 $u^*_{rel} = 83$   
 %Regularität  
 $g^*_{H,rel} = 72$   
 $g^*_{C,rel} = 57$

Ein und Ausgabe: Farbmetrisches Drucker-Reflektiv-System ORS20\_95a für relativen CIELAB-Bunton  $h^* = lab^*h^* = h_{ab}/360 = 145/360 = 0.402$

Daten für jede Farbe:

$lab^*tch^*$  und  $lab^*icu^*$

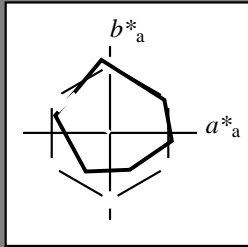
Elementar-Buntontext:

$u^* = j75g$

Kontrastreduzierungsfaktor:

$c_R = 0.96$

Dreiecks-Helligkeit  $t^*$



ORS20_95a; adaptierte CIELAB-Daten					
	$L^*=L^*_a$	$a^*_a$	$b^*_a$	$C^*_{ab,a}$	$h^*_{ab,a}$
$O_{Ma}$	48.75	62.56	37.91	73.15	31
$Y_{Ma}$	90.92	-9.88	83.88	84.46	97
$L_{Ma}$	52.69	-62.9	19.95	66.0	162
$C_{Ma}$	59.61	-27.85	-44.43	52.45	238
$V_{Ma}$	28.39	22.72	-42.42	48.13	298
$M_{Ma}$	49.58	71.08	-9.19	71.67	353
$N_{Ma}$	20.0	0.0	0.0	0.0	0
$W_{Ma}$	95.0	0.0	0.0	0.0	0
$R_{CIE}$	39.92	58.74	27.99	65.07	25
$J_{CIE}$	81.26	-2.88	71.56	71.62	92
$G_{CIE}$	52.23	-42.41	13.6	44.55	162
$B_{CIE}$	30.57	1.41	-46.46	46.49	272

Daten für Maximalfarbe (Ma):

$LAB^*LAB^*_{Ma}$ : 62 -49 35

$LAB^*LCH^*_{Ma}$ : 62 61 145

$lab^*rgb^*_{Ma}$ : 0.25 1.0 0.0

$lab^*olv^*_{Ma}$ : 0.24 1.0 0.0

Dreiecks-Helligkeit  $t^*$

%Umfang

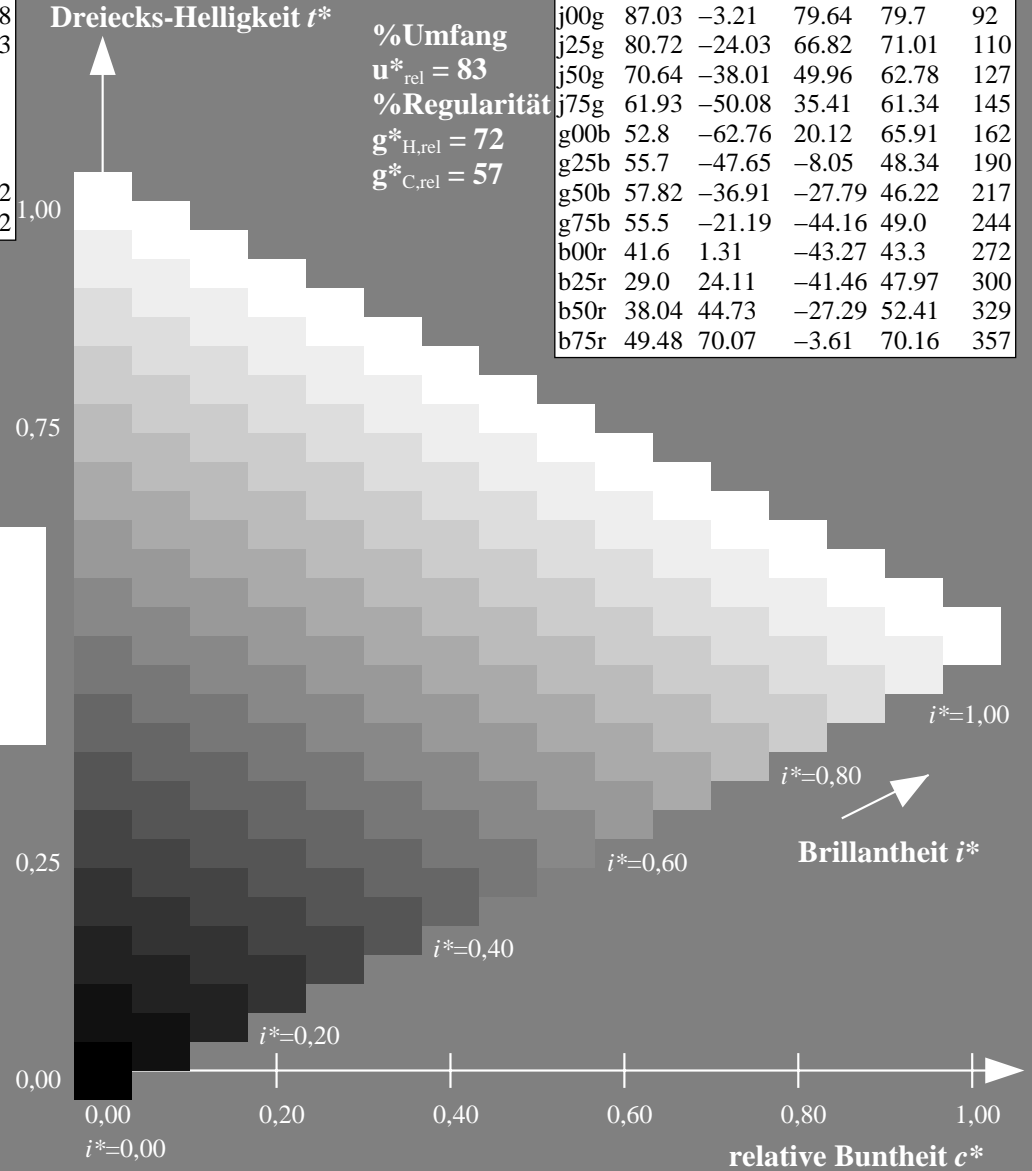
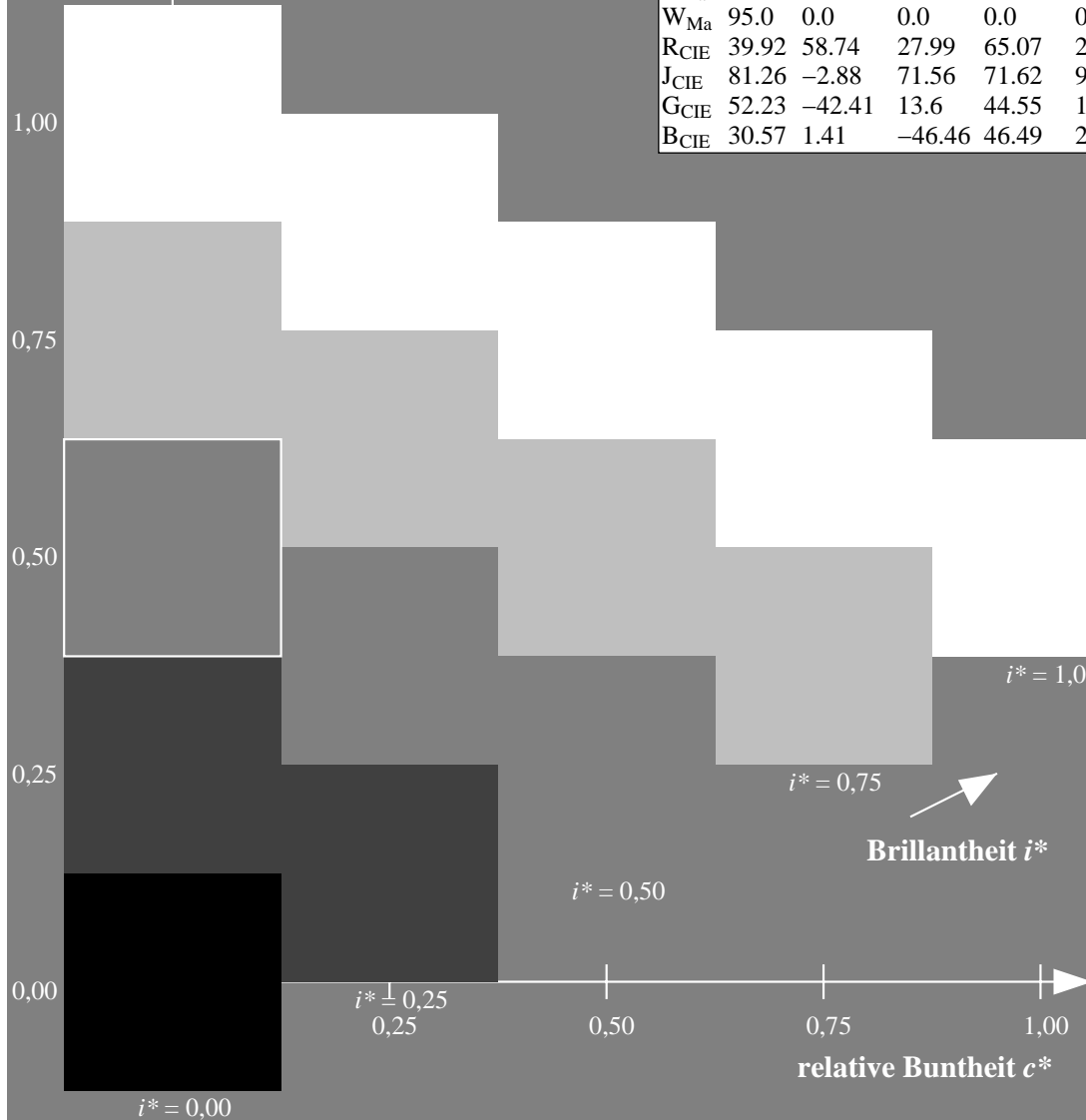
$u^*_{rel} = 83$

%Regularität

$g^*_{H,rel} = 72$

$g^*_{C,rel} = 57$

ORS20_95a; adaptierte CIELAB-Daten					
	$L^*=L^*_a$	$a^*_a$	$b^*_a$	$C^*_{ab,a}$	$h^*_{ab,a}$
r00j	48.88	63.91	30.45	70.79	25
r25j	55.85	50.36	45.65	67.97	42
r50j	65.45	33.86	56.12	65.54	59
r75j	75.19	17.13	66.73	68.89	76
j00g	87.03	-3.21	79.64	79.7	92
j25g	80.72	-24.03	66.82	71.01	110
j50g	70.64	-38.01	49.96	62.78	127
j75g	61.93	-50.08	35.41	61.34	145
g00b	52.8	-62.76	20.12	65.91	162
g25b	55.7	-47.65	-8.05	48.34	190
g50b	57.82	-36.91	-27.79	46.22	217
g75b	55.5	-21.19	-44.16	49.0	244
b00r	41.6	1.31	-43.27	43.3	272
b25r	29.0	24.11	-41.46	47.97	300
b50r	38.04	44.73	-27.29	52.41	329
b75r	49.48	70.07	-3.61	70.16	357



Ein und Ausgabe: Farbmetrisches Drucker-Reflektiv-System ORS20\_95a für relativen CIELAB-Bunton  $h^* = lab^*h^* = h_{ab}/360 = 162/360 = 0.451$

Daten für jede Farbe:

$lab^*tch^*$  und  $lab^*icu^*$

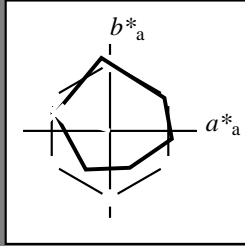
Elementar-Buntontext:

$u^* = g00b$

Kontrastreduzierungsfaktor:

$c_R = 0.96$

Dreiecks-Helligkeit  $t^*$



ORS20\_95a; adaptierte CIELAB-Daten

	$L^*=L^*_a$	$a^*_a$	$b^*_a$	$C^*_{ab,a}$	$h^*_{ab,a}$
$O_{Ma}$	48.75	62.56	37.91	73.15	31
$Y_{Ma}$	90.92	-9.88	83.88	84.46	97
$L_{Ma}$	52.69	-62.9	19.95	66.0	162
$C_{Ma}$	59.61	-27.85	-44.43	52.45	238
$V_{Ma}$	28.39	22.72	-42.42	48.13	298
$M_{Ma}$	49.58	71.08	-9.19	71.67	353
$N_{Ma}$	20.0	0.0	0.0	0.0	0
$W_{Ma}$	95.0	0.0	0.0	0.0	0
$R_{CIE}$	39.92	58.74	27.99	65.07	25
$J_{CIE}$	81.26	-2.88	71.56	71.62	92
$G_{CIE}$	52.23	-42.41	13.6	44.55	162
$B_{CIE}$	30.57	1.41	-46.46	46.49	272

Daten für Maximalfarbe (Ma):

$LAB^*LAB^*_{Ma}: 53 -62 20$

$LAB^*LCH^*_{Ma}: 53 66 162$

$lab^*rgb^*_{Ma}: 0.0 1.0 0.0$

$lab^*olv^*_{Ma}: 0.0 1.0 0.0$

Dreiecks-Helligkeit  $t^*$

%Umfang

$u^*_{rel} = 83$

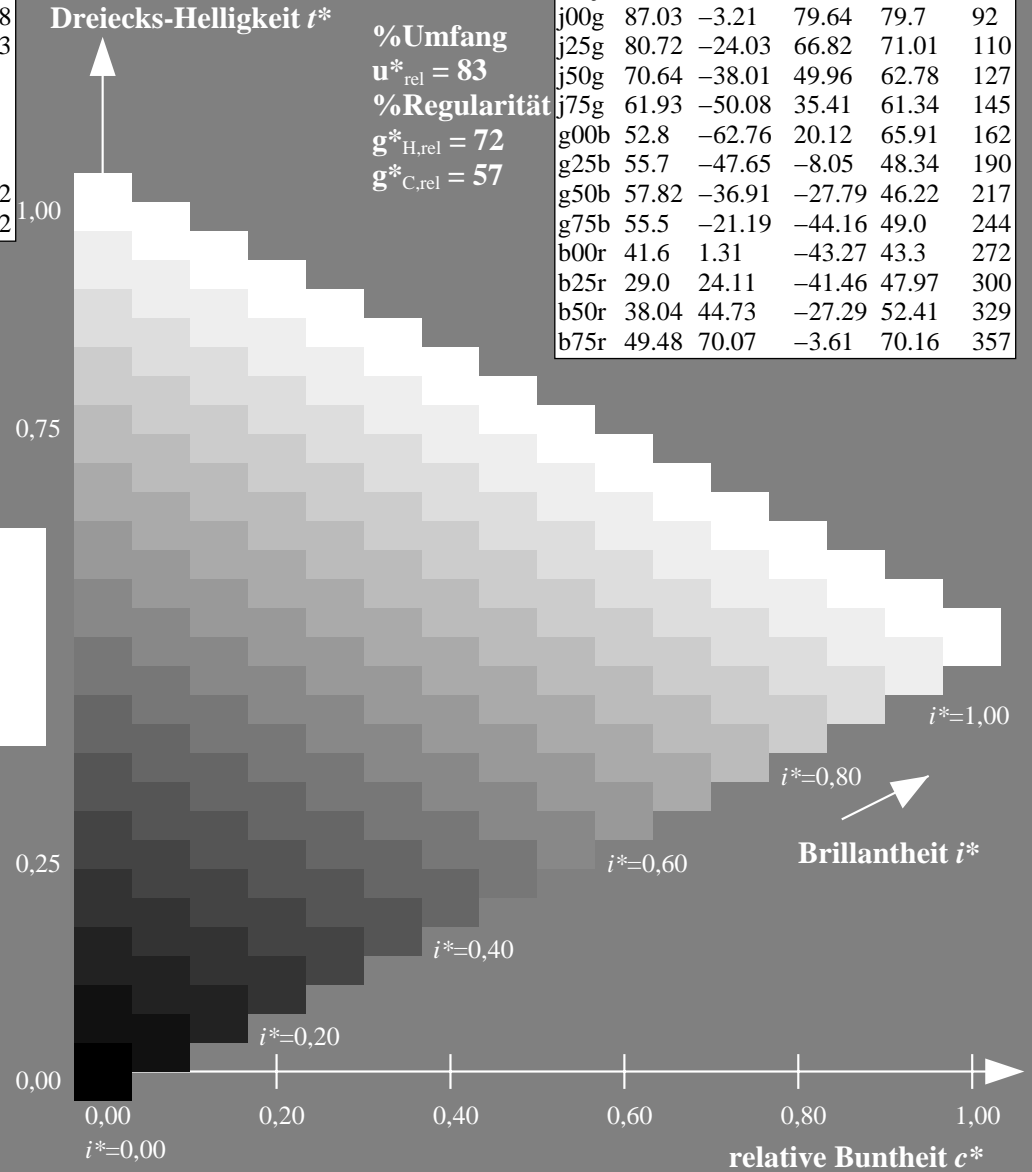
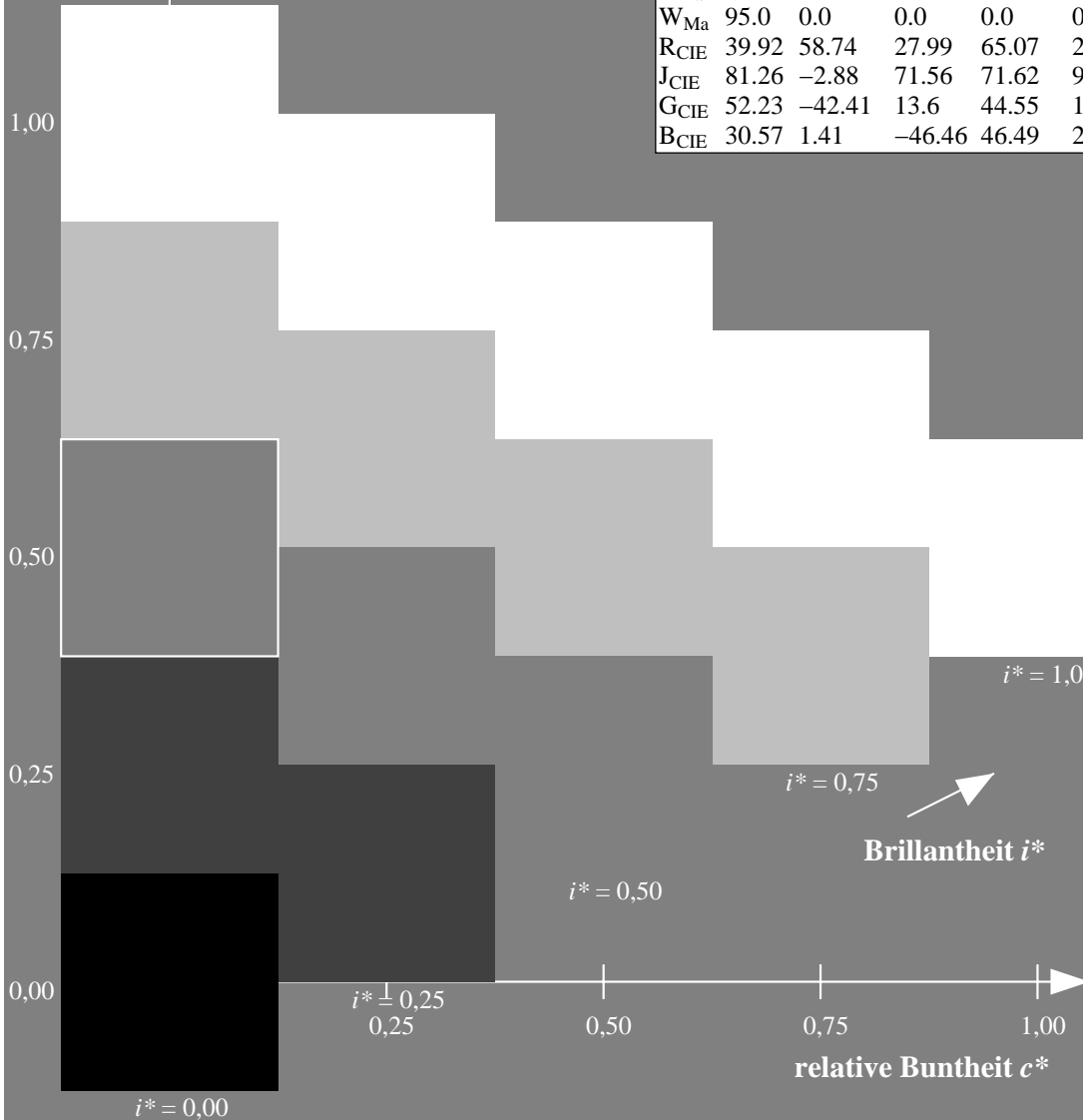
%Regularität

$g^*_{H,rel} = 72$

$g^*_{C,rel} = 57$

ORS20\_95a; adaptierte CIELAB-Daten

	$L^*=L^*_a$	$a^*_a$	$b^*_a$	$C^*_{ab,a}$	$h^*_{ab,a}$
r00j	48.88	63.91	30.45	70.79	25
r25j	55.85	50.36	45.65	67.97	42
r50j	65.45	33.86	56.12	65.54	59
r75j	75.19	17.13	66.73	68.89	76
j00g	87.03	-3.21	79.64	79.7	92
j25g	80.72	-24.03	66.82	71.01	110
j50g	70.64	-38.01	49.96	62.78	127
j75g	61.93	-50.08	35.41	61.34	145
g00b	52.8	-62.76	20.12	65.91	162
g25b	55.7	-47.65	-8.05	48.34	190
g50b	57.82	-36.91	-27.79	46.22	217
g75b	55.5	-21.19	-44.16	49.0	244
b00r	41.6	1.31	-43.27	43.3	272
b25r	29.0	24.11	-41.46	47.97	300
b50r	38.04	44.73	-27.29	52.41	329
b75r	49.48	70.07	-3.61	70.16	357



Ein und Ausgabe: Farbmétrisches Drucker-Reflektiv-System ORS20\_95a für relativen CIELAB-Bunton  $h^* = lab^*h^* = h_{ab}/360 = 190/360 = 0.527$

Daten für jede Farbe:

$lab^*tch^*$  und  $lab^*icu^*$

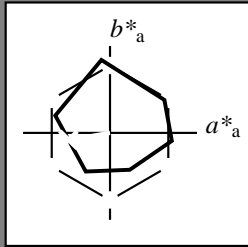
Elementar-Buntontext:

$u^* = g25b$

Kontrastreduzierungsfaktor:

$c_R = 0.96$

Dreiecks-Helligkeit  $t^*$



ORS20_95a; adaptierte CIELAB-Daten					
	$L^*=L^*_a$	$a^*_a$	$b^*_a$	$C^*_{ab,a}$	$h^*_{ab,a}$
$O_{Ma}$	48.75	62.56	37.91	73.15	31
$Y_{Ma}$	90.92	-9.88	83.88	84.46	97
$L_{Ma}$	52.69	-62.9	19.95	66.0	162
$C_{Ma}$	59.61	-27.85	-44.43	52.45	238
$V_{Ma}$	28.39	22.72	-42.42	48.13	298
$M_{Ma}$	49.58	71.08	-9.19	71.67	353
$N_{Ma}$	20.0	0.0	0.0	0.0	0
$W_{Ma}$	95.0	0.0	0.0	0.0	0
$R_{CIE}$	39.92	58.74	27.99	65.07	25
$J_{CIE}$	81.26	-2.88	71.56	71.62	92
$G_{CIE}$	52.23	-42.41	13.6	44.55	162
$B_{CIE}$	30.57	1.41	-46.46	46.49	272

Daten für Maximalfarbe (Ma):

$LAB^*LAB^*_{Ma}: 56 -47 -7$

$LAB^*LCH^*_{Ma}: 56 48 190$

$lab^*rgb^*_{Ma}: 0.0 1.0 0.5$

$lab^*olv^*_{Ma}: 0.0 1.0 0.44$

Dreiecks-Helligkeit  $t^*$

%Umfang

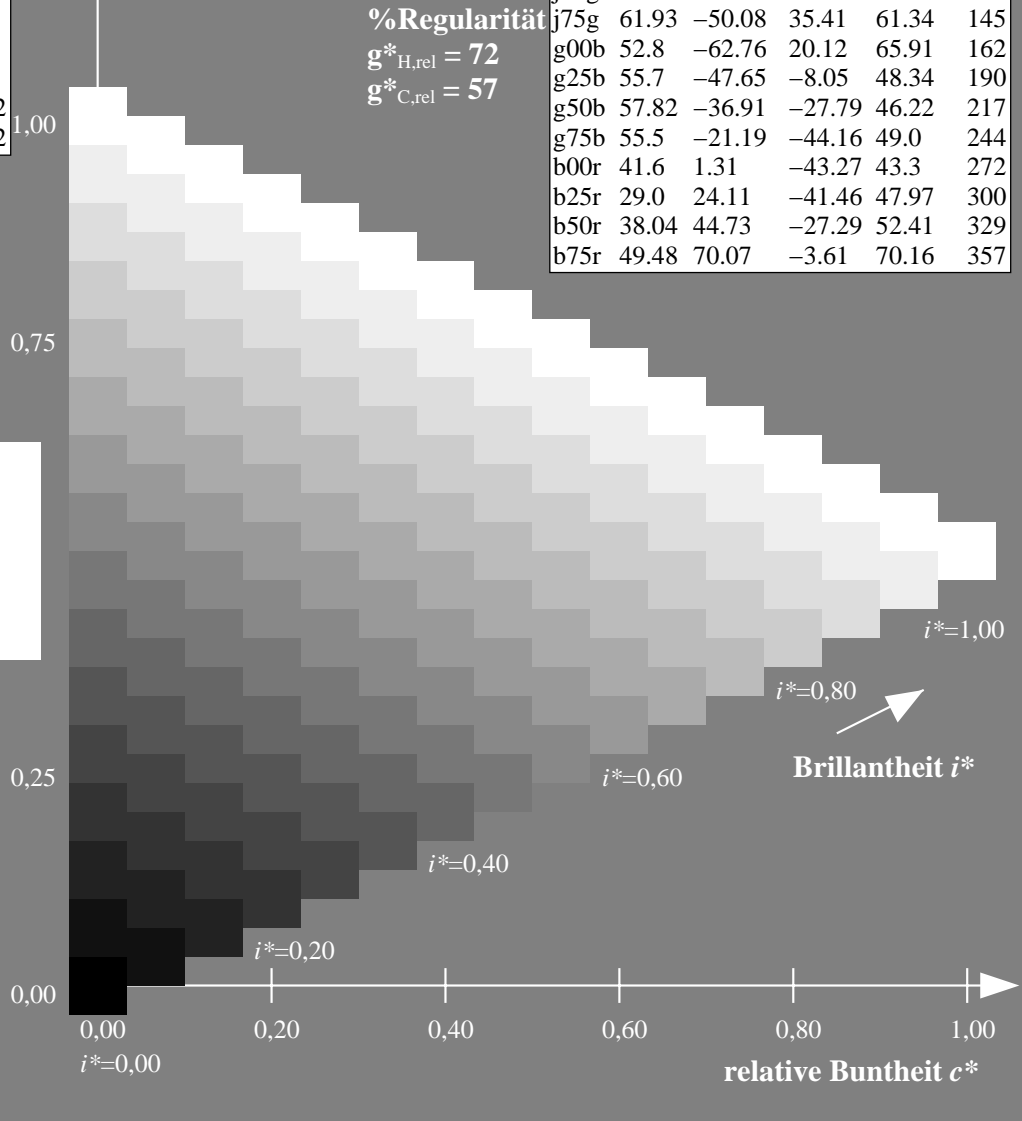
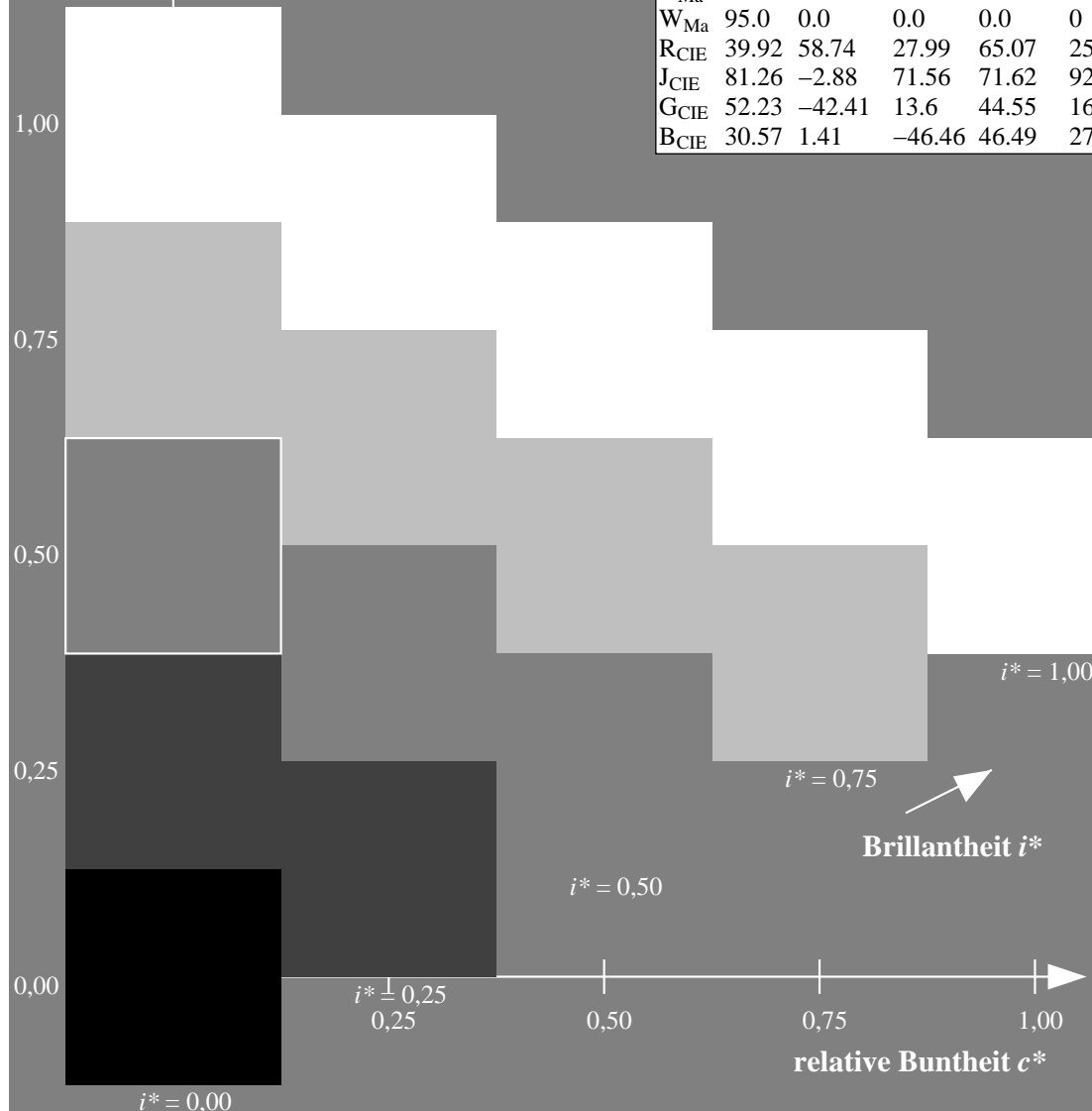
$u^*_{rel} = 83$

%Regularität

$g^*_{H,rel} = 72$

$g^*_{C,rel} = 57$

ORS20_95a; adaptierte CIELAB-Daten					
	$L^*=L^*_a$	$a^*_a$	$b^*_a$	$C^*_{ab,a}$	$h^*_{ab,a}$
r00j	48.88	63.91	30.45	70.79	25
r25j	55.85	50.36	45.65	67.97	42
r50j	65.45	33.86	56.12	65.54	59
r75j	75.19	17.13	66.73	68.89	76
j00g	87.03	-3.21	79.64	79.7	92
j25g	80.72	-24.03	66.82	71.01	110
j50g	70.64	-38.01	49.96	62.78	127
j75g	61.93	-50.08	35.41	61.34	145
g00b	52.8	-62.76	20.12	65.91	162
g25b	55.7	-47.65	-8.05	48.34	190
g50b	57.82	-36.91	-27.79	46.22	217
g75b	55.5	-21.19	-44.16	49.0	244
b00r	41.6	1.31	-43.27	43.3	272
b25r	29.0	24.11	-41.46	47.97	300
b50r	38.04	44.73	-27.29	52.41	329
b75r	49.48	70.07	-3.61	70.16	357



Ein und Ausgabe: Farbmetrisches Drucker-Reflektiv-System ORS20\_95a für relativen CIELAB-Bunton  $h^* = lab^*h^* = h_{ab}/360 = 217/360 = 0.603$

Daten für jede Farbe:

$lab^*tch^*$  und  $lab^*icu^*$

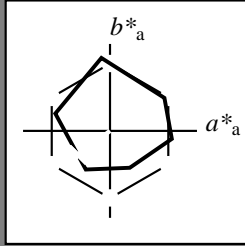
Elementar-Buntontext:

$u^* = g50b$

Kontrastreduzierungsfaktor:

$c_R = 0.96$

Dreiecks-Helligkeit  $t^*$



ORS20\_95a; adaptierte CIELAB-Daten

	$L^*=L^*_a$	$a^*_a$	$b^*_a$	$C^*_{ab,a}$	$h^*_{ab,a}$
$O_{Ma}$	48.75	62.56	37.91	73.15	31
$Y_{Ma}$	90.92	-9.88	83.88	84.46	97
$L_{Ma}$	52.69	-62.9	19.95	66.0	162
$C_{Ma}$	59.61	-27.85	-44.43	52.45	238
$V_{Ma}$	28.39	22.72	-42.42	48.13	298
$M_{Ma}$	49.58	71.08	-9.19	71.67	353
$N_{Ma}$	20.0	0.0	0.0	0.0	0
$W_{Ma}$	95.0	0.0	0.0	0.0	0
$R_{CIE}$	39.92	58.74	27.99	65.07	25
$J_{CIE}$	81.26	-2.88	71.56	71.62	92
$G_{CIE}$	52.23	-42.41	13.6	44.55	162
$B_{CIE}$	30.57	1.41	-46.46	46.49	272

Daten für Maximalfarbe (Ma):

$LAB^*LAB^*_{Ma}: 58 \ -36 \ -27$

$LAB^*LCH^*_{Ma}: 58 \ 46 \ 217$

$lab^*rgb^*_{Ma}: 0.0 \ 1.0 \ 1.0$

$lab^*olv^*_{Ma}: 0.0 \ 1.0 \ 0.74$

Dreiecks-Helligkeit  $t^*$

%Umfang

$u^*_{rel} = 83$

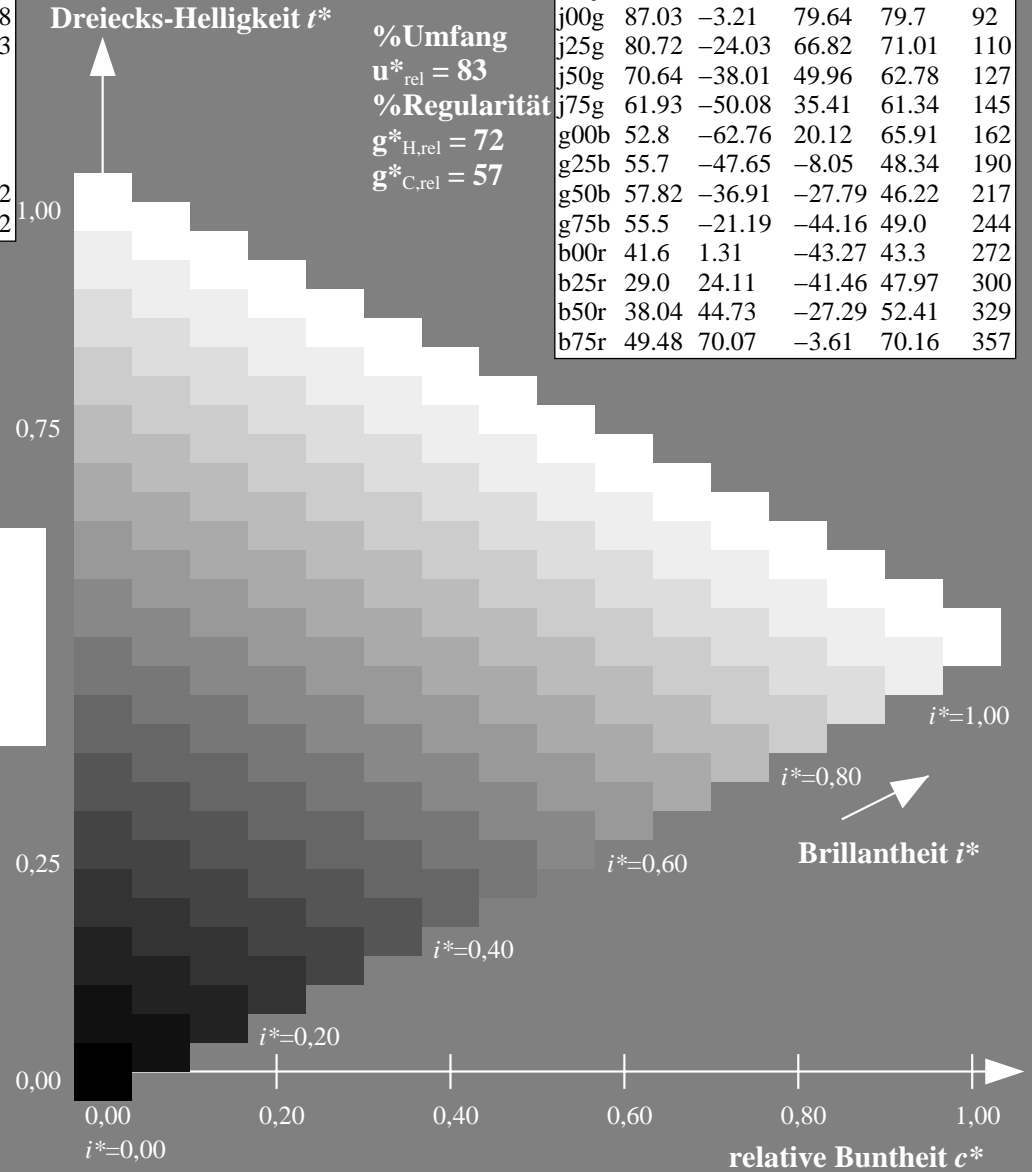
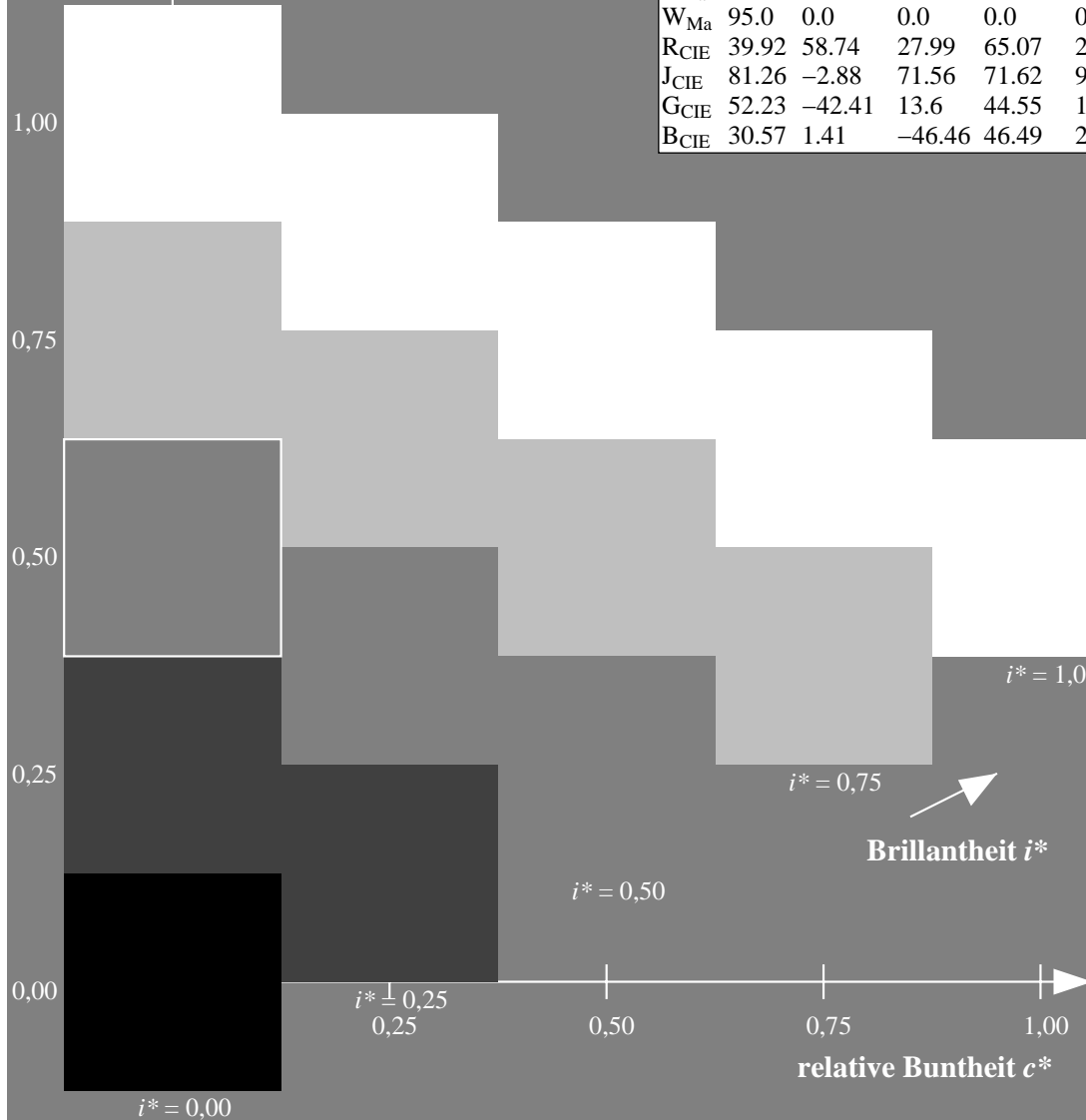
%Regularität

$g^*_{H,rel} = 72$

$g^*_{C,rel} = 57$

ORS20\_95a; adaptierte CIELAB-Daten

	$L^*=L^*_a$	$a^*_a$	$b^*_a$	$C^*_{ab,a}$	$h^*_{ab,a}$
r00j	48.88	63.91	30.45	70.79	25
r25j	55.85	50.36	45.65	67.97	42
r50j	65.45	33.86	56.12	65.54	59
r75j	75.19	17.13	66.73	68.89	76
j00g	87.03	-3.21	79.64	79.7	92
j25g	80.72	-24.03	66.82	71.01	110
j50g	70.64	-38.01	49.96	62.78	127
j75g	61.93	-50.08	35.41	61.34	145
g00b	52.8	-62.76	20.12	65.91	162
g25b	55.7	-47.65	-8.05	48.34	190
g50b	57.82	-36.91	-27.79	46.22	217
g75b	55.5	-21.19	-44.16	49.0	244
b00r	41.6	1.31	-43.27	43.3	272
b25r	29.0	24.11	-41.46	47.97	300
b50r	38.04	44.73	-27.29	52.41	329
b75r	49.48	70.07	-3.61	70.16	357



Ein und Ausgabe: Farbmetrisches Drucker-Reflektiv-System ORS20\_95a für relativen CIELAB-Bunton  $h^* = lab^*h^* = h_{ab}/360 = 244/360 = 0.679$

Daten für jede Farbe:

$lab^*tch^*$  und  $lab^*icu^*$

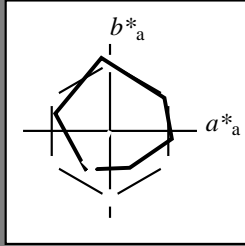
Elementar-Buntontext:

$u^* = g75b$

Kontrastreduzierungsfaktor:

$c_R = 0.96$

Dreiecks-Helligkeit  $t^*$



ORS20\_95a; adaptierte CIELAB-Daten

	$L^*=L^*_a$	$a^*_a$	$b^*_a$	$C^*_{ab,a}$	$h^*_{ab,a}$
$O_{Ma}$	48.75	62.56	37.91	73.15	31
$Y_{Ma}$	90.92	-9.88	83.88	84.46	97
$L_{Ma}$	52.69	-62.9	19.95	66.0	162
$C_{Ma}$	59.61	-27.85	-44.43	52.45	238
$V_{Ma}$	28.39	22.72	-42.42	48.13	298
$M_{Ma}$	49.58	71.08	-9.19	71.67	353
$N_{Ma}$	20.0	0.0	0.0	0.0	0
$W_{Ma}$	95.0	0.0	0.0	0.0	0
$R_{CIE}$	39.92	58.74	27.99	65.07	25
$J_{CIE}$	81.26	-2.88	71.56	71.62	92
$G_{CIE}$	52.23	-42.41	13.6	44.55	162
$B_{CIE}$	30.57	1.41	-46.46	46.49	272

Daten für Maximalfarbe (Ma):

$LAB^*LAB^*_{Ma}: 55 \ -20 \ -43$

$LAB^*LCH^*_{Ma}: 55 \ 49 \ 244$

$lab^*rgb^*_{Ma}: 0.0 \ 0.5 \ 1.0$

$lab^*olv^*_{Ma}: 0.0 \ 0.87 \ 1.0$

Dreiecks-Helligkeit  $t^*$

%Umfang

$u^*_{rel} = 83$

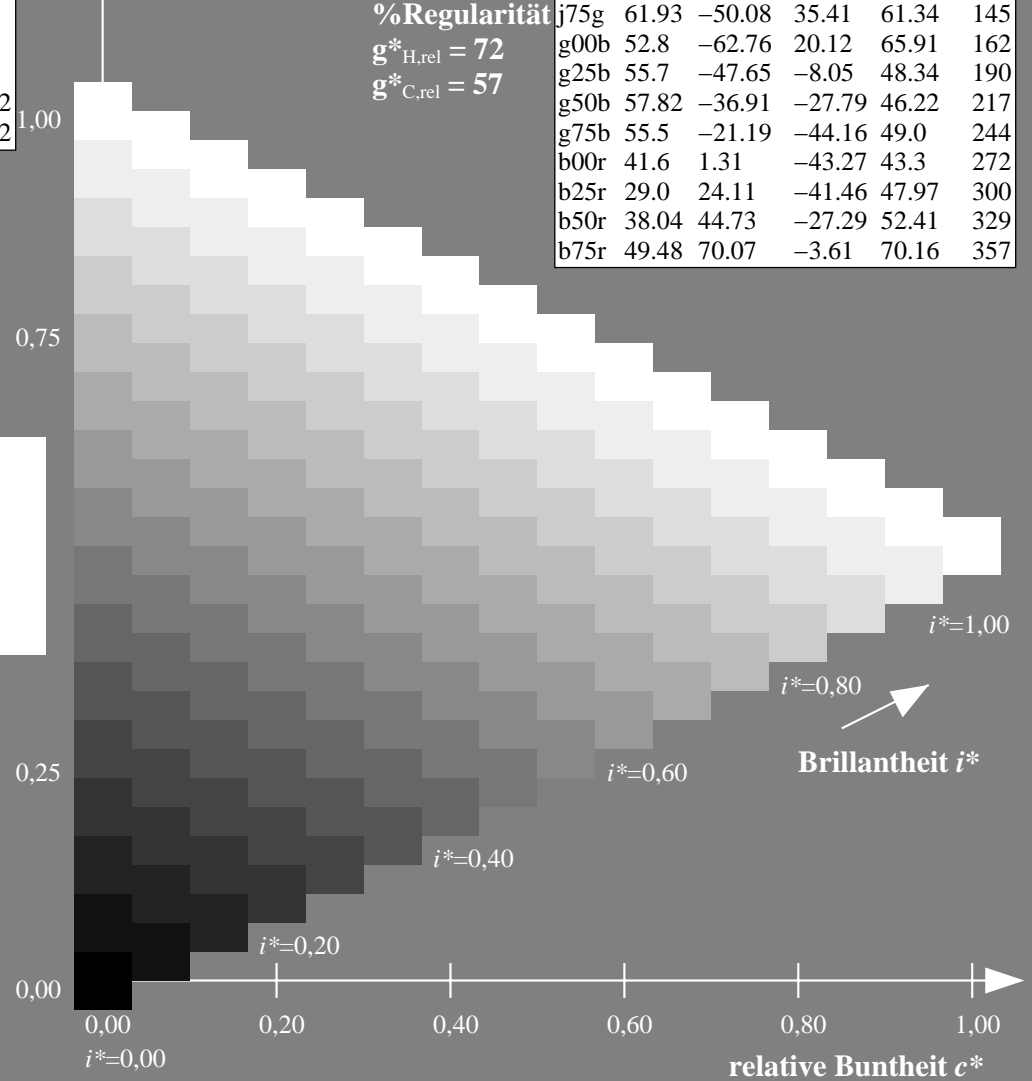
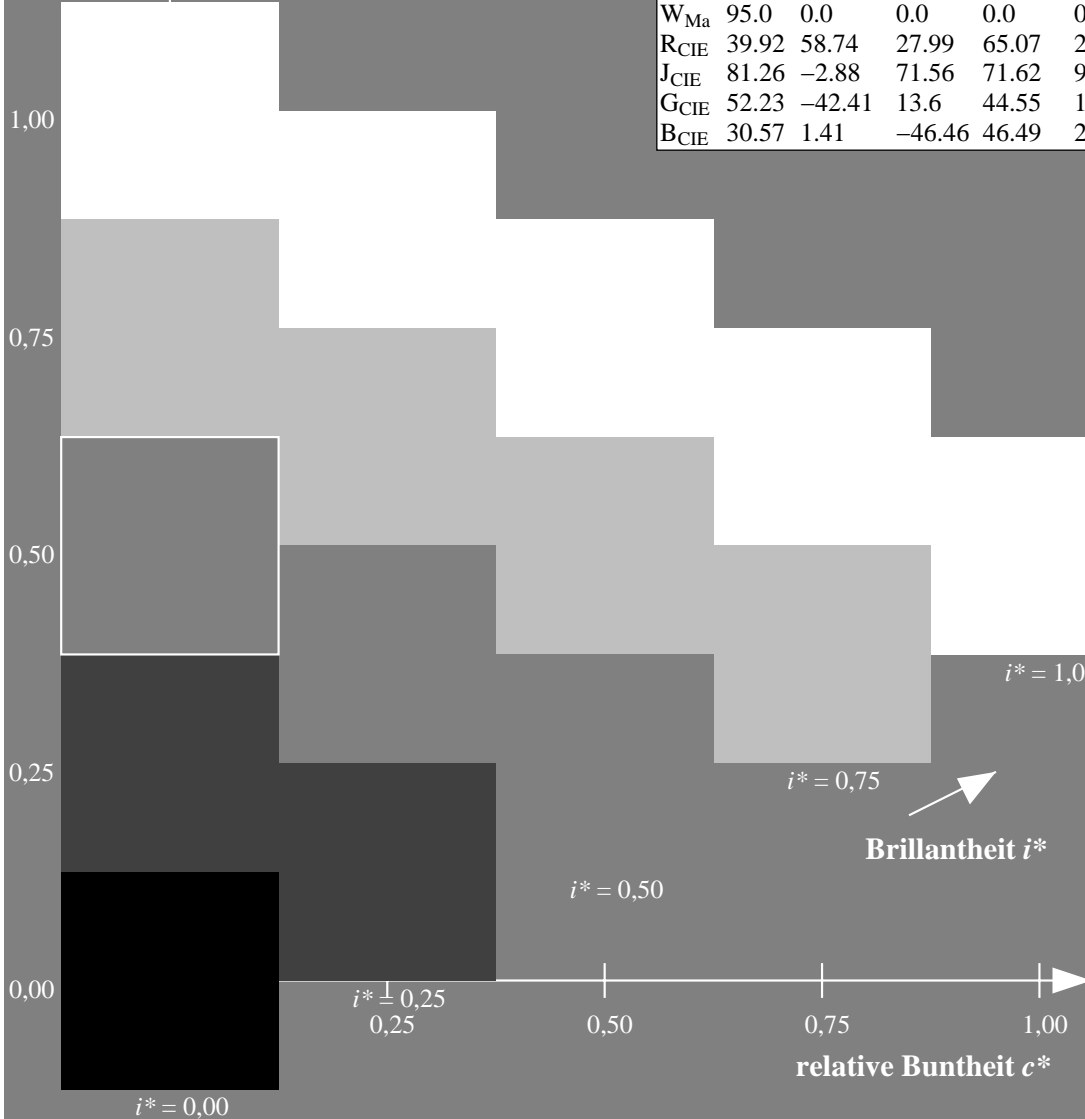
%Regularität

$g^*_{H,rel} = 72$

$g^*_{C,rel} = 57$

ORS20\_95a; adaptierte CIELAB-Daten

	$L^*=L^*_a$	$a^*_a$	$b^*_a$	$C^*_{ab,a}$	$h^*_{ab,a}$
r00j	48.88	63.91	30.45	70.79	25
r25j	55.85	50.36	45.65	67.97	42
r50j	65.45	33.86	56.12	65.54	59
r75j	75.19	17.13	66.73	68.89	76
j00g	87.03	-3.21	79.64	79.7	92
j25g	80.72	-24.03	66.82	71.01	110
j50g	70.64	-38.01	49.96	62.78	127
j75g	61.93	-50.08	35.41	61.34	145
g00b	52.8	-62.76	20.12	65.91	162
g25b	55.7	-47.65	-8.05	48.34	190
g50b	57.82	-36.91	-27.79	46.22	217
g75b	55.5	-21.19	-44.16	49.0	244
b00r	41.6	1.31	-43.27	43.3	272
b25r	29.0	24.11	-41.46	47.97	300
b50r	38.04	44.73	-27.29	52.41	329
b75r	49.48	70.07	-3.61	70.16	357



Ein und Ausgabe: Farbmetrisches Drucker-Reflektiv-System ORS20\_95a für relativen CIELAB-Bunton  $h^* = lab^*h^* = h_{ab}/360 = 272/360 = 0.755$

Daten für jede Farbe:

$lab^*tch^*$  und  $lab^*icu^*$

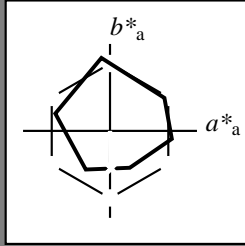
Elementar-Buntontext:

$u^* = b00r$

Kontrastreduzierungsfaktor:

$c_R = 0.96$

Dreiecks-Helligkeit  $t^*$



ORS20\_95a; adaptierte CIELAB-Daten

	$L^*=L^*_a$	$a^*_a$	$b^*_a$	$C^*_{ab,a}$	$h^*_{ab,a}$
$O_{Ma}$	48.75	62.56	37.91	73.15	31
$Y_{Ma}$	90.92	-9.88	83.88	84.46	97
$L_{Ma}$	52.69	-62.9	19.95	66.0	162
$C_{Ma}$	59.61	-27.85	-44.43	52.45	238
$V_{Ma}$	28.39	22.72	-42.42	48.13	298
$M_{Ma}$	49.58	71.08	-9.19	71.67	353
$N_{Ma}$	20.0	0.0	0.0	0.0	0
$W_{Ma}$	95.0	0.0	0.0	0.0	0
$R_{CIE}$	39.92	58.74	27.99	65.07	25
$J_{CIE}$	81.26	-2.88	71.56	71.62	92
$G_{CIE}$	52.23	-42.41	13.6	44.55	162
$B_{CIE}$	30.57	1.41	-46.46	46.49	272

Daten für Maximalfarbe (Ma):

$LAB^*LAB^*_{Ma}$ : 42 1 -42

$LAB^*LCH^*_{Ma}$ : 42 43 272

$lab^*rgb^*_{Ma}$ : 0.0 0.0 1.0

$lab^*olv^*_{Ma}$ : 0.0 0.42 1.0

Dreiecks-Helligkeit  $t^*$

%Umfang

$u^*_{rel} = 83$

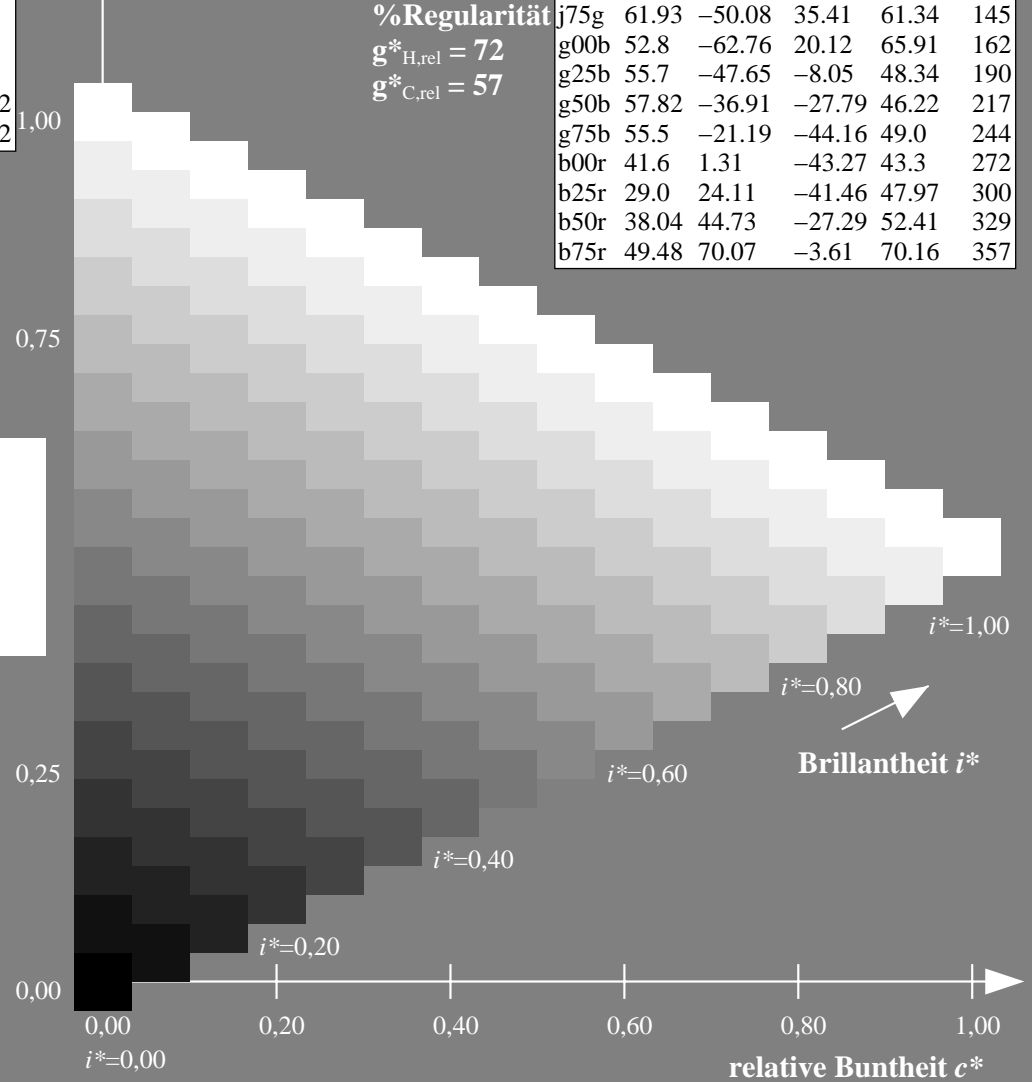
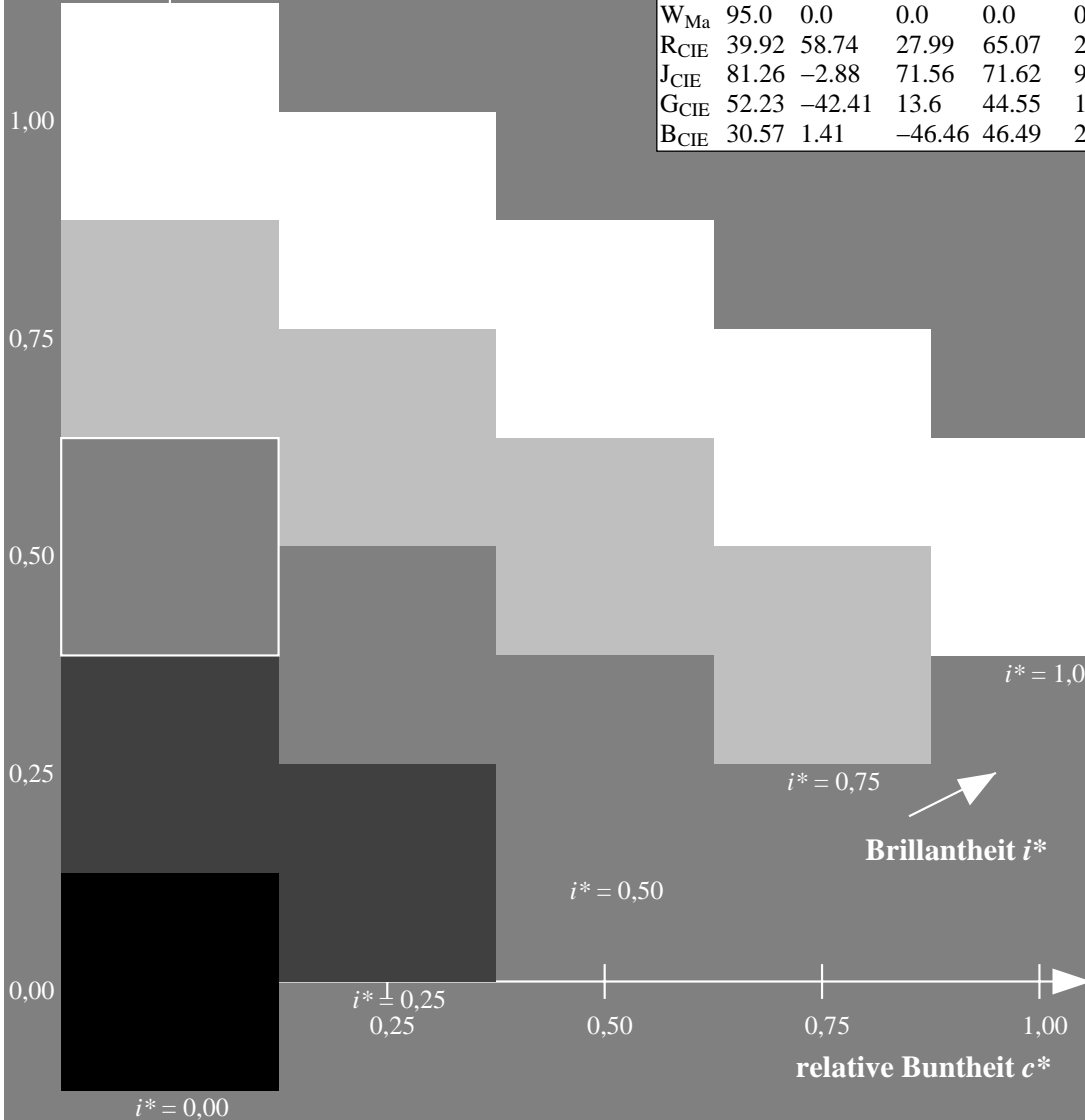
%Regularität

$g^*_{H,rel} = 72$

$g^*_{C,rel} = 57$

ORS20\_95a; adaptierte CIELAB-Daten

	$L^*=L^*_a$	$a^*_a$	$b^*_a$	$C^*_{ab,a}$	$h^*_{ab,a}$
r00j	48.88	63.91	30.45	70.79	25
r25j	55.85	50.36	45.65	67.97	42
r50j	65.45	33.86	56.12	65.54	59
r75j	75.19	17.13	66.73	68.89	76
j00g	87.03	-3.21	79.64	79.7	92
j25g	80.72	-24.03	66.82	71.01	110
j50g	70.64	-38.01	49.96	62.78	127
j75g	61.93	-50.08	35.41	61.34	145
g00b	52.8	-62.76	20.12	65.91	162
g25b	55.7	-47.65	-8.05	48.34	190
g50b	57.82	-36.91	-27.79	46.22	217
g75b	55.5	-21.19	-44.16	49.0	244
b00r	41.6	1.31	-43.27	43.3	272
b25r	29.0	24.11	-41.46	47.97	300
b50r	38.04	44.73	-27.29	52.41	329
b75r	49.48	70.07	-3.61	70.16	357





Ein und Ausgabe: Farbmetrisches Drucker-Reflektiv-System ORS20\_95a für relativen CIELAB-Bunton  $h^* = lab^*h^* = h_{ab}/360 = 300/360 = 0.834$

Daten für jede Farbe:

$lab^*tch^*$  und  $lab^*icu^*$

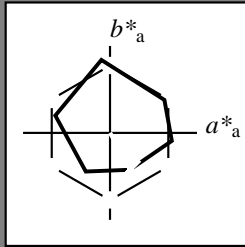
Elementar-Buntontext:

$u^* = b25r$

Kontrastreduzierungsfaktor:

$c_R = 0.96$

Dreiecks-Helligkeit  $t^*$



ORS20\_95a; adaptierte CIELAB-Daten

	$L^*=L^*_a$	$a^*_a$	$b^*_a$	$C^*_{ab,a}$	$h^*_{ab,a}$
$O_{Ma}$	48.75	62.56	37.91	73.15	31
$Y_{Ma}$	90.92	-9.88	83.88	84.46	97
$L_{Ma}$	52.69	-62.9	19.95	66.0	162
$C_{Ma}$	59.61	-27.85	-44.43	52.45	238
$V_{Ma}$	28.39	22.72	-42.42	48.13	298
$M_{Ma}$	49.58	71.08	-9.19	71.67	353
$N_{Ma}$	20.0	0.0	0.0	0.0	0
$W_{Ma}$	95.0	0.0	0.0	0.0	0
$R_{CIE}$	39.92	58.74	27.99	65.07	25
$J_{CIE}$	81.26	-2.88	71.56	71.62	92
$G_{CIE}$	52.23	-42.41	13.6	44.55	162
$B_{CIE}$	30.57	1.41	-46.46	46.49	272

Daten für Maximalfarbe (Ma):

$LAB^*LAB^*_{Ma}: 29\ 24\ -40$

$LAB^*LCH^*_{Ma}: 29\ 48\ 300$

$lab^*rgb^*_{Ma}: 0.5\ 0.0\ 1.0$

$lab^*olv^*_{Ma}: 0.03\ 0.0\ 1.0$

Dreiecks-Helligkeit  $t^*$

%Umfang

$u^*_{rel} = 83$

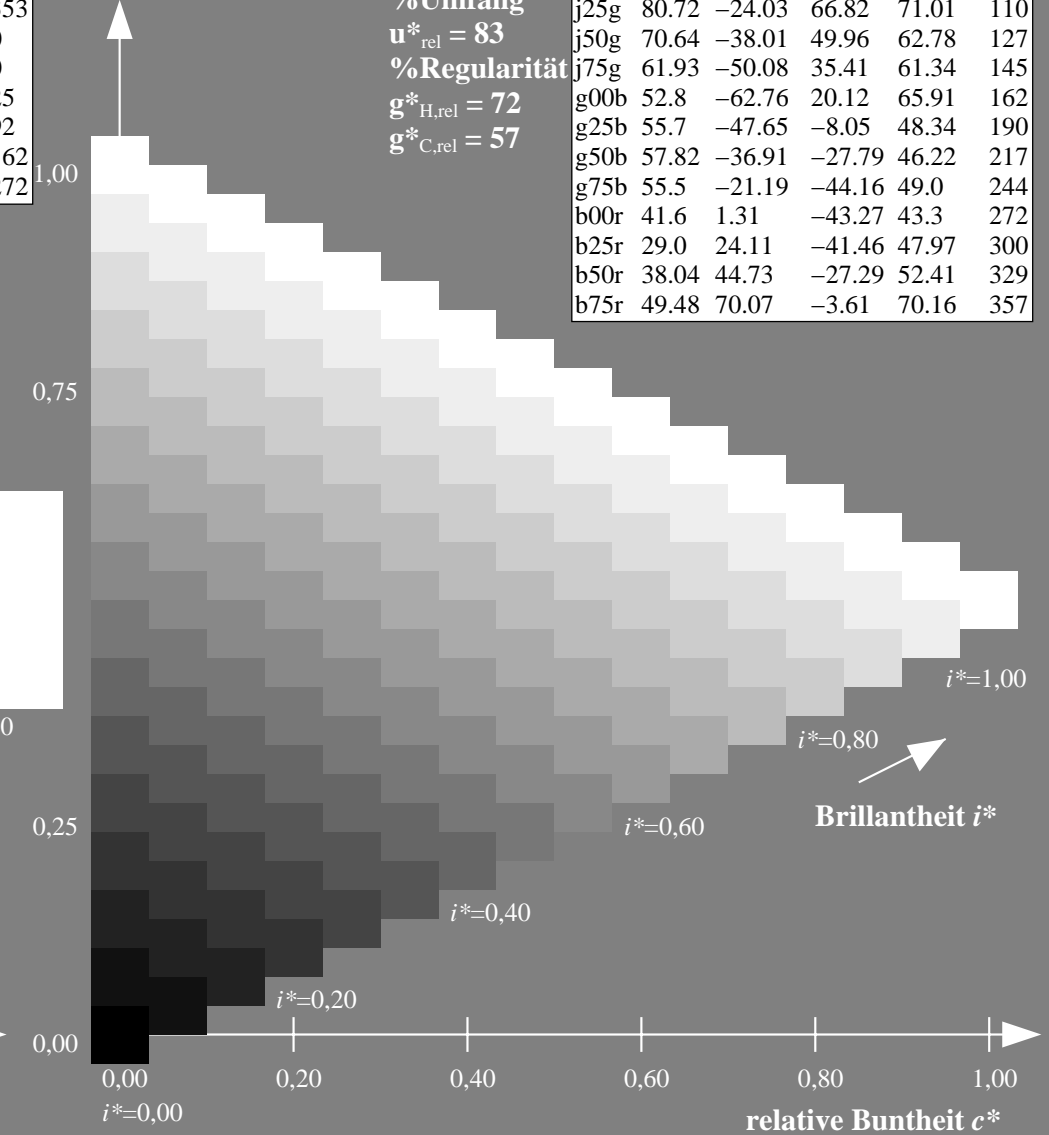
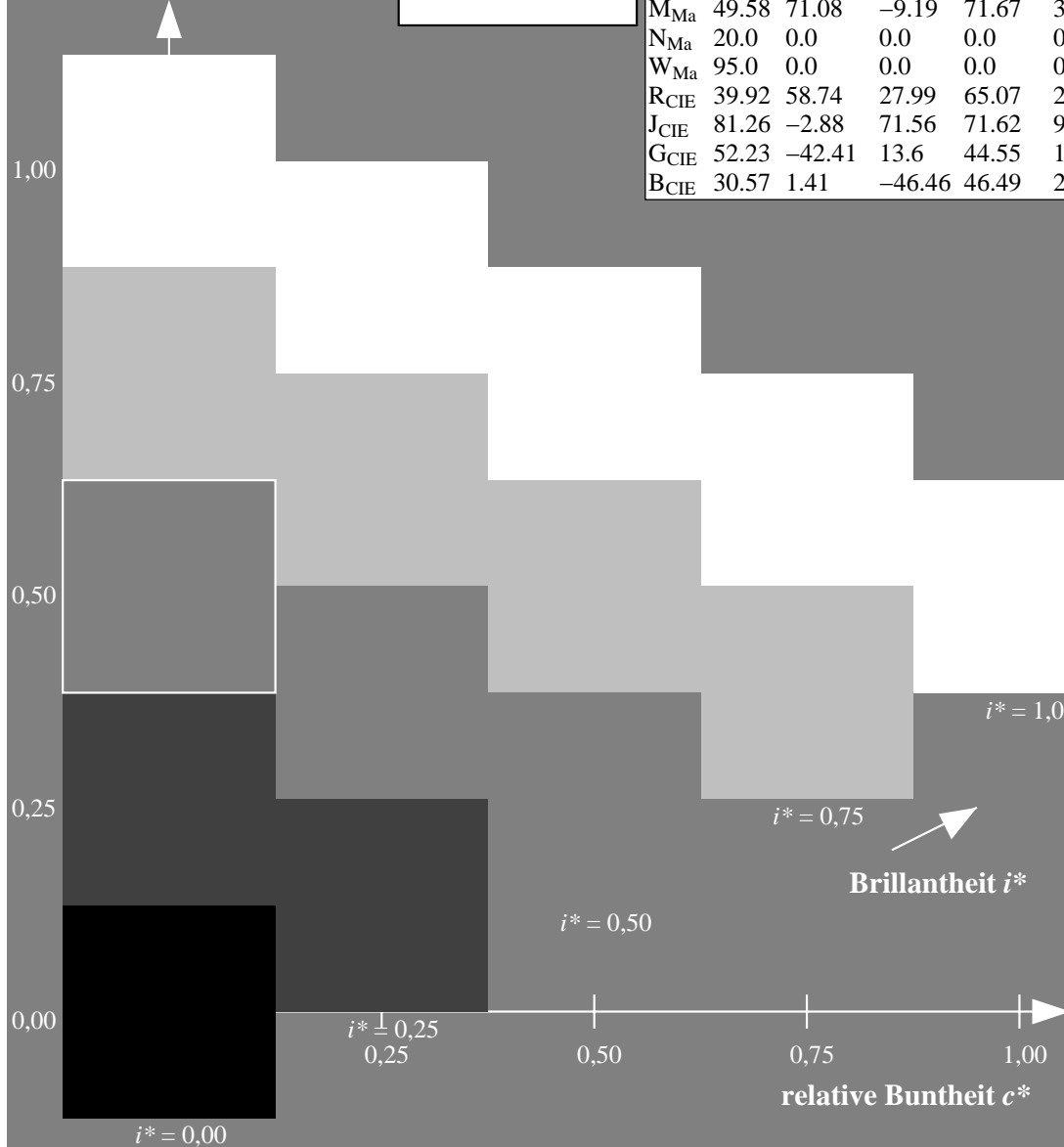
%Regularität

$g^*_{H,rel} = 72$

$g^*_{C,rel} = 57$

ORS20\_95a; adaptierte CIELAB-Daten

	$L^*=L^*_a$	$a^*_a$	$b^*_a$	$C^*_{ab,a}$	$h^*_{ab,a}$
r00j	48.88	63.91	30.45	70.79	25
r25j	55.85	50.36	45.65	67.97	42
r50j	65.45	33.86	56.12	65.54	59
r75j	75.19	17.13	66.73	68.89	76
j00g	87.03	-3.21	79.64	79.7	92
j25g	80.72	-24.03	66.82	71.01	110
j50g	70.64	-38.01	49.96	62.78	127
j75g	61.93	-50.08	35.41	61.34	145
g00b	52.8	-62.76	20.12	65.91	162
g25b	55.7	-47.65	-8.05	48.34	190
g50b	57.82	-36.91	-27.79	46.22	217
g75b	55.5	-21.19	-44.16	49.0	244
b00r	41.6	1.31	-43.27	43.3	272
b25r	29.0	24.11	-41.46	47.97	300
b50r	38.04	44.73	-27.29	52.41	329
b75r	49.48	70.07	-3.61	70.16	357



Ein und Ausgabe: Farbmetrisches Drucker-Reflektiv-System ORS20\_95a für relativen CIELAB-Bunton  $h^* = lab^*h^* = h_{ab}/360 = 329/360 = 0.913$

Daten für jede Farbe:

$lab^*tch^*$  und  $lab^*icu^*$

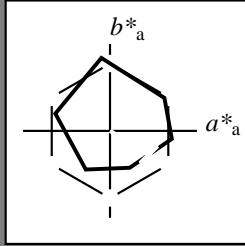
Elementar-Buntontext:

$u^* = b50r$

Kontrastreduzierungsfaktor:

$c_R = 0.96$

Dreiecks-Helligkeit  $t^*$



ORS20\_95a; adaptierte CIELAB-Daten

	$L^*=L^*_a$	$a^*_a$	$b^*_a$	$C^*_{ab,a}$	$h^*_{ab,a}$
$O_{Ma}$	48.75	62.56	37.91	73.15	31
$Y_{Ma}$	90.92	-9.88	83.88	84.46	97
$L_{Ma}$	52.69	-62.9	19.95	66.0	162
$C_{Ma}$	59.61	-27.85	-44.43	52.45	238
$V_{Ma}$	28.39	22.72	-42.42	48.13	298
$M_{Ma}$	49.58	71.08	-9.19	71.67	353
$N_{Ma}$	20.0	0.0	0.0	0.0	0
$W_{Ma}$	95.0	0.0	0.0	0.0	0
$R_{CIE}$	39.92	58.74	27.99	65.07	25
$J_{CIE}$	81.26	-2.88	71.56	71.62	92
$G_{CIE}$	52.23	-42.41	13.6	44.55	162
$B_{CIE}$	30.57	1.41	-46.46	46.49	272

Daten für Maximalfarbe (Ma):

$LAB^*LAB^*_{Ma}$ : 38 45 -26

$LAB^*LCH^*_{Ma}$ : 38 52 329

$lab^*rgb^*_{Ma}$ : 1.0 0.0 1.0

$lab^*olv^*_{Ma}$ : 0.46 0.0 1.0

Dreiecks-Helligkeit  $t^*$

%Umfang

$u^*_{rel} = 83$

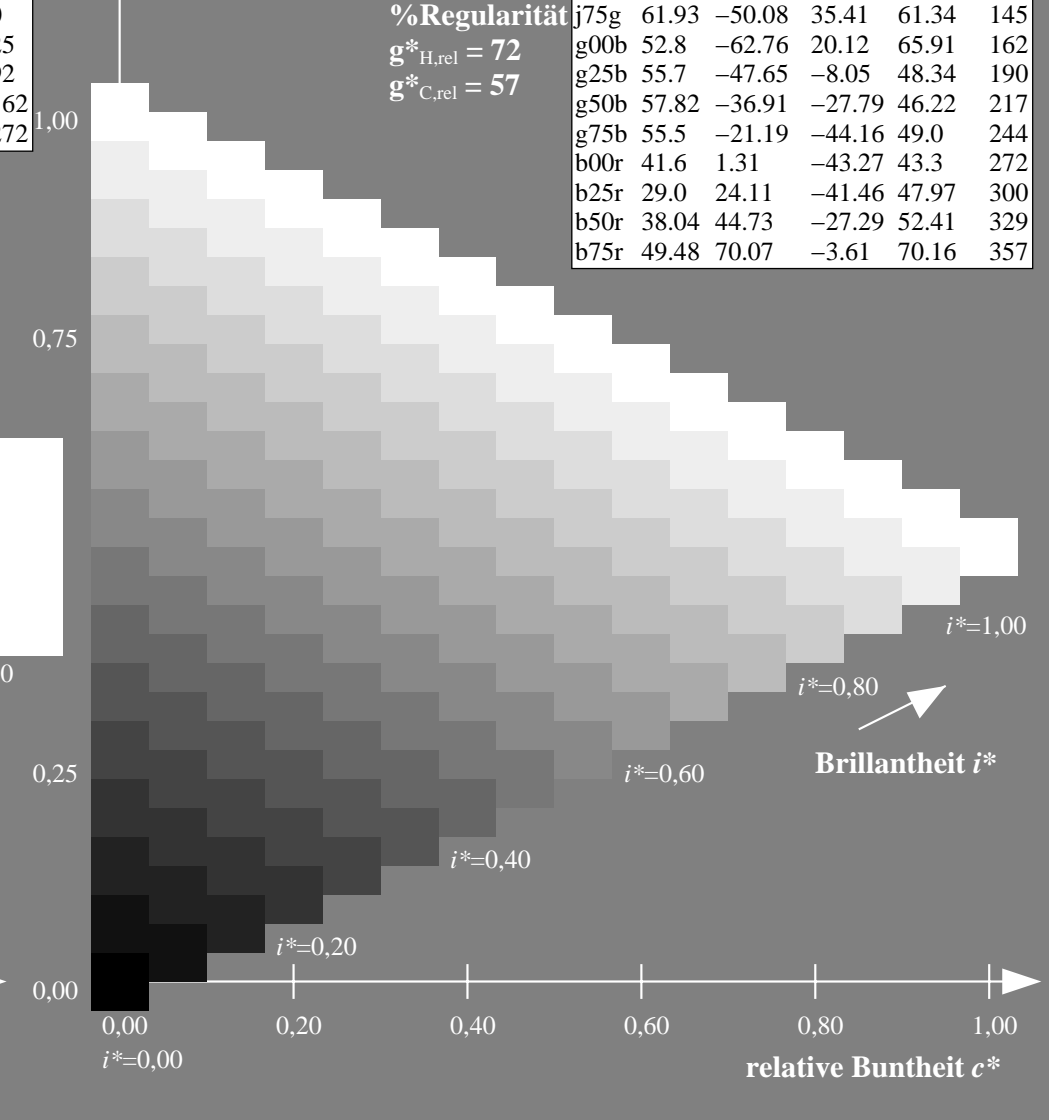
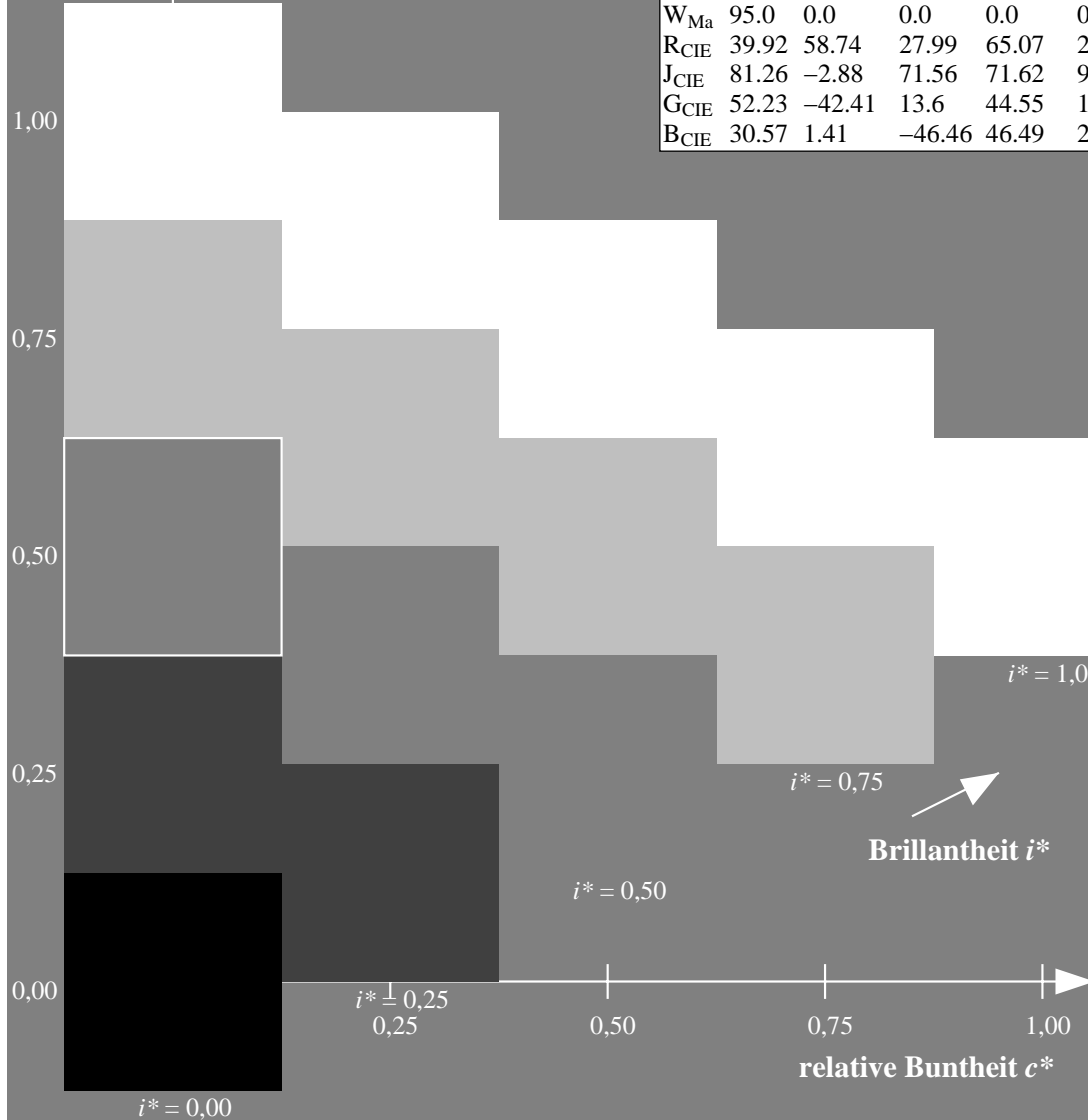
%Regularität

$g^*_{H,rel} = 72$

$g^*_{C,rel} = 57$

ORS20\_95a; adaptierte CIELAB-Daten

	$L^*=L^*_a$	$a^*_a$	$b^*_a$	$C^*_{ab,a}$	$h^*_{ab,a}$
r00j	48.88	63.91	30.45	70.79	25
r25j	55.85	50.36	45.65	67.97	42
r50j	65.45	33.86	56.12	65.54	59
r75j	75.19	17.13	66.73	68.89	76
j00g	87.03	-3.21	79.64	79.7	92
j25g	80.72	-24.03	66.82	71.01	110
j50g	70.64	-38.01	49.96	62.78	127
j75g	61.93	-50.08	35.41	61.34	145
g00b	52.8	-62.76	20.12	65.91	162
g25b	55.7	-47.65	-8.05	48.34	190
g50b	57.82	-36.91	-27.79	46.22	217
g75b	55.5	-21.19	-44.16	49.0	244
b00r	41.6	1.31	-43.27	43.3	272
b25r	29.0	24.11	-41.46	47.97	300
b50r	38.04	44.73	-27.29	52.41	329
b75r	49.48	70.07	-3.61	70.16	357



Ein und Ausgabe: Farbmetrisches Drucker-Reflektiv-System ORS20\_95a für relativen CIELAB-Bunton  $h^* = lab^*h^* = h_{ab}/360 = 357/360 = 0.992$

Daten für jede Farbe:

$lab^*tch^*$  und  $lab^*icu^*$

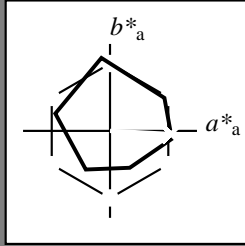
Elementar-Buntontext:

$u^* = b75r$

Kontrastreduzierungsfaktor:

$c_R = 0.96$

Dreiecks-Helligkeit  $t^*$



ORS20\_95a; adaptierte CIELAB-Daten

	$L^*=L^*_a$	$a^*_a$	$b^*_a$	$C^*_{ab,a}$	$h^*_{ab,a}$
$O_{Ma}$	48.75	62.56	37.91	73.15	31
$Y_{Ma}$	90.92	-9.88	83.88	84.46	97
$L_{Ma}$	52.69	-62.9	19.95	66.0	162
$C_{Ma}$	59.61	-27.85	-44.43	52.45	238
$V_{Ma}$	28.39	22.72	-42.42	48.13	298
$M_{Ma}$	49.58	71.08	-9.19	71.67	353
$N_{Ma}$	20.0	0.0	0.0	0.0	0
$W_{Ma}$	95.0	0.0	0.0	0.0	0
$R_{CIE}$	39.92	58.74	27.99	65.07	25
$J_{CIE}$	81.26	-2.88	71.56	71.62	92
$G_{CIE}$	52.23	-42.41	13.6	44.55	162
$B_{CIE}$	30.57	1.41	-46.46	46.49	272

Daten für Maximalfarbe (Ma):

$LAB^*LAB^*_{Ma}: 49\ 70\ -3$

$LAB^*LCH^*_{Ma}: 49\ 70\ 357$

$lab^*rgb^*_{Ma}: 1.0\ 0.0\ 0.5$

$lab^*olv^*_{Ma}: 1.0\ 0.0\ 0.88$

Dreiecks-Helligkeit  $t^*$

%Umfang

$u^*_{rel} = 83$

%Regularität

$g^*_{H,rel} = 72$

$g^*_{C,rel} = 57$

ORS20\_95a; adaptierte CIELAB-Daten

	$L^*=L^*_a$	$a^*_a$	$b^*_a$	$C^*_{ab,a}$	$h^*_{ab,a}$
r00j	48.88	63.91	30.45	70.79	25
r25j	55.85	50.36	45.65	67.97	42
r50j	65.45	33.86	56.12	65.54	59
r75j	75.19	17.13	66.73	68.89	76
j00g	87.03	-3.21	79.64	79.7	92
j25g	80.72	-24.03	66.82	71.01	110
j50g	70.64	-38.01	49.96	62.78	127
j75g	61.93	-50.08	35.41	61.34	145
g00b	52.8	-62.76	20.12	65.91	162
g25b	55.7	-47.65	-8.05	48.34	190
g50b	57.82	-36.91	-27.79	46.22	217
g75b	55.5	-21.19	-44.16	49.0	244
b00r	41.6	1.31	-43.27	43.3	272
b25r	29.0	24.11	-41.46	47.97	300
b50r	38.04	44.73	-27.29	52.41	329
b75r	49.48	70.07	-3.61	70.16	357

